

ZESPÓŁ USŁUG TECHNICZNYCH NOT SPÓŁKA z o.o.

20 – 026 Lublin, ul. Chopina 8/18
tel./fax /0-81/, 532-85-09, 532-90-00, 532-27-51
e-mail zutlublin@poczta.onet.pl



Bank Przemysłowo – Handlowy II/O Lublin
Nr 10601480 – 320000185306

NIP 712-015-83-45

REGON 430296625

Nr rej. 32 / 05

Zamawiający – Urząd Miejski w Lublinie Wydział Gospodarki
Komunalnej

Tytuł opracowania – dokumentacja techniczna w stadium projektu
wykonawczego na remont mostu drogowego
przez rz. Bystrzyce (od strony górnej wody) w
ciągu ul. Krochmalnej w Lublinie

Branża – mostowa

OBLCZENIA STATYCZNE

Lublin, lipiec 2005r.

Funkcja	Imię i nazwisko	Podpis
Projektant:	mgr inż. Andrzej Łukasiewicz upr. bud. 698 / Lb / 88	
Sprawdzający:	mgr inż. Grzegorz Rakowski upr. bud.ONB- 907/23/72	
Dyrektor ZUT:	mgr inż. Zbigniew Mitura	DYREKTOR mgr inż. Zbigniew Mitura

Z U T
świadczenie usługi w
zakresie:

- ◆ Kosztorysowania
- ◆ Opracowywania opinii, ekspertyz i orzeczeń technicznych
- ◆ Tłumaczeń tekstów technicznych
- ◆ Projektów modernizacyjnych
- ◆ Założeń techniczno – ekonomicznych
- ◆ Projektów budowlanych i wykonawczych
- ◆ Pomiarów elektrycznych
- ◆ Usług geodezyjnych
- ◆ Projektowania organizacji
- ◆ Opracowywania koreferatów
- ◆ Opiniowania projektów wynalazczych, ich ekonomiki i wynagrodzenia twórców
- ◆ Wdrożeń
- ◆ Nadzorów
- ◆ Wyceny nieruchomości

Przebudowa mostu przez rz. Bystrzyce (od strony górnej wody) w ciągu jezdni południowej ul. Krochmalnej w Lublinie

SPIS ZAWARTOŚCI OBLCZEŃ

A.	ANALIZA NOŚNOŚCI USTROJU NOŚNEGO - STAN ISTNIEJĄCY.....	4
1.	OBLCZENIE SIŁ WEWNĘTRZNYCH W BELKACH GŁÓWNYCH USTROJU NOŚNEGO.....	4
1.1.	Ciążar stały	4
1.2.	Obciążenie ruchome klasy C + tłum na chodniku.....	5
1.3.	Charakterystyka geometryczna przęsła	5
1.4.	Analiza sił wewnętrznych	6
2.	WYMiarowanie dźwigara istniejącego – sprawdzenie naprężeń	7
B.	OBLCZENIE USTROJU NOŚNEGO - STAN PO MODERNIZACJI PRZĘSŁA.....	9
1.	OBLCZENIE SIŁ WEWNĘTRZNYCH W BELKACH GŁÓWNYCH USTROJU NOŚNEGO.....	9
1.1.	Ciążar stały – faza 0 - sama belka prefabrykowana przed zespoleniem.....	9
1.2.	Ciążar stały – faza 1 przed 1 zespołaniem (belki z zamkami).....	9
1.3.	Ciążar stały – faza 2 przed 2 zespołaniem z nadbetonem	9
1.4.	Ciążar stały – faza 3 po zespołaniu z nadbetonem w układ ciągły.....	10
1.5.	Różnica skurcza i pełzania w betonie pomiędzy nadbetonem a belkami prefabrykowanymi z zamkami	10
1.6.	Obciążenie ruchome klasy B + tłum na chodniku.....	12
2.	OBLCZENIE WSPÓŁCZYNNIKÓW SZTYWNOŚCI NA ZGINANIE I SKREĆCANIE RUSZTU ZASTĘPCZEGO PRZĘSŁA	12
3.	ZESTAWIENIE ZBIORCZE MOMENTÓW ZGINAJĄCYCH I SIŁ POPRZECZNYCH W DŹWIGARZE NR 1 USTROJU NOŚNEGO – OBC. CHARAKTERYSTYCZNE I OBLCZENIOWE.....	15
4.	WYMiarowanie dźwigara istn. po modernizacji – sprawdzenie naprężeń	19
4.1.	Zbiorcze zestawienie naprężeń w wybranych przekrojach belek głównych wiaduktu	19
4.2.	Nośność graniczna strefy rozciąganej belki w przęsle skrajnym	20
4.2.1.	Środek rozpiętości przęsła skrajnego - węzeł nr 4	20
4.3.	Obliczenie belki na ścinanie	22
4.3.1.	Sprawdzenie środka belki i zbrojenia poprzecznego	22
4.3.2.	Sprawdzenie zespolenia z nadbetonem	23
5.	OBLCZENIE PRZĘSŁA W KIERUNKU POPRZECZNYM	24
5.1.	Linie wpływu momentów zginających w kierunku poprzecznym do osi mostu.....	24
5.2.	Współczynniki $\eta(0)$ i $\eta(1)$ rozwinięcia obc. ruchomego w szereg Fouriera.....	26
5.3.	Wyznaczenie rzędnych linii wpływu momentów zginających m_y od obciążenia ruchomego	27
5.4.	Linie wpływu momentów m_y dla obciążenia $K = 600 \text{ kN}$	31
5.5.	Linie wpływu momentów m_y dla obciążenia $q = 3.00 \text{ kN / m}^2$	32
5.6.	Linie wpływu momentów m_y dla obciążenia $t = 2.50 \text{ kN / m}^2$	33
5.7.	Sumaryczne momenty w poprzek mostu od obciążenia obliczeniowego klasy B i tłumu.....	34
5.8.	Wymiarowanie płyty pomostu w kierunku poprzecznym	34
6.	OBLCZENIE UCIĄGLENIA PRZĘSŁA NAD FILARAMI.....	35
7.	OBLCZENIE POPRZECZNIC PODPOROWYCH	35
7.1.	Obciążenia zewnętrzne poprzecznic	35
7.2.	Zestawienie sił wewnętrznych w poprzecznikach podporowych	38
7.3.	Wymiarowanie poprzecznic	41
8.	DOBIERANIE ŁOZYSK ELASTOMEROWYCH NA PODPORACH	42
C.	OBLCZENIE FILARA PO PRZEBUDOWIE	44
1.	SCHEMAT OBLCZENIOWY FILARA W KIER. PODŁUŻNYM DO JEGO OSI.....	44
2.	OBCIĄŻENIE ZEWNĘTRZNE FILARA - PIONOWE I POZIOME	44
3.	ANALIZA STATYCZNA FILARA.....	46
4.	ZESTAWIENIE OBLCZENIOWYCH SIŁ W FILARZE	47
5.	WYMiarowanie ELEMENTÓW FILARA.....	48
5.1.	Rygiel górny	48
5.2.	Słupy filara.....	49

5.3. Posadowienie filara.....	49
5.3.1. Obciążenia w poziomie spodu fundamentu filara	49
5.3.2. Analiza statyczna pali fundamentowych	50
5.3.3. Sprawdzenie udźwigu pala fundamentowego.....	51
D. OBLICZENIE PRZYCZOŁKA PO PRZEBUDOWIE.....	52
1. SCHEMAT OBLICZENIOWY PRZYCZOŁKA.....	52
2. OBCIĄŻENIE ZEWNĘTRZNE PRZYCZOŁKA - PIONOWE I POZIOME.....	52
3. ANALIZA STATYCZNA PALI FUNDAMENTOWYCH PRZYCZOŁKA	54
5.3.4. Sprawdzenie udźwigu pala fundamentowego.....	55

II. ZAŁĄCZNIKI GRAFICZNE

1. Przekroje obliczeniowe belki Płońsk BP-16.50 w stanie istniejącym
2. Przekrój normalny przęsła w stanie istniejącym i schemat rusztu zastępczego
3. Syntetyczne zestawienie charakterystyk i naprężeń w dźwigarach głównych - stan istniejący
 - przekrój x = 8.00 m w środku przęsła
4. Przekrój normalny przęsła w stanie po modernizacji i schemat rusztu zastępczego
5. Przekroje obliczeniowe belki Płońsk BP-16.50 w stanie po modernizacji
6. Schemat obliczeniowy ustroju nośnego po modernizacji
7. Syntetyczne zestawienie charakterystyk i naprężeń w dźwigarach głównych - stan po modernizacji (wybrane schematy obliczeniowe)
 - węzeł nr 1'
 - węzeł nr 4
 - węzeł nr 6'
 - węzeł nr 7'
 - węzeł nr 9
 - węzeł nr 10 – środek przęsła pośredniego

III. WYDRUKI KOMPUTEROWE ANALIZ STATYCZNYCH

1. Obliczenia współczynników rozdziału poprzecznego obciążzeń, i sił wewnętrznych w dźwigarach głównych ustroju nośnego w stanie istniejącym
2. Wymiarowanie dźwigara sprężonego zespolonego z płytą pomostu w stanie istniejącym
 - 2.1. przekrój x = 8.00 m od podpory
3. Obliczenia współczynników rozdziału poprzecznego obciążzeń, i sił wewnętrznych w dźwigarach głównych ustroju nośnego w stanie po modernizacji
4. Wymiarowanie dźwigara sprężonego zespolonego z płytą pomostu i nadbetonem w stanie po modernizacji
 - węzeł nr 1'
 - węzeł nr 1''
 - węzeł nr 4 – środek przęsła skrajnego
 - węzeł nr 6'
 - węzeł nr 7'
 - węzeł nr 8
 - węzeł nr 9
 - węzeł nr 10 – środek przęsła pośredniego
5. Uciąglenie przęsła nad podporą
6. Obliczenie poprzecnic podporowych – schematy obliczeniowe
7. Wymiarowanie poprzecnic podporowych
8. Analiza statyczna filara w kier. podłużnym do jego osi
9. Wymiarowanie rygl poziomego filara
10. Wymiarowanie słupów filara
11. Analiza pali fundamentowych filara
12. Wymiarowanie pala fundamentowego filara
13. Analiza pali fundamentowych przyczółka
14. Wymiarowanie pala fundamentowego przyczółka

A. ANALIZA NOŚNOŚCI USTROJU NOŚNEGO - STAN ISTNIEJACY.

1. Obliczenie sił wewnętrznych w belkach głównych ustroju nośnego.

1.1. Cieźar stał

zał. - rys. nr 1

- a) W fazie początkowej belka prefabrykowana Płońsk LC = 16.50 m:

belka prefabrykowana Płońsk LC = 16.50 m:

$A_b = 0.376 \text{ m}^2$ – pole przekroju poprzecznego belki

LC = 16.50 m

Lt = 16.00 m

$g_0 = 3.76 * 27.00 = 10.15 \text{ kN/m/1 belkę}$

$\gamma = 1.20$ - współczynnik obciążenia

siły wewnętrzne w belce:

$$R_{g0} = 0.5 g_0 L_t = 0.5 * 10.15 * 16.00 = 81.20 \text{ kN}$$

$$M_x = R_{g0} x - 0.5 g_0 x^2 = 81.20 x - 0.5 * 10.15 x^2 = 81.20 x - 5.075 x^2$$

$$Q_x = R_{g0} - g_0 x = 81.20 - 10.15 x$$

$$\gamma = 1.20$$

- a) Cieźar stał w fazie użytkowej przed zespoleniem belek z zamkami płyty pomostu

zamki $g_1 = (1.50 - 1.38) * 0.12 * 26.00 = 0.3744 \text{ kN/m/1 belkę}$

poprzecznice: $9 * 1.63 * 3 / 16.00 = 2.75 \text{ kN/m/1 belkę}$

razem $g_1 = 3.12 \text{ kN/m/1 belkę}$

siły wewnętrzne w belce:

$$R_{gl} = 0.5 g_1 x L_t = 0.5 * 3.12 * 16.000 = 25.0 \text{ kN}$$

$$M_{gl} = R_{gl} x - 0.5 g_1 x^2 = 25.00 x - 0.5 * 3.12 x^2 = 25.00 x - 1.56 x^2$$

$$Q_{gl} = R_{gl} - g_1 x = 25.00 - 3.12 x$$

$$\gamma = 1.20$$

- b) Cieźar stał w fazie użytkowej po zespoleniu belek z płytą pomostu – nawierzchnia + wyposażenie

W strefie chodnika lewostronnego:

$$- \text{ gzymys } 0.24 * 0.51 * 26.00 = 3.18 \text{ kN/m}^2$$

$$0.16 * 0.40 * 26.00 = 1.66$$

$$0.20 * 0.30 * 26.00 = 1.56$$

$$- \text{ bariera ochronna } = 0,50$$

$$- \text{ podstawa betonowa bariery } 0,80 * 0,60 * 0,10 * 26.00 / 1,00 = 1,25$$

$$- \text{ nawierzchnia chodnika } 0,15 * 23,00 * 1,00 = 4,83$$

$$- \text{ beton wyrównawczy } 0,10 * 26,00 * 1,00 = 2,60$$

$$- \text{ razem: } g_L = 15,58 \text{ kN/m}$$

$$g_L = 15,58 / 1,40 = 11,13 \text{ kN/m}^2$$

$$\gamma = 1.50 - \text{współczynnik obciążenia}$$

$$- \text{ współrzędne działania obciążenia względem osi przęsła (wg schematu rusztu zastępczego):}$$

$$X^L = -7.85 \text{ m}$$

$$X^P = -6.45 \text{ m}$$

W strefie jezdni:

$$- \text{ warstwa betonu wyrównawczego gr. średnio } 10 \text{ cm } 0.10 * 26.0 = 2,60 \text{ kN/m}^2$$

$$- \text{ izolacja + nawierzchnia gr. ok. } 15 \text{ cm } 0.15 * 23.00 = 3,45 \text{ kN/m}^2$$

$$\text{razem } g_j = 6.05 \text{ kN/m}^2$$

$$\gamma = 1.50 - \text{współczynnik obciążenia}$$

$$- \text{ współrzędne działania obciążenia względem osi przęsła:}$$

$$X^L = -6.45 \text{ m}$$

$$X^P = 3,55 \text{ m}$$

W strefie chodnika prawostronnego:

- nawierzchnia chodnika $0,03 * 23,00$ $= 0,69 \text{ kN / m}^2$
- beton w chodniku $0,25 * 24,00$ $= 6,00$
- beton wyrównawczy + gzymy $0,10 * 26,00 * 1,00$ $= 2,60$
- balustrada $0,46 / 4.20$ $= 0,11$
- razem: g_P $= 9,40 \text{ kN / m}$
- $\gamma = 1.50$ - współczynnik obciążenia
- współrzędne działania obciążenia względem osi przęsła (wg schematu rusztu zastępczego):

$$X^L = 3,55 \text{ m}$$

$$X^P = 7,75 \text{ m}$$

1.2. Obciążenie ruchome klasy C + tłum na chodniku

zał. - rys. nr 2

obciążenie podstawowe klasy „C”-PN-85/S-10030:

$$q = 2,00 \text{ kN / m}^2$$

$$K = 400 \text{ kN}$$

$\gamma = 1.50$ – wsp. obciążenia

$$\phi = 1.35 - 0.005 * L = 1.35 - 0.005 * 16.00 = 1.270 - \text{wsp. dynamiczny}$$

- współrzędne działania obciążenia względem osi przęsła

$$X^L = -6,45 \text{ m}$$

$$X^P = 3,55 \text{ m}$$

obciążenie chodnika prawostronnego:

$$t = 2.5 \text{ kN/m}^2 \quad \text{- na szerokości 4.00 m}$$

$$\gamma = 1.30 - \text{wsp. obciążenia}$$

- współrzędne działania obciążenia względem osi przęsła

$$X^L = 3,55 \text{ m}$$

$$X^P = 7,55 \text{ m}$$

1.3. Charakterystyka geometryczna przęsła

zał. - rys. nr 1

- a) belka prefabrykowana ze stykami:

$$E_{bi} = 37800 \text{ MPa} \quad \text{- beton B45}$$

$$A_{bi} = 0,3830 \text{ m}^2 / 1 \text{ szt.}$$

$$y_{ci} = 0,549 \text{ m}$$

$$J_{bi} = 0,04072 \text{ m}^4 / 1 \text{ szt.}$$

$$J_x = J_{bi} / b = 0,04072 / 1,50 = \underline{0,0272 \text{ m}^4/\text{m}}$$

- b) moment bezwładności na skręcanie dla 1 m szerokości przekroju obliczeniowego:

$$J_x^s = \Sigma \gamma_s h b^3 = 1/3 * (1,50 * 0,12^3 + 0,49 * 0,14^3 + 0,48 * 0,12^3 + 0,48 * 0,11^3) =$$

$$0,00180 \text{ m}^4$$

- na 1 m szerokości obliczeniowej przypada:

$$J_{xs} = 0,0018 / 1.50 = 0,0012 \text{ m}^4/\text{m}$$

- c) kierunek poprzeczny do osi mostu – płyta pomostu z poprzeczniami kratowymi (uwzględnia się zamek górny i pas dolny poprzecznicy)
rozstaw poprzecznic $b = 6.90 \text{ m}$

$$A_b = 6.90 * 0.12 + 0.15 * 0.15 * 2 = 0,828 + 0,045 = 0,873 \text{ m}^2$$

$$S_x = 0,828 * 0,64 + 0,045 * 0,29 = 0,54297 \text{ m}^3$$

$$y_d = 0,54297 / 0,873 = 0,622 \text{ m}$$

$$J_y = 6,90 * 0,12^3 / 12 + 0,828 * (0,64 - 0,622)^2 + 2 * 0,15^3 / 12 + 0,045 * (0,29 - 0,622) = 0,006306 \text{ m}^4$$

$$J_y = 0,006306 / 6,90 = 0,000914 \text{ m}^4/\text{m}$$

- d) moment bezwładności na skręcanie dla 1 m szerokości płyty pomostu (bez poprzecznic):

$$\frac{h}{b} = \frac{1.00}{0.87 - 0.11} = 1,32 \Rightarrow \gamma_s = 0.178$$

$$J_{ys} = \gamma_s h b^3 = 0.178 * 1.00 * (0.87 - 0.11)^3 = 0.0788 \text{ m}^4/\text{m}$$

$$h / b = 1,00 / 0,12 = 8,3 \Rightarrow \gamma_s = 0.31$$

$$J_{ys} = \gamma_s h b^3 = 0.31 * 1.00 * 0.12^3 = 0.000536 \text{ m}^4/\text{m}$$

- e) sztywności przęsła obliczeniowego, na zginanie i skręcanie:

$$b = \frac{B}{2} = 15.60 / 2 = 7.80 \text{ m} \quad - \text{połowa szerokości obliczeniowej przęsła}$$

$$\nu = \frac{1}{6} \quad - \text{wsp. Poisson'a dla betonu}$$

$$G = \frac{E}{2(1+\nu)} \quad - \text{moduł odkształcenia postaciowego}$$

$$\alpha = \frac{G}{2E} * \frac{J_x^s + J_y^s}{\sqrt{J_x J_y}}$$

$$\theta = \frac{b}{L} * \sqrt{\frac{J_x}{J_y}}$$

$$\alpha = 0.075$$

$$\theta = 1.140$$

$$L = 16.00 \text{ m}$$

$$B = 15.60 \text{ m}$$

1.4. Analiza sił wewnętrznych

zał. - rys. nr 1

Analizy statyczne linii wpływu rozkładu i współczynników rozdziału poprzecznego obciążzeń oraz sił wewnętrznych w poszczególnych dźwigarach ustroju nośnego mostu, wykonano w technice komputerowej dla zadeklarowanych przekrójów:

$x = 0.00 \text{ m}$ – podporowy

$x = 8,00 \text{ m}$ – środek przęsła

W załącznikach przedstawiono syntetyczne wyniki sił wewnętrznych (momentów zginających i sił poprzecznych) dla miarodajnego (najniekorzystniej obciążonego) dźwigara Nr 2 (od strony pasa rozdziału).

Zestawienie sił wewnętrznych w dźwigarze Nr 1 ustroju nośnego - stan istniejący przed modernizacją przęsła

a) obciążenie charakterystyczne	T [kN]	M [kNm]	T [kN]	M [kNm]
Przekrój	Podporowy		Środek przęsła	
odległość x [m] od osi podpory	0.00		8.00	
obciążenie stałe g0 - ciężar własny belki	81.20	0.00	0.00	324.80
obciążenie stałe g1 - przed zespołem	25.00	0.00	0.00	100.16
obciążenie stałe g2 - po zespołem	109.61	0.00	0.00	438.40
obc. ruchome tłumem na prawym chodniku	0.08	0.00	0.00	0.41
obc. ruchome klasy C - równomierne "q"	15.21	0.00	0.00	60.85
obc. ruchome klasy C - skupione - "K"	102.96	0.00	-6.94	394.43
Razem obc. ruchome	118.25	0.00	-6.94	455.69

b) obciążenie obliczeniowe	T [kN]	M [kNm]	T [kN]	M [kNm]
Przekrój	Podporowy		Środek przęsła	
odległość x [m] od osi podpory	0.00		8.00	
obciążenie stałe g0 - ciężar własny belki	97.44	0.00	0.00	389.76
obciążenie stałe g1 - przed zespołem	30.00	0.00	0.00	120.19
obciążenie stałe g2 - po zespołem	131.53	0.00	0.00	526.08
obc. ruchome tłumem	0.10	0.00	0.00	0.53
obc. ruchome klasy C - równomierne "q"	22.82	0.00	0.00	91.28
obc. ruchome klasy C - skupione - "K"	154.44	0.00	-10.41	591.65
Razem obc. ruchome	177.36	0.00	-10.41	683.45

2. WYMIAROWANIE DŹWIGARA ISTNIEJACEGO – SPRAWDZENIE NAPRĘZEŃ

Analizę naprężeń od zginania i ścinania w strunobetonowym dźwigarze zespołonym wykonano w technice komputerowej.

W załącznikach podano zbiorcze wyniki naprężeń normalnych, ścinających i głównych rozciągających w środku rozpiętości przęsła. Ponadto podano charakterystykę i straty siły sprężającej.

Analizy w przekroju podporowym przęsła – w materiałach archiwalnych jednostki projektującej.

Założenia projektowe

a) stal sprężająca:

64 liny 7 φ 2,5 odmiany I o nośności charakterystycznej 1 liny $P_{pk} = 67 \text{ kN}$

- przekrój jednej linii $A_{7\phi2,5} = 35.61 \text{ mm}^2$

- siła sprężająca w jednym cięgnie:

- początkowa $0.650 P_{pk} = 43,6 \text{ kN}$

- w normalnej pracy $0.55 P_{pk} = 36.85 \text{ kN}$

- moduł sprężystości $E = 180\,000 \text{ MPa}$

- b) beton w prefabrykacie:
- w chwili sprężenia B35; $E_b = 34600 \text{ MPa}$
 - w normalnej pracy B45; $E_b = 37800 \text{ MPa}$
- c) beton w zamkach płyty pomostu:
- klasa betonu B25; $E_b = 30000 \text{ MPa}$
- d) straty siły sprężającej:
- od odkształcenia sprężystego betonu w chwili kotwienia - przy założeniu, że beton osiąga w tym momencie wytrzymałość klasy B35, $E_b = 34600 \text{ MPa}$
 - od relaksacji stali sprężającej
 - od różnicy temperatury cięgien i urządzeń oporowych - dla $\Delta t = 60 \text{ }^{\circ}\text{C}$
 - straty reologiczne - skurcz betonu w belce i zamkach przy następujących wartościach:
 - $\varepsilon_{sk}^b = 0.00032$ - w belce po 7 dniach (sprężenie)
 - $\varepsilon_{sk}^b = 0.00016$ - w belce w chwili betonowania zamków
 - $\varepsilon_{sk}^n = 0.00032$ - w zamkach płyty
$$\Delta\varepsilon_{sk} = \varepsilon_{sk}^n - 0.5 * \varepsilon_{sk}^b = 0.00016 - \text{pomiędzy zamkami a belką}$$
 - $\varphi_p^b = 2.1$ - w belce po 90 dniach
 - $\varphi_p^n = 2.1$ - w zamkach po 90 dniach
- e) zmniejszenie siły sprężającej w strefie kotwienia, w zależności od odległości przekroju analizowanego od czoła belki, uwzględniono w analizach automatycznie, w trybie bezpośrednich obliczeń komputerowych.

Warunki obliczeniowe naprężień:

- 1) Sprężenia ograniczone - odpowiadające niedopuszczeniu naprężen rozciągających większych od $R_{blk0.05}$

$ \sigma_{blk} \leq R_{blk0.05} = 1.90 \text{ MPa}$	- B35 - w chwili sprężenia
$ \sigma_{blk} \leq R_{blk0.05} = 2.30 \text{ MPa}$	- B45 - w normalnej pracy
- 2) Sprawdzenie na pojawienie się rys ukośnych wg warunku:
 $\sigma_1 \leq R_{blk0.05} = 2.30 \text{ MPa}$ - naprężenia główne rozciągające w belce od obciążen charakterystycznych dla betonu B45
- 3) Naprężenia w betonie strefy ściskanej od obciążen obliczeniowych:

$\sigma_b^p \leq R_{bl} = 14.4 \text{ MPa}$	- w zamkach płyty istn. B25
$\sigma_b^b \leq R_{bl} = 20.2 \text{ MPa}$	- w prefabrykacie w fazie początkowej dla B35
$\sigma_b^n \leq R_{bl} = 26.0 \text{ MPa}$	- w prefabrykacie w fazie użytkowej dla B45
- 4) Współczynnik odporności belki na zarysowanie $n \geq 1.20$ obliczony dla obciążen charakterystycznych.
 - analizę statyczną naprężen w belkach w charakterystycznych przekrojach wykonano na komputerze – wydruki analiz w załączniu
 - syntetyczne wyniki naprężen w charakterystycznych przekrojach belki pokazano na odrębnych arkuszach w załączniu.

zał. rys. nr 3

B. OBLICZENIE USTROJU NOŚNEGO - STAN PO MODERNIZACJI PRZESŁA.

1. OBLICZENIE SIŁ WEWNĘTRZNYCH W BELKACH GŁÓWNYCH USTROJU NOŚNEGO.

1.1. Ciezar stały – faza 0 - sama belka prefabrykowana przed zespoleniem

zał. - rys. nr 1, nr 4

belka prefabrykowana Płońsk LC = 16.50 m:

$A_b = 0.376 \text{ m}^2$ – pole przekroju poprzecznego belki

LC = 16.50 m

Lt = 16.00 m

$g_0 = 3.76 * 27.00 = 10.15 \text{ kN/m/1 belkę}$

$\gamma = 1.20$ - współczynnik obciążenia

siły wewnętrzne w belce:

$$R_{g0} = 0.5 g_0 L_t = 0.5 * 10.15 * 16.00 = 81.20 \text{ kN}$$

$$M_x = R_{g0} x - 0.5 g_0 x^2 = 81.20 x - 0.5 * 10.15 x^2 = 81.20 * x - 5.075 x^2$$

$$Q_x = R_{g0} - g_0 x = 81.20 - 10.15 x$$

$$\gamma = 1.20$$

1.2. Ciezar stały – faza 1 przed 1 zespoleniem (belki z zamkami)

zał. - rys. nr 1, nr 4

Ciezar stały w fazie użytkowej przed zespoleniem belek z zamkami płyty pomostu - jest to stan wyjściowy przesła przed jego modernizacją

$$\text{zamki } g_1 = (1.50 - 1.38) * 0.12 * 26.00 = 0.3744 \text{ kN/m/1 belkę}$$

$$\text{poprzecznice: } 1.63 * 3/16.00 = 0.306 \text{ kN/m/1 belkę}$$

$$\text{razem } g_1 = 0.3744 + 0.306 = 0.680 \text{ kN/m/1 belkę}$$

siły wewnętrzne w belce:

$$R_{g1} = 0.5 g_1 x L_t = 0.5 * 0.680 * 16.000 = 5.44 \text{ kN}$$

$$M_{g1} = R_{g1} x - 0.5 g_1 x^2 = 5.44 x - 0.5 * 0.680 * x^2 = 5.44 * x - 0.3402 x^2$$

$$Q_{g1} = R_{g1} - g_1 x = 5.44 - 0.680 x$$

$$\gamma = 1.20$$

1.3. Ciezar stały – faza 2 przed 2 zespoleniem z nadbetonem

1.3.1. Ustawienie przesel na podporach technologicznych

zał. - rys. nr 1, nr 4

Lt = 16.00 m

L_t = 13,50 m – rozstawn teoretyczny podpór tymczasowych

$$R = R_{g1} = (g_0 + g_1) * 0,50 Lt = (10,15 + 0,680) * 0,50 * 16,00 = 86,64 \text{ kN}$$

odc. x = 0.00 – 1.25 m

$$M_x = -86,64 x$$

$$Q_x = -86,64 \text{ kN}$$

odc. x = 1.25 – 14.75 m

$$M_x = -86,64 x 1.25 = -108,30 \text{ kNm}$$

$$Q_x = 0,00 \text{ kN}$$

$$\gamma = 1.20$$

1.3.2. Cieżar własny nadbetonu + demontaż poprzecznic

$$\begin{aligned}
 - \text{ nadbeton średnia gr. } 13.5 \text{ cm: } 0,135 * 1,50 * 27,00 &= 5.47 \text{ kN / m} \\
 - \text{ demontaż poprzecznic} &= -0,306 \\
 \text{razem } g_2 &= 5,164 \text{ kN / m}
 \end{aligned}$$

siły wewnętrzne w belce:

odc. x = 0,00 – 1,25 m

$$M_x = -0,50 g_2 * X^2 = -2,582 X^2$$

$$Q_x = -g_2 X = -5,164 X$$

odc. x = 1,25 – 14,75 m

$$Rg2 = 0,50 g_2 Lt = 0,50 * 5,164 * 16,00 = 41,312 \text{ kN}$$

$$M_x = -41,312 * (X-1,25) - 0,50 g_2 * X^2 = -2,582 X^2 + 41,312 X - 51,64 \text{ kNm}$$

$$Q_x = Rg2 - g_2 X = 41,31 - 5,164 X$$

$$\gamma = 1,20$$

1.4. Cieżar stały – faza 3 po zespoleniu z nadbetonem w układ ciągły

1.4.1. Zmiana schematu statycznego – sch. oblicz. 3 a

zał. nr 4

$$Rg0 + Rgl = 86,64 \text{ kN} - \text{od c. wł. belki + zamka}$$

$$Rg2 = 41,31 \text{ kN} - \text{od c. własnego nadbetonu}$$

$$\text{razem } Rg3 = 127,95 \text{ kN}$$

$$\gamma = 1,20$$

1.4.2. Cieżar nawierzchni i wyposażenia

$$\begin{aligned}
 - \text{ izolacja + nawierzchnia } 0,10 * 23,00 * 10,50 &= 24,15 \text{ kN/m} \\
 - \text{ gzymsy } 2 * 0,30 * 0,65 * 26,00 &= 10,14 \\
 - \text{ krawężniki + beton w chodnikach } (0,50 + 3,90) * (0,14 + 0,10) * 26,00 &= 27,46 \\
 - \text{ bariery ochronne + balustrada } &= 2,00 \\
 - &\quad \text{razem: } g_3 = 63,75 \text{ kN / m}
 \end{aligned}$$

zakładając równomierny rozkład obciążenia g_3 na wszystkie belki, na 1 belkę przypadnie:

$$g_3 = 63,75 / 10 = 6,375 \text{ kN / m / 1 belka}$$

$$\gamma = 1,50 - \text{współczynnik obciążenia}$$

1.5. Różnica skurczu i pełzania w betonie pomiędzy nadbetonem a belkami prefabrykowanymi z zamkami

$$\varepsilon_{sk}^n = 0,00021 - \text{w nadbetonie}$$

$$\varepsilon_{sk}^b = 0,00032 - \text{w belkach}$$

$$\varphi_p^b = 2,1 - \text{w belce}$$

$$\varphi_p^n = 2,5 - \text{w nadbetonie}$$

zakłada się, że w chwili betonowania nadbetonu przesła w belkach dokonał się już skurcz betonu w wysokości 75 % sumarycznej wartości, zatem różnica skurczu wyniesie:

$$\Delta \varepsilon_{sk} = \varepsilon_{sk}^n - 0,25 * \varepsilon_{sk}^b = 0,00021 - 0,25 * 0,00032 = 0,00013$$

- wsp. obciążenia dla skurczu betonu $\gamma = 1.20$

- charakterystyka nadbetonu:

$$E_n = 34600 \text{ MPa} \quad - \text{beton B35}$$

$$E_1 = E_n / (1 + \varphi_p^p) = 34600 / (1 + 2,50) = 9886 \text{ MPa}$$

$$A_n = A_1 = 0,135 * 1,50 = 0.2025 \text{ m}^2 \text{ - pole przekroju poprzecznego nadbetonu}$$

$$J_n = J_1 = 0.15 * 0.135^3 / 12 = 0.0003075 \text{ m}^4 \text{ - moment bezwładności nadbetonu}$$

$$E_1 J_1 = 9886 * 0.0003075 = 30,399 \text{ MNm}^2$$

$$E_1 A_1 = 9886 * 0,2025 = 2001,85 \text{ MN}$$

- charakterystyka belki:

$$E_b = 37800 \text{ MPa} \quad - \text{beton B45}$$

$$A_b = A_2 = 0.41034 \text{ m}^2 \text{ - pole przekroju poprzecznego belki wg wydruków komp.}$$

$$J_b = J_2 = 0.0457339 \text{ m}^4 \text{ - moment bezwładności belki}$$

$$y_c^b = 0,520 \text{ m} \text{ - położenie środka ciężkości belki}$$

$$E_2 = E_b / (1 + \varphi_p^b) = 37800 / (1 + 2.1) = 12194 \text{ MPa}$$

odległość środków ciężkości nadbetonu i belki:

$$E_2 J_2 = 12194 * 0,0457339 = 558,0 \text{ MNm}^2$$

$$E_2 A_2 = 12194 * 0,41034 = 5004 \text{ MN}$$

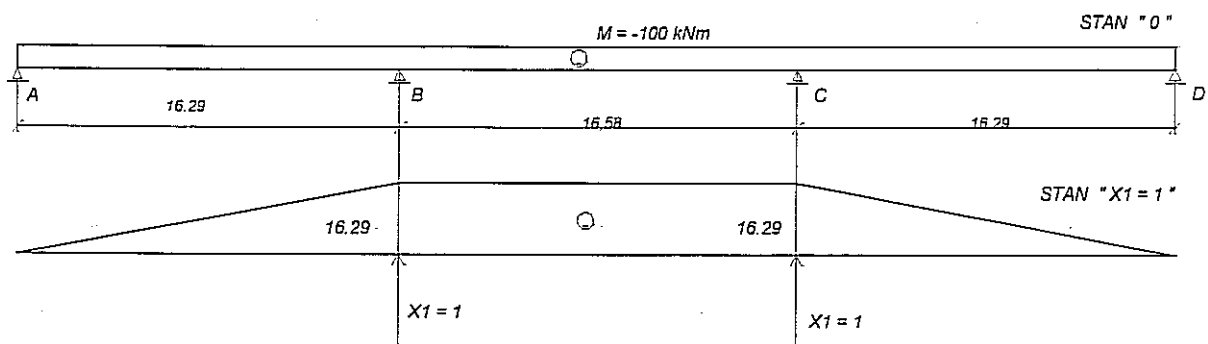
$$E_2 J_2 / E_1 J_1 = 18,36$$

$$a = y_c^n - y_c^b = 0.900 + 0.5 * 0.135 - 0.520 = 0.4475 \text{ m}$$

- przyrost momentu w prześle od różnicy skurczu betonu:

$$\begin{aligned} \Delta M &= (\Delta \varepsilon_{sk} (1 + E_2 J_2 / E_1 J_1)) a / (a^2 / E_1 J_1 + (1 + E_2 J_2 / E_1 J_1)(1 / E_1 A_1 + 1 / E_2 A_2)) = \\ &= 0.00013 (1 + 18,36) * 0.4475 / (0.4475^2 / 30,399 + (1 + 18,36)(1 / 2002 + 1 / 5004)) = \\ &= 0.099 \text{ MNm} = 100 \text{ kNm} \end{aligned}$$

- schemat obc. przęsła do określenia momentów wzbudzonych i sił poprzecznych od skurczu betonu:



$$R_A = -7,353 \text{ kN}$$

$$R_B = +7,353 \text{ kN}$$

$$M_x^{A-B} = R_A x = -7,353 x$$

$$M_x^{B-C} = R_A * L_{A-B} = -7,353 * 16,29 = -119,8 \text{ kNm}$$

$$Q_x^{A-B} = R_A = -7,353 \text{ kN}$$

$$Q_x^{B-C} = 0.00 \text{ kN}$$

Uwaga: moment $\Delta M = 100,0 \text{ kNm}$ – zostaje uwzględniony automatycznie w toku analiz komputerowych naprężeń w belkach zespolonych.

1.6. Obciążenie ruchome klasy B + tłum na chodniku

zał. - rys. nr 4

obciążenie podstawowe klasy „B”-PN-85/S-10030:

$$q = 3,00 \text{ kN / m}^2$$

$$K = 600 \text{ kN}$$

$$K' = 600 / 8 = 75,0 \text{ kN / 1 koło pojazdu K}$$

$$\gamma = 1.50 - \text{wsp. obciążenia}$$

$$L_{sr} = 1/3 (16,29 + 16,58 + 16,29) = 16,39 \text{ m}$$

$$\phi = 1.35 - 0.005 * L_{sr} = 1.35 - 0.005 * 16.39 = 1.268 - \text{wsp. dynamiczny}$$

$$K' * \phi = 75,0 * 1.268 = 95.1 \text{ kN}$$

- współrzędne działania obciążenia q względem osi przesła:

$$X^L = -6.95 \text{ m}$$

$$X^P = 3,55 \text{ m}$$

- współrzędne działania obciążenia K względem osi przesła:

$$X^L = -6.30 \text{ m}$$

$$X^P = 2,90 \text{ m}$$

obciążenie chodnika prawostronnego:

$$t = 2.5 \text{ kN/m}^2 - \text{na szerokości } 3,14 \text{ m}$$

$$\gamma = 1.30 - \text{wsp. obciążenia}$$

- współrzędne działania obciążenia względem osi przesła

$$X^L = 4,41 \text{ m}$$

$$X^P = 7,55 \text{ m}$$

2. OBLCZENIE WSPÓŁCZYNNIKÓW SZTYWNOŚCI NA ZGINANIE I SKRECANIE RUSZTU ZASTEPCZEGO PRZESŁA

zał. - rys. nr 5

- a) belka prefabrykowana ze stykami:

$$E_{bi} = 37800 \text{ MPa} - \text{beton B45}$$

$$A_{bi} = 0.3830 \text{ m}^2 / 1 \text{ szt.}$$

$$y_{ci} = 0,549 \text{ m}$$

$$J_{bi} = 0.04072 \text{ m}^4 / 1 \text{ szt.}$$

- b) nadbeton B35 grubości średnio 13.5 cm

$$A_n = 1,50 * 0,135 = 0,2025 \text{ m}^2$$

$$y_n = 0,90 + 0,50 * 0,135 = 0,968 \text{ m}$$

$$E_{B35} = 34600 \text{ MPa}$$

$$n = 34600 / 37800 = 0,915$$

- c) przekrój zespolony z nadbetonem

$$S_{x0} = 0,3830 * 0,549 + 0,2025 * 0,915 = 0,3896 \text{ m}^3$$

$$y_0 = 0,3896 / 0,5683 = 0,686 \text{ m}$$

$$J_{bi} = 0,04072 + 0,3830 (0,549 - 0,686)^2 + 0,2025 * 0,915 (0,968 - 0,686)^2 + 0,915 * 1,50 * 0,135^3 / 12 = 0,06292 \text{ m}^4$$

$$J'_{x0} = 0,06292 / 1,50 = 0,0419 \text{ m}^4 / 1 \text{ m}$$

d) moment bezwładności na skręcanie dla 1 m szerokości przekroju obliczeniowego:

$$J_x^s = \sum \gamma_s h b^3 = 1/3 * (1,50 * (0,12 + 0,135)^3 + 0,49 * 0,14^3 + 0,48 * 0,12^3 + 0,48 * 0,11^3) = 0,00923 \text{ m}^4$$

- na 1 m szerokości obliczeniowej przypada:

$$J_{xs} = 0,00923 / 1,50 = 0,00615 \text{ m}^4/\text{m}$$

e) kierunek poprzeczny do osi mostu – płyta pomostu z nadbetonem
rozstaw poprzecznic $b = 6,90 \text{ m}$

$$J_{y0} = 1,00 * (0,12 + 0,135)^3 / 12 = 0,001382 \text{ m}^4 / 1 \text{ mb}$$

f) moment bezwładności na skręcanie dla 1 m szerokości płyty pomostu z nadbetonem
 $h / b = 1,00 / (0,12 + 0,135) = 3,92 \Rightarrow \gamma_s = 0,280$

$$J_{ys} = \gamma_s h b^3 = 0,280 * 1,00 * (0,12 + 0,135)^3 = 0,00464 \text{ m}^4/\text{m}$$

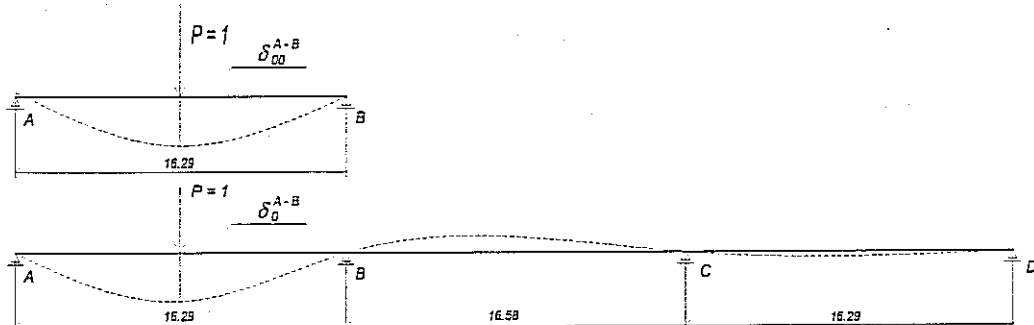
g) współczynnik ψ uwzględniający zmianę sztywności belek podłużnych spowodowaną ich uciążgleniem

$$\psi = \delta_{00} / \delta_0$$

$$\delta_{00} = P * l^3 / (48 EJ) \quad - \text{ugięcie belki swobodnie podpartej od siły jednostkowej } P = 1$$

$$\delta_0 \quad - \quad - \text{ugięcie belki ciągłej od siły jednostkowej}$$

I) – przesło skrajne $L_t = 16,29 \text{ m}$



$$\delta_0 = \delta_{00} = 16,29^3 / (48 EJ) = 90,06 * 1 / EJ \quad - \text{od siły jednostkowej } P = 1$$

$$\delta_{00}'' = -M * l^2 / (16 * EJ) = -\text{od momentu } M_B$$

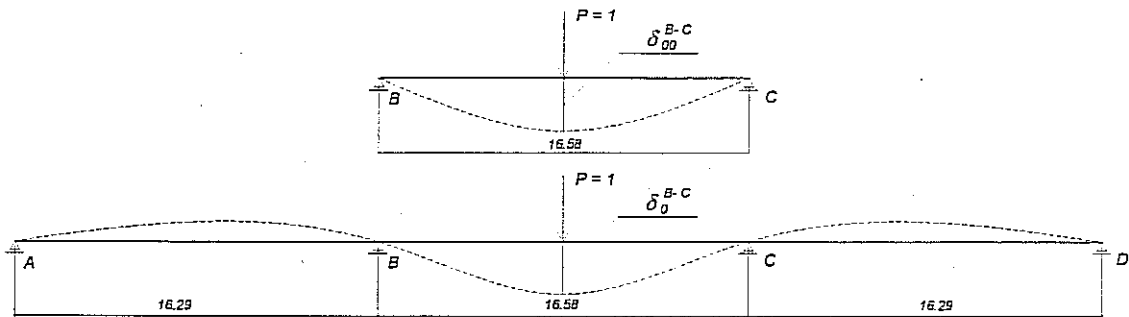
$$M_B = -0,100 P l_l = -0,100 * 1 * 16,29 = -1,629$$

$$\delta_{00}'' = -1,629 * 16,29^2 / (16 * EJ) = -27,017 * 1 / EJ$$

$$\delta_{00} = \delta_{00} - \delta_{00}'' = 90,06 - 27,017 = 63,043 * 1 / EJ$$

$$\psi_{A-B} = \delta_0 / \delta_{00} = 90,06 / 63,04 = 1,429$$

2) - przęsło środkowe $L_t = 16,58 \text{ m}$



$$\delta_0 = \delta_{00} = 16,58^3 / (48 \text{ EJ}) = 94,95 * 1 / \text{EJ} - \text{od siły jednostkowej } P = 1$$

$$\delta_{00} = \delta_{00}' + \delta_{00}''$$

$$\delta_{00}' = P * l^3 / (48 \text{ EJ}) = 94,95 * 1 / \text{EJ}$$

$$\delta_{00}'' = (M_B + M_C) / (16 * \text{EJ})$$

$$M_B = M_C = -0.075 * P * l_1 = -0.075 * 1 * 16,29 = -1.222$$

$$\delta_{00}'' = -2 * 16,58^2 / (16 * \text{EJ}) * 1.222 = -41,99 * 1 / \text{EJ}$$

$$\delta_{00} = 94,95 - 41,99 = 52,96 * 1 / \text{EJ}$$

$$\psi_{B-C} = \delta_0 / \delta_{00} = 94,95 / 52,96 = 1.793$$

do dalszych obliczeń przyjmuje się wartość średnią wsp. ψ :

$$\psi_{sr} = (1.4239 + 1.793) / 2 = 1.611$$

- jednostkowa sztywność na zginanie belek podłużnych z uwzględnieniem wsp. poprawkowego:

$$J_X' = J_X * \psi$$

$$J_X'' = 0.0419 * 1.611 = 0.0675 \text{ m}^4 / \text{m}$$

h) sztywności przęsła obliczeniowego, na zginanie i skręcanie:

$$b = \frac{B}{2} = 15,50 / 2 = 7,75 \text{ m} \quad - \text{połowa szerokości obliczeniowej przęsła}$$

$$\nu = \frac{1}{6} \quad - \text{wsp. Poisson'a dla betonu}$$

$$G = \frac{E}{2(1+\nu)} \quad - \text{moduł odkształcenia postaciowego}$$

$$\alpha = \frac{G}{2E} * \frac{J_x^s + J_y^s}{\sqrt{J_x J_y}}$$

$$\theta = \frac{b}{L} * \sqrt{\frac{J_x}{J_y}}$$

$$L_{sr} = 1/3 \cdot (16,29 + 16,58 + 16,29) = 16,39 \text{ m}$$

$$\alpha = \frac{1}{4(1+\frac{1}{6})} * \frac{0.00615 + 0.00464}{\sqrt{0.0675 * 0.001382}} = 0.239$$

$$\theta = \frac{7,75}{16,39} * \sqrt{\frac{0.0675}{0.001382}} = 1.25$$

ostatecznie przyjęto:

$\alpha = 0.239$
$\theta = 1.25$
$L_{sr} = 15.39 \text{ m}$
$B = 15.50 \text{ m}$

- i) sumaryczna sztywność podłużna przęsła obliczeniowego na zginanie:

$$E_{bi} = 37800 \text{ MPa} - \text{beton B45}$$

$$A_{bi} = 0.3830 \text{ m}^2 / 1 \text{ szt.}$$

$$J_{bi} = 0.06292 \text{ m}^4 / 1 \text{ belkę}$$

dla całego przekroju złożonego z 10 belek:

$$\Sigma J = 10 \times 0.06292 = 0.6292 \text{ m}^4$$

$$\Sigma EJ = 10 \times 37800 * 0.06292 = 23784 \text{ MNm}^2$$

3. ZESTAWIENIE ZBIORCZE MOMENTÓW ZGINAJACYCH I SIŁ POPRZECZNYCH W DŹWIGARZE NR 1 USTROJU NOŚNEGO – OBC. CHARAKTERYSTYCZNE I OB- LICZENIOWE

zał. - rys. nr 4

Analizę statyczną wykonano w technice komputerowej:

- w stanie przed zespoleniem belek w układ ciągły, siły wewnętrzne w belkach dla schematu belki wolnopodpartej obliczono w arkuszu Excell
- w stanie po zespoleniu, dla obc. stałego i ruchomego siły wewnętrzne obliczono wg schematów obliczeniowych (Sch. 3a – 3 j) dla jednostkowych obciążeń podanych w załączniku nr 4 (mnożniki do rzeczywistych wartości obciążeń oraz współczynniki przeciążenia dla obc. ruchomego K, q i t w belce Nr 1 jako najbardziej przeciążonej uwzględniono w tablicach)
- współczynniki przeciążenia dla obciążeń ruchomych obliczono programem RUSZT – wydruki obliczeń w załączniku
- wydruki analiz komputerowych w poszczególnych schematach obliczeniowych belki ciągiej w załączniku
- zestawienia sił wewnętrznych od obciążeń charakterystycznych i obliczeniowych podają tabele Nr 1 – 5
- numeracja węzłów belki Nr 1 ustroju nośnego jest zgodna ze schematem obliczeniowym przedstawionym na załączniku graficznym nr 4

Sily wewnętrzne w węzłach ustrój nośnego od obciążenia jednostkowych

tabela 1

		Schemat 3a - 6 x Rg(3) = = 6 x 127,95 kN		obciążenie równomiernie rozłożone q = 10 kN / m ²		obciążenie skupione 4 x 100 kN - pojazd K		Momenty zgimajacze		Sily poprzeczne	
		Sch. 3b obc. przesia (A - B - C)		Sch. 3c obc. przesia (A - B)		Sch. 3d obc. przesia (B - C)		Sch. 3e obc. przesia (C - D)		Sch. 3f obc. przesia (A - B)	
Nr węzła		Sch. 3b obc. przesia (A - B - C)	Sch. 3c obc. przesia (A - B)	Sch. 3d obc. przesia (B - C)	Sch. 3e obc. przesia (C - D)	Sch. 3f obc. przesia (A - B)	Sch. 3g obc. przesia (B - C)	Sch. 3h	Sch. 3i	Sch. 3h	Sch. 3i
kNm	1	0,000	0,000	0,000	0,000	0,000	0,000	0,000	0,000	0,000	0,000
kNm	1'	60,584	84,148	71,372	-10,621	3,397	102,511	-36,651			
kNm	2	131,588	139,331	155,020	-23,069	7,378	309,414	-83,949			
kNm	3	103,239	204,850	236,329	-46,137	14,759	792,327	-167,897			
kNm	4	74,880	198,857	243,926	-89,208	22,138	1089,743	-251,847			
kNm	5	46,542	115,053	17,811	-92,275	29,517	739,163	-336,797			
kNm	6	18,163	-40,464	37,884	-115,344	36,897	49,501	-419,748			
kNm	6'	-127,484	-130,023	-121,124	-13,035	4,188	-301,144	-47,618			
kNm	7	-206,559	-269,603	-175,566	-138,413	44,276	-640,001	-503,698			
kNm	7'	-96,742	-163,306	-165,137	-32,026	23,857	-565,663	-169,890			
kNm	8	-6,509	-76,797	-138,918	52,493	7,637	-508,433	65,270			
kNm	9	-9,502	35,740	-102,279	187,021	-29,002	-372,865	694,236			
kNm	10	-8,485	73,919	-85,641	205,201	-65,641	-239,297	932,544			
KN	T1 = R1	-117,508	64,894	70,673	-8,497	2,718	146,008	-30,820	344,461	26,418	-15,246
KN	T4	-10,441	-16,556	-10,777	-8,497	2,718	-46,010	-30,921	26,418		
KN	T7L	-338,391	-98,006	-82,227	-8,497	2,718	-253,980	-30,921	-373,602	-15,247	
KN	R7	266,344	180,905	105,466	91,356	-15,977	302,326	247,678	395,363	370,963	
KN	T7P	-127,952	82,000	13,259	82,019	-13,259	48,336	216,758	364,716		
KN	T10	0,002	82,809	13,259	0,000	-13,259	48,336	10,759			-25,284

Momenty zginające (kNm) w belce Nr 1

a) obciążenie charakterystyczne

	Nr węzła ustroju nośnego	Lp	wsp. obciążenia	1	1'	2	3	4	5	6	6'	7	7'	8	9	10
Stan początkowy przed 1 zespoleniem - faza 1	odległość x [m] od czola belek obciążenie state g(0) - cieżar własny belki w fazie składowania i transportu obciążenie state g(1) - przed zespoleniem z zamkami		0,00	1,25	2,72	5,43	8,15	10,86	13,58	14,75	16,29	1,25	2,47	5,24	8,00	
Stan początkowy przed 2 zespoleniem - faza 2	obciążenie Rg(1) - w fazie ustawienia na ruszowaniach technologicznych obciążenie state g(2) - przed zespoleniem z nadbetonem	2	1,00	0,00	6,27	12,26	19,51	21,74	18,96	11,16	6,23	---	6,27	11,37	19,16	21,75
Stan bezużykowy po 2 zespoleniu faza 3	Razem (3 + 4) obciążenie reakciami Rg(3) = 127,95 kN obciążenie state g(3) - po zespoleniu obciążenie od różnicy skurczu betonu Δε	3	1,00	0,00	-108,30	-108,30	-108,30	-108,30	-108,30	-108,30	-108,30	---	-108,30	-108,30	-108,30	-108,30
Rodzaj obciążenia Zewnetrznego																
Obc. ruch. q = 3,0 kN/m2 - klasy B	max 10 min 11	1,00	0,00	-4,03	41,48	96,54	113,54	92,47	33,33	-4,06	---	-4,03	34,74	93,88	113,59	
Obc. ruch. 4 x K = 4 x 95,1 kN - klasy B	max 12 min 13	1,00	0,00	-112,33	-66,82	-11,76	5,24	-15,83	-74,97	-112,36	---	-112,33	-73,56	-14,42	5,29	
Obc. ilumem t = 2,5 kN/m2	max 14 min 15	1,00	0,00	60,58	131,59	103,24	74,89	46,54	18,19	-127,48	-206,56	-96,74	-9,51	-9,50	-9,50	
Razem (6 + 7 + 8)	Razem (3 + 4) obciążenie reakciami Rg(3) = 127,95 kN obciążenie state g(3) - po zespoleniu obciążenie od różnicy skurczu betonu Δε	9	1,00	0,00	-9,19	88,82	130,66	125,50	-25,80	-82,89	-171,93	-104,11	-50,23	22,78	47,12	
Obc. ruch. q = 3,0 kN/m2 - klasy B	max 10 min 11	1,00	0,00	-3,72	-8,09	-16,17	-24,26	-32,34	-40,43	-47,04	-110,05	8,36	-48,69	-46,02	-46,02	
Obc. ruch. 4 x K = 4 x 95,1 kN - klasy B	max 12 min 13	1,00	0,00	92,60	201,12	402,25	542,24	375,02	0,00	0,00	0,00	0,00	0,00	48,34	352,23	473,13
Obc. ilumem t = 2,5 kN/m2	max 14 min 15	1,00	0,00	-19,61	-42,59	-85,18	-127,78	-170,37	-212,96	-198,45	-324,71	-286,94	-256,94	-189,18	-121,41	
Razem obc. ruchome klasy B + tlum	max 16 min 17	1,00	0,00	-0,01	-0,03	-0,05	-0,08	-0,10	-0,13	-0,15	-0,35	-0,21	-0,16	-0,15	-0,15	

b) obciążenie obliczeniowe

	Nr węzła ustroju nośnego	Lp	wsp. obciążenia	1	1'	2	3	4	5	6	6'	7	7'	8	9	10
Stan początkowy przed 1 zespoleniem - faza 1	odległość x [m] od czola belek obciążenie state g(0) - cieżar własny belki w fazie składowania i transportu obciążenie state g(1) - przed zespoleniem z zamkami		0,00	1,25	2,72	5,43	8,15	10,86	13,58	14,75	16,29	1,25	2,47	5,24	8,00	
Stan początkowy przed 2 zespoleniem - faza 2	obciążenie Rg(1) - w fazie ustawienia na ruszowaniach technologicznych obciążenie state g(2) - przed zespoleniem z nadbetonem	2	1,20	0,00	7,52	14,71	23,41	26,09	22,75	13,39	7,47	---	7,52	13,65	22,99	
Stan bezużykowy po 2 zespoleniu faza 3	Razem (3 + 4) obciążenie reakciami Rg(3) = 127,95 kN obciążenie state g(3) - po zespoleniu obciążenie od różnicy skurczu betonu Δε	4	1,20	0,00	-129,96	-129,96	-129,96	-129,96	-129,96	-129,96	-129,96	---	-129,96	-129,96	-129,96	
Obc. ruch. q = 3,0 kN/m2 - klasy B	max 10 min 11	1,00	0,00	-134,80	-80,18	-49,78	115,85	136,24	110,96	40,00	-4,88	---	-134,80	-88,28	-17,30	6,35
Obc. ruch. 4 x K = 4 x 95,1 kN - klasy B	max 12 min 13	1,00	0,00	-11,03	-23,96	-47,91	-71,87	-95,82	-119,78	-130,15	-143,74	-143,74	-143,74	-143,74	-143,74	
Obc. ilumem t = 2,5 kN/m2	max 14 min 15	1,00	0,00	-0,02	-0,03	-0,07	-0,10	-0,13	-0,17	-0,20	-0,46	-0,27	-0,20	-0,19	-0,19	
Razem obc. ruchome klasy B + tlum	max 16 min 17	1,00	0,00	-23,34	-50,70	-101,41	-152,11	-202,82	-233,52	-245,64	-435,12	-278,79	-305,79	-235,34	-235,34	

tabela 2

	Nr węzła ustroju nośnego	Lp	wsp. obciążenia	1	1'	2	3	4	5	6	6'	7	7'	8	9	10
Stan początkowy przed 1 zespoleniem - faza 1	odległość x [m] od czola belek obciążenie state g(0) - cieżar własny belki w fazie składowania i transportu obciążenie state g(1) - przed zespoleniem z zamkami		0,00	1,25	2,72	5,43	8,15	10,86	13,58	14,75	16,29	1,25	2,47	5,24	8,00	
Stan bezużykowy po 2 zespoleniu faza 3	Razem (3 + 4) obciążenie reakciami Rg(3) = 127,95 kN obciążenie state g(3) - po zespoleniu obciążenie od różnicy skurczu betonu Δε	9	1,00	0,00	-112,33	-66,82	-11,76	5,24	-15,83	-74,97	-112,36	---	-112,33	-73,56	-14,42	5,29
Obc. ruch. q = 3,0 kN/m2 - klasy B	max 10 min 11	1,00	0,00	-4,03	41,48	96,54	113,54	92,47	33,33	-4,06	---	-4,03	34,74	93,88	113,59	
Obc. ruch. 4 x K = 4 x 95,1 kN - klasy B	max 12 min 13	1,00	0,00	-112,33	-66,82	-11,76	5,24	-15,83	-74,97	-112,36	---	-112,33	-73,56	-14,42	5,29	
Obc. ilumem t = 2,5 kN/m2	max 14 min 15	1,00	0,00	60,58	131,59	103,24	74,89	46,54	18,19	-127,48	-206,56	-96,74	-9,51	-9,50	-9,50	
Razem obc. ruchome klasy B + tlum	max 16 min 17	1,00	0,00	-9,19	88,82	130,66	125,50	-25,80	-82,89	-171,93	-104,11	-50,23	22,78	47,12	47,12	

tabela 3

17

Sily poprzeczne (kN) w belce Nr 1

a) obciążenie charakterystyczne

	Nr węzła ustroju nośnego	Lp	wsp. obciążenia	1	1'(L)	1'(P)	2	3	4	5	6	6'(L)	6'(P)	7L	7P	7'(L)	7'(P)	8	9	10
	Odpowiedź x [m] od czola belki obciążenie stałe q(0) - cleżar własny belki w fazie składowania i transportu		0,00	1,25	1,25	2,72	5,43	8,15	10,86	13,58	14,75	14,75	16,29	0,00	1,25	1,25	2,47	5,24	8,70	
Stan początkowy przed 1 z zespołem - faza 1	obciążenie stałe q(1) - przed zespołaniem z zankami	1	1,00	81,20	68,51	60,51	53,64	26,09	-1,47	-20,03	-56,59	-68,51	—	—	68,51	68,51	56,10	28,05	0,00	
Stan początkowy przed 2 z zespołem - faza 2	obciążenie Rg(1) - w fazie ustawienia na ruszalowaniach technologicznych obciążenie stałe q(2) - przed zespołaniem z nadbelonem	2	1,00	5,44	4,59	3,59	1,75	-0,10	-1,95	-3,80	-4,60	—	—	4,59	4,59	3,76	1,88	0,00		
Stan początkowy po 2 zespołaniu bezuzłykowy po 2 zespołaniu	obciążenie reakcja Rg(3) = 127,95 kN obciążenie stałe q(3) - po zespołaniu obciążenie od różnicy skurczu betonu $\Delta\varepsilon$	3	1,00	-86,64	0,00	0,00	0,00	0,00	0,00	0,00	0,00	86,64	—	—	-86,64	0,00	0,00	0,00	0,00	
Stan bezuzłykowy po 2 zespołaniu faza 3	Razem (3 + 4)	4	1,00	0,00	-6,46	34,86	27,29	13,27	-0,75	-14,77	-28,79	-34,86	6,46	—	-6,46	34,86	28,54	14,27	0,00	
Obc. ruch. q = 3,0 kN/m ² - klasy B	Obc. ruch. 4 x K = 4 x 95,1 kN - klasy B	5	1,00	-86,64	-93,10	34,86	27,29	13,27	-0,75	-14,77	-28,79	-34,06	93,10	—	-93,10	34,86	28,54	14,27	0,00	
Obc. ilumem t = 2,5 kN/m ²	Obc. ilumem t = 2,5 kN/m ² - klasy B + tlum	6	1,00	117,51	117,51	-10,44	-10,44	-10,44	-10,44	-10,44	-10,44	-10,44	-10,44	-10,44	-127,95	0,00	0,00	0,00	0,00	
Rodzaj obciążenia zewnętrznego	Rodzaj obciążenia zewnętrznego	7	1,00	41,37	33,41	24,07	6,78	-10,55	-27,84	-45,16	-52,66	-62,48	-52,28	-44,59	-44,59	36,51	36,51	18,26	0,00	
Obc. ruch. q = 3,0 kN/m ² - klasy B	Obc. ruch. 4 x K = 4 x 95,1 kN - klasy B	8	1,00	-7,35	-7,35	-7,35	-7,35	-7,35	-7,35	-7,35	-7,35	-7,35	-7,35	-7,35	-7,35	0,00	0,00	0,00	0,00	
Obc. ilumem t = 2,5 kN/m ²	Obc. ilumem t = 2,5 kN/m ² - klasy B + tlum	9	1,00	151,53	143,56	6,28	-11,01	-28,35	-46,63	-62,95	-70,45	-98,40	-208,22	-180,23	-172,54	-44,59	-36,51	18,26	0,00	
Razem (6 + 7 + 8)	Razem (6 + 7 + 8)	10	1,00	27,93	23,79	18,95	9,96	0,95	0,00	0,00	0,00	0,00	0,00	0,00	33,71	29,17	29,17	24,72	22,03	
Obc. ruch. q = 3,0 kN/m ² - klasy B	Obc. ruch. 4 x K = 4 x 95,1 kN - klasy B	11	1,00	-6,76	-16,26	-25,78	-29,91	-29,91	-35,31	-35,31	-35,31	-35,31	-35,31	-35,31	-35,31	0,00	0,00	0,00	0,00	
Obc. ilumem t = 2,5 kN/m ²	Obc. ilumem t = 2,5 kN/m ² - klasy B + tlum	12	1,00	64,77	64,77	33,65	13,40	-23,34	-55,47	-93,67	-108,90	-108,90	-108,90	-108,90	-108,90	185,04	159,96	135,41	79,97	
Razem obc. ruchome klasy B + tlum	Razem obc. ruchome klasy B + tlum	13	1,00	0,17	0,00	0,00	0,00	0,00	0,00	0,00	0,00	0,00	0,00	0,00	0,00	0,00	0,00	0,00	0,00	
Obc. ruch. q = 3,0 kN/m ² - klasy B	Obc. ruch. 4 x K = 4 x 95,1 kN - klasy B	14	1,00	0,00	0,00	0,00	0,00	0,00	0,00	0,00	0,00	0,00	0,00	0,00	0,00	0,00	0,00	0,00	0,00	
Obc. ilumem t = 2,5 kN/m ²	Obc. ilumem t = 2,5 kN/m ² - klasy B + tlum	15	1,00	102,18	89,57	80,57	72,81	43,61	14,36	0,00	0,00	0,00	0,00	0,00	0,00	218,75	169,12	169,12	160,14	102,00
Razem obc. ruchome klasy B + tlum	Razem obc. ruchome klasy B + tlum	16	1,00	0,00	0,00	0,00	0,00	0,00	0,00	0,00	0,00	0,00	0,00	0,00	0,00	0,00	0,00	0,00	0,00	
Obc. ruch. q = 3,0 kN/m ² - klasy B	Obc. ruch. 4 x K = 4 x 95,1 kN - klasy B	17	1,00	0,00	0,00	0,00	0,00	0,00	0,00	0,00	0,00	0,00	0,00	0,00	0,00	0,00	0,00	0,00	0,00	

b) obciążenie obliczeniowe

	Nr węzła ustroju nośnego	Lp	wsp. obciążenia	1	1'(L)	1'(P)	2	3	4	5	6	6'(L)	6'(P)	7L	7P	7'(L)	7'(P)	8	9	10
	Odpowiedź x [m] od czola belki obciążenie stałe q(0) - cleżar własny belki w fazie składowania i transportu		0,00	1,25	1,25	2,72	5,43	8,15	10,86	13,58	14,75	14,75	16,29	0,00	1,25	1,25	2,47	5,24	8,70	
Stan początkowy przed 1 z zespołem - faza 1	obciążenie stałe q(1) - przed zespołaniem z zankami	1	1,20	97,44	82,22	82,22	64,37	31,30	-1,77	-34,03	-67,90	-82,22	-82,22	—	—	82,22	82,22	67,32	33,66	0,00
Stan początkowy przed 2 z zespołem - faza 2	obciążenie Rg(1) - w fazie ustawienia na ruszalowaniach technologicznych obciążenie stałe q(2) - przed zespołaniem z nadbelonem	2	1,20	6,53	5,51	4,31	2,09	-0,12	-2,34	-4,56	-5,52	-5,52	—	—	5,51	5,51	4,51	2,25	0,00	
Stan bezuzłykowy po 2 zespołaniu faza 3	obciążenie reakcja Rg(3) = 127,95 kN obciążenie stałe q(3) - po zespołaniu obciążenie od różnicy skurczu betonu $\Delta\varepsilon$	3	1,20	-103,97	0,00	0,00	0,00	0,00	0,00	0,00	0,00	0,00	0,00	0,00	0,00	-103,97	0,00	0,00	0,00	0,00
Obc. ruch. q = 3,0 kN/m ² - klasy B	Obc. ruch. 4 x K = 4 x 95,1 kN - klasy B	4	1,20	0,00	-7,75	41,83	32,75	15,92	-0,90	-17,73	-34,55	-41,83	-7,75	—	-7,75	41,83	34,25	17,12	0,00	
Obc. ilumem t = 2,5 kN/m ²	Obc. ilumem t = 2,5 kN/m ² - klasy B + tlum	5	1,2	141,01	121,53	-12,53	-12,53	-12,53	-12,53	-12,53	-12,53	-12,53	-12,53	-12,53	-12,53	-111,71	41,83	34,25	17,12	0,00
Razem (3 + 4)	Razem (3 + 4)	6	1,5	62,05	50,11	36,11	10,17	-15,83	-41,76	-67,74	-78,98	-93,72	-78,41	-66,89	-66,89	66,89	66,89	54,77	27,38	0,00
Obc. ruch. q = 3,0 kN/m ² - klasy B	Obc. ruch. 4 x K = 4 x 95,1 kN - klasy B	7	1,2	-9,56	-9,56	-9,56	-9,56	-9,56	-9,56	-9,56	-9,56	-9,56	-9,56	-9,56	-9,56	0,00	0,00	0,00	0,00	0,00
Obc. ilumem t = 2,5 kN/m ²	Obc. ilumem t = 2,5 kN/m ² - klasy B + tlum	8	1,2	193,51	181,56	20,03	-14,03	-37,92	-63,84	-101,07	-254,61	-269,34	-221,95	-50,56	-50,56	66,89	66,89	54,77	27,39	0,00
Obc. ruch. q = 3,0 kN/m ² - klasy B	Obc. ruch. 4 x K = 4 x 95,1 kN - klasy B	9	1,50	41,89	35,69	28,42	14,94	1,43	-10,13	-24,39	-38,68	-44,86	-52,96	-43,75	-43,75	50,56	50,56	43,75	37,08	33,04
Obc. ilumem t = 2,5 kN/m ²	Obc. ilumem t = 2,5 kN/m ² - klasy B	10	1,50	111,12	97,16	80,80	50,48	20,11	-35,02	-87,71	-140,50	-163,35	-193,30	-277,56	-277,56	239,94	239,94	203,12	119,95	36,79
Razem obc. ruchome klasy B + tlum	Razem obc. ruchome klasy B + tlum	11	1,50	1,30	0,26	0,00	0,00	0,00	0,00	0,00	0,00	0,00	0,00	0,00	0,00	0,00	0,00	0,00	0,00	0,00
Obc. ruch. q = 3,0 kN/m ² - klasy B	Obc. ruch. 4 x K = 4 x 95,1 kN - klasy B	12	1,50	153,27	132,85	109,22	65,42	21,53	0,00	0,00	0,00	0,00	0,00	0,00	0,00	0,00	326,12	283,69	240,20	163,00
Obc. ilumem t = 2,5 kN/m ²	Obc. ilumem t = 2,5 kN/m ² - klasy B + tlum	13	1,50	0,00	0,00	0,00	0,00	0,00	0,00	0,00	0,00	0,00	0,00	0,00	0,00	0,00	0,00	0,00	0,00	0,00
Razem obc. ruchome klasy B + tlum	Razem obc. ruchome klasy B + tlum	14	1,50	45,15	-112,09	-179,17	-208,21	-246,25	0,00	0,00	0,00	0,00	0,00	0,00	0,00	0,00	0,00	0,00	0,00	0,00

	Nr węzła ustroju nośnego	Lp	wsp. obciążenia	1	1'(L)	1'(P)	2	3	4	5	6	6'(L)	6'(P)	7L	7P	7'(L)	7'(P)	8	9	10
	Odpowiedź x [m] od czola belki obciążenie stałe q(0) - cleżar własny belki w fazie składowania i transportu		0,00	1,25	1,25	2,72	5,43	8,15	10,86	13,58	14,75	14,75	16,29	0,00	1,25	1,25	2,47	5,24	8,70	
Stan początkowy przed 1 z zespołem - faza 1	obciążenie stałe q(1) - przed zespołaniem z zankami	1	1,20	97,44	82,22	82,22	64,37	31,30	-1,77	-34,03	-67,90	-82,22	-82,22	—	—	82,22	82,22	67,32	33,66	0,00
Stan początkowy przed 2 z zespołem - faza 2	obciążenie Rg(1) - w fazie ustawienia na ruszalowaniach technologicznych obciążenie stałe q(2) - przed zespołaniem z nadbelonem	2	1,20	6,53	5,51	4,31	2,09	-0,12	-2,34	-4,56	-5,52	-5,52	—	—	5,51	5,51	4,51	2,25	0,00	
Stan bezuzłykowy po 2 zespołaniu faza 3	obciążenie reakcja Rg(3) = 127,95 kN obciążenie stałe q(3) - po zespołaniu obciążenie od różnicy skurczu betonu $\Delta\varepsilon$	3	1,20	-103,97	0,00	0,00	0,00	0,00	0,00	0,00	0,00	0,00	0,00	0,00	0,00	0,00	0,00	0,00	0,00	0,00
Obc. ruch. q = 3,0 kN/m ² - klasy B	Obc. ruch. 4 x K = 4 x 95,1 kN - klasy B	4	1,20	0,00	-7,75	41,83	32,75	15,92	-0,90	-17,73	-34,55	-41,83	-7,75	—	-7,75	41,83	34,25	17,12	0,00	
Obc. ilumem t = 2,5 kN/m ²	Obc. ilumem t = 2,5 kN/m ² - klasy B + tlum	5	1,2	141,01	121,53	-12,53	-12,53	-12,53	-12,53	-12,53	-12,53	-12,53	-12,53	-12,53	-12,53	-111,71	41,83	34,25	17,12	0,00
Razem (3 + 4)	Razem (3 + 4)	6	1,5	62,05	50,11	36,11	10,17	-15,83	-41,76	-67,74	-78,98	-93,72	-78,41	-66,89	-66,89	66,89	66,89</td			

4. WYMIAROWANIE DŽWIGARA ISTN. PO MODERNIZACJI – SPRAWDZENIE NAPREŽEN

zał. rys. nr 5

4.1. Zbiorcze zestawienie naprežen w wybranych przekrojach belek głównych wiaduktu

- zestawienie graficzne naprežen w wybranych przekrojach obliczeniowych belek głównych przedstawiono w załącznikach graficznych nr 7 a – 7 f – (6 wybranych schematów obliczeniowych)

zał. rys. nr 7a – 7f

Analizę wykonano w technice komputerowej.

W załącznikach podano zbiorcze wyniki naprežen normalnych, ścinających i głównych rozciągających w środku rozpiętości przesła i w strefach podporowych. Ponadto podano charakterystykę i straty siły sprężającej oraz wsp. odporności belki na zarysowanie.

Założenia projektowe

a) stal sprężająca:

64 liny $7 \phi 2,5$ odmiany I o nośności charakterystycznej 1 liny $P_{pk} = 67 \text{ kN}$

- przekrój jednej liny $A_{7\phi 2,5} = 35.61 \text{ mm}^2$

- siła sprężająca w jednym cięgnie:

- początkowa $0.650 P_{pk} = 43,6 \text{ kN}$

- w normalnej pracy $0.55 P_{pk} = 36.85 \text{ kN}$

- moduł sprężystości $E_v = 180\,000 \text{ MPa}$

b) beton w prefabrykacie:

- w chwili sprężenia B35; $E_b = 34600 \text{ MPa}$

- w normalnej pracy B45; $E_b = 37800 \text{ MPa}$

c) beton w zamkach płyty pomostu:

- klasa betonu B25; $E_b = 30000 \text{ MPa}$

d) beton w nadbetonie płyty pomostu:

- klasa betonu B35; $E_b = 34600 \text{ MPa}$

e) straty siły sprężającej:

- od odkształcenia sprężystego betonu w chwili kotwienia - przy założeniu, że beton osiąga w tym momencie wytrzymałość klasy B35, $E_b = 34600 \text{ MPa}$

- od relaksacji stali sprężającej

- od różnicy temperatury cięgien i urządzeń oporowych - dla $\Delta t = 60 \text{ }^\circ\text{C}$

- straty reologiczne - skurcz betonu w belce, zamkach i nadbetonie przy następujących wartościach:

$$\varepsilon_{sk}^b = 0.00032 \quad - \text{w belce po 7 dniach (sprężenie)}$$

$$\varepsilon_{sk}^b = 0.00016 \quad - \text{w belce w chwili betonowania zamków}$$

$$\varepsilon_{sk}^n = 0.00032 \quad - \text{w zamkach płyty}$$

$$\varepsilon_{sk}^n = 0.00021 \quad - \text{w nadbetonie}$$

$$\Delta \varepsilon_{sk} = \varepsilon_{sk}^p - 0.5 * \varepsilon_{sk}^b = 0.00016 - \text{pomiędzy zamkami a belką}$$

zakłada się, że w chwili betonowania nadbetonu przesło w belkach dokonał się już skurcz betonu

w wysokości 75 % sumarycznej wartości, zatem różnica skurczu wyniesie:

$$\Delta \varepsilon_{sk} = \varepsilon_{sk}^a - 0,25 * \varepsilon_{sk}^b = 0.00021 - 0,25 * 0.00032 = 0.00013$$

- $\varphi_p^b = 2,1$ – w belce po 90 dniach
 $\varphi_p^p = 2,1$ – w zamkach po 90 dniach
 $\varphi_p^p = 2,5$ – w nadbetonie po 28 dniach

- f) zmniejszenie siły sprężającej w strefie kotwienia, w zależności od odległości przekroju analizowanego od czoła belki, uwzględniono w analizach automatycznie, w trybie bezpośrednich obliczeń komputerowych.

Warunki obliczeniowe naprężeń:

- 1) Sprężenia ograniczone - odpowiadające niedopuszczeniu naprężzeń rozciągających większych od $R_{blk,0.05}$

$$|\sigma_{blk}| \leq R_{blk,0.05} = 1.90 \text{ MPa} - \text{B35} - \text{w chwili sprężenia}$$

$$|\sigma_{blk}| \leq R_{blk,0.05} = 2.30 \text{ MPa} - \text{B45} - \text{w normalnej pracy}$$

- 2) Sprawdzenie na pojawienie się rys ukośnych wg warunku:

$$\sigma_1 \leq R_{blk,0.05} = 2.30 \text{ MPa} \quad \begin{aligned} & \text{- naprężenia główne rozciągające w belce od obciążen charak-} \\ & \text{terystycznych dla betonu B45} \end{aligned}$$

- 3) Naprężenia w betonie strefy ściskanej od obciążen obliczeniowych:

$$\sigma_b^n \leq R_{b1} = 20.2 \text{ MPa} \quad \begin{aligned} & \text{- w nadbetonie B35} \end{aligned}$$

$$\sigma_b^p \leq R_{b1} = 14.4 \text{ MPa} \quad \begin{aligned} & \text{- w zamkach płyty istn. B25} \end{aligned}$$

$$\sigma_b^b \leq R_{b1} = 20.2 \text{ MPa} \quad \begin{aligned} & \text{- w prefabrykacie w fazie początkowej dla B35} \end{aligned}$$

$$\sigma_b^b \leq R_{b1} = 26.0 \text{ MPa} \quad \begin{aligned} & \text{- w prefabrykacie w fazie użytkowej dla B45} \end{aligned}$$

- 4) Współczynnik odporności belki na zarysowanie $n \geq 1.20$ obliczony dla obciążen charakterystycznych.

- analizę statyczną naprężzeń w belkach w charakterystycznych przekrojach wykonano na komputerze – wydruki analiz w załączniu
- syntetyczne wyniki naprężzeń w charakterystycznych przekrojach belki pokazano na odrębnych arkuszach w załączniu.

4.2 Nośność graniczna strefy rozciąganej belki w prześle skrajnym.

4.2.1. Środek rozpiętości przesła skrajnego - węzeł nr 4

- warunek nośności określony jest wzorem: $M_{ns} \geq s_2 M_k$ wg PN - 91/S-10042

- oznaczenia:

M_k - moment charakterystyczny

$s_2 = 2.00$

$$M_{ns} = cR_{pk} S_p + R_{ak} S_a + R_{ak} S_{ac}$$

$$A_{bc} = \frac{1}{R_{pk}} (cR_{pk} A_p + R_{ak} A_a + R_{ak} A_{ac} - \sigma_{pc} A_{pc}) - \text{pole strefy ściskanej}$$

$c = 1.00$ – przy pełnej przyczepności cięgien do betonu

$R_{pk} A_p = n * P_k = 64 * 67 = 4288 \text{ kN}$ - sumaryczna nośność charakterystyczna lin

$R_{ak} = 200 \text{ MPa}$ – zbrojenie miękkie

$A_a = 0 \text{ cm}^2$ – przekrój zbrojenia strefy rozciąganej

$A_{ac} = 0 \text{ cm}^2$ – przekrój zbrojenia strefy ściskanej

$\sigma_{pc} = P_{pc} / A_p = 400$

P_{pc} – charakterystyczna siła w cięgnach z uwzględnieniem strat doraźnych i reologicznych wg załącznika dla belki zespolonej w węźle nr 3

$$A_{pc} = 0.00 - \text{brak cięgów w strefie ściskanej}$$

$$R_{bk} = 26,2 \text{ MPa} - \text{wytrzymałość charakterystyczna betonu B35 (nadbeton)}$$

- wysokość strefy ściskanej określa się z warunku równowagi sił $\Sigma X = 0$,

$$c * R_{pk} * A_p + R_{ak} * A_a + R_{ak} * A_a - \sigma_{pc} * A_{pc} = \sum A_b * R_{bk}$$

- zakładając, że cała stal sprężająca znajduje się w strefie rozciąganej oraz że strefa ściskana obejmuje nadbeton, otrzymujemy się:

$$c * R_{pk} * A_p + R_{ak} * A_a + R_{ak} * A_a - \sigma_{pc} * A_{pc} = 1.00 * 4,288 + 200 (0.0000) - 0 = 4,288 \text{ MN}$$

$$\sum A_b * R_{bk} = 1,50 * X * 26,2 = 4,288 \Rightarrow x = 0.12 \text{ m} - \text{poniżej górnej krawędzi środka belki}$$

- położenie środka ciężkości bryły naprężeń strefy ściskanej licząc od dolnej krawędzi belki:

$$y_c = 0,90 + 0,125 - 0,5 * 0,109 = 0,970 \text{ m}$$

$z = \text{- ramię sił wewnętrznych}$

$$M_{ns} = c R_{pk} * S_p + R_{ak} * S_a = c n P_k z + R_{ak} S_a - \text{moment niszczący}$$

S_p - moment statyczny pola przekroju stali sprężającej strefy rozciąganej, względem środka ciężkości pola strefy ściskanej betonu

- położenie środka ciężkości stali sprężającej strefy rozciąganej:

$$y_{pr} = (32 * 0.06 + 4 * 0.11 + 28 * 0.21) / 64 = 0.12875 \text{ m}$$

$$S_p = n * z = 64 * (0.97 - 0.12875) = 53,84 \text{ m}$$

$$M_{ns} = 1.00 * 0.067 * 53,84 = 3,607 \text{ MNm}$$

Sumaryczny moment w belce od obciążień charakterystycznych sprowadzony do przekroju zespolonego:

a) belka przed zespoleniem:

$$J_b = 0.039448 \text{ m}^4 \quad y_d = 0.541 \text{ m}$$

$$W_d = 0.039448 / 0.541 = 0.0729 \text{ m}^3$$

b) belka po 1 zespoleniu dla obc. krótkotrwałych:

$$J_{bi} = 0.04045 \text{ m}^4 \quad y_d = 0.555 \text{ m}$$

$$W_{di} = 0.04045 / 0.555 = 0.0729 \text{ m}^3$$

c) belka po 1 zespoleniu dla obc. długotrwałych:

$$J_{bi} = 0.04513 \text{ m}^4 \quad y_d = 0.522 \text{ m}$$

$$W_{di} = 0.04513 / 0.522 = 0.08968 \text{ m}^3$$

d) belka po 2 zespoleniu dla obc. krótkotrwałych:

$$J_{bi} = 0.06080 \text{ m}^4 \quad y_d = 0.678 \text{ m}$$

$$W_{di} = 0.06080 / 0.678 = 0.08968 \text{ m}^3$$

e) belka po 2 zespoleniu dla obc. długotrwałych:

$$J_{bi} = 0.06682 \text{ m}^4 \quad y_d = 0.641 \text{ m}$$

$$W_{di} = 0.06682 / 0.641 = 0.1042 \text{ m}^3$$

momenty charakterystyczne:

$$M_{g0} = 324,7 \text{ kNm} - \text{ciężar własny belki}$$

$$M_{g1} = 21,7 \text{ kNm} - \text{ciężar własny przed 1 zespoleniem}$$

$$M_{g2} = 5,2 \text{ kNm} - \text{ciężar własny przed 2 zespoleniem}$$

$$M_{g3} = 140,5 \text{ kNm} - \text{ciężar po 2 zespoleniu}$$

$$M_p = 635,9 \text{ kNm} - \text{obc. ruchome klasy B}$$

$$\Sigma M_{spr.} = (324,7 + 21,7) * 0.1042 / 0.0856 + 5,2 * 0.1042 / 0.08646 + 140,5 + 635,9 = 1204,4 \text{ kNm}$$

$$s_2 = \frac{M_{ns}}{\Sigma M_{spr.}} = 3,607 / 1,2044 = 2,99 > s_2 = 2.00 - \text{warunek nośności strefy rozciąganej jest spełniony}$$

- w środku rozpiętości przęsła pośredniego (węzeł Nr 10), nośności nie sprawdzano ze względu na korzystniejszy rozkład naprężeń w belce
- nośności granicznej strefy ściskanej nie sprawdza się ze względu na duże zapasy naprężeń w nadbetonie.

4.3. Obliczenie belki na ścinanie

4.3.1. Sprawdzenie środka belki i zbrojenia poprzecznego

- przekrój wymaganego zbrojenia sprawdza się na podstawie maksymalnych naprężen ścinających obliczonych uprzednio - wg wydruków komputerowych

węzeł Nr 1 – strona prawa

$b = 0.14 \text{ m}$ - grubość środka belki

$\tau_R = 0.38 \text{ MPa} - B45$

$R_{aw} = 200 \text{ MPa} - St3SX$

$$A_a = 14 \phi 6 + 14 \phi 12 = 3.96 + 15.84 = 19.80 \text{ cm}^2$$

$A_b = 0.3579$ – przekrój poprzeczny belki

$$\mu = 19.80 / 3579 = 0.00553$$

$$1 + 50 * \mu = 1 + 50 * 0.00553 = 1.276$$

$$\tau_{b \max} = \tau_R * (1 + 50\mu) = 0.485 \text{ MPa}$$

- nośność betonu B45 środka belki na ścinanie:

$$1 / z * \Delta V_b = 0.485 * 0.14 = 0.679 \text{ MN / m}$$

- nośność strzemion istn. 4 φ 12 co 8,5 cm:

$$1 / z * \Delta V_{aw} = A_{aw} / s * R_{aw} = 0.000452 / 0.085 * 200 = 1.0635 \text{ MN / m}$$

- nośność 28 lin (7 φ 2.5) nachylonych pod kątem $\phi = 3.75^\circ$ do poziomu:

$$\sin \phi = 0.0654$$

$P_{obl.} = 43.6 \text{ kN}$ – dla 1 liny

$$\Delta V_p = 28 * 0.0436 * 0.0654 = 0.0798 \text{ MN}$$

- maks. obliczeniowa siła poprzeczna w przekroju podporowym belki:

$$\Delta V_{max}^r = 97,4 + 6,5 - 104,0 + 193,5 + 153,3 = 349,7 \text{ kN}$$

- siła ta wywodzące w środku naprężenia tnące $\tau_{max} = 4.914 \text{ MPa}$

$$\tau_{max} = V / (b * z) = 4.914 \Rightarrow z = 0.3497 / 4.914 / 0.14 = 0.508 \text{ m}$$

sumaryczna nośność przekroju na ścinanie:

$$V_{max}^r = \Delta V_b + \Delta V_{aw} + \Delta V_p = (0.679 + 1.0635) * 0.508 + 0.0798 = 0.965 \text{ MN} > \Delta V_{max}^r = 349.7 \text{ kN}$$

węzeł Nr 7' – strona prawa

$$\tau_{b \max} = \tau_R * (1 + 50\mu) = 0.485 \text{ MPa}$$

- nośność betonu B45 środka belki na ścinanie:

$$1 / z * \Delta V_b = 0.485 * 0.14 = 0.679 \text{ MN / m}$$

- nośność strzemion istn. 4 φ 12 co 8,5 cm:

$$1 / z * \Delta V_{aw} = A_{aw} / s * R_{aw} = 0.000452 / 0.085 * 200 = 1.0635 \text{ MN / m}$$

- nośność 28 lin (7 φ 2.5) nachylonych pod kątem $\phi = 3.75^\circ$ do poziomu:

$$\sin \phi = 0.0654$$

$P_{obl.} = 43.6 \text{ kN}$ – dla 1 liny

$$\Delta V_p = 28 * 0.0436 * 0.0654 = 0.0798 \text{ MN}$$

- maks. obliczeniowa siła poprzeczna w przekroju podporowym belki:

$$\Delta V_{max}^r = 82,2 + 5,5 + 41,8 + 66,9 + 283,7 = 480.1 \text{ kN}$$

- siła ta wywodzące w środku naprężenia tnące $\tau_{max} = 4.714 \text{ MPa}$

$$\tau_{max} = V / (b * z) = 4.714 \Rightarrow z = 0.4801 / 4.714 / 0.14 = 0.727 \text{ m}$$

sumaryczna nośność przekroju na ścinanie:

$$\frac{V_{\max}^r}{kN} = \Delta V_b + \Delta V_{aw} + \Delta V_p = (0.679 + 1,0635) * 0.727 + 0.0798 = 1,346 \text{ MN} > \Delta V_{\max}^r = 0.4801$$

4.3.2. Sprawdzenie zespolenia z nadbetonem

zespolenie projektowanego nadbetonu z istn. belką poprzez kotwy osadzone w górnej powierzchni belki.

wezel Nr 1 - strona prawa

wymagany przekrój kotew:

$$\frac{A_{aw}}{s_f} = \frac{T'}{R_a} \quad \text{gdzie: } T' - \text{siła rozwarstwiająca:}$$

$$T' = \tau_{\max} * b \\ R_a = 295 \text{ MPa} \quad - 18 \text{ G2-b}$$

$\tau_{\max} = 0.189 \text{ MPa}$ - (wg wydruków komputerowych)

$$\frac{A_{aw}}{s_f} = 0.189 * 1,50 / 295 = 0.000961 \text{ m}^2 = 9.61 \text{ cm}^2 / 1 \text{ m}$$

$$\text{przyjęto w zespoleniu } 3 \Phi 14 \text{ co } 40 \text{ cm } \frac{A_{aw}}{s_f} = 11.50 \text{ cm}^2 / 1 \text{ m}$$

wezel Nr 4 - środek przesła skrajnego

$\tau_{\max} = 0.041 \text{ MPa}$ - (wg wydruków komputerowych)

$$\frac{A_{aw}}{s_f} = 0.041 * 1,50 / 295 = 0.0002084 \text{ m}^2 = 2,08 \text{ cm}^2 / 1 \text{ m}$$

$$\text{przyjęto w zespoleniu } 3 \Phi 14 \text{ co } 90 \text{ cm } \frac{A_{aw}}{s_f} = 5,13 \text{ cm}^2 / 1 \text{ m}$$

wezel Nr 7- strona prawa

$\tau_{\max} = 0.345 \text{ MPa}$ - (wg wydruków komputerowych)

$$\frac{A_{aw}}{s_f} = 0.345 * 1,50 / 295 = 0.001754 \text{ m}^2 = 17,54 \text{ cm}^2 / 1 \text{ m}$$

$$\text{przyjęto w zespoleniu } 3 \Phi 14 \text{ co } 25 \text{ cm } \frac{A_{aw}}{s_f} = 11.50 \text{ cm}^2 / 1 \text{ m}$$

w pozostałych przekrojach pośrednich zbrojenie zostanie rozmieszczone proporcjonalnie do odległości od podpory zgodnie z obwiednią sił poprzecznych

5. OBLICZENIE PRZESŁA W KIERUNKU POPRZECZNYM

5.1. Linie wpływów momentów zginających w kierunku poprzecznym do osi mostu

Obliczenia wykonane będą metodą Guyonna i Massonet'a przy wykorzystaniu współczynników bezwymiarowych μ_0 i μ_1 , zależnych od θ i α obliczonych uprzednio.

$$\theta = 1.25$$

$$\alpha = 0.239$$

$$b = \frac{B}{2} = 15,50 / 2 = 7.75 \text{ m}$$

$$L_{\text{śr}} = 16,39 \text{ m}$$

$$\phi = 1,268$$

momenty jednostkowe w kierunku poprzecznym ustalone będą wg wzoru:

$$m_y = b \sum_{n=1}^{\infty} (\mu_0(n, \nu) * \eta_{0(n)} + \mu_1(n, \nu) * \eta_{1(n)})$$

gdzie:

$$\eta_{0(n)} = K_{(n)} * (1 - \alpha^n)$$

$$\eta_{1(n)} = K_{(n)} * \alpha^n$$

$$K_{(n)} = r_{(n)} \sin n\beta$$

$r_{(n)}$ - współczynnik zależny od rodzaju obciążenia i jego rozkładu wzdłuż osi mostu

$$\beta = \frac{\pi X}{l} = 0.5\pi \quad \text{- dla środka przęsła}$$

a) rozwinięcie w szereg Fouriera obciążenia „K” klasy B

$$K = 600 \text{ kN}$$

$$\phi = 1.68$$

$$\gamma = 1.50$$

$$a \times b = 4.80 * 4.00 \text{ - pole rozkładu obc. } K = 600 \text{ kN}$$

$$K' = 0.5 K \phi \gamma = 0.5 * 600 * 1.268 * 1.50 = 570,6 \text{ kN}$$

obciążenie p dla połowy obciążenia K:

$$p' = \frac{K_1}{4.80} = 570,6 / 4,80 = 118,9 \text{ kN/m}$$

$$r_{(n)} = \frac{c_p}{n} \sin ny * \sin n\delta$$

$$K_{(n)} = r_{(n)} * \sin n\beta$$

$$c_p = \frac{4p'}{\pi} = \frac{4 * 118,9}{\pi} = 151,4 \text{ kN/m}$$

$$\gamma = \frac{\pi X}{l} = 0.5\pi$$

$$\beta = \frac{\pi X}{l} = 0.5\pi$$

$$\delta = \frac{\pi d}{l} = \frac{\pi * 2.40}{16,39} = 0.146\pi$$

$$r_{(n)} = \frac{c_p}{n} \sin ny * \sin n\delta = 151,4 / n * \sin ny * \sin n\delta$$

wartości $\eta_{0(n)}$ i $\eta_{1(n)}$ obliczono w tabelach poniżej, przy czym:

$$\eta_{0(n)} = K_{(n)} * (1 - \alpha^n) = K_{(n)} (1 - \sqrt[4]{0.420}) = 0.511 * K_{(n)}$$

$$\eta_{h(n)} = K_{(n)} * \alpha^{\omega} = K_{(n)} \sqrt{0.420} = 0.489 * K_{(n)}$$

b) rozwinięcie w szereg Fouriera obciążenia równej rozłożonego:

- $q = 3.00 \text{ kN/m}^2$, $\gamma = 1.50$ - obc. klasy „B” w obrębie jezdni

- $t = 2.5 \text{ kN/m}^2$, $\gamma = 1.30$ - obciążenia tłem na chodniku z prawej strony przęsła

$$c_p^q = \frac{4q\gamma}{\pi} = \frac{4 * 3.00 * 1.50}{\pi} = 5.73 \text{ kN/m}^2$$

$$c_p^t = \frac{4 * t * \gamma}{\pi} = \frac{4 * 2.5 * 1.30}{\pi} = 4.14 \text{ kN/m}^2$$

$$r_{(n)} = \frac{c_p}{n} \sin^2 n \frac{\pi}{2}$$

$$K_{(n)} = r_{(n)} \sin n \beta$$

$$\beta = \frac{\pi X}{1} = 0.5 \pi$$

$$\eta_{0(n)} = K_{(n)} * (1 - \alpha^{\omega}) = K_{(n)} (1 - \sqrt{0.420}) = 0.511 * K_{(n)}$$

$$\eta_{h(n)} = K_{(n)} * \alpha^{\omega} = K_{(n)} \sqrt{0.420} = 0.648 * K_{(n)}$$

5.2. Współczynniki $\eta(\theta)$ i $\eta(l)$ rozwinięcia obc. ruchomego w szereg Fouriera

współczynniki $\eta(\theta)$ i $\eta(l)$ dla obc. $K = 600 \text{ kN}$ klasy "B"

n	$n \beta$	$n \gamma$	$n \delta$	$\sin(n \beta)$	$\sin(n \gamma)$	$\sin(n \delta)$	$K(n)$	$r(n)$	$\eta\theta(n)$	$\eta l(n)$
1	1.57079633		1.571	0.45867253	1.0000	0.4428	67.0336	67.0336	32.7794	32.7794
2	3.14159265		3.142	0.91734505	0.0000	0.7940	0.0000	0.0000	0.0000	0.0000
3	4.71238898		4.712	1.37601758	-1.0000	0.9811	-49.5124	49.5124	25.3008	24.2115
4	6.2831853		6.283	1.83469011	0.0000	0.9654	0.0000	0.0000	0.0000	0.0000
5	7.85398163		7.854	2.29336263	1.0000	0.7501	22.7134	22.7134	11.6065	11.6068

współczynniki $\eta(\theta)$ i $\eta(l)$ dla obc. $q = 3.00 \text{ kN/m}^2$ klasy "B"

n	$n \beta$	$n (\pi/2)$	$\sin(n \beta)$	$\sin^2(n \pi/2)$	$r(n)$	$K(n)$	$\eta\theta(n)$	$\eta l(n)$	
1	1.57079633		1.5708	1.0000	1.0000	5.7300	5.7300	2.9280	2.8020
2	3.14159265		3.1416	0.0000	0.0000	0.0000	0.0000	0.0000	0.0000
3	4.71238898		4.7124	-1.0000	1.0000	1.9100	-1.9100	-0.9760	-0.9340
4	6.2831853		6.2832	0.0000	0.0000	0.0000	0.0000	0.0000	0.0000
5	7.85398163		7.8540	1.0000	1.0000	1.1460	1.1460	0.5856	0.5604

współczynniki $\eta(\theta)$ i $\eta(l)$ dla obc. $t = 2.50 \text{ kN/m}^2$

n	$n \beta$	$n (\pi/2)$	$\sin(n \beta)$	$\sin^2(n \pi/2)$	$r(n)$	$K(n)$	$\eta\theta(n)$	$\eta l(n)$	
1	1.57079633		1.5708	1.0000	1.0000	4.1400	4.1400	2.1155	2.0245
2	3.14159265		3.1416	0.0000	0.0000	0.0000	0.0000	0.0000	0.0000
3	4.71238898		4.7124	-1.0000	1.0000	1.3800	-1.3800	-0.7052	-0.6748
4	6.2831853		6.2832	0.0000	0.0000	0.0000	0.0000	0.0000	0.0000
5	7.85398163		7.8540	1.0000	1.0000	0.8280	0.8280	0.4231	0.4049

**5.3. Wyznaczenie rzędnych linii wplywu momentów zginających m y od obciążen ruchomych
przy rozwinięciu obc. rzeczywistego w szereg Fouriera
(obc. ruchome taborem samochodowym klasy B ($K+q$) i tlumu)**

Współczynniki $\mu = 10 \wedge 4$ dla $f = 0$

			$v = 1,25$				$\alpha = 0,239$				
			-b	-3/4 b	-b/2	-b/4	0	b/4	b/2	3/4 b	b
$\mu_0(n,v)$	1	1.25	*	η			-190.43	80.52	940.01	-190.43	-119.89
	2	2.5			xxx			xxx	xxx	xxx	xxx
	3	3.75			0.00	0.00		0.00	0.00	0.00	0.00
	1	1.25			-77.00	-93.94	-101.57	7.65	657.52	7.65	-77.01
$\mu_1(n,v)$	2	2.5			xxx			xxx	xxx	xxx	xxx
	3	3.75			0.00	0.00		0.00	0.00	0.00	0.00

Obciążenie skupione $K = 600 \text{ kN}$											
$\mu_0(n,v) * \eta_0(n)$	1	1.25			34.2542	-4 106.7	-6 502.1	-6 523.0	2 758.1	32 199.3	-6 523.0
	2	2.5			0.0000	0.0	1.0	2.0	3.0	4.0	5.0
	3	3.75			25.3008	0.0	0.0	0.0	0.0	0.0	0.0
	1	1.25			32.7794	-2 524.0	-3 309.3	-3 329.4	250.8	21 553.1	-3 329.4
$\mu_1(n,v) * \eta_1(n)$	2	2.5			0.0000	0.0	1.0	2.0	3.0	4.0	5.0
	3	3.75			24.2115	0.0	0.0	0.0	0.0	0.0	0.0
	$\text{my/b} \times 10^4$				-6 630.7	-9 579.4	-9 848.4	3 014.9	63 760.4	3 018.9	-9 840.4

Obciążenie równomiernie rozłożone $q = 3.00 \text{ kN/m}^2$											
$\mu_0(n,v) * \eta_0(n)$	1	1.25			2.9280	-351.0	-555.8	-557.6	235.8	2 752.3	-557.6
	2	2.5			0.0000	0.0	1.0	2.0	3.0	4.0	5.0
	3	3.75			-0.9760	0.0	0.0	0.0	0.0	0.0	0.0
	1	1.25			2.8020	-215.8	-263.2	-284.6	21.4	1 842.4	21.4
$\mu_1(n,v) * \eta_1(n)$	2	2.5			0.0000	0.0	1.0	2.0	3.0	4.0	5.0
	3	3.75			-0.9340	0.0	0.0	0.0	0.0	0.0	0.0
	$\text{my/b} \times 10^4$				-56.8	-817.0	-838.2	263.2	4 602.7	267.2	-830.2

Obciążenie równomiernie rozłożone $t = 2.50 \text{ kN/m}^2$											
$\mu_0(n,v) * \eta_0(n)$	1	1.25			2.1155	-253.6	-401.6	-402.9	170.3	1 988.6	-402.9
	2	2.5			0.0000	0.0	1.0	2.0	3.0	4.0	5.0
	3	3.75			-0.7052	0.0	0.0	0.0	0.0	0.0	0.0
	1	1.25			2.0245	-155.9	-190.2	-205.6	15.5	1 331.1	15.5
$\mu_1(n,v) * \eta_1(n)$	2	2.5			0.0000	0.0	1.0	2.0	3.0	4.0	5.0
	3	3.75			-0.6748	0.0	0.0	0.0	0.0	0.0	0.0
	$\text{my/b} \times 10^4$				-409.5	-589.7	-604.5	191.8	3 327.7	195.8	-596.5

współczynniki $\mu * 10^4$ dla $f = b / 4$

			$\nu = 1,25$			$\nu = 1,25$			$\nu = 1,25$		
			-b	-3/4 b	-b/2	-b/4	0	b/4	b/2	3/4 b	b
$\mu_0 (n, \nu)$	1	1.25	21.28	-80.72	-172.41	-179.66	96.73	960.60	78.61	-280.24	-461.36
	2	2.5	xxx	xxx	xxx	xxx	xxx	xxx	xxx	xxx	xxx
	3	3.75	0.00	0.00	0.00	0.00	0.00	0.00	0.00	0.00	0.00
$\mu_1 (n, \nu)$	1	1.25	-37.7	-53.49	-78.68	-94.33	8.61	652.14	-6.97	-131.72	-148
	2	2.5	xxx	xxx	xxx	xxx	xxx	xxx	xxx	xxx	xxx
	3	3.75	0.00	0.00	0.00	0.00	0.00	0.00	0.00	0.00	0.00

Obciążenie skupione K= 600 kN

			$\alpha = 0,239$			$\alpha = 0,239$			$\alpha = 0,239$		
			-b	-3/4 b	-b/2	-b/4	0	b/4	b/2	3/4 b	b
$\mu_0 (n, \nu) * \eta_0(n)$	1	1.25	34.2542	728.9	-2 765.0	-5 905.8	-6 154.1	3 313.4	32 904.6	2 692.7	-9 599.4
	2	2.5	0.0000	0.0	1.0	2.0	3.0	4.0	5.0	6.0	7.0
	3	3.75	25.3008	0.0	0.0	0.0	0.0	0.0	0.0	0.0	0.0
$\mu_1 (n, \nu) * \eta_1(n)$	1	1.25	32.7794	-1 235.8	-1 753.4	-2 579.1	-3 092.1	282.2	21 376.8	-228.5	-4 317.7
	2	2.5	0.0000	0.0	1.0	2.0	3.0	4.0	5.0	6.0	7.0
	3	3.75	24.2115	0.0	0.0	0.0	0.0	0.0	0.0	0.0	0.0
$my/b \times 10^4$			-506.9	-4 516.4	-8 480.8	-9 240.2	3 603.6	54 291.3	2 476.3	-13 903.1	-20 638.9

Obciążenie równomierne rozłożone q = 3.00 kN/m²

			$\alpha = 0,239$			$\alpha = 0,239$			$\alpha = 0,239$		
			-b	-3/4 b	-b/2	-b/4	0	b/4	b/2	3/4 b	b
$\mu_0 (n, \nu) * \eta_0(n)$	1	1.25	2.9280	62.3	-236.3	-504.8	-526.0	283.2	2 812.6	230.2	-820.5
	2	2.5	0.0000	0.0	1.0	2.0	3.0	4.0	5.0	6.0	7.0
	3	3.75	-0.9760	0.0	0.0	0.0	0.0	0.0	0.0	0.0	0.0
$\mu_1 (n, \nu) * \eta_1(n)$	1	1.25	2.8020	-105.6	-149.9	-220.5	-264.3	24.1	1 827.3	-19.5	-369.1
	2	2.5	0.0000	0.0	1.0	2.0	3.0	4.0	5.0	6.0	7.0
	3	3.75	-0.9340	0.0	0.0	0.0	0.0	0.0	0.0	0.0	0.0
$my/b \times 10^4$			-43.3	-384.2	-721.3	-784.4	315.4	4 649.9	222.6	-1 775.6	-1 749.6

Obciążenie równomierne rozłożone t = 2.50 kN/m²

			$\alpha = 0,239$			$\alpha = 0,239$			$\alpha = 0,239$		
			-b	-3/4 b	-b/2	-b/4	0	b/4	b/2	3/4 b	t
$\mu_0 (n, \nu) * \eta_0(n)$	1	1.25	2.1155	45.0	-170.8	-364.7	-380.1	204.6	2 032.1	166.3	-592.8
	2	2.5	0.0000	0.0	1.0	2.0	3.0	4.0	5.0	6.0	7.0
	3	3.75	-0.7052	0.0	0.0	0.0	0.0	0.0	0.0	0.0	0.0
$\mu_1 (n, \nu) * \eta_1(n)$	1	1.25	2.0245	-76.3	-108.3	-159.3	-191.0	17.4	1 320.3	-14.1	-266.7
	2	2.5	0.0000	0.0	1.0	2.0	3.0	4.0	5.0	6.0	7.0
	3	3.75	-0.6748	0.0	0.0	0.0	0.0	0.0	0.0	0.0	0.0
$my/b \times 10^4$			-31.3	-277.1	-520.0	-565.0	230.1	3 362.4	164.2	-845.5	-1 259.6

współczynniki $\mu * 10^4$ dla $f = b/2$

				$\alpha = 0,239$			
				$\alpha = 0,25$			
				-b	-3/4 b	-b/2	0
	n	n_v	$* \eta$				
$\mu_0 (n, v)$	1	1.25		40.82	-18.87	-85.65	-148.11
	2	2.5		xxx	xxx	xxx	-127.72
	3	3.75		0.00	0.00	0.00	160.11
$\mu_1 (n, v)$	1	1.25		-17.77	-27.62	-46.34	-75.76
	2	2.5		xxx	xxx	xxx	-95.86
	3	3.75		0.00	0.00	0.00	0.50
	$my/b \times 10^4$						
	1	1.25		34.2542	1 398.3	-616.4	-2 933.9
	2	2.5		0.0000	0.0	1.0	2.0
	3	3.75		25.3008	0.0	0.0	3.0
	1	1.25		32.7794	-582.5	-1 519.0	-2 483.4
	2	2.5		0.0000	0.0	1.0	2.0
	3	3.75		24.2115	0.0	0.0	3.0
	$my/b \times 10^4$				815.8	-1 519.7	-4 448.9
	1	1.25		2.9280	119.5	-55.3	-250.8
	2	2.5		0.0000	0.0	1.0	2.0
	3	3.75		-0.9760	0.0	0.0	3.0
$\mu_1 (n, v) * \eta_1 (n)$	1	1.25		2.8020	-49.8	-77.4	-129.8
	2	2.5		0.0000	0.0	1.0	2.0
	3	3.75		-0.9340	0.0	0.0	3.0
	$my/b \times 10^4$				69.7	-130.6	-376.6
	1	1.25		86.4	-39.9	-181.2	-313.3
	2	2.5		0.0000	0.0	1.0	2.0
	3	3.75		-0.7052	0.0	0.0	3.0
$\mu_0 (n, v) * \eta_0 (n)$	1	1.25		2.0245	-36.0	-55.9	-93.8
	2	2.5		0.0000	0.0	1.0	2.0
	3	3.75		-0.6748	0.0	0.0	3.0
	$my/b \times 10^4$				50.4	-93.8	-271.0

Obciążenie skupione K= 600 kN

				$\alpha = 0,239$			
				$\alpha = 0,25$			
				-b	-3/4 b	-b/2	0
	n	n_v	$* \eta$				
$\mu_0 (n, v) * \eta_0 (n)$	1	1.25		40.82	-18.87	-85.65	-148.11
	2	2.5		xxx	xxx	xxx	-127.72
	3	3.75		0.00	0.00	0.00	160.11
$\mu_1 (n, v) * \eta_1 (n)$	1	1.25		-17.77	-27.62	-46.34	-75.76
	2	2.5		xxx	xxx	xxx	-95.86
	3	3.75		0.00	0.00	0.00	0.50
	$my/b \times 10^4$						
	1	1.25		34.2542	1 398.3	-616.4	-2 933.9
	2	2.5		0.0000	0.0	1.0	2.0
	3	3.75		25.3008	0.0	0.0	3.0
	1	1.25		32.7794	-582.5	-1 519.0	-2 483.4
	2	2.5		0.0000	0.0	1.0	2.0
	3	3.75		24.2115	0.0	0.0	3.0
	$my/b \times 10^4$				815.8	-1 519.7	-4 448.9
	1	1.25		2.9280	119.5	-55.3	-250.8
	2	2.5		0.0000	0.0	1.0	2.0
	3	3.75		-0.9760	0.0	0.0	3.0
$\mu_1 (n, v) * \eta_1 (n)$	1	1.25		2.8020	-49.8	-77.4	-129.8
	2	2.5		0.0000	0.0	1.0	2.0
	3	3.75		-0.9340	0.0	0.0	3.0
	$my/b \times 10^4$				69.7	-130.6	-376.6
	1	1.25		86.4	-39.9	-181.2	-313.3
	2	2.5		0.0000	0.0	1.0	2.0
	3	3.75		-0.7052	0.0	0.0	3.0
$\mu_0 (n, v) * \eta_0 (n)$	1	1.25		2.0245	-36.0	-55.9	-93.8
	2	2.5		0.0000	0.0	1.0	2.0
	3	3.75		-0.6748	0.0	0.0	3.0
	$my/b \times 10^4$				50.4	-93.8	-271.0

Obciążenie równomiernie rozłożone $q = 3,00 \text{ kN/m}^2$

				$\alpha = 0,239$			
				$\alpha = 0,25$			
				-b	-3/4 b	-b/2	0
	n	n_v	$* \eta$				
$\mu_0 (n, v) * \eta_0 (n)$	1	1.25		40.82	-18.87	-85.65	-148.11
	2	2.5		xxx	xxx	xxx	-127.72
	3	3.75		0.00	0.00	0.00	160.11
$\mu_1 (n, v) * \eta_1 (n)$	1	1.25		-17.77	-27.62	-46.34	-75.76
	2	2.5		xxx	xxx	xxx	-95.86
	3	3.75		0.00	0.00	0.00	0.50
	$my/b \times 10^4$						
	1	1.25		34.2542	1 398.3	-616.4	-2 933.9
	2	2.5		0.0000	0.0	1.0	2.0
	3	3.75		25.3008	0.0	0.0	3.0
	1	1.25		32.7794	-582.5	-1 519.0	-2 483.4
	2	2.5		0.0000	0.0	1.0	2.0
	3	3.75		24.2115	0.0	0.0	3.0
	$my/b \times 10^4$				815.8	-1 519.7	-4 448.9
	1	1.25		2.9280	119.5	-55.3	-250.8
	2	2.5		0.0000	0.0	1.0	2.0
	3	3.75		-0.9760	0.0	0.0	3.0
$\mu_1 (n, v) * \eta_1 (n)$	1	1.25		2.8020	-49.8	-77.4	-129.8
	2	2.5		0.0000	0.0	1.0	2.0
	3	3.75		-0.9340	0.0	0.0	3.0
	$my/b \times 10^4$				69.7	-130.6	-376.6
	1	1.25		86.4	-39.9	-181.2	-313.3
	2	2.5		0.0000	0.0	1.0	2.0
	3	3.75		-0.7052	0.0	0.0	3.0
$\mu_0 (n, v) * \eta_0 (n)$	1	1.25		2.0245	-36.0	-55.9	-93.8
	2	2.5		0.0000	0.0	1.0	2.0
	3	3.75		-0.6748	0.0	0.0	3.0
	$my/b \times 10^4$				50.4	-93.8	-271.0

Obciążenie równomiernie rozłożone $t = 2,50 \text{ kN/m}^2$

				$\alpha = 0,239$			
				$\alpha = 0,25$			
				-b	-3/4 b	-b/2	0
	n	n_v	$* \eta$				
$\mu_0 (n, v) * \eta_0 (n)$	1	1.25		40.82	-18.87	-85.65	-148.11
	2	2.5		xxx	xxx	xxx	-127.72
	3	3.75		0.00	0.00	0.00	160.11
$\mu_1 (n, v) * \eta_1 (n)$	1	1.25		-17.77	-27.62	-46.34	-75.76
	2	2.5		xxx	xxx	xxx	-95.86
	3	3.75		0.00	0.00	0.00	0.50
	$my/b \times 10^4$						
	1	1.25		34.2542	1 398.3	-616.4	-2 933.9
	2	2.5		0.0000	0.0	1.0	2.0
	3	3.75		25.3008	0.0	0.0	3.0
	1	1.25		32.7794	-582.5	-1 519.0	-2 483.4
	2	2.5		0.0000	0.0	1.0	2.0
	3	3.75		24.2115	0.0	0.0	3.0
	$my/b \times 10^4$				815.8	-1 519.7	-4 448.9
	1	1.25		2.9280	119.5	-55.3	-250.8
	2	2.5		0.0000	0.0	1.0	2.0
	3	3.75		-0.9760	0.0	0.0	3.0
$\mu_1 (n, v) * \eta_1 (n)$	1	1.25		2.8020	-49.8	-77.4	-129.8
	2	2.5		0.0000	0.0	1.0	2.0
	3	3.75		-0.9340	0.0	0.0	3.0
	$my/b \times 10^4$				69.7	-130.6	-376.6
	1	1.25		86.4	-39.9	-181.2	-313.3
	2	2.5		0.0000	0.0	1.0	2.0
	3	3.75		-0.7052	0.0	0.0	3.0
$\mu_0 (n, v) * \eta_0 (n)$	1	1.25		2.0245	-36.0	-55.9	-93.8
	2	2.5		0.0000	0.0	1.0	2.0
	3	3.75		-0.6748	0.0	0.0	3.0
	$my/b \times 10^4$				50.4	-93.8	-271.0

				$\alpha = 0,239$			
				$\alpha = 0,25$			

współczynniki $\mu = 10 \wedge 4$ dla $f = 3 / 4 * b$

				$v = 1,25$				$v = 1,25$			
				$\alpha = 0,239$				$\alpha = 0,239$			
				-b	-3/4 b	-b/2	0	b/4	b/2	3/4 b	b
$\mu_0(n,v)$	1	1.25	* n v	16.61	-0.18	-21.32	-49.41	-69.23	-27.67	175.03	639.28
	2	2.5		xxx	xxx	xxx	xxx	xxx	xxx	xxx	-1 190.69
	3	3.75		0.00	0.00	0.00	0.00	0.00	0.00	0.00	0.00
$\mu_1(n,v)$	1	1.25		-7.62	-12.56	-22.67	-41.99	-71.5	-93.28	-9.28	545.45
	2	2.5		xxx	xxx	xxx	xxx	xxx	xxx	xxx	-324.74
	3	3.75		0.00	0.00	0.00	0.00	0.00	0.00	0.00	0.00

Obciążenie skupione K= 600 kN

		-b	-3/4 b	-b/2	0	b/4	b/2	3/4 b	b	
$\mu_0(n,v) * \eta_0(n)$	1	1.25	34.2542	569.0	-6.2	-730.3	-1 692.5	-2 371.4	-947.8	
	2	2.5	0.0000	0.0	1.0	2.0	3.0	4.0	5.0	
	3	3.75	25.30008	0.0	0.0	0.0	0.0	0.0	0.0	
$\mu_1(n,v) * \eta_1(n)$	1	1.25	32.7794	-249.8	-411.7	-743.1	-1 376.4	-2 343.7	-3 057.7	
	2	2.5	0.0000	0.0	1.0	2.0	3.0	4.0	5.0	
	3	3.75	24.2115	0.0	0.0	0.0	0.0	0.0	0.0	
$my/b \times 10^4$		319.2	-415.9	-1 469.4	-3 062.9	-4 707.1	-3 995.5	-5 703.3	-39 791.5	-51 414.9

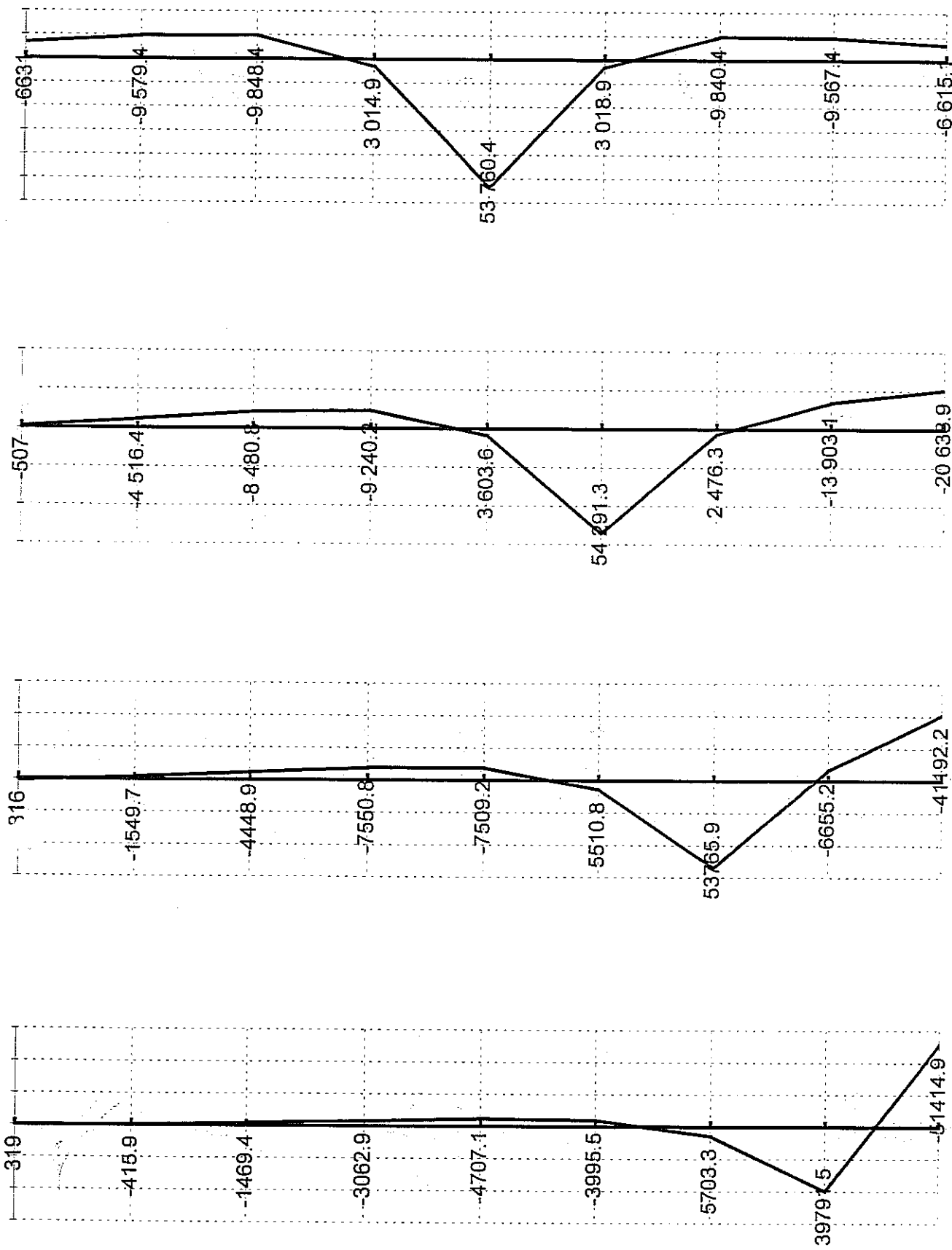
Obciążenie równomiernie rozłożone $q = 3.00 \text{ kN/m}^2$

		-b	-3/4 b	-b/2	0	b/4	b/2	3/4 b	b	
$\mu_0(n,v) * \eta_0(n)$	1	1.25	2.9280	48.6	-0.5	-62.4	-144.7	-202.7	-81.0	
	2	2.5	0.0000	0.0	1.0	2.0	3.0	4.0	5.0	
	3	3.75	-0.9760	0.0	0.0	0.0	0.0	0.0	0.0	
$\mu_1(n,v) * \eta_1(n)$	1	1.25	2.8020	-21.4	-35.2	-63.5	-117.7	-200.3	-261.4	
	2	2.5	0.0000	0.0	1.0	2.0	3.0	4.0	5.0	
	3	3.75	-0.9340	0.0	0.0	0.0	0.0	0.0	0.0	
$my/b \times 10^4$		27.3	-33.7	-121.9	-256.3	-395.0	-332.4	498.5	3 414.2	-4 380.3

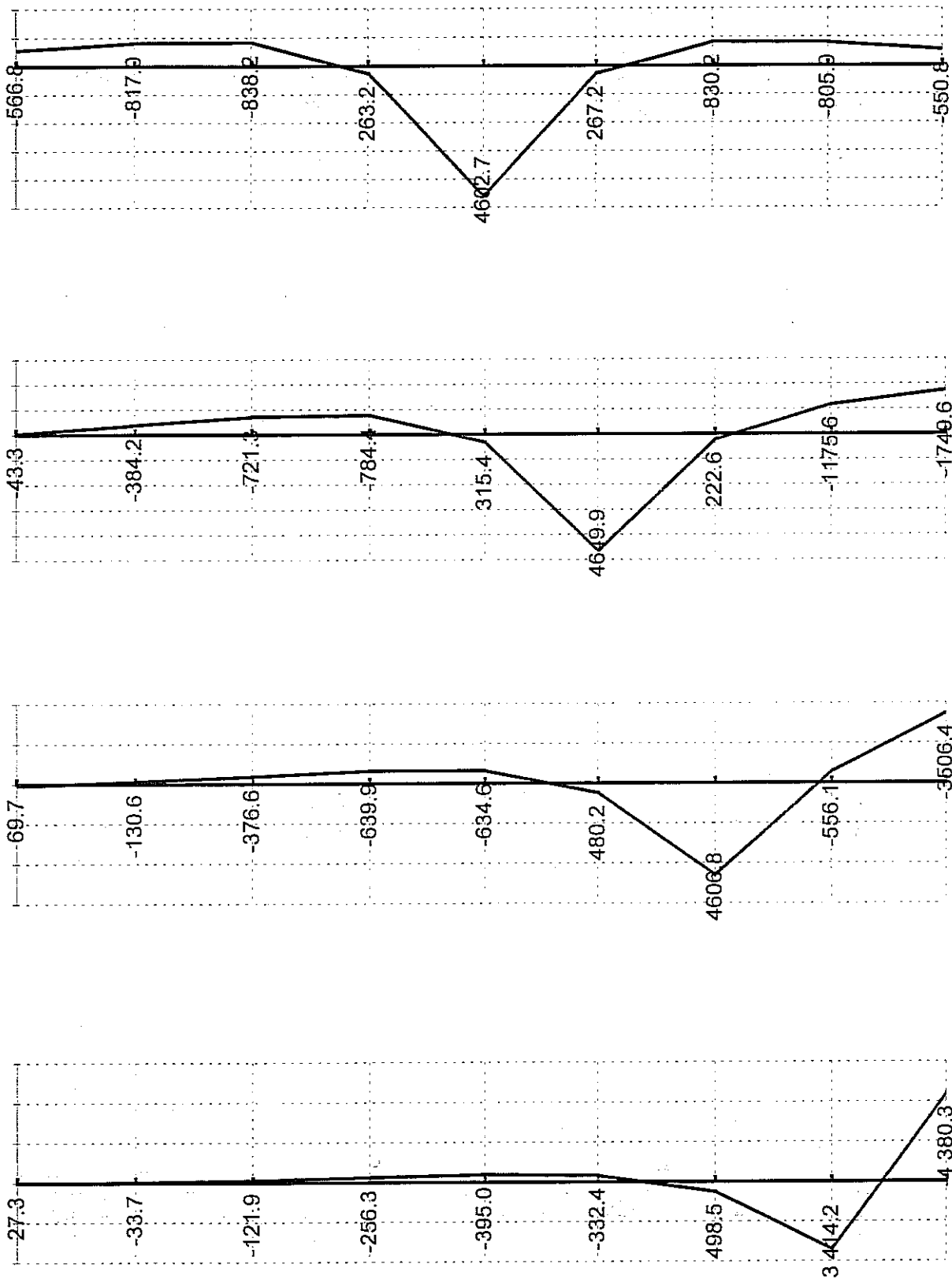
Obciążenie równomiernie rozłożone $t = 2.50 \text{ kN/m}^2$

		-b	-3/4 b	-b/2	0	b/4	b/2	3/4 b	b	
$\mu_0(n,v) * \eta_0(n)$	1	1.25	2.1155	35.1	-0.4	-45.1	-104.5	-146.5	-58.5	
	2	2.5	0.0000	0.0	1.0	2.0	3.0	4.0	5.0	
	3	3.75	-0.7052	0.0	0.0	0.0	0.0	0.0	0.0	
$\mu_1(n,v) * \eta_1(n)$	1	1.25	2.0245	-15.4	-25.4	-45.9	-85.0	-144.8	-188.8	
	2	2.5	0.0000	0.0	1.0	2.0	3.0	4.0	5.0	
	3	3.75	-0.6748	0.0	0.0	0.0	0.0	0.0	0.0	
$my/b \times 10^4$		19.7	-23.8	-67.0	-183.6	-283.2	-237.4	363.5	2 470.7	-3 160.3

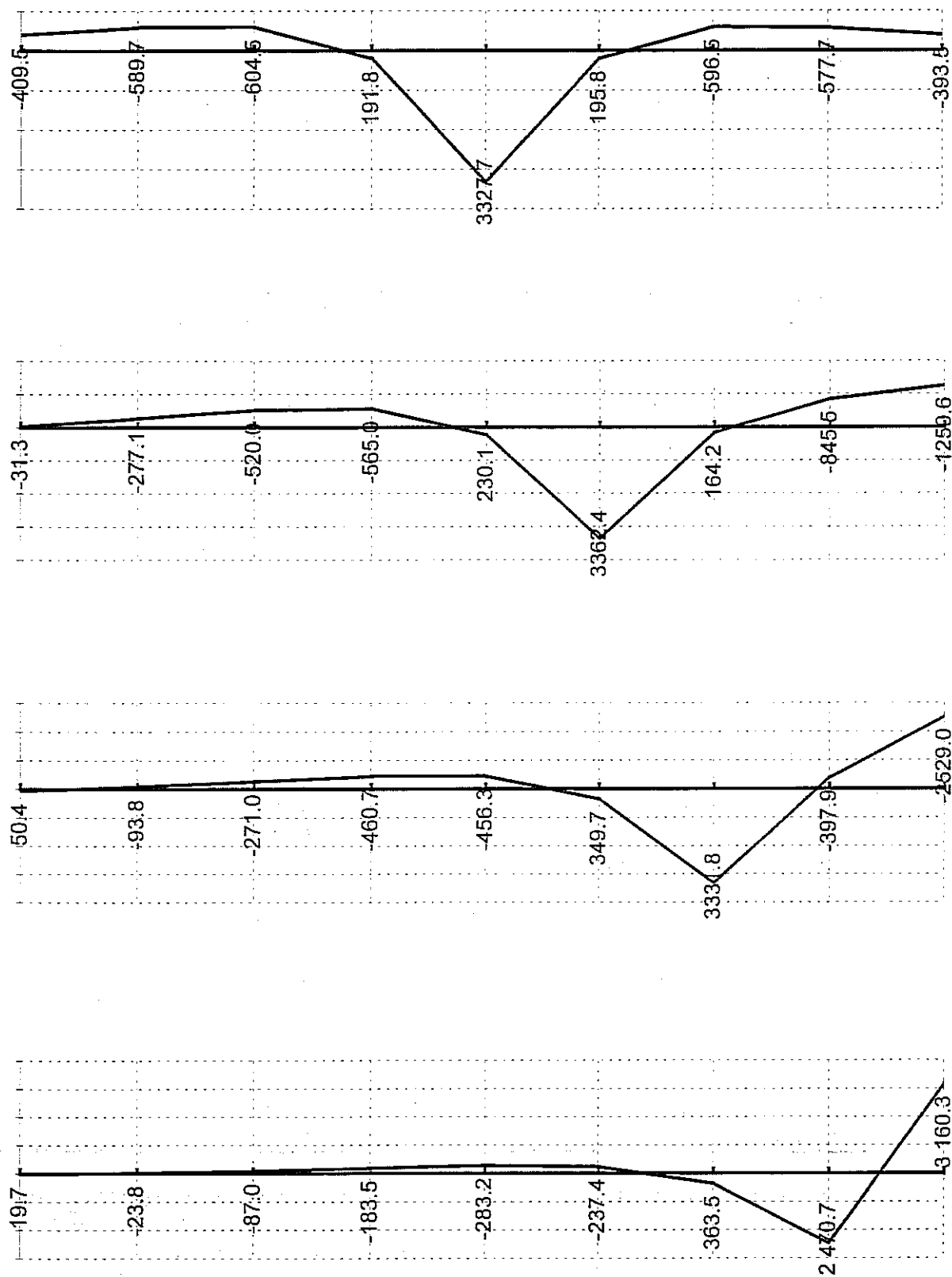
5.4. Linie wpływu momentów m_y dla obciążenia $K = 600 \text{ kN}$



5.5. Linie wpływów momentów my dla obciążenia $q = 3.00 \text{ kN/m}^2$



5.6. Linie wpływu momentów my dla obciążenia t = 2.50 kN/m²



5.7. Sumaryczne momenty w poprzek mostu od obciążenia obliczeniowego klasy B i tłum.

$$m_y = \frac{b}{10^4} * (\sum \eta_i^K + \sum \omega^q + \sum \omega')$$

gdzie:

$$b = \frac{B}{2} = 15,50 / 2 = 7.75 \text{ m} - \text{połowa szerokości oblicz.}$$

$\sum \eta_i^K$ - suma rzędnych linii wpływu m_y od $K = 600 \text{ kN}$

$\sum \omega^q$ - suma pola linii wpływu m_y od $q = 3.00 \text{ kN/m}^2$

$\sum \omega'$ - suma pola linii wpływu m_y od $t = 2.5 \text{ kN/m}^2$

f = 0

$$m_y^{\max} = 7,75 / 10^4 * (53760 + 10955 + 0) = 50,15 \text{ kNm}$$

$$m_y^{\min} = -7,75 / 10^4 * (16967 + 2949 + 2077) = -17,04 \text{ kNm}$$

f = b/4

$$m_y^{\max} = 7,75 / 10^4 * (54291 + 9602 + 231) = 47.40 \text{ kNm}$$

$$m_y^{\min} = -7,75 / 10^4 * (16264 + 3330 + 2478) = -17,11 \text{ kNm}$$

f = b/2

$$m_y^{\max} = 7,75 / 10^4 * (29465 + 4691 + 3496) = 29.18 \text{ kNm}$$

$$m_y^{\min} = -7,75 / 10^4 * (14022 + 3447 + 1507) = -14.71 \text{ kNm}$$

f = 3/4 b

$$m_y^{\max} = 7,75 / 10^4 * (751 + 140 + 3842) = 15.37 \text{ kNm}$$

$$m_y^{\min} = -7,75 / 10^4 * (7221 + 2554 + 353) = -7,85 \text{ kNm}$$

5.8. Wymiarowanie płyty pomostu w kierunku poprzecznym.

a) na moment dodatni $m_{\max} = 50.15 \text{ kNm/1m}$

$$b = 1.00 \text{ m}$$

$$h = 0.12 + 0.12 \text{ m} = 0.24 \text{ m} - \text{wraz z nadbetonem}$$

$$h_1 = 0.24 - 0.03 = 0.21 \text{ m}$$

$$R_a = 295 \text{ MPa} - 18G2 - b$$

$$\pi = \frac{E_s}{E_b} = 7$$

$$\omega_z = \frac{7 * 0.05015}{1.00 * 0.21^2 * 295} = 0.0270$$

$$\pi \mu = 0.029$$

$$A_a = \frac{0.029}{7} * 100 * 21 = 8,70 \text{ cm}^2/1\text{m}, \sigma_a = 286 \text{ MPa}$$

istniejące zbrojenie $\phi 12$ co 12.5 cm tj. $9.05 \text{ cm}^2/1\text{m}$ jest wystarczające

b) na moment ujemny $m_{\min} = -17.11 \text{ kNm/m}$ w nadbetonie

$$h = 0.12 + 0.12 \text{ m} = 0.24 \text{ m} - \text{wraz z nadbetonem}$$

$$h_1 = 0.24 - 0.06 = 0.18 \text{ m}$$

$$R_a = 295 \text{ MPa} - 18G2 - b$$

$$n = \frac{E_s}{E_b} = 7$$

$$\omega_z = \frac{7 * 0.01711}{1.00 * 0.18^2 * 295} = 0.0185$$

$$n\mu = 0.020$$

$$A_a = \frac{0.020}{7} * 100 * 18 = 5,14 \text{ cm}^2/\text{1m}$$

przyjęto $\Phi 10$ co 15 cm - $A_a = 5.24 \text{ cm}^2/\text{1m}$ - $18G2-b$

c) dodatkowe napr. w zbrojeniu dolnym płyty pomostu od ciężaru własnego i nadbetonu

$$g = (0.12 + 0.12) * 26,00 * 1,20 = 3,74 \text{ kN/m}^2$$

$$M = g * 1 * 1 / 12 = 0.00374 * 1.50 * 1.50 / 12 = 0.000701 \text{ MNm}$$

$$h_1 = 0.12 - 0.03 = 0.09 \text{ cm}$$

$$n = 7$$

$$n\mu = 7 * 9,05 / 100 / (12 - 3) = 0.07038$$

$$\omega_z = 0.0628$$

$$\Delta\sigma_a = 7 * 0.000701 / 1.00 / 0.09 / 0.09 / 0.0628 = 9.6 \text{ MPa}$$

$$\Sigma\sigma_a = 286 + 10 = 296 \text{ MPa} < R_a * 1.05 = 295 * 1.05$$

6. OBLCZENIE UCIAGLENIA PRZESŁA NAD FILARAMI

Sumaryczny moment zginający obliczeniowy nad filarem – węzeł nr 7:

$$M = 649,5 + 652,6 = 1302,1 \text{ kNm}$$

wymiary obliczeniowe oczepu uciąglającego (bez uwzględnienia podbetonowania belek):

$$B = 1.50 \text{ m} \text{ (rozstaw belek w przekroju)}$$

$$H = 0.90 + 0.15 = 1.05 \text{ m}$$

$$h_1 = 1.05 - 0.05 = 1.00 \text{ m}$$

przyjęto $\Phi 20$ co 10 cm ($18G2-b$) tj. $A_g = 47.10 \text{ cm}^2 / 1 \text{ belkę}$

wyniki obliczeń wg wydruków komputerowych (załącznik):

$$\text{Wysokość strefy ściskanej} \quad x = 0.22 \text{ m}$$

$$\text{Oblicz. naprężenia ściskające w betonie} \quad \sigma_b = 8.48 \text{ MPa} < R_{b1} = 20.2 \text{ MPa} - B35$$

$$\text{Oblicz. naprężenia rozciągające w stali zbr.} \quad \sigma_t = 298.66 \text{ MPa} < R_a = 295 * 1,05 \text{ MPa} - 18G2-b$$

7. OBLCZENIE POPRZECZNIC PODPOROWYCH

7.1. Obciążenia zewnętrzne poprzecznic

FAZA 1 – bezpośrednio po opuszczeniu przesła na łożyskach
belka prefabrykowana Płońsk LC = 16.50 m:

$$A_b = 0.376 \text{ m}^2 \text{ – pole przekroju poprzecznego belki}$$

$$LC = 16.50 \text{ m}$$

$$Lt = 16.00 \text{ m}$$

$$\begin{array}{lll} g = 0,376 * 27.00 & & = 10.15 \text{ kN/m/1 belkę} \\ \text{zamki pomiędzy półkami belek} & g = (1.50 - 1.38) * 0.12 * 26,00 & = 0.37 \text{ kN/m/1 belkę} \end{array}$$

$$\text{nadbeton średnia gr. } 13.5 \text{ cm: } 0,135 * 1,50 * 27,00 = = 5.47 \text{ kN / m / 1 belkę}$$

$$\text{razem g}_1 = 16,00 \text{ kN / m / 1 belkę}$$

Reakcja podpory montażowej:

$$R_{gl} = 0,50 * 16,50 * 16,00 = 132,0 \text{ kN / 1 belkę}$$

$$\gamma = 1,20 - \text{współczynnik obciążenia}$$

na podstawie sch. oblicz. nr 3a otrzymuje się reakcję 1 belki na oczep podporowy po opuszczeniu przęsła na łożyskach:

$$V1(g1) = 132,0 / 127,95 * 117,508 = 121,2 \text{ kN - na przyczółku}$$

$$V7(g1) = 132,0 / 127,95 * 266,344 = 274,8 \text{ kN - na filarze}$$

FAZA 2 – po uciągnięciu przęsła

a) obc. stałe – ciężar nawierzchni i wyposażenia – sch. 1 obliczeniowy poprzecznicy

$$g2 = 6,375 \text{ kN / m / 1 belkę}$$

$$\gamma = 1,50 - \text{współczynnik obciążenia}$$

na podstawie sch. oblicz. nr 3b otrzymuje się reakcję 1 belki na oczep podporowy:

$$V1(g2) = 6,375 / 10,00 * 64,894 = 41,4 \text{ kN - na przyczółku}$$

$$V7(g2) = 6,375 / 10,00 * 180,905 = 115,3 \text{ kN - na filarze}$$

b) obc. stałe – ciężar własny poprzecznicy – sch. 2 obliczeniowy poprzecznicy

$$A_{bl} = 0,90 * 1,25 = 1,125 \text{ m}^2 - \text{na przyczółku}$$

$$A_{b7} = 1,20 * 1,25 = 1,50 \text{ m}^2 - \text{na filarze}$$

$$g_{1(g3)} = 1,25 * 26,00 = 29,3 \text{ kN / m}$$

$$g_{7(g3)} = 1,50 * 26,00 = 39,0 \text{ kN / m}$$

$$\gamma = 1,20 - \text{współczynnik obciążenia}$$

c) obc. ruchome q = 3,00 kN / m2 – klasa B – sch. 3 obliczeniowy poprzecznicy

- wg schematu przekroju poprzecznego przęsła oraz sch. oblicz. nr 3c + 3d + 3e, otrzymuje się maks. reakcję 1 belki na poprzecznicy:

- na przyczółku:

$$V1^1(q) = 3,00 * 0,95 / 10 * (70,37 + 2,718) = 20,92 \text{ kN}$$

$$V1^{2-7}(q) = 3,00 * 1,50 / 10 * (70,37 + 2,718) = 33,02 \text{ kN}$$

$$V1^8(q) = 3,00 * 0,55 / 10 * (70,37 + 2,718) = 12,11 \text{ kN}$$

$$V1^{9-10}(q) = 0,00 \text{ kN}$$

przyjęto na korzyść bezpieczeństwa $V1^{1-8}(q) = 33,02 \text{ kN}$

- na filarze

$$V7^1(q) = 3,00 * 0,95 / 10 * (105,486 + 91,396) = 56,10 \text{ kN}$$

$$V7^{2-7}(q) = 3,00 * 1,50 / 10 * (105,486 + 91,396) = 88,60 \text{ kN}$$

$$V7^8(q) = 3,00 * 0,55 / 10 * (105,486 + 91,396) = 32,50 \text{ kN}$$

$$V7^{9-10}(q) = 0,00 \text{ kN}$$

przyjęto na korzyść bezpieczeństwa $V7^{1-8}(q) = 88,60 \text{ kN}$

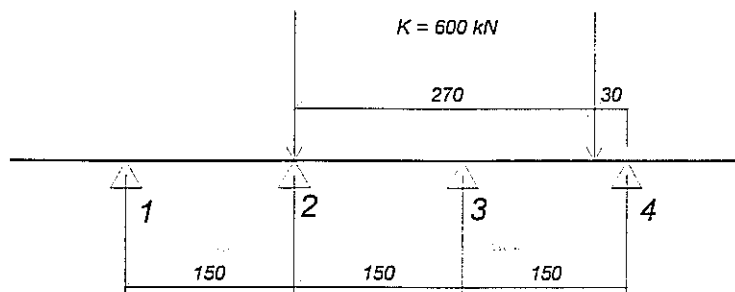
$$\gamma = 1,50 - \text{współczynnik obciążenia}$$

d) obc. ruchome K = 600 kN – klasy B

$$K' = 600 / 8 = 75,0 \text{ kN / 1 koło pojazdu K}$$

$$\phi = 1,268$$

- przypadek 1 – ustawienie pojazdu K z lewej strony przęsła wg kryterium $R2_{max}$ – sch. 4 obliczeniowy poprzecznicy:



- na przyczółku wg sch. oblicz. nr 3h:

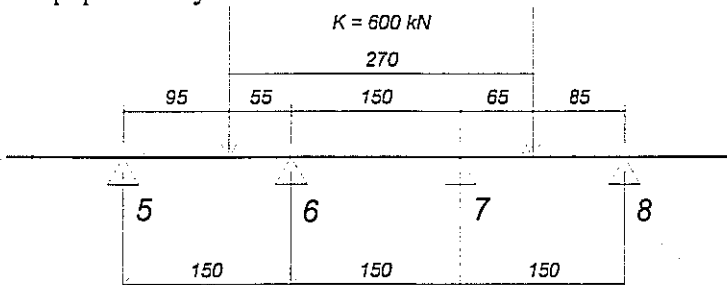
$$\begin{aligned}
 V1^1(K) &= 0.00 \text{ kN} \\
 V1^2(K) &= 75,00 * 1,268 / 100 * 344.481 = 327,6 \text{ kN} \\
 V1^3(K) &= 75,00 * 1,268 * 0,30 / 1,50 / 100 * 344.481 = 65,5 \text{ kN} \\
 V1^4(K) &= 75,00 * 1,268 * 1,20 / 1,50 / 100 * 344.481 = 262,1 \text{ kN} \\
 V1^{5-10}(K) &= 0.00 \text{ kN}
 \end{aligned}$$

- na filarze wg sch. oblicz. nr 3i lub 3j:

$$\begin{aligned}
 V7^1(K) &= 0.00 \text{ kN} \\
 V7^2(K) &= 75,00 * 1,268 / 100 * 400,0 = 380,4 \text{ kN} \\
 V7^3(K) &= 75,00 * 1,268 * 0,30 / 1,50 / 100 * 400,0 = 76,1 \text{ kN} \\
 V7^4(K) &= 75,00 * 1,268 * 1,20 / 1,50 / 100 * 40,0 = 304,3 \text{ kN} \\
 V7^{5-10}(K) &= 0.00 \text{ kN}
 \end{aligned}$$

$\gamma = 1,50$ - współczynnik obciążenia

- przypadek 2 – ustawienie pojazdu K z lewej strony przęsła wg kryterium $R8_{max}$ – sch. 5 obliczeniowy poprzecznicy:



- na przyczółku wg sch. oblicz. nr 3h:

$$\begin{aligned}
 V1^{1-4}(K) &= 0.00 \text{ kN} \\
 V1^5(K) &= 75,00 * 1,268 * 0,55 / 1,50 / 100 * 344.481 = 120,1 \text{ kN} \\
 V1^6(K) &= 75,00 * 1,268 * 0,95 / 1,50 / 100 * 344.481 = 207,5 \text{ kN} \\
 V1^7(K) &= 75,00 * 1,268 * 0,85 / 1,50 / 100 * 344.481 = 185,6 \text{ kN} \\
 V1^8(K) &= 75,00 * 1,268 * 0,65 / 1,50 / 100 * 344.481 = 142,0 \text{ kN} \\
 V1^{9-10}(K) &= 0.00 \text{ kN}
 \end{aligned}$$

- na filarze wg sch. oblicz. nr 3i lub 3j:

$$\begin{aligned}
 V7^{1-4}(K) &= 0.00 \text{ kN} \\
 V7^5(K) &= 75,00 * 1,268 * 0,55 / 1,50 / 100 * 400,0 = 139,5 \text{ kN} \\
 V7^6(K) &= 75,00 * 1,268 * 0,95 / 1,50 / 100 * 400,0 = 240,9 \text{ kN} \\
 V7^7(K) &= 75,00 * 1,268 * 0,85 / 1,50 / 100 * 400,0 = 215,5 \text{ kN} \\
 V7^8(K) &= 75,00 * 1,268 * 0,65 / 1,50 / 100 * 400,0 = 164,9 \text{ kN} \\
 V7^{9-10}(K) &= 0.00 \text{ kN}
 \end{aligned}$$

$\gamma = 1,50$ - współczynnik obciążenia

e) obc. tłumem $t = 2,50 \text{ kN/m}^2$ - sch. 6 obliczeniowy poprzecznicy

- na przyczółku wg sch. oblicz. nr 3c + 3e:

$$V1^{1-7}(t) = 0.00 \text{ kN}$$

$$V1^{8-10}(t) = 2,50 * 1.50 / 10 * (70,67 + 2,718) = 27.5 \text{ kN}$$

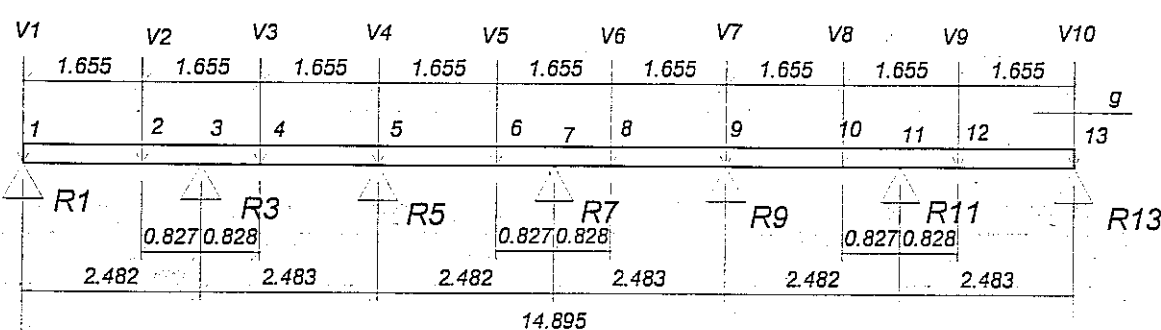
- na filarze wg sch. oblicz. nr 3c + 3d

$$V7^{1-7}(t) = 0.00 \text{ kN}$$

$$V7^{8-10}(t) = 2,50 * 1.50 / 10 * (105,486 + 91,396) = 73,8 \text{ kN}$$

$\gamma = 1.30$ - współczynnik obciążenia

schemat obliczeniowy poprzecznic



7.2. Zestawienie sił wewnętrznych w poprzecnicach podporowych

Siły wewnętrzne w poszczególnych schematach obliczeniowych obliczono w technice komputerowej (wyniki w załączniu)

Zestawienie zbiorcze opracowano w arkuszu kalkulacyjnym Excell

Schematy obliczeniowe podstawowe							Poprzecznica nad przyczółkiem - obc. Charakterystyczne									
	Schemat 2 - 12 x 10 kN/m - obc. Stałe	Schemat 3 - 8 x 100 kN - obc. Q	Schemat 4 - obc. K strona lewa	Schemat 5 - obc. K strona prawa	Sch.6 - 3 x 100 kN - tłum	obc. Stałe 10x 121.2 kN	obc. Stałe 10x 41.4 kN	C. Wi. Poprzeczny - 12 x 29.3 kN/m	-obc. Q - 8 x 33.02 kN	Sch. 4 - obc. K strona lewa	Sch. 5 - obc. K strona prawa	Sch.6 - 3 x 73.8 kN - tłum	Razem wg kryterium Max	Razem wg kryterium Min		
Momenty weżlowe																
Nr wezła	1	2	3	4	5	6	7	8	9	10	11	12	13	14	15	Nr wezła
1	0.00	-0.00	0.00	0.00	0	0.00	0.000	0.000	0.000	0.000	0.000	0.000	0.000	0.0	0.0	1
2	32.37	2.50	27.43	108.110	1.318	0.094	39.230	13.400	7.331	9.056	93.083	1.135	0.026	162.1		2
3	-34.20	-6.52	-41.61	-152.616	1.977	0.141	-41.449	-14.158	-19.098	-13.740	-131.402	1.702	0.039		-219.8	3
4	24.73	0.92	21.61	59.768	-1.318	-0.094	29.968	10.237	2.701	7.136	51.460	-1.135	-0.026	101.5		4
5	-22.92	-4.74	-17.45	-19.081	-7.908	-0.566	-27.784	-9.491	-13.891	-5.761	-16.429	-6.809	-0.156		-75.1	5
6	26.14	1.71	25.54	-2.953	25.686	1.226	31.682	10.822	5.016	6.433	-2.543	22.116	0.337	78.4		6
7	-32.08	-5.33	-35.72	5.111	-72.953	-2.122	-38.879	-13.280	-15.626	-11.794	4.401	-62.813	0.584		-142.4	7
8	26.14	1.71	23.50	2.953	67.583	-1.226	31.682	10.822	5.016	7.759	2.543	58.189	-0.337	113.5		8
9	-22.92	-4.74	-23.58	-1.363	-50.035	-7.921	-27.784	-9.491	-13.891	-7.785	-1.174	-43.080	-2.178		-76.4	9
10	24.73	0.92	35.913	-0.227	57.361	23.198	29.968	10.237	2.701	11.858	-0.195	49.388	6.579	110.5		10
11	-34.20	-6.52	-17.092	0.341	-25.395	-43.992	-41.449	-14.158	-19.098	-5.644	0.294	-21.865	-12.098		-114.3	11
12	32.37	2.50	-11.395	0.227	-16.93	25.839	39.230	13.400	7.331	-3.763	0.195	-14.577	7.106	67.3		12
13	0.00	0.00	0.00	0.00	0	0.00	0.000	0.000	0.000	0.000	0.000	0.000	0.000	0.0	0.0	13

Nr preta	Sily poprzeczne												Nr pre			
	1	19.558	9.787	16.572	65.323	0.796	0.057	23.704	8.097	28.676	5.472	56.243	0.685	0.016	122.2	1
2	-80.442	-6.763	-83.428	-315.077	0.796	0.057	-97.496	-33.303	-19.816	-27.548	-271.281	0.685	0.016	448.8	2	
3	71.209	13.129	76.401	256.657	-3.982	-0.285	86.305	29.481	38.468	25.228	220.982	-3.429	-0.078	400.5	3	
4	-28.792	4.854	-23.599	-47.643	-3.982	-0.285	-34.896	-11.920	14.222	-7.792	-41.021	-3.429	-0.078	-77.1	4	
5	29.646	12.174	25.973	9.745	20.299	1.083	35.931	12.273	35.670	8.576	8.390	17.477	0.298	110.2	5	
6	-70.354	-4.376	-74.027	9.745	-119.201	1.083	-85.269	-29.127	-12.822	-24.444	8.390	-102.632	0.298	-254.3	6	
7	70.354	12.651	71.558	-2.608	169.832	-4.046	85.269	29.127	37.067	23.628	-2.245	146.225	-1.113	321.3	7	
8	-29.646	4.376	-28.442	-2.608	-71.068	-4.046	-35.931	-12.273	12.822	-9.392	-2.245	-61.190	-1.113	-119.9	8	
9	28.792	11.696	35.945	0.686	64.892	18.803	34.896	11.920	34.269	11.869	0.591	55.872	5.171	98.7	9	
10	-71.209	4.854	-64.055	0.686	-100.008	-81.197	-86.305	-29.481	-14.222	-21.151	0.591	-86.107	-22.329	-259.6	10	
11	80.442	15.038	6.763	6.885	-0.137	10.23	84.387	97.496	33.303	44.061	2.273	-0.118	8.808	23.206	209.1	11
12	-19.558	6.763	6.885	-0.137	10.23	-15.613	-23.704	-8.097	19.816	2.273	-0.118	8.808	4.294	-16.4	12	

Sily poprzeczne									
28.445	12.550	34.411	8.208	84.365	1.028	0.020	168.0		
-116.995	-51.620	-23.779	-41.322	-406.922	1.028	0.020			-639.6
103.566	45.695	46.162	37.841	331.473	-5.143	-0.102	559.6		
-41.875	-18.476	17.067	-11.689	-61.531	-5.143	-0.102			-60.2
43.117	19.024	42.804	12.864	12.586	26.216	0.387	144.4		
-102.323	-45.146	-15.386	-36.666	12.586	-153.948	0.387			-353.5
102.323	45.146	44.481	35.443	-3.368	219.338	-1.446	446.7		
-43.117	-19.024	15.386	-14.087	-3.368	-91.784	-1.446			-81.0
41.875	18.476	41.123	17.804	0.886	63.808	6.722	126.9		
-103.566	-45.695	-17.067	-31.726	0.886	-129.160	-29.028			-356.2
116.995	51.620	52.874	3.410	-0.177	13.212	30.168	268.3		
-28.445	-12.550	23.779	3.410	-0.177	13.212	-5.582			-23.0

Nr podpo-ry	Reakcje podporowe												Nr podpo-			
1	119.558	9.787	116.572	65.323	0.796	0.057	144.904	49.497	28.676	38.492	56.243	0.685	0.016	317.8	223.1	1
3	151.651	28.167	159.829	647.833	4.779	-0.342	183.801	62.784	82.529	52.776	557.784	-4.115	-0.094	939.7	324.9	3
5	158.437	23.870	149.573	57.388	24.281	1.368	192.026	65.593	69.939	49.389	49.411	20.906	0.376	426.7	327.6	5
7	140.708	25.302	145.584	-12.353	289.033	-5.128	170.538	58.253	74.135	48.072	-10.636	248.857	-1.410	599.9	290.9	7
9	158.437	23.870	164.387	3.294	351.46	22.849	192.026	65.593	69.939	54.281	2.836	302.607	6.283	690.7	327.6	9
11	151.651	28.167	70.940	-0.824	110.238	165.584	183.801	62.784	82.529	23.424	-0.709	94.915	45.536	493.0	328.4	11
13	119.558	9.787	-6.885	0.137	-10.23	115.613	144.904	49.497	28.676	-2.273	0.118	-8.808	31.794	255.0	212.0	13

Reakcje podporowe									
173.885	76.720	34.411	57.738	84.365	1.028	0.020	427.1	285.0	
220.561	97.314	99.035	79.163	836.676	-6.172	-0.122	1332.8	410.6	
230.431	101.669	83.927	74.084	74.117	31.359	0.489	564.7	416.0	
204.646	90.292	88.962	72.108	-15.954	373.286	-1.833	829.3	366.1	
230.431	101.669	83.927	81.421	4.254	453.911	8.169	959.5	416.0	
220.561	97.314	99.035	35.137	-1.064	142.372	59.196	653.6	415.8	
173.885	76.720	34.411	-3.410	0.177	-13.212	41.332	326.5	268.4	

Schematy obliczeniowe podstawowe						Poprzecznica nad filarem - obc. Charakterystyczne										Poprzecznica nad filarem - obc. Obliczeniowe										
Momenty zginające						Momenty zginające										Momenty zginające										
	Schemat 2 - 12 x 10 kN/m - c. Wt. Poprzeczny	Schemat 3 - 8 x 100 kN - abc. Q	Schemat 4 -abc. K strona lewa	Schemat 5 -abc. K strona prawa	Schemat 6 - 3 x:100.kn - tium	obc. Stałe	obc. Stałe	C. Wt. Poprzecznicy - 12 x 10x 274.8 kN	-abc. Q - 8 x 88.6 kN	Sch. 4 -abc. K strona lewa	Sch. 5 -abc. K strona prawa	Sch. 6 - 3 x 73.8 kN tium	Razem wg kryterium Max	Razem wg kryterium Min	obc. Stałe	obc. Stałe	C. Wt. Poprzecznicy - 12 x 10x 115.3 kN	-abc. Q - 8 x 88.6 kN	Sch. 4 -abc. K strona lewa	Sch. 5 -abc. K strona prawa	Sch. 6 - 3 x 73.8 kN tium	Razem wg kryterium Max	Razem wg kryterium Min			
Momenty weżlowe																										
Nr wezła	1	2	3	4	5	6	7	8	9	10	11	12	13	14	15	Nr wezła	7	8	9	10	11	12	13	14	15	Nr wezła
1	0.00	0.00	0.00	0.00	0	0.00	0.000	0.000	0.000	0.000	0.000	0.000	0.000	0.0	0.01	1	0.000	0.000	0.000	0.000	0.000	0.000	0.000	0.000	0.000	1
2	32,37	2,50	27,43	108,110	1,318	0,094	88,947	37,320	9,758	24,299	108,110	1,318	0,069	268,5	2	106,737	55,980	11,709	36,449	162,165	1,977	0,090	373,1		2	
3	-34,20	-6,52	-41,61	-152,616	1,977	0,141	-93,979	-39,431	-25,420	-36,867	-152,616	1,977	0,104	-348,3	3	-112,775	-59,147	-30,504	-55,301	-228,924	2,966	0,135	486,7		3	
4	24,73	0,92	-21,61	59,768	-1,318	-0,094	67,947	28,509	3,596	19,147	59,768	-1,318	-0,069	179,0	4	-75,594	-39,647	-22,188	-23,186	-28,622	-11,862	-0,543	-173,0		4	
5	-22,92	-4,74	-17,45	-19,081	-7,908	-0,566	-62,995	-26,431	-18,490	-15,457	-19,081	-7,908	-0,418	-135,9	5	86,199	45,209	8,012	33,943	-4,430	38,529	1,176	213,1		5	
6	26,14	1,71	25,54	2,953	25,686	1,226	71,833	30,139	6,677	22,628	-2,953	25,686	0,905	157,9	6	-105,780	-55,479	-24,958	-47,468	7,667	-109,430	2,036	-343,1		6	
7	32,08	-5,33	-35,72	5,111	-72,953	2,122	-88,150	-36,986	-20,799	-31,645	5,111	-72,953	1,566	-250,5	7	86,199	45,209	8,012	31,228	4,430	101,375	-1,176	175,1		7	
8	26,14	1,71	23,50	2,953	67,583	-1,226	71,833	30,139	6,677	20,818	2,953	67,583	-0,905	197,1	8	-75,594	-39,647	-22,188	-31,333	-2,045	-75,053	-7,599	-102,8		8	
9	-22,92	-4,74	-23,58	-1,363	-50,035	-7,921	-62,995	-26,431	-18,490	-20,888	-1,363	-50,035	-5,846	-121,7	9	81,536	42,764	4,315	47,728	-0,341	86,042	22,256	284,6		9	
10	24,73	0,92	35,913	-0,227	57,361	23,198	67,947	26,509	3,596	31,819	-0,227	57,361	17,120	206,4	10	-112,775	-59,147	-30,504	-22,715	0,512	-38,093	42,206	-305,4		10	
11	-34,20	-6,52	-17,092	0,341	-25,395	-43,992	-93,979	-39,431	-25,420	-15,144	0,341	-25,395	-32,466	-231,8	11	106,737	55,980	11,709	-15,144	0,341	-25,395	24,790	199,6		11	
12	32,37	2,50	-11,395	0,227	-16,93	25,839	88,947	37,320	9,758	-10,096	0,227	-16,930	19,069	155,3	12										12	
13	0.00	0.00	0.00	0.00	0	0.00	0.000	0.000	0.000	0.000	0.000	0.000	0.000	0.0	0.01	13	0.000	0.000	0.000	0.000	0.000	0.000	0.000	0.000	0.000	13
Nr preta	Sily poprzeczne																					Nr preta				
	Sily poprzeczne																									
1	19,558	9,787	16,572	65,323	0,796	0,057	53,7	22,6	38,2	14,7	65,323	0,796	0,042	194,5	1	64,494	33,826	45,803	22,024	97,985	1,194	0,055	264,2	1		
2	-60,442	-6,763	-83,428	-315,077	0,796	0,057	-221,1	-92,7	-26,4	-73,9	-315,077	0,796	0,042	-728,4	2	-265,266	-139,124	-31,651	-110,876	-472,616	1,194	0,055	-1018,3	2		
3	71,209	13,129	76,401	256,657	-3,982	-0,285	195,7	82,1	51,2	67,7	256,657	-3,982	-0,210	653,3	3	234,819	123,156	61,444	101,537	384,986	-5,973	-0,273	900,0	3		
4	-28,792	4,854	-23,599	-47,643	-3,982	-0,285	-79,1	-33,2	18,9	-20,9	-47,643	-3,982	-0,210	-145,2	4	-94,944	-49,796	22,717	-31,363	-71,465	-5,973	-0,273	-159,5	4		
5	29,646	12,174	25,973	9,745	20,299	1,083	81,5	34,2	47,5	23,0	9,745	20,299	0,799	207,2	5	97,761	51,273	56,974	34,518	14,618	30,449	1,039	272,0		5	
6	-70,354	-4,376	-74,027	9,745	-119,201	1,083	-193,3	-81,1	-17,1	-65,6	9,745	-119,201	0,799	-476,3	6	-231,999	-121,677	-20,480	-98,382	14,618	-178,802	1,039	-651,3		6	
7	70,354	12,651	71,558	-2,608	169,832	-4,046	193,3	81,1	49,3	63,4	-2,608	169,832	-2,986	557,0	7	231,999	121,677	59,207	95,101	-3,912	254,748	-3,882	762,7		7	
8	-29,646	4,376	-28,442	-2,608	-71,068	-4,046	-81,5	-34,2	17,1	-25,2	-2,608	-71,068	-2,986	-214,9	8	-97,761	-51,273	20,480	-37,799	-3,912	-106,602	-3,882	-194,6		8	
9	28,792	11,696	35,945	0,686	-64,892	18,803	79,1	33,2	45,6	31,8	0,686	64,892	13,877	204,3	9	-94,944	49,796	54,737	47,771	1,029	97,338	18,040	266,3		9	
10	-71,209	-4,854	-64,055	0,686	-100,008	-81,197	-195,7	-82,1	-18,9	-56,8	0,686	-100,008	-59,923	-513,4	10	-234,819	-123,156	-22,717	-85,129	1,029	-150,012	-77,900	-693,7		10	
11	80,442	15,038	6,885	-0,137	10,23	84,387	221,1	92,7	58,6	6,1	-0,137	10,230	62,278	451,1	11	265,266	139,124	70,378	9,150	-0,206	15,345	80,961	580,2		11	
12	-19,558	6,763	6,885	-0,137	10,23	-15,613	-53,7	-22,6	26,4	6,1	-0,137	10,230	-11,522	-61,6	12	-64,494	-33,826	31,651	9,150	-0,206	15,345	-14,979	-81,9		12	
Nr podpo	Reakcje podporowe																					Nr podpo				
	Reakcje podporowe																									
1	119,558	9,787	116,572	65,323	0,796	0,057	328,5	137,9	38,2	103,28	65,323	0,796	0,042	673,2	1	394,254	206,776	45,803	154,924	97,985	1,194	0,055	899,8	646,3	1	
3	151,651	28,167	159,829	647,83	-4,779	-0,342	416,7	174,9	109,9	141,61	647,83	-4,779	-0,252	1490,9	3	500,084	262,280	131,822	212,413	971,750	-7,169	-0,328	2078,3	886,7	3	
5	158,437	23,870	149,573	57,388	24,281	1,368	435,4	182,7	93,1	132,52	57,388	24,281	1,010	902,1	5	522,462	274,017	111,712	198,783	86,082	36,422	1,312	1194,4	908,2	5	
7	140,708	25,302	145,584	-12,353	289,03	-5,128	386,7	162,2	98,7	128,99	-12,353	289,033	-3,784	1065,6	7	463,999	243,354	118,413	193,481	-18,530	433,550	-4,920	1452,8	802,3	7	
9	158,437	23,870	164,387	3,294	351,46	22,849	435,4	182,7	93,1	145,65	3,294	351,460	16,863	1225,1	9	522,462	274,017	111,712	218,470	4,941	527,190	21,921	1675,8	908,2	9	
11	151,651	28,167	70,940	-0,324	110,238	165,584	416,7	174,9	109,9	62,85	-0,824	110,238	122,201	996,7	11	500,084	262,280	131,822	94,279	-1,236	165,357	158,861	1312,7	893,0	11	
13	119,558	9,787	6,885	0,137	-10,23	115,613	328,5	137,9	38,2	-6,10	0,137	-10,230	85,322	590,0	488,21	13	394,254	206,776	4							

7.3. Wymiarowanie poprzecznic

7.3.1. Nad filarem

Wymiary przekroju obliczeniowego:

$$b = 1.20 \text{ m}$$

$$h = 1.25 \text{ m}$$

$a_g = 0.09 \text{ m}$ – otulina zbr. górnego

$a_d = 0.05 \text{ m}$ – otulina zbr. dolnego

$$R_a = 200 \text{ MPa}$$

$$R_{bl} = 20.2 \text{ MPa} - \text{beton B35}$$

$$\text{przyjęto zbrojenie: } A_g = A_d = 10 \phi 20 = 31.42 \text{ cm}^2$$

$M_{\max} = 373 \text{ kNm}$ – węzeł nr 2 poprzecznicy

$M_{\min} = -487 \text{ kNm}$ – węzeł nr 3 poprzecznicy

$Q_{\max} = 1018 \text{ kN}$ – pręt nr 2 i nr 3

$R_{\max \text{ char.}} = 1491 \text{ kN}$ – węzeł nr 3

$R_{\max \text{ oblicz.}} = 2078 \text{ kN}$ – węzeł nr 3

wyniki obliczeń wg wydruków komputerowych dla M_{\min} (załącznik):

Wysokość strefy ściskanej $x = 0.20 \text{ m}$

Oblicz. naprężenia ściskające w betonie $\sigma_b = 3,03 \text{ MPa} < R_{bl} = 20.2 \text{ MPa} - \text{B35}$

Oblicz. naprężenia rozciągające w stali zbr. $\sigma_a = 141,6 \text{ MPa} < R_a = 200 \text{ MPa} - \text{St3S-b}$

Ścinanie:

pomija się udział betonu w przenoszeniu ścinania ze względu na brak ciągłości przekroju na styku poprzecznicy z belką:

$$z = h_1 - x / 3 = 1,25 - 0,09 - 0,20 / 3 = 1,09 \text{ m}$$

przyjęto $A_{aw} / s = 6 \phi 12 \text{ co } 20 \text{ cm tj. } 33,93 \text{ cm}^2 / 1 \text{ m}$

$$\Delta V_w = A_{aw} / s * z * R_{aw} = 0.003393 * 1,09 * 200 = 0,7397 \text{ MN}$$

na pręty odgięte $\Phi 20$ przypada pozostała część siły poprzecznej:

$$\Delta V_a = Q_{\max} - \Delta V_w = 1,018 - 0,7397 = 0,2783 \text{ MN}$$

$$A_a = \Delta V_a / R_a / \sin a = 0,2783 / 295 / \sin 60 = 10,89 \text{ cm}^2 = 4 \Phi 20 = 12.57 \text{ cm}^2 (18 \text{ G2-b})$$

7.3.2. Nad przyczółkiem

Wymiary przekroju obliczeniowego:

$$b = 0,75 \text{ m}$$

$$h = 1.25 \text{ m}$$

$a_g = 0.09 \text{ m}$ – otulina zbr. górnego

$a_d = 0.05 \text{ m}$ – otulina zbr. dolnego

$$R_a = 200 \text{ MPa}$$

$$R_{bl} = 20.2 \text{ MPa} - \text{beton B35}$$

$$\text{przyjęto zbrojenie: } A_g = A_d = 8 \phi 20 = 22,10 \text{ cm}^2$$

$M_{\max} = 230,0 \text{ kNm}$ – węzeł nr 2 poprzecznicy

$M_{\min} = -313,0 \text{ kNm}$ – węzeł nr 3 poprzecznicy

$Q_{\max} = 640,0 \text{ kN}$ – pręt nr 2 i nr 3

$R_{\max \text{ char.}} = 940 \text{ kN}$ – węzeł nr 3

$R_{\max \text{ oblicz.}} = 1333 \text{ kN}$ – węzeł nr 3

wyniki obliczeń wg wydruków komputerowych dla M_{\min} (załącznik):

Wysokość strefy ściskanej $x = 0.23 \text{ m}$

Oblicz. naprężenia ściskające w betonie $\sigma_b = 2,76 \text{ MPa} < R_{bl} = 20.2 \text{ MPa} - \text{B35}$

Oblicz. naprężenia rozciągające w stali zbr. $\sigma_a = 114,5 \text{ MPa} < R_a = 200 \text{ MPa} - \text{St3S-b}$

Ścinanie:

pomija się udział betonu w przenoszeniu ścinania ze względu na brak ciągłości przekroju na styku poprzecznicy z belką:

$$z = h_1 - x / 3 = 1,25 - 0,09 - 0,23 / 3 = 1,08 \text{ m}$$

przyjęto $A_{aw} / s = 4 \phi 12 \text{ co } 20 \text{ cm tj. } 22,62 \text{ cm}^2 / 1 \text{ m}$

$$\Delta V_w = A_{aw} / s * z * R_{aw} = 0,002262 * 1,08 * 200 = 0,4885 \text{ MN}$$

na pręty odgięte $\Phi 20$ przypada pozostała część siły poprzecznej:

$$\Delta V_a = Q_{\max} - \Delta V_w = 0,640 - 0,4885 = 0,1515 \text{ MN}$$

$$A_a = \Delta V_a / R_a / \sin a = 0,1515 / 295 / \sin 60 = 5,93 \text{ cm}^2 = 3 \Phi 20 = 9,42 \text{ cm}^2 (18 \text{ G2-b})$$

8. DOBIERANIE ŁOŻYSK ELASTOMEROWYCH NA PODPORACH

Max. reakcje podporowe (charakterystyczne):

$$R_{\max} = R_3 = 940 \text{ kN} - \text{na przyczółku}$$

$$R_{\max} = R_3 = 1491 \text{ kn} - \text{na filarze}$$

Max. przemieszczenia węzłów łożyskowych:

a) faza 1 – opuszczenie przęsła na łożyskach

$$Rg_3 = 127,95 \text{ kN} / 1 \text{ belkę- sch. 3a}$$

$$\phi_1 = 0,000311 \text{ rad}$$

$$\phi_7 = -0,000097 \text{ rad}$$

b) faza 2 – c. własny nawierzchni i wyposażenia

$$g_3 = 6,375 \text{ kN} / \text{m} / 1 \text{ belkę}$$

$$\phi_1 = 6,375 / 10,00 * 0,000449 = 0,000286 \text{ rad}$$

$$\phi_7 = 6,375 / 10,00 * (-0,000142) = -0,0000905 \text{ rad}$$

c) obc. użytkowe $q = 3,00 \text{ kN} / \text{m}^2$ – klasy B – sch. 3c – 3e

$$k_q = 1,1684 - \text{wsp. rozkładu obc. } q \text{ dla belki nr 1}$$

$$\phi_1 = 3,00 * 1,1684 / 10,00 * (0,000557 + 0,000051) = 0,000213 \text{ rad}$$

$$\phi_7 = 3,00 * 1,1684 / 10,00 * (-0,000356 - 0,000101) = -0,00016 \text{ rad}$$

d) obc. użytkowe $K' = 600,0 / 8 = 75,0 \text{ kN} / 1 \text{ koło} - \text{klasy B - sch. 3f - 3g}$

$$k_K = 0,5335 - \text{wsp. rozkładu obc. } K \text{ dla belki nr 1}$$

$$\phi_1 = 75,0 / 100 * 0,5335 * 0,001905 = 0,000762 \text{ rad}$$

$$\phi_7 = -75,0 / 100 * 0,5335 * 0,00130 = 0,000762 = -0,00052 \text{ rad}$$

e) przemieszczenia poziome od różnicy temperatury

$$t_0 = 10^0 \text{ C} - \text{temp. montażu}$$

$$t_{\max} = +30^0 \text{ C}$$

$$t_{\min} = -15^0 \text{ C}$$

$$\Delta t_{\max} = -25^0 \text{ C}$$

$$L1 = 0,5 * 16,58 + 16,29 = 24,58 \text{ m} - \text{dla przyczółka}$$

$$L7 = 0,5 * 16,58 = 8,29 \text{ m} - \text{dla filara}$$

$$X1 = \alpha_t * \Delta t_{\max} * L1 = 0,00001 * 25 * 2458 = 0,61 \text{ cm}$$

$$X7 = \alpha_t * \Delta t_{\max} * L7 = 0,00001 * 25 * 829 = 0,21 \text{ cm}$$

Sumaryczne przemieszczenia łożysk:

- na przyczółku:

$$R1_{\max} = 940 \text{ kN}, R1_{\min} = 325 \text{ kN}, R13_{\min} = 212 \text{ kN}$$

$$\Sigma X1 = 0,61 \text{ cm}$$

$$\Sigma \phi_1 = 0,000311 + 0,000286 + 0,000213 + 0,000762 = 0,00157 \text{ rad}$$

- przyjęto łożysko elastomerowe o nośności $V = 1200 \text{ kN}$ i wymiarach:

-
- przyjęto łożysko elastomerowe o nośności $V = 1200 \text{ kN}$ i wymiarach:
 - $D = 400$ ($A = 0.1257 \text{ m}^2$)
 - $h = 72 \text{ mm}$
 - o dopuszczalnych przemieszczeniach $X_{\text{dop}} = 33 \text{ mm}$ i $\Phi_{\text{dop}} = 0,012 \text{ rad}$

$$\sigma_{\min} = 0.212 / 0.1257 = 1.69 \text{ MPa} < 5.0 \text{ MPa} - \text{łożysko wymaga zakotwienia}$$

- na filarze:

$$R7_{\max} = 1491 \text{ kN}, R7_{\min} = 696 \text{ kN}, R13_{\min} = 488 \text{ kN}$$

$$\Sigma X7 = 2,10 \text{ mm}$$

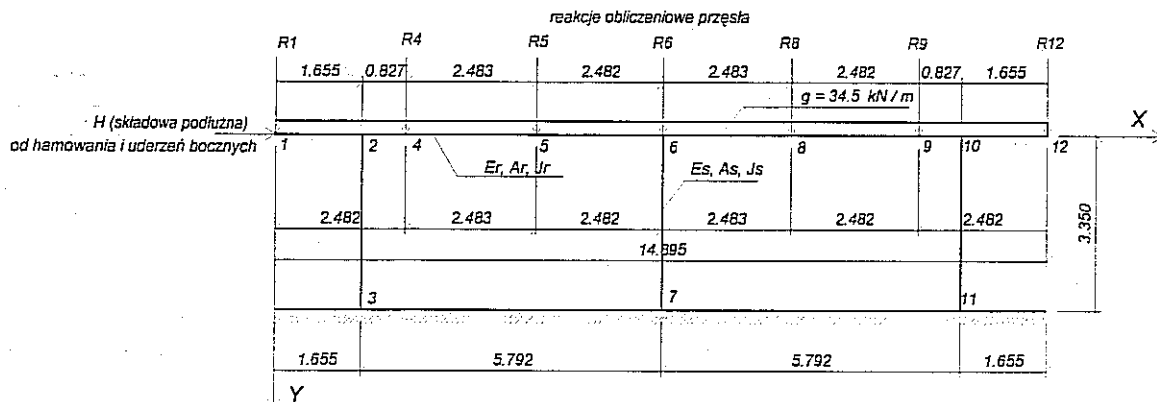
$$\Sigma \phi_7 = 0,000097 + 0,0000905 + 0,00016 + 0,00052 = 0,00087 \text{ rad}$$

- przyjęto łożysko elastomerowe o nośności $V = 1600 \text{ kN}$ i wymiarach:
 - $D = 450$ ($A = 0.1590 \text{ m}^2$)
 - $h = 110 \text{ mm}$
 - o dopuszczalnych przemieszczeniach $X_{\text{dop}} = 41 \text{ mm}$ i $\Phi_{\text{dop}} = 0,015 \text{ rad}$

$$\sigma_{\min} = 0.488 / 0.159 = 3,07 \text{ MPa} < 5.0 \text{ MPa} - \text{łożysko wymaga zakotwienia}$$

C. OBLICZENIE FILARA PO PRZEBUDOWIE

1. SCHEMAT OBLICZENIOWY FILARA W KIER. PODŁUŻNYM DO JEGO OSI



$$A_r = 0.50 * 1.20 + 0.80 * 0.50 + 2 * 0.5 * 0.5 * 0.2 = 0.60 + 0.40 + 0.10 = 1.10 \text{ m}^2$$

$$S_{x0} = 0.60 * 0.75 + 0.40 * 0.25 + 0.10 * 2/3 * 0.50 = 0.5833 \text{ m}^3$$

$$y_0 = 0.53 \text{ m}$$

$$J_r = 1.20 * 0.50^3 / 12 + 0.60 (0.75 - 0.53)^2 + 0.80 * 0.50^3 / 12 + 0.40 (0.25 - 0.53)^2 + 2 * 0.20 * 0.50^3 / 36 + 0.10 (0.333 - 0.53)^2 = 0.08649 \text{ m}^4$$

$$Er * Jr = 34600 * 0.08649 = 2993 \text{ MPa}$$

$$E_s = 34600 \text{ MPa}$$

$$A_s = 0.75 * 1.30 = 0.975 \text{ m}^2$$

$$J_s = 0.75 * 1.30^3 / 12 = 0.1373 \text{ m}^4$$

$$E_s * J_s = 34600 * 0.1373 = 4751 \text{ MPa}$$

$$H_s = 2.80 + y_0 = 2.82 + 0.53 = 3.35 \text{ m}$$

2. OBCIAŻENIE ZEWNĘTRZNE FILARA - PIONOWE I POZIOME

- a) obciążenie pionowe obliczeniowe (od c. własnego przęsła i obc. użytkowego) wg. kryterium max. reakcji łożysk

$$R1 = 900 \text{ kN}$$

$$R4 = 2078 \text{ kN}$$

$$R5 = 1194 \text{ kN}$$

$$R6 = 1453 \text{ kN}$$

$$R8 = 1676 \text{ kN}$$

$$R9 = 1313 \text{ kN}$$

$$R12 = 758 \text{ kN}$$

$$\text{razem } \Sigma R = 9372 \text{ kN}$$

moment tego obciążenia względem osi podpory:

$$M_0 = (900 - 758) * 7,4475 + (2078 - 1313) * 4,965 + (1194 - 1676) * 2,4825 = 3659.2 \text{ kNm}$$

- b) obciążenie pionowe obliczeniowe ciężarem własnym filara

obc. ryglą:

$\gamma = 1.20$ - współczynnik obciążenia

$$g_r = (0.50 * 1.20 + (1.20 + 0.80) / 2 * 0.50) * 26.00 * 1.20 = 34.5 \text{ kN / m}$$

$$\Sigma g_r = 34.5 * 16.55 = 568.0 \text{ kN}$$

ciężar własny słupów: $A_s = 0.75 * 1.30 = 0.975 \text{ m}^2$

$$G_s = 0.975 * 2.82 * 26.00 * 1.20 = 85.8 \text{ kN / 1 słup}$$

$$\Sigma G_s = 0.975 * 2.82 * 3 * 26.00 * 1.20 = 257.4 \text{ kN}$$

ziemia na odsadzce fundamentu + fundament:

$$G_f = 1,95 * 15,50 * 1,50 * 18,50 * 1,20 + 1,95 * 15,50 * 1,00 * 26,00 * 1,20 = 1006,5 + 943,0 = 1949,5 \text{ kN}$$

$$\text{razem } \Sigma G = 568,0 + 257,4 + 1949,5 = 2774,9 \text{ kN}$$

- c) hamowanie taboru na prześle (obc. klasy B)

$$LC = 2 * 16,29 + 16,58 + 2 * 0,25 = 49,7 \text{ m}$$

$$bj = 10,50 \text{ m} - \text{szer. jezdni}$$

$$H = 0,10 * 3,00 * 10,50 * 49,70 + 0,20 * 600 = 156,6 + 120,0 = 277 \text{ kN} - \text{na całym prześle}$$

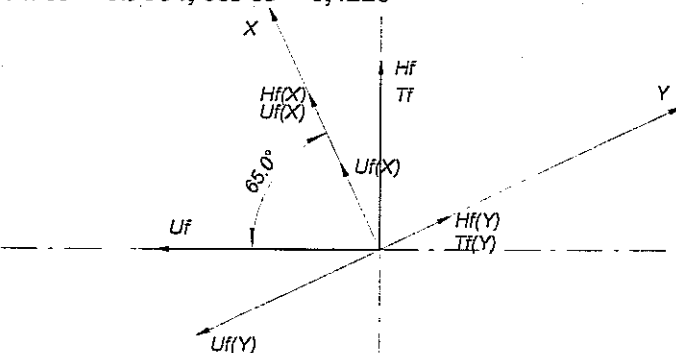
$$\gamma = 1,30 - \text{współczynnik obciążenia}$$

zakłada się że hamowanie od obc. q rozkłada się równomiernie na wszystkie podpory, natomiast od obc. K przypada w całości na 1 filar, zatem:

$$H_f = 156,6 / 4 * 1,30 + 120 * 1,30 = 50,9 + 156,0 = 206,9 \text{ kN}$$

składowe siły hamowania dla kata skosu podpory $\alpha = 65^0$:

$$\sin 65 = 0,9064, \cos 65 = 0,4226$$



$$H_f(X) = H_f * \sin \alpha = 206,9 * 0,9064 = 187,5 \text{ kN}$$

$$H_f(Y) = H_f * \cos \alpha = 206,9 * 0,4226 = 87,4 \text{ kN}$$

- d) uderzenia boczne taboru na prześle (obc. klasy B)

$$U = 0,05 * 600 = 30,0 \text{ kN} (\text{wyłącznie od obc. K})$$

$$\gamma = 1,30 - \text{współczynnik obciążenia}$$

$$U_f = 30,0 * 1,30 = 39,0 \text{ kN}$$

składowe siły od uderzeń bocznych dla kata skosu podpory $\alpha = 65^0$:

$$U_f(X) = H_f * \cos \alpha = 39,0 * 0,4226 = 16,5 \text{ kN}$$

$$U_f(Y) = H_f * \sin \alpha = 39,0 * 0,9064 = 35,3 \text{ kN}$$

razem poziome obciążenia obliczeniowe podpory od hamowania i uderzeń bocznych:

przypadek 1 – przy zgodnym kierunku składowych X:

$$H_f(X) = 187,5 - 16,5 = 171,0 \text{ kN}$$

$$H_f(Y) = 87,4 + 35,3 = 122,7 \text{ kN}$$

przypadek 2 – przy zgodnym kierunku składowych Y:

$$H_f(X) = 187,5 + 16,5 = 204,0 \text{ kN}$$

$$H_f(Y) = 87,4 - 35,3 = 52,1 \text{ kN}$$

$h_1 = 1,00 \text{ m} - \text{ramię sił poziomych względem spodu oczepu (głowice słupów filara)}$

$h_2 = 1,00 + 2,82 = 3,82 \text{ m} - \text{ramię sił poziomych względem wierzchu fundamentu (podstawa słupów filara)}$

$h_3 = 1,00 + 2,82 + 1,00 = 4,82 \text{ m} - \text{ramię sił poziomych względem spodu fundamentu}$

- e) opory łożysk elastomerowych

$$X_7 = \Delta L = \alpha_t * \Delta t_{\max} * \Delta L = 0,00001 * 25 * 829 = 0,21 \text{ cm} = 0,0021$$

$$T = \Delta L * G * A / h$$

$$G = 1500 \text{ kN/m}^2$$

$$A = 7 * 3,14 * 0,45^2 / 4 = 1,1133 \text{ m}^2 - \text{sumaryczna powierzchnia łożysk}$$

$$h = 0,11 \text{ m}$$

$$\gamma = 1,50 - \text{współczynnik obciążenia}$$

$$T_f = 0,0021 * 1500 * 1,1133 / 0,11 * 1,50 = 47,8 \text{ kN}$$

składowe siły oporu łożysk dla kąta skosu podpory $\alpha = 65^\circ$:

$$T_f(X) = H_f * \sin a = 47,8 * 0,9064 = 43,3 \text{ kN}$$

$$T_f(Y) = H_f * \cos a = 47,8 * 0,4226 = 20,2 \text{ kN}$$

Ogółem poziome obciążenia obliczeniowe podpory:

przypadek 1 – przy zgodnym kierunku składowych X:

$$H_f(X) = 187,5 - 16,5 + 43,3 = 214,3 \text{ kN} - \text{w poprzek podpory}$$

$$H_f(Y) = 87,4 + 35,3 + 20,2 = 142,9 \text{ kN} - \text{wzdłuż podpory}$$

przypadek 2 – przy zgodnym kierunku składowych Y:

$$H_f(X) = 187,5 + 16,5 + 43,3 = 247,3 \text{ kN} - \text{w poprzek podpory}$$

$$H_f(Y) = 87,4 - 35,3 + 20,2 = 72,3 \text{ kN} - \text{wzdłuż podpory}$$

Momenty w poprzek podpory od sił poziomych:

przypadek 1 – przy zgodnym kierunku składowych X:

$$M1 = 214,3 * 1,0 / 3 = 71,4 \text{ kNm} - \text{dla 1 słupa w głowicy}$$

$$M2 = 214,3 * 3,82 / 3 = 278,9 \text{ kNm} - \text{dla 1 słupa u podstawy}$$

$$\Sigma M3 = 214,3 * 4,82 = 1032,9 \text{ kNm} - \text{dla całej podpory na spodzie fundamentu}$$

przypadek 2 – przy zgodnym kierunku składowych Y:

$$M1 = 247,3 * 1,0 / 3 = 82,4 \text{ kNm} - \text{dla 1 słupa w głowicy}$$

$$M2 = 247,3 * 3,82 / 3 = 314,9 \text{ kNm} - \text{dla 1 słupa u podstawy}$$

$$\Sigma M3 = 247,3 * 4,82 = 1192,0 \text{ kNm} - \text{dla całej podpory na spodzie fundamentu}$$

3. ANALIZA STATYCZNA FILARA

Analizę statyczną w kierunku podłużnym do osi filara wykonano w technice komputerowej programem RAMA – wyniki w załączniu.

Sumaryczne wartości sił wewnętrznych w poszczególnych elementach podpory obliczono w arkuszu kalkulacyjnym Excell – wyniki poniżej.

ZESTAWIENIA EKSTREMALNYCH SIŁ WEWNĘTRZNYCH W RYGLU GÓRNYM PODPORY POŚREDNIEJ

a) obc. obliczeniowe

	Obciążenie pionowe stałe i ruchome		Obc. poziome przyp. 1 (+/-)		Obc. poziome przyp. 2 (+/-)		Razem - obc. stałe + ruchome - przyp. 1		Razem - obc. stałe + ruchome - przyp. 2	
	M	T	M	T	M	T	M	T	M	T
węzeł nr 2 - str. lewa	-1636.8	-957.1	0.0	0.0	0.0	0.0	-1536.8	-957.1	-1536.8	-957.1
węzeł nr 2 - str. prawa	-1900.9	2478.4	45.8	-15.1	23.2	-7.7	-1946.7	2493.5	-1924.1	2486.0
węzeł nr 4	137.0	371.9	33.3	-15.1	16.9	-7.7	170.3	387.0	153.8	379.5
węzeł nr 5	953.9	-907.8	-4.3	-15.1	-2.2	-7.7	958.2	-923.0	956.1	-915.5
węzeł nr 6 - strona lewa	-1405.6	-993.4	-41.8	-15.1	-21.2	-7.7	-1447.4	-1008.6	-1426.7	-1001.1
węzeł nr 6 - strona prawa	-1535.8	1145.9	41.8	15.1	21.2	7.7	-1577.7	1161.0	-1557.0	1153.6
węzeł nr 8	1294.0	-542.5	4.3	-15.1	2.2	-7.7	1298.3	-557.7	1296.2	-550.2
węzeł nr 9	-158.8	-1941.2	-33.3	-15.1	-16.9	-7.7	-192.1	-1956.3	-175.6	-1948.8
węzeł nr 10 - strona lewa	-1775.9	-1969.7	-45.8	-15.1	-23.2	-7.7	-1821.7	-1984.8	-1799.1	-1977.3
węzeł nr 10 - strona prawa	-1301.7	815.1	0.0	0.0	0.0	0.0	-1301.7	815.1	-1301.7	815.1

ZESTAWIENIA EKSTREMALNYCH SIŁ W SŁUPACH FILARA

a) obc. obliczeniowe

	Obciążenie pionowe stałe i ruchome		Obc. poziome - przyp. 1 (+/-)		Obc. poziome - przyp. 2 (+/-)		Razem - obc. stałe + ruchome - przyp. 1		Razem - obc. stałe + ruchome - przyp. 2		
	V	M(x)	M(y)	V	M(x)	M(y)	V	M(x)	M(y)	V	
węzeł nr 2	3435.5	364.1	0.0	-15.1	-45.8	71.4	-7.7	-23.2	82.4	3450.6	410.0
węzeł nr 3	3521.3	-139.4	0.0	-15.1	92.2	278.9	-7.7	46.6	314.9	3536.4	-231.6
węzeł nr 6	3592.34	130.3	0.0	0.0	-83.7	71.4	0.0	-42.3	82.4	3592.3	214.0
węzeł nr 7	3678.14	-51.5	0.0	0.0	119.0	278.9	0.0	60.2	314.9	3678.1	-170.6
węzeł nr 10	2784.8	-474.2	0.0	15.1	-45.8	71.4	7.7	-23.2	82.4	2799.9	-520.0
węzeł nr 11	2870.6	211.2	0.0	15.1	92.2	278.9	7.7	46.6	314.9	2885.7	303.3

5. WYMIAROWANIE ELEMENTÓW FILARA

5.1. Rygiel górny

Wymiary przekroju obliczeniowego:

$b = 1.20$ m u góry przekroju (dla momentów dodatnich)

$b = 0.75$ m u dołu przekroju (dla momentów ujemnych)

$a_g = 0.06$ m – otulina zbr. górnego

$a_d = 0.06$ m – otulina zbr. dolnego

$R_a = 295$ MPa

$R_{b1} = 17,3$ MPa – beton B30

$M_{\max} = 1298$ kNm – węzeł nr 8 rygla

$M_{\min} = -1947$ kNm – węzeł nr 2 rygla

$Q_{1-2 \max} = 957.1$ kN – pręt nr 1

$Q_{2-4 \max} = 2494$ kN – pręt nr 2 – nie jest miarodajna – strefa słupa podpory

$Q_{6-8 \max} = 1161$ kN – pręt nr 5

wyniki obliczeń wg wydruków komputerowych dla M_{\min} (załącznik):

- wysokość strefy ściskanej $x = 0.34$ m
- wymagany przekrój zbrojenia górnego: $A_g = 79.38 \text{ cm}^2$ – przyjęto $14 \phi 28 = 86.21 \text{ cm}^2$ (18G2-b)
- oblicz. naprężenia ściskające w betonie $\sigma_b = 16,74$ MPa $< R_{b1} = 17.3$ MPa – B30

wyniki obliczeń wg wydruków komputerowych dla M_{\max} (załącznik):

- wysokość strefy ściskanej $x = 0.23$ m
- wymagany przekrój zbrojenia górnego: $A_g = 50.83 \text{ cm}^2$ – przyjęto $10 \phi 28 = 61.58 \text{ cm}^2$ (18G2-b)
- oblicz. naprężenia ściskające w betonie $\sigma_b = 9.61$ MPa $< R_{b1} = 17.3$ MPa – B30

Ścinanie:

$b = 0.75$ m – grubość min. rygla

$\tau_R = 0.28$ MPa – B30

$R_{aw} = 200$ MPa – St3SX

$R_a = 295$ MPa - 18G2-b

$A_a = 14 \Phi 28 + 10 \Phi 28 = 86,21 + 61,58 = 147.79 \text{ cm}^2$

$A_b = 1,10$ m – przekrój poprzeczny rygla

$\mu = 147.79 / 11000 = 0.0134$

$1 + 50 * \mu = 1 + 50 * 0.0134 = 1.671$

$\tau_{b \max} = \tau_R * (1 + 50\mu) = 0,28 * 1,671 = 0.468$ MPa

- nośność betonu B30 rygla na ścinanie:

$$z = h_l - x / 3 = 1.00 - 0.06 - 0.34 / 3 = 0.827 \text{ m}$$

$$\Delta V_b = \tau_R * (1 + 50\mu) * z * b = 0.468 * 0.827 * 0.75 = \underline{0.290 \text{ MN}}$$

- nośność strzemion $4 \phi 12$ co 20 cm ($A_{aw} = 4.524 \text{ cm}^2$) na ścinanie:

$$\Delta V_w = A_{aw} / s * z * R_{aw} = 0.0004524 / 0.20 * 0.827 * 200 = \underline{0.374 \text{ MN}}$$

- na pręty odgięte $\Phi 28$ przypada pozostała część siły poprzecznej:

$$\Delta V_a^{1-2} = Q_{\max} - \Delta V_b - \Delta V_w = 0.9571 - 0.290 - 0.374 = \underline{0.293 \text{ MN}}$$

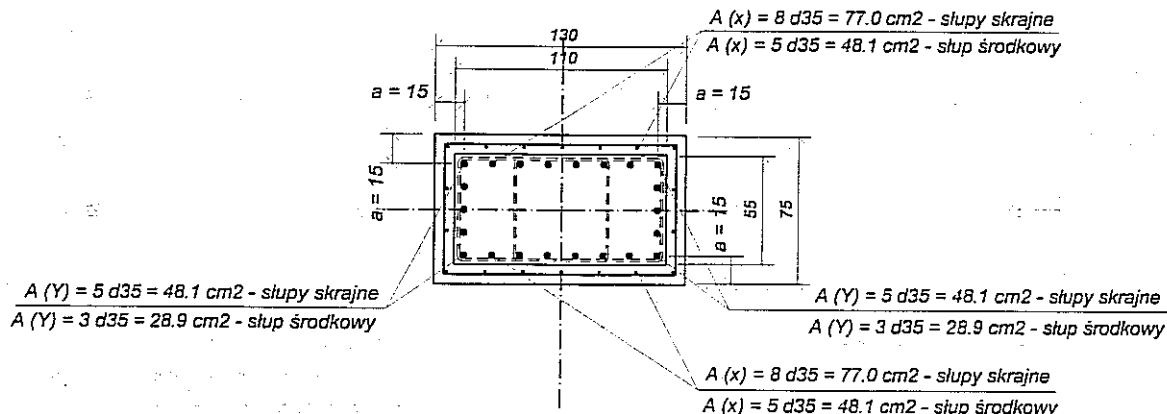
$$\Delta V_a^{6-8} = Q_{\max} - \Delta V_b - \Delta V_w = 1.161 - 0.290 - 0.374 = \underline{0.497 \text{ MN}}$$

$$A_a^{1-2} = \Delta V_a / R_a / \sin a = 0,293 / 295 / \sin 45 = 14.05 \text{ cm}^2 = \text{tj. min. } 3 \Phi 28 = (18 \text{ G2-b})$$

$$A_a^{6-8} = \Delta V_a / R_a / \sin a = 0,497 / 295 / \sin 45 = 23,83 \text{ cm}^2 = \text{tj. min. } 4 \Phi 28 = (18 \text{ G2-b})$$

5.2. Słupy filara

przekrój obliczeniowy słupa – zbrojenie istn. wg dokumentacji archiwalnej:



sprawdzenie naprężeń w słupach wykonano programem MIMOS -P – wydruki obliczeń w załączniku.

- przyjęta charakterystyka materiałów:

$R_a = 200 \text{ MPa}$ – St3S-b – zbr. istn.

$R_{bl} = 17,3 \text{ MPa}$ – beton B30 – w pancerzu wzmacniającym

$R_{bl0,05} = 1,15 \text{ MPa}$ – beton B30

$R_{bl} = 11,5 \text{ MPa}$ – beton B20 – w przekroju istn. słupa

5.3. Posadowienie filara

5.3.1. Obciążenia w poziomie spodu fundamentu filara

- a) obciążenie pionowe obliczeniowe (od c. własnego prześla i obc. użytkowego) wg. kryterium max. reakcji łożysk:

$$\text{razem } \Sigma R = 9372 \text{ kN}$$

moment tego obciążenia względem osi podpory:

$$M(Y) = M_0 = (900 - 758) * 7,4475 + (2078 - 1313) * 4,965 + (1194 - 1676) * 2,4825 = 3659,2 \text{ kNm}$$

- b) obciążenie pionowe obliczeniowe ciężarem własnym filara

$$G = 568,0 + 257,4 + 1949,5 = 2774,9 \text{ kN}$$

Ogółem obc. pionowe na poziomie spodu fundamentu:

$$\Sigma V = 9372 + 2774,9 = 12146,9 \text{ kN}$$

$$M_0 = 3659,2 \text{ kNm}$$

- c) hamowanie taboru na prześle (obc. klasy B)

$$H = 0,10 * 3,00 * 10,50 * 49,70 + 0,20 * 600 = 156,6 + 120,0 = 277 \text{ kN} \text{ – na całym prześle}$$

$\gamma = 1,30$ - współczynnik obciążenia

$$H_f = 156,6 / 4 * 1,30 + 120 * 1,30 = 50,9 + 156,0 = 206,9 \text{ kN}$$

$$H_f(X) = H_f * \sin \alpha = 206,9 * 0,9064 = 187,5 \text{ kN}$$

$$H_f(Y) = H_f * \cos \alpha = 206,9 * 0,4226 = 87,4 \text{ kN}$$

- d) uderzenia boczne taboru na prześle (obc. klasy B)

$$U = 0,05 * 600 = 30,0 \text{ kN} \text{ (wyłącznie od obc. K)}$$

$\gamma = 1,30$ - współczynnik obciążenia

$$U_f = 30,0 * 1,30 = 39,0 \text{ kN}$$

składowe siły hamowania dla kąta skosu podpory $\alpha = 65^\circ$:

Przebudowa mostu przez rz. Bystrzyce (od strony górnej wody) w ciągu jezdni południowej ul. Krochmalnej w Lublinie

$$U_f(X) = hF * \cos a = 39,0 * 0,4226 = 16,5 \text{ kN}$$

$$U_f(Y) = Hf * \sin a = 39,0 * 0,9064 = 35,3 \text{ kN}$$

razem poziome obciążenia obliczeniowe podpory od hamowania i uderzeń bocznych:
przypadek 1 – przy zgodnym kierunku składowych X:

$$H_f(X) = 187,5 - 16,5 = 171,0 \text{ kN}$$

$$H_f(Y) = 87,4 + 35,3 = 122,7 \text{ kN}$$

przypadek 2 – przy zgodnym kierunku składowych Y:

$$H_f(X) = 187,5 + 16,5 = 204,0 \text{ kN}$$

$$H_f(Y) = 87,4 - 35,3 = 52,1 \text{ kN}$$

$h_3 = 1,00 + 2,82 + 1,00 = 4,82 \text{ m}$ - ramię sił poziomych względem spodu fundamentu

e) opory łożysk elastomerowych

$$X7 = \Delta L = \alpha_t * \Delta t_{\max} * \Delta L = 0,00001 * 25 * 829 = 0,21 \text{ cm} = 0,0021$$

$$T = \Delta L * G * A / h$$

$$G = 1500 \text{ kN / m}^2$$

$$A = 7 * 3,14 * 0,45^2 / 4 = 1,1133 \text{ m}^2 \text{ – sumaryczna powierzchnia łożysk}$$

$$h = 0,11 \text{ m}$$

$$\gamma = 1,50 \text{ - współczynnik obciążenia}$$

$$T_f = 0,0021 * 1500 * 1,1133 / 0,11 * 1,50 = 47,8 \text{ kN}$$

składowe siły oporu łożysk dla kąta skosu podpory $\alpha = 65^\circ$:

$$T_f(X) = H_f * \sin a = 47,8 * 0,9064 = 43,3 \text{ kN}$$

$$T_f(Y) = H_f * \cos a = 47,8 * 0,4226 = 20,2 \text{ kN}$$

Ogółem poziome obciążenia obliczeniowe podpory:

przypadek 1 – przy zgodnym kierunku składowych Y:

$$H_f(X) = 187,5 - 16,5 + 43,3 = 214,3 \text{ kN} \text{ – w poprzek podpory}$$

$$H_f(Y) = 87,4 + 35,3 + 20,2 = 142,9 \text{ kN} \text{ – wzdłuż podpory}$$

przypadek 2 – przy zgodnym kierunku składowych X:

$$H_f(X) = 187,5 + 16,5 + 43,3 = 247,3 \text{ kN} \text{ – w poprzek podpory}$$

$$H_f(Y) = 87,4 - 35,3 + 20,2 = 72,3 \text{ kN} \text{ – wzdłuż podpory}$$

Zbiorcze obc. filara sprowadzone do poziomu spodu fundamentu:

przypadek 1 – przy zgodnym kierunku składowych X:

$$\Sigma V = 9372 + 568,0 + 257,4 + 1949,5 = 12146,9 \text{ kN}$$

$$H_f(X) = 187,5 - 16,5 + 43,3 = 214,3 \text{ kN} \text{ – w poprzek podpory}$$

$$\Sigma M(X) = 214,3 * 4,82 = 1032,9 \text{ kNm} \text{ – w poprzek podpory}$$

$$H_f(Y) = 87,4 + 35,3 + 20,2 = 142,9 \text{ kN} \text{ – wzdłuż podpory}$$

$$\Sigma M(Y) = 3659,2 + 142,9 * 4,82 = 4348,0 \text{ kNm} \text{ – wzdłuż podpory}$$

przypadek 2 – przy zgodnym kierunku składowych Y:

$$\Sigma V = 9372 + 568,0 + 257,4 + 1949,5 = 12146,9 \text{ kN}$$

$$H_f(X) = 187,5 + 16,5 + 43,3 = 247,3 \text{ kN} \text{ – w poprzek podpory}$$

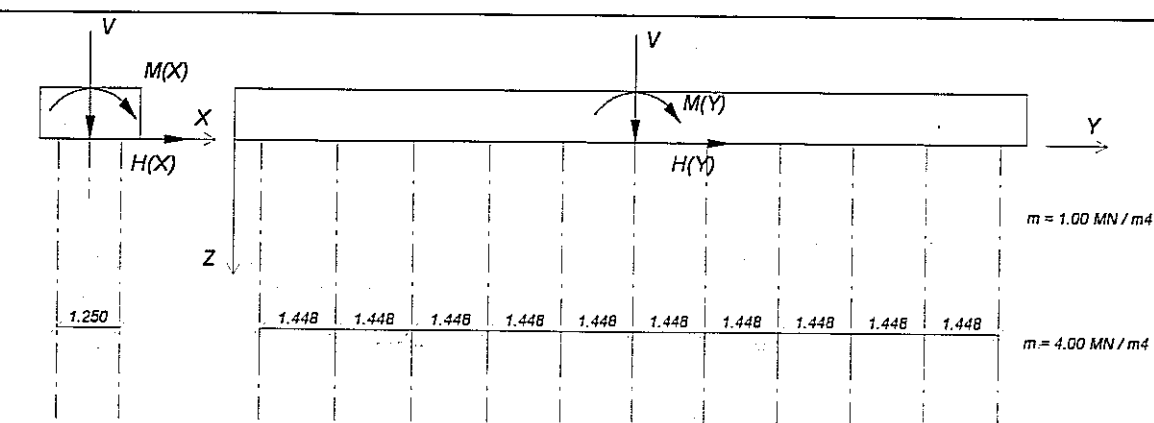
$$\Sigma M(X) = 247,3 * 4,82 = 1192,0 \text{ kNm} \text{ – w poprzek podpory}$$

$$H_f(Y) = 87,4 - 35,3 + 20,2 = 72,3 \text{ kN} \text{ – wzdłuż podpory}$$

$$\Sigma M(Y) = 3659,2 + 72,3 * 4,82 = 4007,7 \text{ kNm} \text{ – wzdłuż podpory}$$

5.3.2. Analiza statyczna pali fundamentowych

schemat obliczeniowy rusztu palowego:



Analizę statyczną pali fundamentowych przyczółka wykonano w technice komputerowej programem PAL – wyniki obliczeń w załączniku.

Wymiarowanie pali fundamentowych w poszczególnych przypadkach obliczeniowych wykonano programem MIMOS-P – wyniki obliczeń w załączniku.

- przyjęta charakterystyka materiałów w palu:

$$R_a = 200 \text{ MPa} - \text{St3S-b -zbr. istn. (8 } \phi 20)$$

$$R_{b1} = 11,5 \text{ MPa} - \text{beton B20 - w przekroju istn. pala fund.}$$

5.3.3. Sprawdzenie udźwigu pala fundamentowego

Udźwig dopuszczalny pala $30 \times 30 \text{ cm}$, $L = 6.50 \text{ m}$ wg dokumentacji archiwnej: $N_{\text{dop}} = 35.8 \text{ ton}$
Max. obc. obliczeniowe wypadkowe w głowicy pala w stanie po modernizacji: $V_{\text{max}} = 686.5 \text{ kN}$

- uogólniony wsp. obciążień:

$$\gamma = 1.30$$

- wsp. zwiększenia nośności pala ze względu na zastosowanie przekroju $35 \times 35 \text{ cm}$:

$$\beta = 0.35 * 0.35 / (0.30 * 0.30) = 1.361$$

- wsp. zwiększenia nośności pala ze względu na przeciążenie pala skrajnego:

$$\beta = 1.10$$

Udźwig dopuszczalny pala sprowadzony do poziomu obliczeniowego:

$$V_{\text{spr}} = 358 * 1.30 * 1.361 * 1.10 = 697 \text{ kN} > V_{\text{max}} = 686.5 \text{ kN}$$

Nośność pala wg aktualnie obowiązującej PN-83/B-02482:

parametry geotechniczne dla P_s (piasek średni) lub P_o (pospółka) $I_D = 0.67$:

$$q = 3600 - 5100 \text{ MPa}, t = 74 - 110 \text{ MPa}$$

$$\gamma_m = 0.90$$

$$A_p = 0.35 * 0.35 = 0.1225 \text{ m}^2$$

$$S_p = 1.10, S_s = 1.10$$

$$\min q^r = 0.90 * 3600 = 3240 \text{ MPa}$$

$$\min t^r = 0.90 * 74 = 66.6 \text{ MPa}$$

$$q^r_{(i)} = q^r \sqrt{\frac{D_0}{D_i}} = 3240 \sqrt{\frac{0.40}{0.35}} = 3464 \text{ MPa}$$

zakłada się wprowadzenie pala na gł. ok. 4.00 m w strefę nośną, przy czym stopa pala znajduje się na gł. $6.50 + 1.0 \text{ m} = 7.50 \text{ m}$ poniżej terenu:

$$q^r_{(i) h=7.50} = 7.50 / 10.0 * q^r_{(i)} = 0.75 * 3464 = 2598 \text{ MPa}$$

nośność podstawy pala:

$$N_p = 0.1225 * 2598 * 1.10 = 350 \text{ kN}$$

nośność pobocznicy:

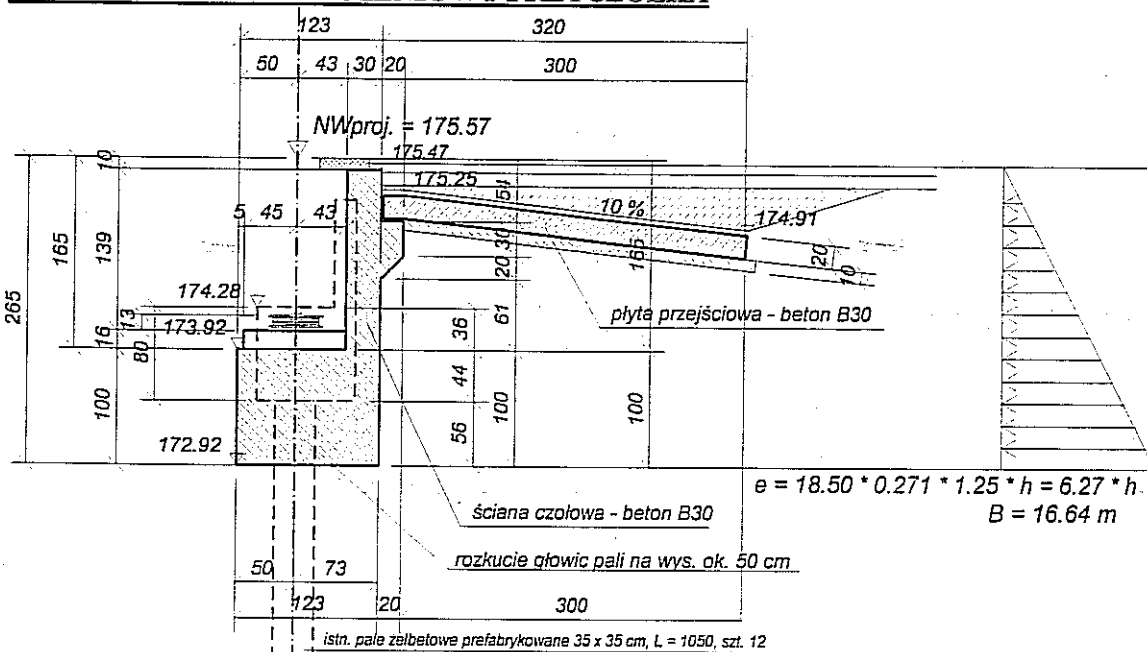
$$N_s = 1.1 * 4 * 0.35 * 4.00 * 66.6 = 410 \text{ kN}$$

$$m = 0.90$$

$$\text{razem udźwig pala: } \Sigma N = m * (N_p + N_s) = 0.90 (350 + 410) = 684 \text{ kN} = V_{\text{max}} = 687 \text{ kN}$$

D. OBLICZENIE PRZYCZOŁKA PO PRZEBUDOWIE

1. SCHEMAT OBLCZENIOWY PRZYCZOŁKA



2. OBCIAŻENIE ZEWNĘTRZNE PRZYCZOŁKA - PIONOWE I POZIOME

- a) obciążenie pionowe obliczeniowe (od c. własnego przęsła i obc. użytkowego) wg. kryterium max. reakcji łożysk (str. 39)

$$\begin{aligned}
 R_1 &= 427 \text{ kN} \\
 R_3 &= 1333 \text{ kN} \\
 R_5 &= 565 \text{ kN} \\
 R_7 &= 829 \text{ kN} \\
 R_9 &= 960 \text{ kN} \\
 R_{11} &= 654 \text{ kN} \\
 R_{12} &= 327 \text{ kN} \\
 \text{razem } \Sigma R &= 5095 \text{ kN}
 \end{aligned}$$

moment tego obciążenia względem osi podpory:

$$M(X) = M_0 = (427 - 327) * 7,4475 + (1333 - 654) * 4,965 + (565 - 960) * 2,4825 = 3135 \text{ kNm}$$

- b) obciążenie pionowe obliczeniowe ciężarem własnym przyczółka

$\gamma = 1.20$ - współczynnik obciążenia

$$\text{oczep: } 1,00 * 1,23 * 17,08 * 26,00 * 1,20 = 655 \text{ kN}$$

$$\text{ciosy podłożyskowe: } 7 * 0.80 * 0.88 * 0.16 * 26,00 * 1,20 = 25 \text{ kN}$$

$$\text{sciana czołowa: } 0.30 * 1.65 * 16,64 * 26,00 * 1,20 = 257 \text{ kN}$$

$$0.20 * 0.40 * 16,64 * 26,00 * 1,20 = 42 \text{ kN}$$

$$\text{skrzydełka i gzymsy: } 2 * 0.5 * 0.30 * 2,30 * 2,16 * 26,00 * 1,20 = 47 \text{ kN}$$

$$2 * 0.70 * 0.60 * 3,00 * 26,00 * 1,20 = 79 \text{ kN}$$

$$\text{bariera + balustrada na gzymach } (1,00 + 0,50) * 3,00 * 1,20 = 5 \text{ kN}$$

reakcja płyty przejściowej i podbudowy na przyczółek:

$$0,50 * (0,20 * 26,00 + 0,50 * 18,50) * 3,20 * 16,00 * 1,20 = 444 \text{ kN}$$

$$\text{razem } \Sigma G = 1554 \text{ kN}$$

moment tego obciążenia względem osi pali:

$$\begin{aligned}
 M(Y) = 257 * (0,73 - 0,15) + 42 * (0,73 + 0,10) + 47 * (0,73 + 1/3 * 2,30) + (79 + 5) * (0,73 + 1,50) \\
 + 444 * (0,73 + 0,10) = - 810 \text{ kNm} - \text{ w kierunku nasypu}
 \end{aligned}$$

Przebudowa mostu przez rz. Bystrzyce (od strony górnej wody) w ciągu jezdni południowej ul. Krochmalnej w Lublinie

- c) hamowanie taboru na prześle (obc. klasy B) – w kierunku przęsła (hamowanie w kierunku nasypu wywołuje odpór gruntu i jest niemiarodajne)

$$LC = 2 * 16.29 + 16.58 + 2 * 0.25 = 49.7 \text{ m}$$

$b_f = 10.50 \text{ m}$ – szer. jezdni

$$H = 0.10 * 3,00 * 10.50 * 49,70 + 0.20 * 600 = 156,6 + 120,0 = 277 \text{ kN} \text{ – na całym prześle}$$

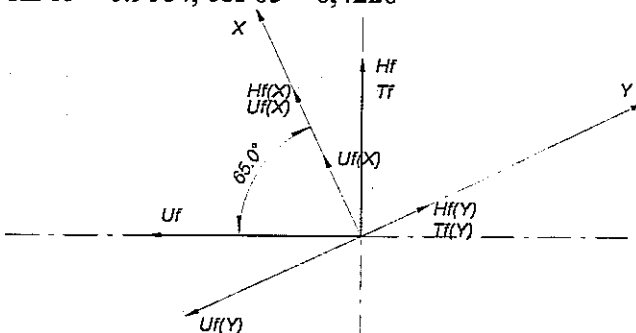
$\gamma = 1.30$ – współczynnik obciążenia

zakłada się że hamowanie od obc. q rozkłada się równomiernie na wszystkie podpory, natomiast od obc. K przypada w całości na 1 przyczółek zatem:

$$H_f = 156,6 / 4 * 1.30 + 120 * 1.30 = 50,9 + 156,0 = 206,9 \text{ kN}$$

składowe siły hamowania dla kąta skosu przyczółka $\alpha = 65^0$:

$$\sin 65 = 0.9064, \cos 65 = 0,4226$$



$$H_f(X) = H_f * \sin \alpha = 206,9 * 0,9064 = 187,5 \text{ kN}$$

$$H_f(Y) = H_f * \cos \alpha = 206,9 * 0,4226 = 87,4 \text{ kN}$$

- d) uderzenia boczne taboru na prześle (obc. klasy B)

$$U = 0.05 * 600 = 30,0 \text{ kN} \text{ (wyłącznie od obc. K)}$$

$\gamma = 1.30$ – współczynnik obciążenia

$$U_f = 30,0 * 1,30 = 39,0 \text{ kN}$$

składowe siły od uderzeń bocznych dla kąta skosu podpory $\alpha = 65^0$:

$$U_f(X) = H_f * \cos \alpha = 39,0 * 0,4226 = 16,5 \text{ kN}$$

$$U_f(Y) = H_f * \sin \alpha = 39,0 * 0,9064 = 35,3 \text{ kN}$$

razem poziome obciążenia obliczeniowe podpory od hamowania i uderzeń bocznych:

przypadek 1 – przy zgodnym kierunku składowych X:

$$H_f(X) = 187,5 - 16,5 = 171,0 \text{ kN}$$

$$H_f(Y) = 87,4 + 35,3 = 122,7 \text{ kN}$$

przypadek 2 – przy zgodnym kierunku składowych Y:

$$H_f(X) = 187,5 + 16,5 = 204,0 \text{ kN}$$

$$H_f(Y) = 87,4 - 35,3 = 52,1 \text{ kN}$$

- e) opory łożysk elastomerowych – siły poziome związane z oporami łożysk posiadają odwrotny zwrot w stosunku do obciążen zewnętrznych tj. hamowania i uderzeń bocznych. Jak wynika bowiem z analiz statycznych w poszczególnych przypadkach obciążen, obciążenia zewnętrzne wywołują większe przemieszczenia podpory niż wynoszą przemieszczenia łożysk od zmian termicznych, wobec czego siły oporu łożysk mają charakter utrzymujący.

$$L_1 = 0,5 * 16,58 + 16,29 = 24,58 \text{ m}$$

$$X_1 = \Delta L = \alpha_t * \Delta t_{\max} * \Delta L = 0,00001 * 25 * 2458 = 0,62 \text{ cm} = 0.0062 \text{ m}$$

$$T = \Delta L * G * A / h$$

$$G = 1500 \text{ kN} / \text{m}^2$$

$$A = 7 * 3,14 * 0,40^2 / 4 = 0,8796 \text{ m}^2 \text{ – sumaryczna powierzchnia łożysk}$$

$$h = 0,072 \text{ m}$$

$\gamma = 1.50$ – współczynnik obciążenia

$$T_f = 0.0062 * 1500 * 0,8796 / 0,072 * 1,50 = 170,4 \text{ kN}$$

Analizę statyczną pali fundamentowych przyculoła wykonano w technice komputerowej programem PAL – wyniki obliczeń w załączniu.

Wymiarowanie pali fundamentowych w poszczególnych przypadkach obliczeniowych wykonano programem MIMOS-P – wyniki obliczeń w załączniu.

- przyjęta charakterystyka materiałów w palu:

$$R_a = 200 \text{ MPa} - \text{St3S-b - zbr. istn. (8 φ 20)}$$

$$R_{bl} = 11,5 \text{ MPa} - \text{beton B20 - w przekroju istn. pala fund.}$$

4. SPRAWDZENIE UDŹWIGU PALA FUNDAMENTOWEGO

Udźwig dopuszczalny pala $30 \times 30 \text{ cm}$, $L = 11.50 \text{ m}$ wg dokumentacji archiwnej: $N_{dop} = 36.20 \text{ ton}$
 Max. obc. obliczeniowe wypadkowe w głowicy pala w stanie po modernizacji: $V_{max} = 762 \text{ kN}$

- uogólniony wsp. obciążen:

$$\gamma = 1.30$$

- wsp. zwiększenia nośności pala ze względu na zastosowanie w rzeczywistości przekroju pala $35 \times 35 \text{ cm}$:

$$\beta = 0.35 * 0.35 / (0.30 * 0.30) = 1.361$$

- wsp. zwiększenia nośności pala ze względu na przeciążenie pala skrajnego:
 $\beta = 1.10$

Udźwig dopuszczalny pala sprowadzony do poziomu obliczeniowego:

$$V_{spr} = 362 * 1.30 * 1.361 * 1.10 = 705 \text{ kN} < V_{max} = 762 \text{ kN}$$

Nośność pala wg aktualnie obowiązującej PN-83/B-02482:

parametry geotechniczne dla Ps (piasek średni) lub Po (pospółka) $I_D = 0.67$:

$$q = 3600 - 5100 \text{ MPa}, t = 74 - 110 \text{ MPa}$$

$$\gamma_m = 0.90$$

$$A_p = 0.35 * 0.35 = 0.1225 \text{ m}^2$$

$$S_p = 1.10, S_s = 1.10$$

$$\min q^r = 0.90 * 3600 = 3240 \text{ MPa}$$

$$\min t^r = 0.90 * 74 = 66.6 \text{ MPa}$$

$$q^r_{(i)} = q^r \sqrt{\frac{D_0}{D_i}} = 3240 \sqrt{\frac{0.40}{0.35}} = 3464 \text{ MPa}$$

zakłada się wprowadzenie pala na gł. ok. 4.00 m w strefę nośną, przy czym stopa pala znajduje się na gł. $11.50 + 1.0 \text{ m} = 12.50 \text{ m}$ poniżej terenu:

$$q^r_{(i) h=12,50} = q^r_{(i)} = 3464 \text{ MPa}$$

nośność podstawy pala:

$$N_p = 0.1225 * 3464 * 1.10 = 467 \text{ kN}$$

nośność pobocznicy:

$$N_s = 1.1 * 4 * 0.35 * 4.00 * 66,6 = 410 \text{ kN}$$

$$m = 0.90$$

$$\text{razem udźwig pala: } \Sigma N = m * (N_p + N_s) = 0.90 (467 + 410) = 789 \text{ kN} = V_{max} = 762 \text{ kN}$$

składowe siły oporu łożysk dla kąta skosu podpory $\alpha = 65^0$:

$$T_f(X) = H_f * \sin \alpha = 170,4 * 0,9064 = 154,5 \text{ kN} - \text{w poprzek podpory}$$

$$T_f(Y) = H_f * \cos \alpha = 140,4 * 0,4226 = 72,0 \text{ kN} - \text{wzdłuż podpory}$$

składowe przemieszczeń poziomych dla kąta skosu podpory $\alpha = 65^0$ ze wsp. obciążenia $\gamma = 1,50$:

$$X = \gamma * X_1 * \cos \alpha = 1,50 * 0,62 * 0,4226 = 0,393 \text{ cm} - \text{wzdłuż podpory}$$

$$Y = \gamma * X_1 * \sin \alpha = 1,50 * 0,62 * 0,9064 = 0,843 \text{ cm} - \text{w poprzek podpory}$$

f) parcie gruntu za przyczółkiem

- uwaga: parcie gruntu za przyczółkiem jest zredukowane przez płytę przejściową i ma przeciwny zwrot w stosunku do momentów obliczonych w b), zatem nie zostaje uwzględnione w dalszych obliczeniach

Zbiorcze obc. przyczółka sprowadzone do poziomu spodu fundamentu:

przypadek 1 – przy zgodnym kierunku składowych X (z uwzgl. oporów łożysk jako obc. odwrotnego znaku):

$$\Sigma V = 5095 + 1554 = 8230 \text{ kN}$$

$$H_f(X) = 171,0 - 154,5 = 16,5 \text{ kN} - \text{w poprzek podpory}$$

$$\Sigma M(X) = -810 + 16,5 * 1,30 = 787 \text{ kNm} - \text{w poprzek podpory}$$

$$H_f(Y) = 122,7 - 72,0 = 50,7 \text{ kN} - \text{wzdłuż podpory}$$

$$\Sigma M(Y) = 3135 + 50,7 * 1,30 = 3201 \text{ kNm} - \text{wzdłuż podpory}$$

przypadek 2 – przy zgodnym kierunku składowych Y (z uwzgl. oporów łożysk jako obc. odwrotnego znaku):

$$\Sigma V = 5095 + 1554 = 8230 \text{ kN}$$

$$H_f(X) = 204,0 - 154,5 = 49,5 \text{ kN} - \text{w poprzek podpory}$$

$$\Sigma M(X) = -810 + 49,5 * 1,30 = 746 \text{ kNm} - \text{w poprzek podpory}$$

$$H_f(Y) = 52,1 - 72,0 = -19,9 \text{ kN} - \text{wzdłuż podpory}$$

$$\Sigma M(Y) = 3135 - 19,9 * 1,30 = 3109 \text{ kNm} - \text{wzdłuż podpory}$$

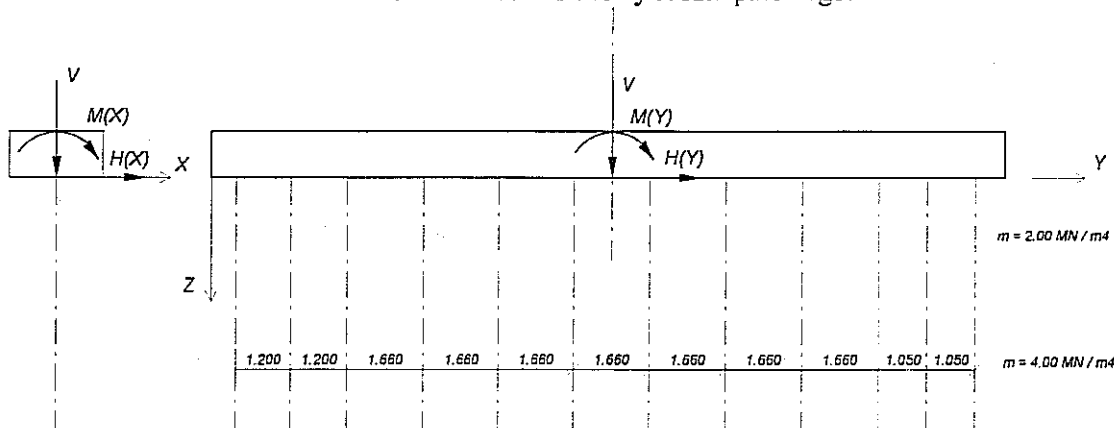
przypadek 3 – wyłącznie opory łożysk wywołane przemieszczeniami przęsła:

$$T_f(X) = H_f * \sin \alpha = 170,4 * 0,9064 = 154,5 \text{ kN} - \text{w poprzek podpory}$$

$$T_f(Y) = H_f * \cos \alpha = 140,4 * 0,4226 = 72,0 \text{ kN} - \text{wzdłuż podpory}$$

3. ANALIZA STATYCZNA PALI FUNDAMENTOWYCH PRZYCZOŁKA

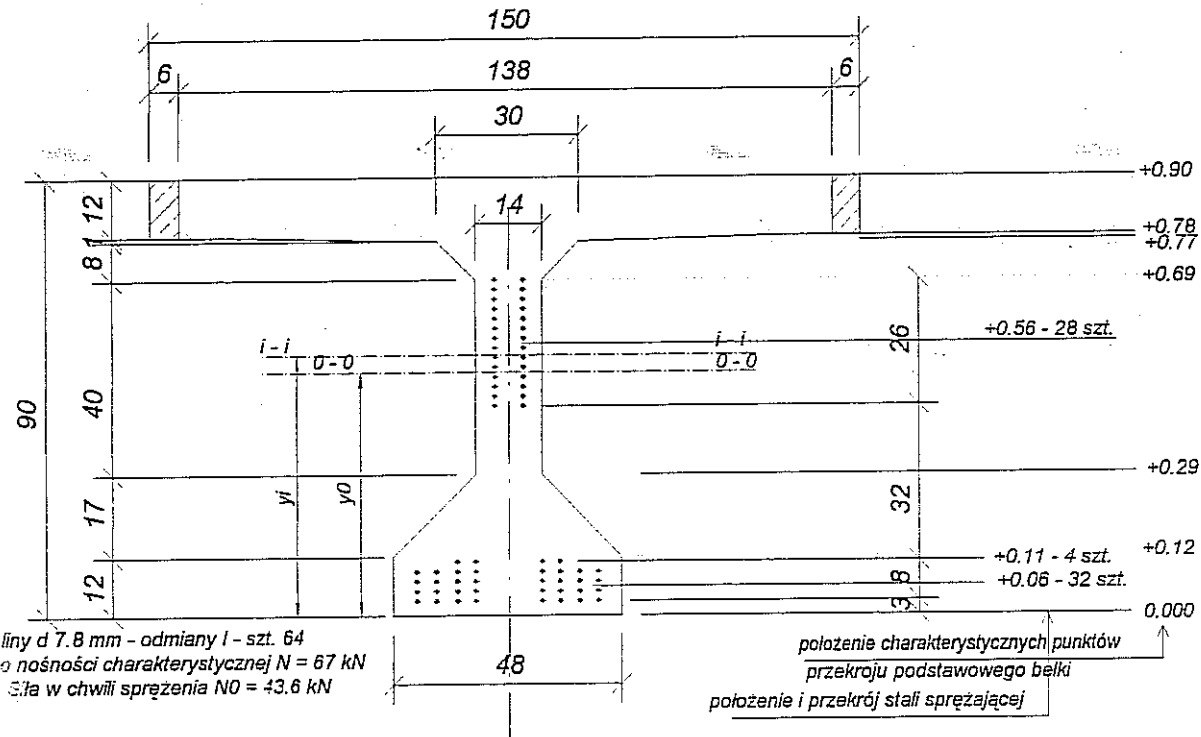
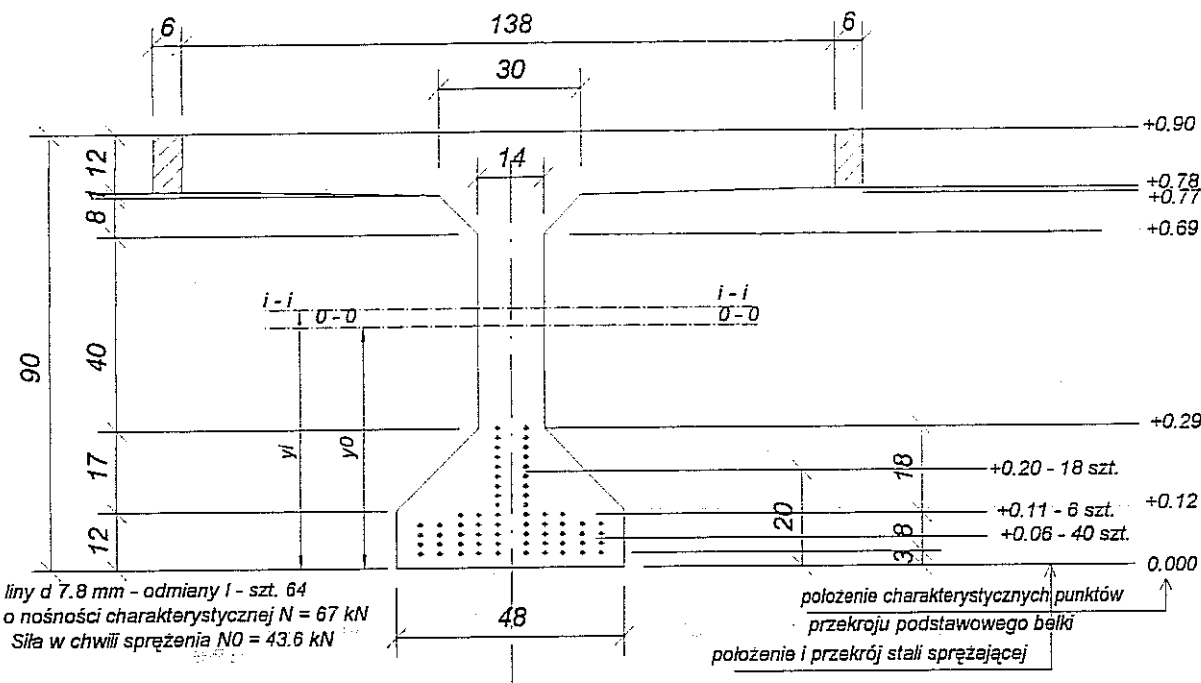
schemat obliczeniowy rusztu palowego:



Przebudowa mostu przez rz. Bystrzyce (od strony
górnej wody) w ciągu jezdni południowej
ul. Krochmalnej w Lublinie

**II. ZAŁĄCZNIKI GRAFICZNE
DO OBLICZEŃ STATYCZNYCH**

**PRZEKROJE OBLCZENIOWE BELKI PŁOŃSK BP16.50
W STANIE PRZED MODERNIZACJĄ**

PRZEKROJ PODPOROWY - $x = 0.00 \text{ m}$ **PRZEKROJ W ŚRODKU ROZPIĘTOŚCI****FAZA 0**

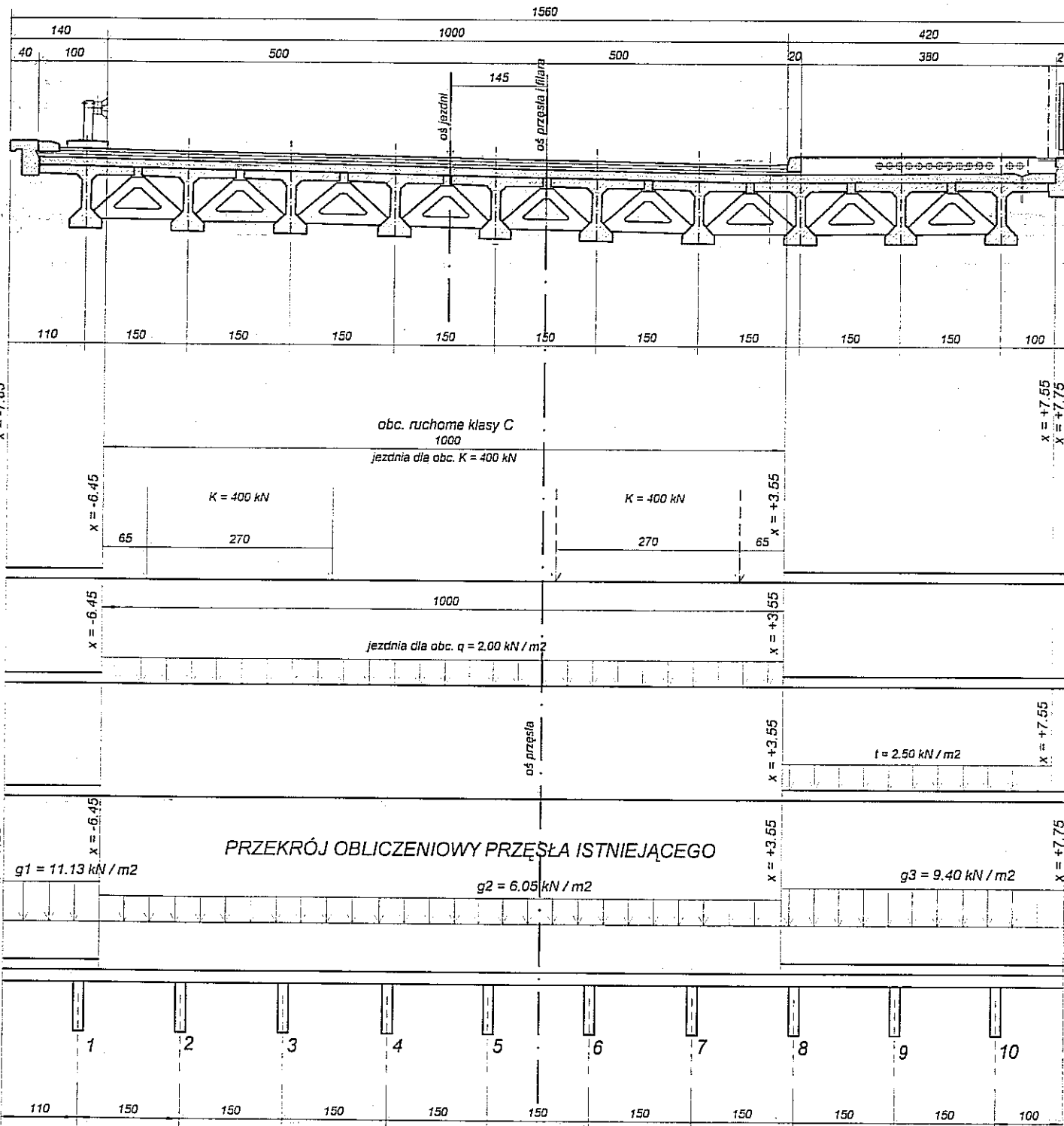
Beton w belce B45 - Eb = 37800 MPa
Beton w belce B35 - Eb = 34600 MPa (podczas sprężenia)
Stal sprząjąca - liny odm. I - Ev = 180000 MPa
Stal zbrojeniowa St3SX - Es = 210000 MPa
odkształcenia skurczowe betonu belki es = 0.00032 - obciążenie po 7 dniach
wsp. pełzania betonu w belce fp = 3.2 - obciążenie po 7 dniach

FAZA I

Beton w zamkach B25 - Eb = 30000 MPa
Stal zbrojeniowa St3SX - Es = 210000 MPa
odkształcenia skurczowe w zamkach es = 0.00032
odkształcenia skurczowe belki es = 0.00016 - w chwili betonowania zamków
różnica skurcza zamków i belki D(es) = 0.00016
wsp. pełzania w zamkach fp = 2.10 - po 90 dniach
wsp. pełzania w belce fp = 2.10 - po 90 dniach

rys. 2

PRZEKRÓJ NORMALNY PRZĘSŁA ISTNIEJĄCEGO



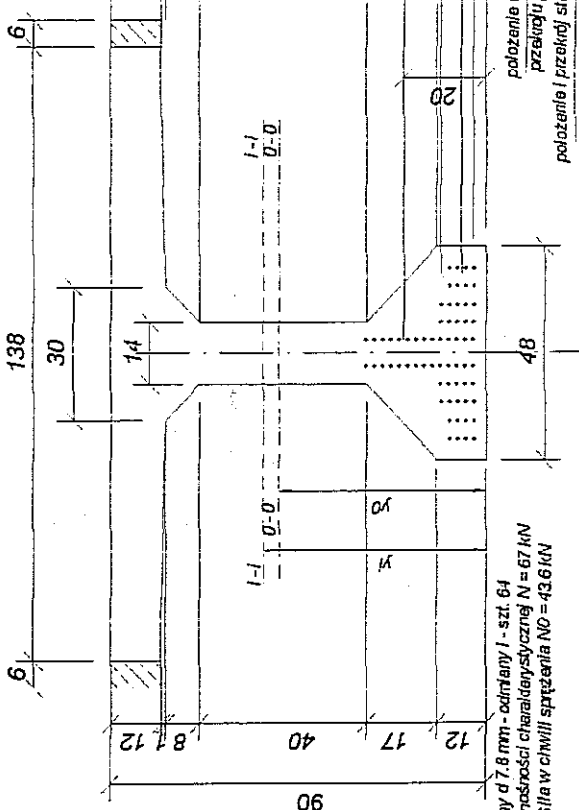
$$\alpha = 0.075$$

$$\nu = 1.14$$

$$L_t = 16.00 \text{ m}$$

$$B = 15.60 \text{ m}$$

Przekrój x = 8,00 m od podparły (środek przeska) - stan istniejący



FAZA 0	Beton w belce B45	$-E_b = 37800 \text{ MPa}$
	Beton w belce B15	$-E_b = 34500 \text{ MPa} \text{ (podczas sprezowania)}$
	Stal sprezająca - liny odm II - $E_v = 160000 \text{ MPa}$	
	Stal zbrojeniowa S355X - $E_s = 210000 \text{ MPa}$	
	odsetek skurczliwośc betonu belki es = 0,00026	- obciążenie po 7 dniach
	wys. położenia belony w belce fm = 3,2	- obciążenie po 7 dniach

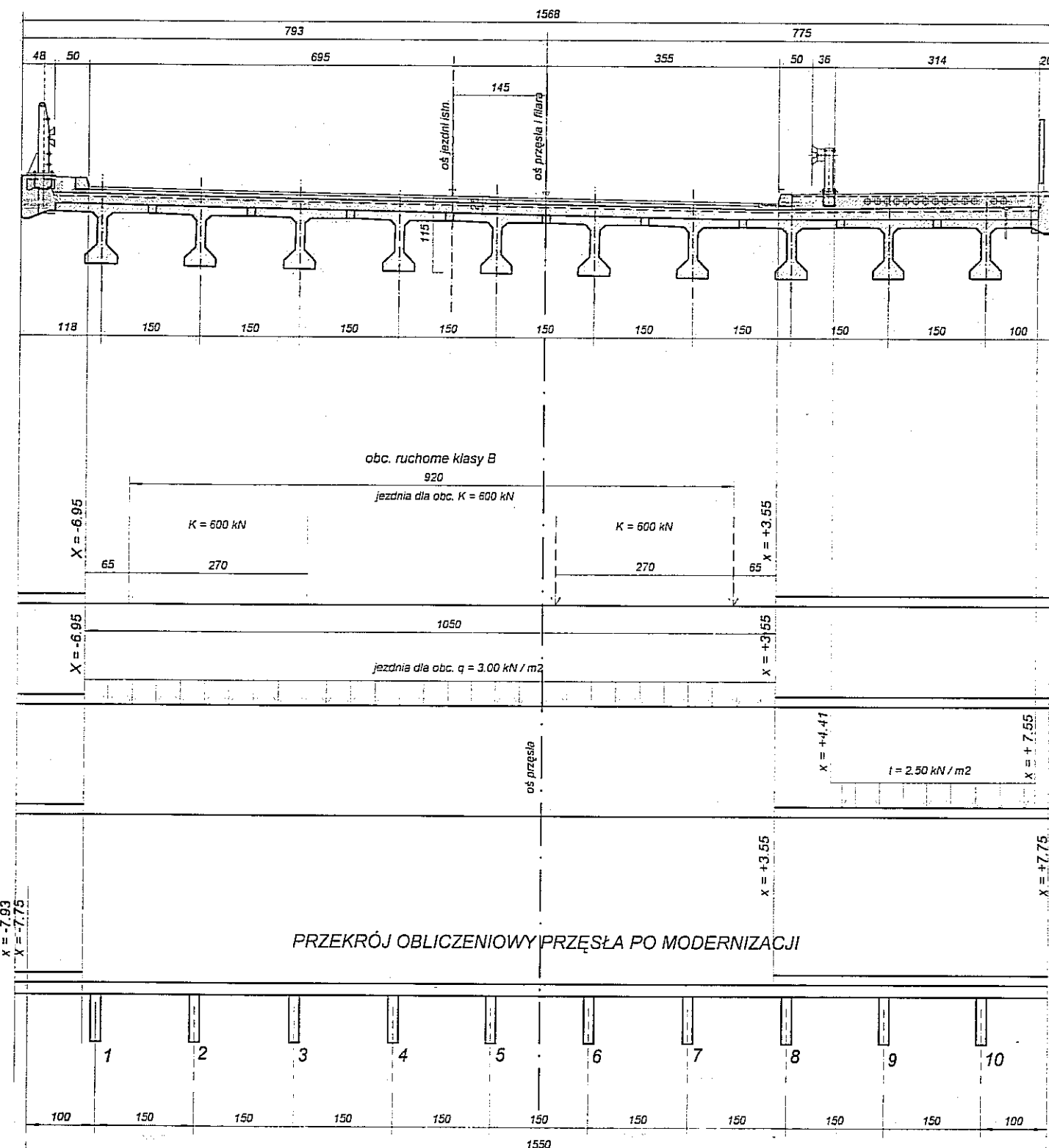
Cultura y teatro en la prehistoria moderna

A. Dla obciążenia krolikoturowych	A (m ²)	y (m)	J (m ⁴)	
balka przedłużająco-wzmacniająca bez płyt	0,371574	0,541	0,039715	
balka z zamkami płytowych	0,383930	0,549	0,040723	
ilość części sprezujących	n =	64		
mierników siły sprezujących	e =	0,4965		
			M max	
A. Dla obciążenia długopisowych	A (m ²)	y (m)	J (m ⁴)	
balka przedłużająco-wzmacniająca bez płyt	0,368923	0,511	0,044677	
balka z zamkami płytowych	0,410351	0,520	0,045689	
ilość części sprezujących	n =	64		
mierników siły sprezujących	e =	0,4966		
			M max	
B. Dla obciążenia skrzynkowym	A (m ²)	y (m)	J (m ⁴)	
balka przedłużająco-wzmacniająca bez płyt	0,368923	0,511	0,044677	
balka z zamkami płytowych	0,410351	0,520	0,045689	
ilość części sprezujących	n =	64		
mierników siły sprezujących	e =	0,4966		
			M max	
C. Dla obciążenia skrzynkowym z ujemnym momentem	A (m ²)	y (m)	J (m ⁴)	
balka przedłużająco-wzmacniająca bez płyt	0,368923	0,511	0,044677	
balka z zamkami płytowych	0,410351	0,520	0,045689	
ilość części sprezujących	n =	64		
mierników siły sprezujących	e =	0,4966		
			M max	
D. Dla obciążenia skrzynkowym z dodatnim momentem	A (m ²)	y (m)	J (m ⁴)	
balka przedłużająco-wzmacniająca bez płyt	0,368923	0,511	0,044677	
balka z zamkami płytowych	0,410351	0,520	0,045689	
ilość części sprezujących	n =	64		
mierników siły sprezujących	e =	0,4966		
			M max	
E. Dla obciążenia skrzynkowym z ujemnym momentem i dodatnią siłą skrótu	A (m ²)	y (m)	J (m ⁴)	
balka przedłużająco-wzmacniająca bez płyt	0,368923	0,511	0,044677	
balka z zamkami płytowych	0,410351	0,520	0,045689	
ilość części sprezujących	n =	64		
mierników siły sprezujących	e =	0,4966		
			M max	
F. Dla obciążenia skrzynkowym z dodatnim momentem i dodatnią siłą skrótu	A (m ²)	y (m)	J (m ⁴)	
balka przedłużająco-wzmacniająca bez płyt	0,368923	0,511	0,044677	
balka z zamkami płytowych	0,410351	0,520	0,045689	
ilość części sprezujących	n =	64		
mierników siły sprezujących	e =	0,4966		
			M max	
G. Dla obciążenia skrzynkowym z ujemnym momentem i ujemną siłą skrótu	A (m ²)	y (m)	J (m ⁴)	
balka przedłużająco-wzmacniająca bez płyt	0,368923	0,511	0,044677	
balka z zamkami płytowych	0,410351	0,520	0,045689	
ilość części sprezujących	n =	64		
mierników siły sprezujących	e =	0,4966		
			M max	
H. Dla obciążenia skrzynkowym z dodatnim momentem i ujemną siłą skrótu	A (m ²)	y (m)	J (m ⁴)	
balka przedłużająco-wzmacniająca bez płyt	0,368923	0,511	0,044677	
balka z zamkami płytowych	0,410351	0,520	0,045689	
ilość części sprezujących	n =	64		
mierników siły sprezujących	e =	0,4966		
			M max	
I. Naprężenia od obc. charakterystycznego	A (m ²)	y (m)	J (m ⁴)	
1. Max. obciąż. napeczęt. płyt. normalne w belce:				
- stan 1 początkowy - krawędź góra	$\sigma_{b1} =$	0,20 MPa	$\leq R_{b1,cs} = 1,90$	MPa
- stan 2 uzłykowy - krawędź dolna	$\sigma_{bd} =$	-0,50 MPa	$\leq R_{hd,cs} = 2,15$	MPa
2. Max. charakr. nape. płytowe rozciągające w belce	$\tau_b =$	0,00 MPa	$\leq R_{bd,cs} = 2,15$	MPa
II. Naprężenia od obc. obciążeniowego	A (m ²)	y (m)	J (m ⁴)	
1. Max. obciąż. napeczęt. płyt. normalne w belce:				
a) w belce - stan początkowy - ścisłanie	$\sigma_{bd} =$	-16,33 MPa	$\leq R_{ui} = 20,2$	MPa
b) w belce stan uzłykowy - ścisłanie	$\sigma_{b1} =$	-3,47 MPa	$\leq R_{bi} = 26$	MPa
c) w belce stan uzłykowy - rozciąganie	$\sigma_{bd} =$	6,03 MPa	nie działała się	
d) w zamkach płytowych - stan uzłyk.	$\sigma_{bd} =$	-7,09 MPa	$\leq R_{hi} = 14,4$	MPa
2. Max. obciąż. napeczęt. płytowe rozciągające w belce	$\tau_b =$	0,00 MPa	$\leq R_{ri} = 0,38$	MPa
3. Max. obciąż. nape. płyt. ścisłających w podcięciu płyt. i belki	$\tau_{bp} =$	0,00 MPa	$\leq R_{r1} = 0,26$	MPa
4. Wsp. odporności belki na zarysowanie	$\eta =$	1,340	> 1,20	
IV. Siła sprezowania				
1. Napiętość charakterystyczna			P _{pk} =	4,2880 MN
2. Siła sprezująca przed zakotwieniem	$S_1 = 85,0 \%$ P _{pk}		S ₀₁ =	2,7872 MN
3. Siła sprezująca po zakotwieniu			S ₀₁ =	2,4072 MN
4. Siła sprezująca po wykorzystaniu wszystkich strał			S ₀₁ =	1,8000 MN
- sumaryczna strała były sprężające	$A_S =$	35,39 % P _{pk}	$\leq 0,65 P_{lk} = 2,7872$ MN	
- sumaryczny nacisk liny spłotów	$S =$	42,00 % P _{pk}	$\leq 0,55 P_{lk} = 2,3564$ MN	

KWEN QU[EST]NIA WYBIEGŁA DO 320-00 80 GDAŃSKA

rys. 4

PRZEKRÓJ NORMALNY PRZĘSŁA PO MODERNIZACJI

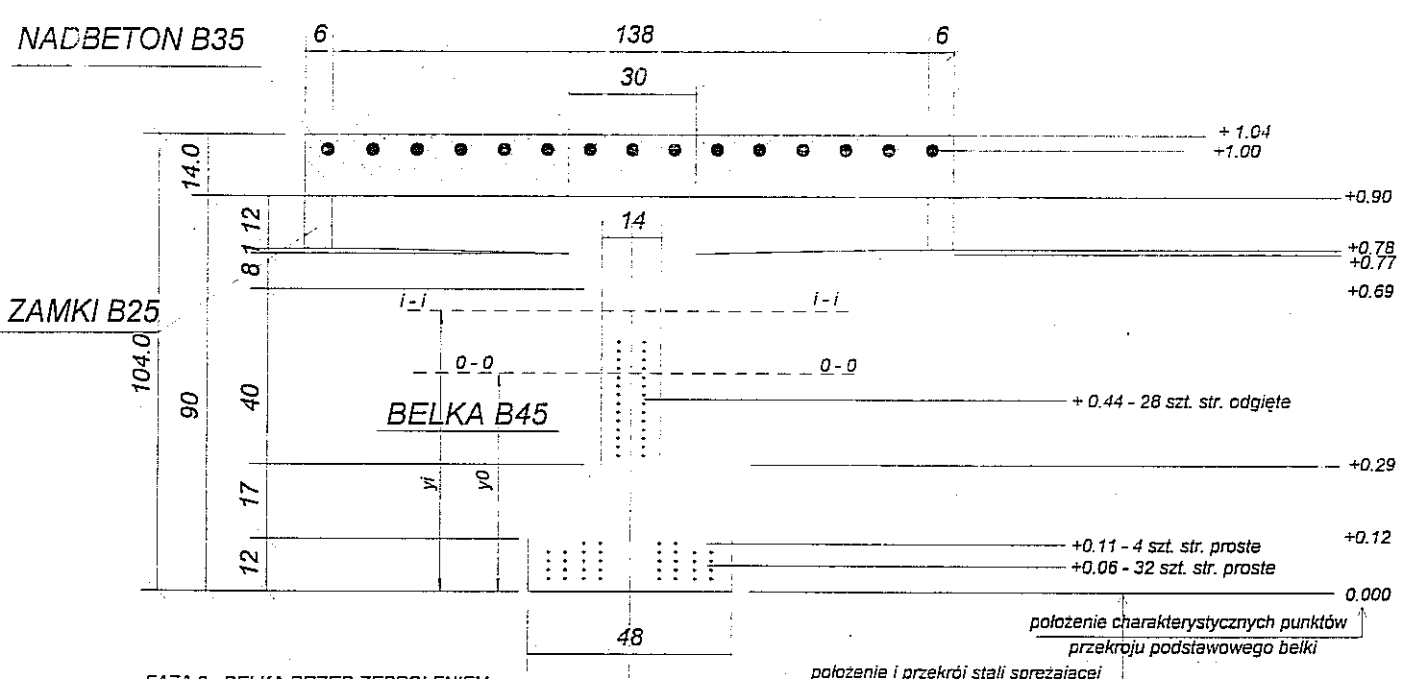
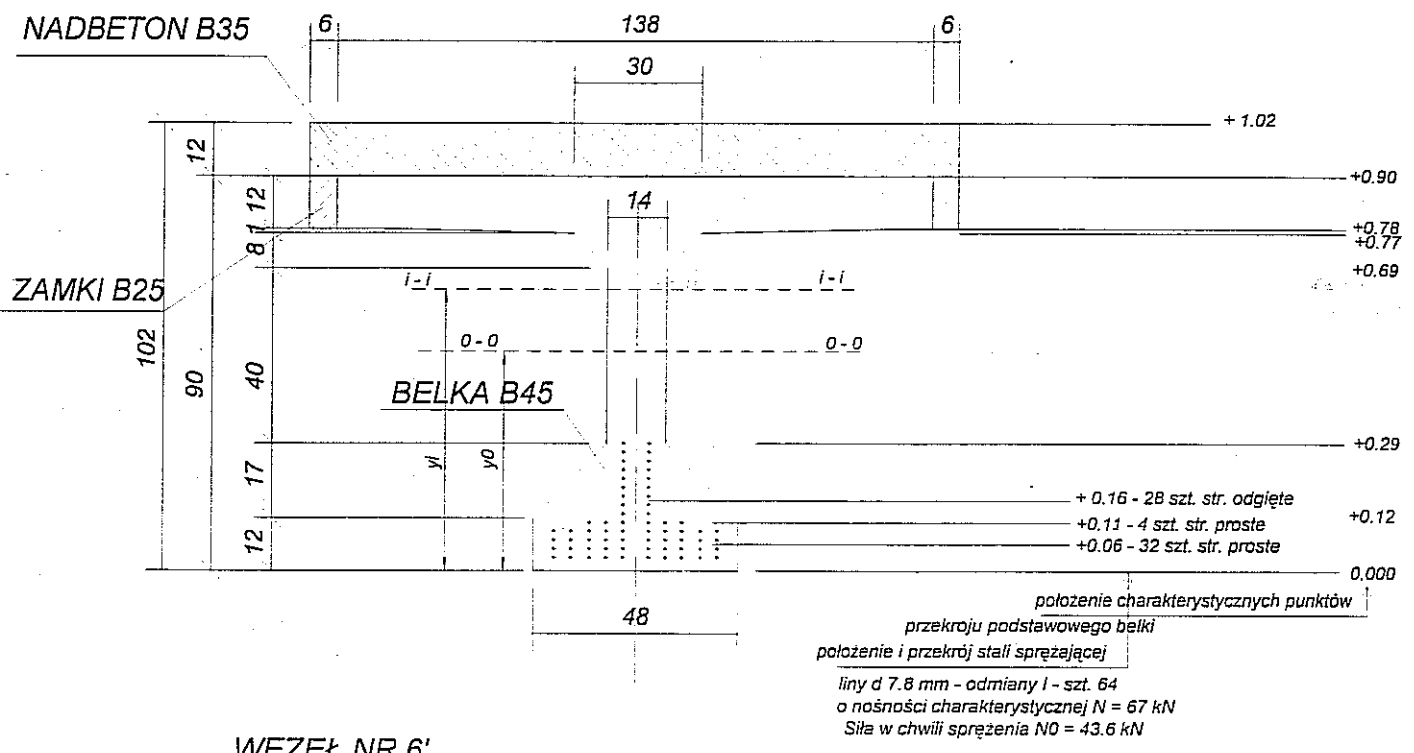


$$\begin{aligned}\alpha &= 0.239 \\ v &= 1.25 \\ B &= 15.50 \text{ m}\end{aligned}$$

PRZEKROJE OBLCZENIOWE BELKI PŁONSK BP16.50
W STANIE PO MODERNIZACJI

141.5

WEZEŁ NR 4



Beton w belce B45 - $E_b = 37800 \text{ MPa}$
Beton w belce B35 - $E_b = 34600 \text{ MPa}$ (podczas sprężenia)
Stal sprężająca - liny odm. I - $E_v = 180000 \text{ MPa}$
Stal zbrojeniowa St3SX - $E_s = 210000 \text{ MPa}$
odkształcenia skurczowe betonu belki $\epsilon_s = 0.00032$ - obciążenie po 7 dniach
wsp. pełzania betonu w belce $f_p = 3.2$ - obciążenie po 7 dniach

liny d 7.8 mm - odmiany I - szt. 64
o nośności charakterystycznej N = 67 kN
Siła w chwili sprężenia NO = 43.6 kN

FAZA I - BELKA PO ZESPOLENIU Z ZAMKAMI

Beton w zamkach B25 - $E_b = 30000 \text{ MPa}$
Stal zbrojeniowa St3SX - $E_s = 210000 \text{ MPa}$
odkształcenia skurczowe w zamkach $\epsilon_s = 0.00032$
odkształcenia skurczowe belki $\epsilon_s = 0.00016$ - w chwili betonowania zamków
różnica skurzcu zamków i belki $D(\epsilon_s) = 0.00016$
wsp. pełzania w zamkach $f_p = 2.10$ - po 90 dniach
wsp. pełzania w belce $f_p = 2.10$ - po 90 dniach

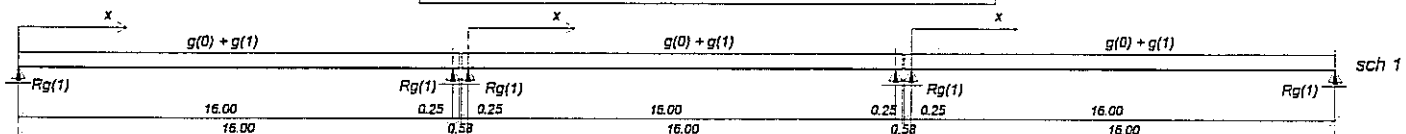
FAZA II - BELKA PO ZESPOLENIU Z NADBETONEM

Beton w nadbetonie B35 - $E_b = 34600 \text{ MPa}$
odkształcenia skurczowe belki $\epsilon_s = 0.000$ - w chwili betonowania nadbetonu
odkształcenia skurczowe w nadbetonie $\epsilon_s = 0.00023$
różnica skurzcu nadbetonu i belki $D(\epsilon_s) = 0.00013$
wsp. pełzania w nadbetonie $f_p = 2.50$ - po 26 dniach
wsp. pełzania w belce $f_p = 2.10$ - po 90 dniach

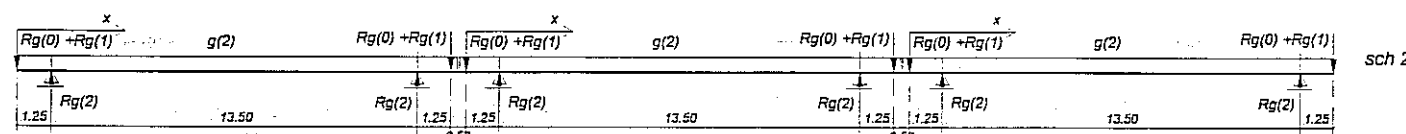
rys. 6

FAZA 0 - STAN WYKONAWSTWA BELEK PREFABRYKOWANYCH I MONTAŻU
PRZED ZESPOLENIEM ZAMKÓW

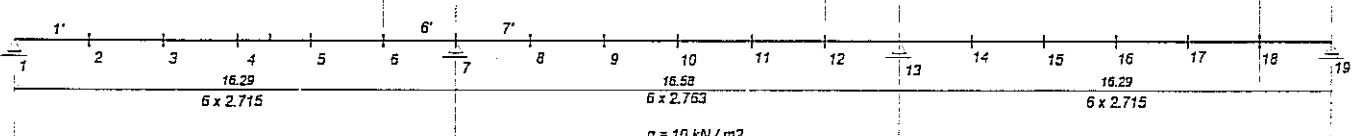
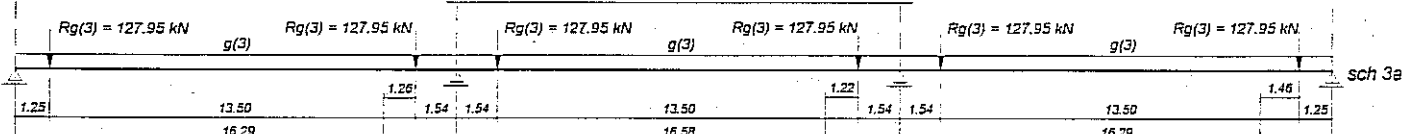
FAZA 1 - STAN ISTN. PO ROZBIÓRCE NAWIERZCHNI
I PO ZESPOLENIU BELEK Z ZAMKAMI



FAZA 2 - PRZED ZESPOLENIEM Z NADBETONEM
OPARCIE PRZESŁA NA RUSZTOWANIACH



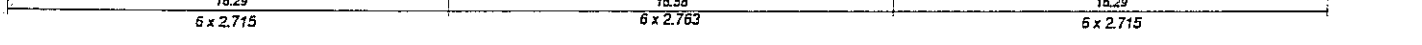
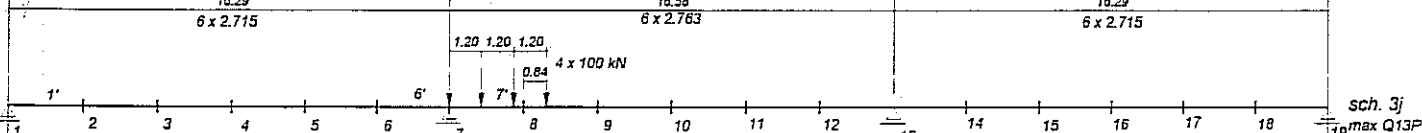
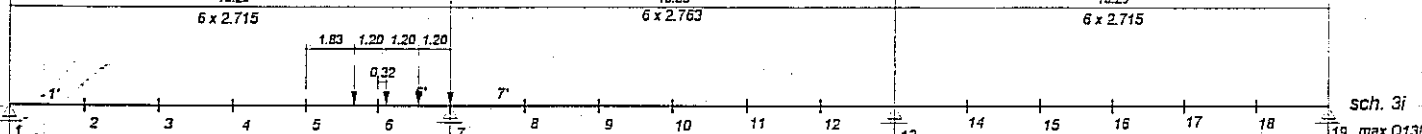
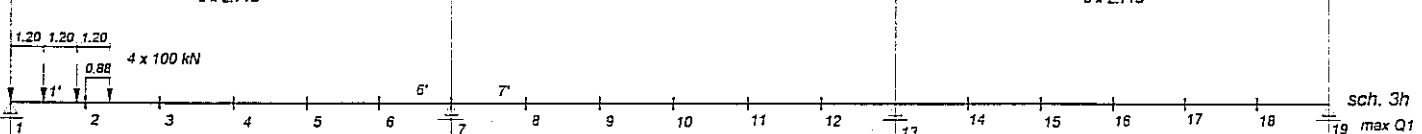
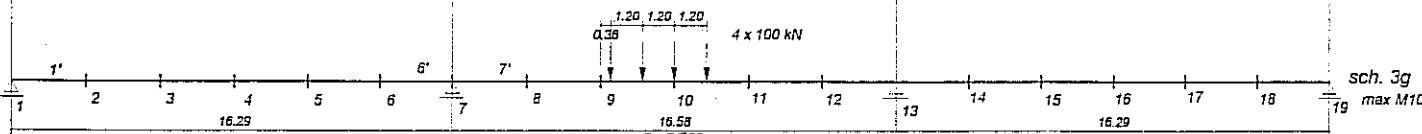
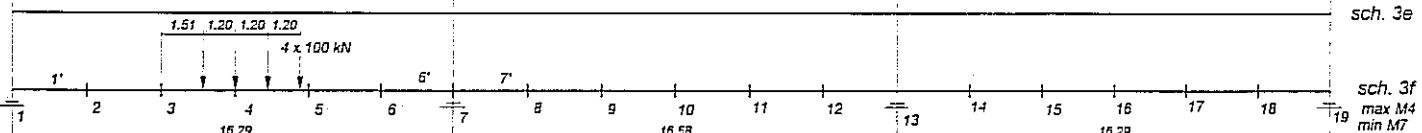
FAZA 3 - ZESPOLENIE W UKŁAD CIĄGŁY
1. OPUSZCZENIE PRZESŁA NA PODPORY DOCELOWE
2. CIĘZAR NAWIERZCHNI I WYPOSAŻENIA



$q = 10 \text{ kN/m}^2$

$q = 10 \text{ kN/m}^2$

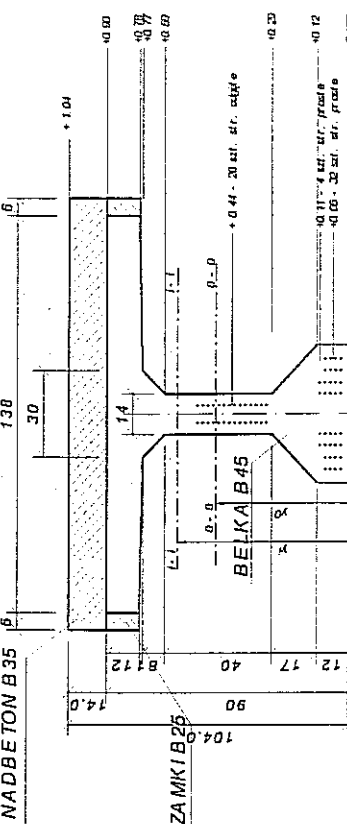
$q = 10 \text{ kN/m}^2$



Vezető nr 4

NINETEEN @ 25

138

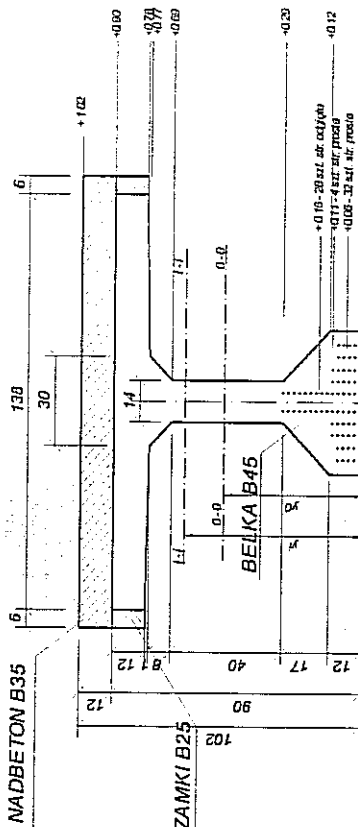


I. Charakterystyka przekroju podstawnego

A. Dla obciętych krótkotrawnych	$\bar{A} (\text{m}^2)$	$\bar{Y} (\text{m})$	$J (\text{m}^4)$
belka przebitykowana bez phy	0,371,67	0,545	0,036847
belka przebitykowana (lub zbrojeniem dla M min)	0,392,959	0,554	0,03924
belka z zamkami i nadbetonem (lub zbrojeniem dla M min)	0,57522	0,693	0,06229
kosz cieplny, strefażelczyk	64		
miękkość silik spreżającej			
$\theta =$		0,3158	
A. Dla obciętych długotrwałych	$\bar{A} (\text{m}^2)$	$\bar{Y} (\text{m})$	$J (\text{m}^4)$
belka przebitykowana bez phy	0,308911	0,524	0,04233
belka z zamkami phy pomostu (lub zbrojeniem dla M min)	0,41034	0,532	0,04346
belka z zamkami i nadbetonem (lub zbrojeniem dla M min)	0,58059	0,654	0,05705
kosz cieplny strefażelczyk	64		
miękkość silik spreżającej			
$\theta =$		0,2842	
II. Naprężenia od obcięcia charakterystyczne	M max	M min	
1. Min. charakt. napr. normalne w belce:			
- stan początkowy - rozciąganie	$\sigma_{\text{bq}} =$	0,48	MPa
- stan uzłykowy - rozciąganie	$\sigma_{\text{bd}} =$	—	MPa
2. Max. charakt. napr. grawowe rozciągające w belce	$\tau_b =$	1,878	MPa
3. Max. charakterystyczne napr. ścislanie	$\sigma_s =$	—	MPa
4. Waz. odporność belki na zarysowanie	$\eta =$	>1,2	
III. Naprężenia od obcięcia charakterystyczne	M max	M min	
1. Max. oblicz. naprężenia ścislanie			
a) w belce - stan pionzakowy - ścislanie	$\sigma_{\text{bd}} =$	-16,30	MPa
b) w belce stan użłykowy - ścislanie	$\sigma_{\text{bd}} =$	-0,72	MPa
c) w belce stan użłykowy - rozciąganie	$\sigma_{\text{bd}} =$	—	MPa
d) w żerunkach płyt pomostu - stan użłyk. - ścislanie	$\sigma_{\text{nr}} =$	—	MPa
e) w nadbetonie płyt pomostu - stan użłyk. - ścislanie	$\sigma_{\text{nr}} =$	-0,70	MPa
f) w strel. zbrojeniowej nadbetonu - stan użłyk.	$\sigma_s =$	—	MPa
2. Max. oblicz. naprężenia ścinające w środku belki	$\tau_b =$	2,60	MPa
3. Max. oblicz. napr. ścinające w połoczeniu belki i nadbetonu	$\tau_{\text{bi}} =$	0,17	MPa
4. Waz. odporność belki na zarysowanie	$\eta =$	>1,2	
IV. Siła sprzątająca	Pvk	Min	
1. Niedźw. charakterystyczna	$S_0 = 65,0 \text{ % Pvk}$	4,20200	Min
2. Siła sprzątająca przed zakotwieniem	$S_0 =$	2,7072	Min
3. Siła sprzątająca do zakotwienia	$S_01 =$	2,4839	Min
4. Siła sprzątająca przy wystąpieniu wałyzkowych śrąt	$S_02 =$	1,7541	Min
- summaryczne strony sprzątającej	$S_03 =$	37,09	% Pvk
- summaryczny naciąg liny sprzątającej	$S =$	40,91	% Pvk

Wezel nr 4

NADBETON E



FAZA 0-BEŁKA PRZED ZESPOŁENIEM
 Elektro w boczn. B45 - Eb - JTG04A-FB
 Elektro w boczn. B35 - Eb = 3400V/FPa (jednostka)
 Sila grawitacyjno-światłowa I-EV = 10000N/FPa
 Sila konserwująca SGSX - Es = 10000N/FPa
 akcja elektro ujemna Es = 10000N/FPa
 Wsp. parametry techniczne Eb = 12

Beton w warstwie D 25 - E2 - 20000 FA
Silikonowany SIEK - E2 - 20000 FA
 odś. skierowana w kierunku es = 0,0002
 odś. skierowana skrzyniowa b = 0,0002 - w chwilu montażu warstwy
 odś. skierowana skrzyniowa b = 0,0002
 warstwy powłokowej zwiększa się do 0,0012
 wsp. powłokowej warstwy D 20 - po 10-12 dniach
 wsp. powłokowej warstwy D 20 - po 6 dniach

ZAKAŁ - BEZKLAUPO ZE SPŁATEM 20 ZNAKÓW DOWIEM
Beton w warstwie D 25 - E2 - 20000 FA
 odś. skierowana skrzyniowa b = 0,0002 - w chwilu montażu warstwy
 odś. skierowana skrzyniowa b = 0,0002
 warstwy powłokowej zwiększa się do 0,0012 - po 10-12 dniach

Environ Biol Fish (2007) 79:21–30
DOI 10.1007/s10641-006-9991-1

Characteristics of Myeloma Patients with Podiatry Problems

A. Dla obciążenia krótkotrwalej belki przełamywana bez płyty	A (m2)	y (m)	J (m4)
belka z zamkami przy pomostu (lub zbrojeniem dla M min)	0,38467	0,536	0,039260
belka z zamkami i nadzieniem (lub zbrojeniem dla M min)	0,370395	0,541	0,039727
niemożność silki sprzątającej	0,63515	0,670	0,059984
n =	64		
e =	0,4233		

A. Dla obciążenia długotrwałych belki przełamywana bez płyty	A (m2)	y (m)	J (m4)
belka z zamkami przy pomostu (lub zbrojeniem dla M min)	0,392011	0,506	0,04402
belka z zamkami i nadzieniem (lub zbrojeniem dla M min)	0,389726	0,511	0,04468
niemożność silki sprzątającej	0,55366	0,631	0,0663
n =	64		
e =	0,3994		

M max	M min
$\sigma_{bh} =$	0,07 MPa
$\sigma_{bd} =$	— MPa
$t_b =$	0,07 MPa

Ii. Naprężenia i obc. charakterystyczne

1. Min. charakt. npr. normalne w belce:
 - stan początkowy - rozciąganie
 - stan użytkowy - rozciąganie
2. Max. charakt. npr. głównego rozciągającego w belce

Narrativa et al. *Characterization*

M max M min	$\sigma_{\text{bq}} =$	$\sigma_{\text{bd}} =$	$T_b =$	$\sigma_{\text{bq}} =$	$\sigma_{\text{bd}} =$	$T_b =$
1. Min. charakt. napięt. normalne w belce: - stan poziomkowy - rozciąganie - stan ukośnikowy - rozciąganie	0,07	—	—	$R_{\text{bactex}} = 1,60$	$R_{\text{bactex}} = 2,15$	$R_{\text{bactex}} = 2,15$
2. Max. charakt. napięt. głównego rozciągającego w belce	—	—	—	MPa	MPa	MPa
III. Napiężenia od obc. obliczania wstępne	—	—	—	MPa	MPa	MPa

a) w belce - stan początkowy - ciągskanlo

b) W belce stan uzłykowy - ściskanie	$\sigma_{\text{u}} =$	-6.62	MPa	$< R_u = 26.0$	MPa	B45
c) W belce stan uzłykowy - rozciąganie	$\sigma_{\text{u}} =$	-1.18	MPa	- dla określonej siły		B45
d) W zamkach, płytach pomostu - stan uzłyk. - ściskanie	$\sigma_{\text{u}} =$	-2.76	MPa	$< R_u = 14.4$	MPa	B25
e) W nadbudownie płyt pomostu - stan uzłyk. - ściskanie	$\sigma_{\text{u}} =$	-5.15	MPa	$< R_u = 20.2$	MPa	B35
f) W stali zbrojenia w nadbudowni - stan uzłyk.	$\sigma_{\text{u}} =$	---	MPa	$< R_u = 295$	MPa	
2. Max. obciąż. naprzeciwstawiające w skrócie belki	$R_u =$	0.74	MPa	- dla określonej siły		B45
3. Max. obciąż. napr. skrócenie w połączeniu belki i nadbudowni	$T_u =$	0.04	MPa	$< 1R_u = 0.38$	MPa	B45
4. Wsp. odporności belki na zarysowanie	$n =$	1.70	---	> 1.2	---	B25

W. S. In sprzątaniu

P _{Vk} =	4.2080	MN
SD =	2.7072	MN
S01 =	2.4089	MN
SVk =	1.661	MN
Δ S =	39.82	% P _{Vk}
S =	39.12	% P _{Vk}

1. Nosiłość charakterystyczna
2. Siła sprężająca Działek zakotwieniem
3. Siła sprężająca Do zakotwienia
1. Siła sprężająca do występiania wszystkich strał
- sumaryczna siła sprężającej
- sumaryczny nachył twardy plotów

Węzeł nr 6' - strona prawa

II. Charakteristika průzkumu podstavovno

A. Dia obciążenia klimatycznych	B. Dia obciążenia długotrwalewych
beleka prefabrykowana bez płyt	beleka z zamkami płytą pomocniczą (lub zbrojeniem dla M min)
beleka z zamkami płytą pomocniczą (lub zbrojeniem dla M min)	beleka z zamkami i nadzieniem (lub zbrojeniem dla M min)
liscie cięgła gospodarczych	liscie cięgła gospodarczych
imi (m) i siły (spurzilecje)	imi (m) i siły (spurzilecje)
$\alpha =$	$\alpha =$
	$\alpha = 0.3158$
A. Dia obciążenia długotrwalewych	B. Dia obciążenia długotrwalewych
beleka prefabrykowana bez płyt	beleka z zamkami płytą pomocniczą (lub zbrojeniem dla M min)
beleka z zamkami płytą pomocniczą (lub zbrojeniem dla M min)	beleka z zamkami i nadzieniem (lub zbrojeniem dla M min)
liscie cięgła gospodarczych	liscie cięgła gospodarczych
imi (m) i siły (spurzilecje)	imi (m) i siły (spurzilecje)
$\alpha =$	$\alpha = 0.2942$
A. (m2)	B. (m2)
A. (m2)	A. (m2)
$Y(\text{cm})$	$Y(\text{cm})$
J (m4)	J (m4)

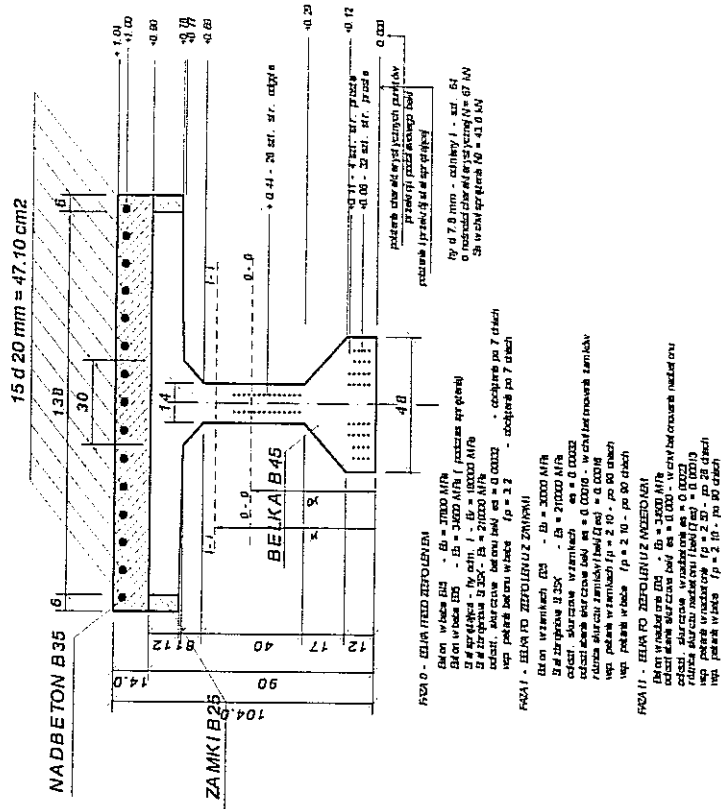
III. MATRIZES DE SOLUCIÓN. CLASIFICACIÓN DE SISTEMAS

V. Silla sprężańca

1. Następco charakterystyczny	Puk =	4.2880 MN
2. Sila sprzątająca przed zakończeniem	S0 = 65,0 % Puk	SD =
3. Sila sprzątająca po zakończeniu	S01 =	2.7972 MN
4. Sila sprzątająca po wystąpieniu wszyskich strat	S0K =	2.4030 MN
- sumaryczne straty, sila sprzątającej	SK =	1.7540 MN
- sumaryczne straty, sila sprzątającej	ΔS =	37,07 % Puk
- sumaryczne straty, sila sprzątającej	S =	> 55,00 % Puk
		< 55,00 % Puk

1427c

Węzły nr 7' - strona prawa



L. Chiriac / *Kvantitativá estetika prízraov podstavom*

A. Dla obciążenia krytycznego bez płyty	B. Dla obciążenia krytycznego z zamkami płyt domostwa (lub zbrojeniem dla M. min)	C. Dla obciążenia krytycznego (lub zbrojeniem dla M. min)
$A(\text{m}^2)$	$J(\text{m})$	$J(\text{m}^4)$
0,371574	0,545	0,038847
0,371574	0,545	0,038847
0,404634	0,545	0,045133
	64	
	e =	0,3156

	A (m ²)	y (m)	J (m ⁴)
báleka z zamkami, płyty domoszt (lub zbrojeniem dla M min)	0,360911	0,524	0,04233
báleka z zamkami, płyty domoszt (lub zbrojeniem dla M min)	0,360911	0,524	0,04233
báleka z zamkami, l. zbrojeniem (lub zbrojeniem dla M min)	0,493111	0,615	0,05867
lokalny cęglen sporekafaczych			
n = 64			

II. Nanotecnología y sus características

1. Min. charakter, numer, normale w balecie:	$\sigma_{\text{bd}} =$
- stan pożółkowy - rozciąganie	$\sigma_{\text{hd}} =$
- stan użytkowy - rozciąganie	$\sigma_{\text{u}} =$
2. Max. charakter, numer, główny rozciąganie w balecie	

III. Нагретем ягоды.

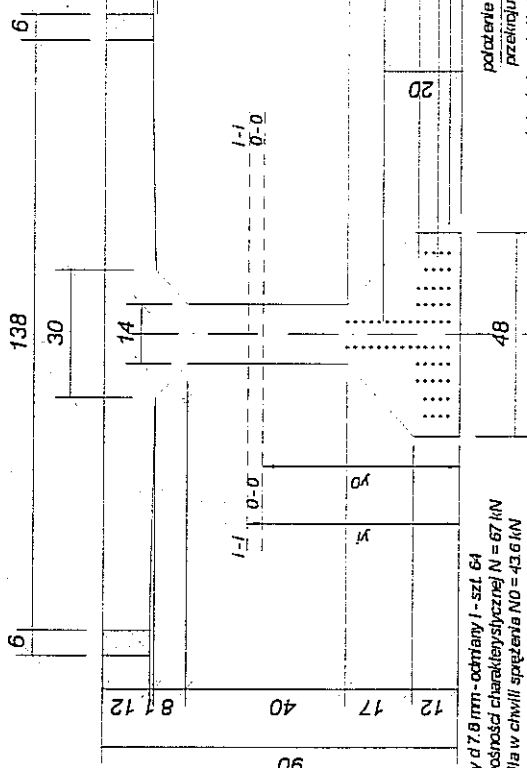
1. Max. oblicz. napiężenie ścisiałacze	a) w belce - stan początkowy - dościskanie <input type="checkbox"/> = b) w belce - stan poznawczy - dościskanie <input type="checkbox"/> = c) w belce stan uzłykowy - dościskanie <input type="checkbox"/> = d) w zamkach dźwiny pomości - stan uzłyk - ścisłanie <input type="checkbox"/> = e) w nadbuńczaku pływy pomostu - stan uzłyk. - dościskanie <input type="checkbox"/> =
2. W stanie zbrojenia nadbuńczaku - stan uzłyk. - dościskanie	<input type="checkbox"/> =
3. Max. oblicz. napiężenie ścisiałacze w kroplinu biegli	<input type="checkbox"/> =
4. Wsp. całomiejskie belki na zarysowanie	<input type="checkbox"/> =

VII.5.13 स्प्रेक्ट्रोग्राम

- | | | |
|--|-------|---------------|
| 1. Niedostateczna ilość przesyłek | Puk = | 4.2830 MN |
| 2. Sila sprzątająca przed zakończeniem | S0 = | 2.7872 MN |
| 3. Sila sprzątająca po zakończeniu | S01 = | < 0,66 Puk; |
| 4. Sila sprzątająca po wykryciu wszystkich strał | SYK = | 1.9332 MN |
| - samodzielnie | A\$ = | < 0,65 Puk; |
| - sumarycznie | S = | 30,64 % Puk |
| - sumarycznie | | 45,01 % Puk |
| - sumarycznie | | < 45,01 % Puk |

195. 2d

Przekrój x = 8,00 m od podpory (środek przesła) - stan istniejący



FAZA 0	Beton w belce B45	$-E_b = 37800 \text{ MPa}$	- obciążenie po 7 dniach
	Beton w belce B35	$-E_b = 34600 \text{ MPa} / \text{podżas sprezera}$	- obciążenie po 7 dniach
	Stal sprezująca - ilość odcin II - Ev	$= 180000 \text{ MPa}$	- obciążenie po 7 dniach
	Stal zbrojenia S235X - Es	$= 210000 \text{ MPa}$	- obciążenie po 7 dniach
	odcisk skurzowane belcota belki es	$= 0,002056$	- obciążenie po 7 dniach
	wys. odczepiania belcota w belce fn = 3,2		

A2A 1 Beton w zamkach B25 - $E_b = 30000 \text{ MPa}$
 Stal zbrojenia S13SX - $E_s = 210000 \text{ MPa}$
 skutkująca skurczem belki es = 0.00013 / w c
 rtanica skurzunia zamków i belki Dies = 0.00016
 wsp. pełzania w zamkach f2 = 10 - po 30 dňach

L'Clipboard des nouvelles technologies pour les enseignants

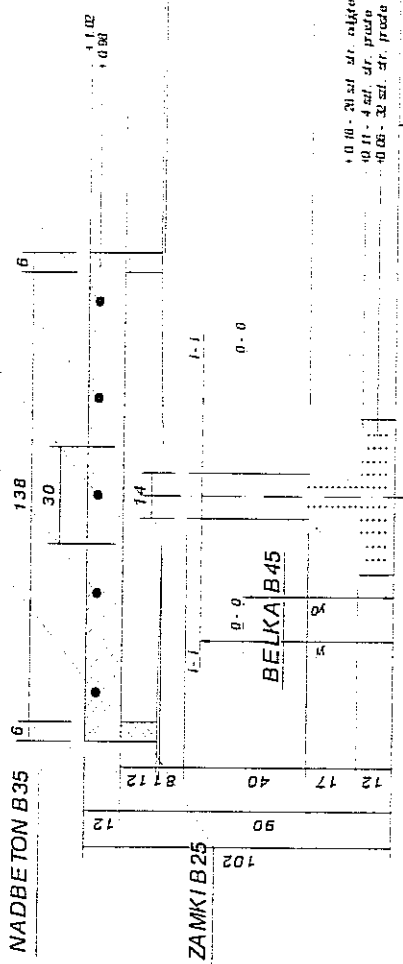
A. Dla obieżeń krzykotwierczych belka przedbalkowaana bez płyty belka z zamkami płyty pomostu ilość dlegień spręzałczych mimośrod siły spręzałczy	A (m2) 0,371574 0,383000 $n =$ $\epsilon =$	Y (m) 0,541 0,549 64 0,4365	J (m4) 0,03972 0,04072 $\epsilon =$
A. Dla obieżeń długotwierczych belka przedbalkowaana bez płyty belka z zamkami płyty pomostu ilość dlegień spręzałczych mimośrod siły spręzałczy	A (m2) 0,369923 0,410351 $n =$ $\epsilon =$	Y (m) 0,511 0,520 64 0,4066	J (m4) 0,04467 0,04589 $\epsilon =$
II. Naprężenia od obc. charakterystycznego		M max	
1. Min. charakt. napr. normalne w belce:			
- stan użylkowy - Krawędź góra	$\sigma_{bg} =$	0,20 MPa	$< R_{tw,05} = 1,90$ MPa
- stan użylkowy - Krawędź dolna	$\sigma_{bd} =$	-0,50 MPa	$< R_{tw,05} = 2,15$ MPa
2. Max. charakt. napr. główne rozciągające w belce	$\tau_b =$	0,00 MPa	$< R_{bl,05} = 2,15$ MPa
III. Naprężenia od obc. obliczeniowego			
1. Max. oblicz. naprężenia ścisławacze			
a) w belce - stan poczatkowy - ścisławanie	$\sigma_{bd} =$	-16,33 MPa	$< R_{bi} = 20,2$ MPa
b) w belce - stan użylkowy - ścisławanie	$\sigma_{bg} =$	-13,47 MPa	$< R_{bi} = 26$ MPa
c) w belce stan użylkowy - rozciąganie	$\sigma_{bd} =$	6,03 MPa	nie określona siła
d) w zamkach płyty pomostu - stan użylk. - ścisławanie	$\sigma_{bu} =$	-7,09 MPa	$< R_{bi} = 14,4$ MPa
2. Max. oblicz. naprężenia ścinające w belce	$\tau_b =$	0,00 MPa	$< R = 0,38$ MPa
3. Max. oblicz. napr. ścinająca w połączeniu płyty i belki	$\tau_{up} =$	0,00 MPa	$< R = 0,26$ MPa
4. Wsp. odporności belki na zarysowanie	$n =$	1,340	< 1,2

IV.5.1a sprężeńca

1. Należność charakterystyczna	$P_{vk} = 4,2860 \text{ MN}$
2. Sila sprężająca przed zakotwieniem	$S_0 = 65,0 \% P_{vk}$
3. Sila sprężająca po zakotwieniu	$S_0 = 2,7872 \text{ MN}$
4. Sila sprężająca po wystąpieniu wszystkich sił rą	$S_{01} = 2,4072 \text{ MN}$ $S_{02} = 1,8008 \text{ MN}$ $S_{vk} = 35,39 \% P_{vk}$ $S = 42,00 \% P_{vk}$
- sumaryczne siły rą silny sprężanie	$< 0,65 P_{vk} = 2,7872 \text{ MN}$
- sumaryczny nacięcie rą wylamy spoiów	$< 0,55 P_{vk} = 2,3584 \text{ MN}$
	$< 20\%$
	$< 55\%$

Wezel nr 10

$$5d20mm = 1571\text{ cm}^2$$



2011 - ERNST REHBERG UND MITARBEITER
Bei den Windkraftanlagen 05 - 10 und 12 QD-MW
wurde die Struktur belastet mit 0.000 - 0.001 N/mm².
Die statische Windlasten bei 0.0001 m/s
fließen durch die Rotorblätter auf die Rotorblatt-
stütze und werden von dieser auf die Turm-
stütze übertragen.

Chitralakutiyestiyata Dzerkosa u Tzodsevaweso

A	Dla obciążenia krytycznymi walcami belka prętobrykowana bez płyty belka z zamkami i płytą pomocniczą belka z zamkami i nadbełtem iloczyn cięć średnich sprężających	A (m2)	$y \text{ (m)}$	$J \text{ (m4)}$	
	b = 100 mm	0,371574	0,541	0,0399716	
	b = 100 mm	0,383600	0,550	0,0406988	
	b = 100 mm	0,55676	0,679	0,0612284	
	n = 64				
			0,43386		
				M max	M min
A	Dla obciążenia długotrwałym belka prętobrykowana bez płyty belka z zamkami i płytą pomocniczą belka z zamkami i nadbełtem iloczyn cięć średnich sprężających	A (m2)	$y \text{ (m)}$	$J \text{ (m4)}$	
	b = 100 mm	0,398923	0,511	0,04467	
	b = 100 mm	0,41034	0,520	0,04573	
	b = 100 mm	0,58769	0,654	0,070299	
	n = 64				
			0,4041		
				M max	M min
II. Napiężenia od obc. charakterystycznego					
1. Min. charak. napię. normalne w belce:					
- stan pożerkiowy - rozciąganie		$\sigma_{\text{bł}} =$	0,116	MPa	$< R_{\text{takie}} = 1,90$
- stan użylkowy - rozciąganie		$\sigma_{\text{bł}} =$	—	MPa	$< R_{\text{takie}} = 2,15$
2. Max. charak. napię. płynnego rozciągającego w belce		$\tau_{\text{bł}} =$	0,412	MPa	$< R_{\text{takie}} = 2,15$
III. Napiężenia od obc. obciążenia zwęglonego					
1. Max. oblicz. naprężenia, ścisiałkościę					
a) w belce - stan pożerkiowy - ścisiałkość		$\sigma_{\text{bł}} =$	-16,26	MPa	$< R_{\text{u}} = 20,2$
b) w belce - stan użylkowy - ścisiałkość		$\sigma_{\text{bł}} =$	-1,90	MPa	$< R_{\text{u}} = 25,0$
c) w belce stan użylkowy - rozciąganie		$\sigma_{\text{bł}} =$	—	MPa	nie określono sie
d) w zamkach płyt pionowych - stan użylk. - ścisiałkość		$\sigma_{\text{pa}} =$	-1,12	MPa	$< R_{\text{u}} = 14,4$
e) w zamkach płyt pionowych - stan użylk. - ścisiałkość		$\sigma_{\text{pa}} =$	—	MPa	$< R_{\text{u}} = 20,2$
f) w stali zbrojenia płyt pionowych - stan użylk. - ścisiałkość		$\sigma_{\text{pa}} =$	-2,90	MPa	$< R_{\text{u}} = 25,0$
g) w stali zbrojenia płyt pionowych - stan użylk.		$\sigma_{\text{pa}} =$	—	MPa	nie określono sie
2. Max. oblicz. naprężenia, stoczącego w środku belki		$\tau_{\text{bł}} =$	0,44	MPa	$< t \cdot R = 0,38$
3. Max. oblicz. napię. ścinająco w połowie belki nadbełtem		$\tau_{\text{lin}} =$	0,61	MPa	$< t \cdot R = 0,29$
4. Wsp. odnormotki belki na zrywanie		$t =$	2,28	MPa	$> 1,2$

V. Sila sprzątająca

Nośność charakterystyczna	$P_{\text{Rik}} =$	4,29	MN
Sila strążająca przed kolokwium	$SD = 65,0 \text{ \% } P_{\text{Rik}}$	50 =	2,79 MN
Sila strążająca po zakłóceniu		S01 =	2,41 MN
Sila strążająca na wykolejeniu wszystkich strąt		S0k =	1,66 MN
- summaryczany reakcja narządu w		$\Delta S =$	$39,76 \text{ \% } P_{\text{Rik}}$
- summaryczany reakcja narządu w		$S =$	$56,24 \text{ \% } P_{\text{Rik}}$
			$< 0,65 \text{ \% } P_{\text{Rik}} = 2,792 \text{ MN}$
			$< 0,55 \text{ \% } P_{\text{Rik}} = 2,3584 \text{ MN}$

Przebudowa mostu przez rz. Bystrzycę (od strony górnej wody) w ciągu jezdni południowej ul. Krochmalnej w Lublinie

**III. WYDROKI OBLCZEŃ KOMPUTEROWYCH
ZAŁĄCZNIK DO OBLCZEŃ STATYCZNYCH**

mgr inż. Andrzej Łukasiewicz
 ul. Kwiatów Polnych 7 m. 27 tel. 746-64-57
 20-843 Lublin
 program <RUSZT> - wersja - styczeń 1998r.

 * OBLCZENIE WSPÓŁCZYNNIKÓW ROZDZIAŁU POPRZECZNEGO *
 * OBCIAŻENIA I SIŁ POPRZECZNYCH W RUSZCZIE MOSTU DROGOWEGO *
 * M E T O D A G U Y O N A & M A S S O N E T A *

Nazwa obiektu: Most przez rz. Bystrzyce
 Nazwa elementu: Przęsło Płonisk - stan istniejący
 Dane przygotował: A. Łukasiewicz
 Data obliczeń: 07.2005

DANE POCZĄTKOWE

Charakterystyka geometryczna przęsła:

Rozpiętość teoretyczna przęsła 10 = 16.000 m
 Całk. szerokość obliczeniowa przęsła b0 = 15.600 m
 Współczynnik sztywności rusztu na zginanie (teta) = 1.140
 Współczynnik sztywności rusztu na skręcanie (alfa) = 0.075
 Ilość dźwigarów głównych w przekroju n = 10
 Współrzędne położenia dźwigarów w przekroju poprzecznym:

- Nr 1 - x(1) = -6.750 m
- Nr 2 - x(2) = -5.250 m
- Nr 3 - x(3) = -3.750 m
- Nr 4 - x(4) = -2.250 m
- Nr 5 - x(5) = -0.750 m
- Nr 6 - x(6) = 0.750 m
- Nr 7 - x(7) = 2.250 m
- Nr 8 - x(8) = 3.750 m
- Nr 9 - x(9) = 5.250 m
- Nr10 - x(10) = 6.750 m

Obciążenie zewnętrzne przęsła:

Obciążenie stałe g(1):

wartość charakteryst. obciążenia	g(1) =	11.130 kN/m ²
współczynnik obciążenia	wg(1) =	1.500
odl. początku obciążenia od osi przęsła	x1 g(1) =	-7.850 m
odl. końca obciążenia od osi przęsła	x2 g(1) =	-6.450 m

Obciążenie stałe g(2):

wartość charakteryst. obciążenia	g(2) =	6.050 kN/m ²
współczynnik obciążenia	wg(2) =	1.500
odl. początku obciążenia od osi przęsła	x1 g(2) =	-6.450 m
odl. końca obciążenia od osi przęsła	x2 g(2) =	3.550 m

Obciążenie stałe g(3):

wartość charakteryst. obciążenia	g(3) =	9.400 kN/m ²
współczynnik obciążenia	wg(3) =	1.500
odl. początku obciążenia od osi przęsła	x1 g(3) =	3.550 m
odl. końca obciążenia od osi przęsła	x2 g(3) =	7.750 m

Chodnik prawostronny:

odl. początku obciążenia od osi przęsła	x3 =	3.550 m
odl. końca obciążenia od osi przęsła	x4 =	7.550 m
Wartość charakteryst. obciążenia tłem	t =	2.500 kN/m ²
współczynnik obciążenia	wt =	1.300

Jezdnia:

odl. lewej krawędzi jezdni od osi przęsła	x5 =	-6.450 m
odl. prawej krawędzi jezdni od osi przęsła	x6 =	3.550 m

Obciążenie ruchome

współczynnik dynamiczny	klasy (C)
współczynnik obciążenia	fi = 1.270

współczynnik obciążenia	wp = 1.500
-------------------------	------------

W Y N I K I O B L I C Z E N

Linie wpływu rozkładu obciążenia dla poszczególnych dźwigarów:

X = -7.800 -5.850 -3.900 -1.950 -0.000 1.950 3.900 5.850 7.800

Nr 1	0.6109	0.3561	0.1533	0.0376	-0.0070	-0.0074	-0.0090	-0.0012	0.0066
Nr 2	0.3030	0.2858	0.2123	0.1133	0.0419	0.0162	-0.0042	-0.0048	-0.0023
Nr 3	0.0943	0.1873	0.2439	0.1878	0.0988	0.0359	0.0049	-0.0070	-0.0123
Nr 4	0.0035	0.0998	0.1933	0.2342	0.1685	0.0835	0.0268	-0.0042	-0.0246
Nr 5	-0.0291	0.0438	0.1269	0.2059	0.2189	0.1480	0.0685	0.0107	-0.0339
Nr 6	-0.0339	0.0107	0.0685	0.1480	0.2189	0.2059	0.1269	0.0438	-0.0291
Nr 7	-0.0246	-0.0042	0.0268	0.0835	0.1685	0.2342	0.1933	0.0998	0.0035
Nr 8	-0.0123	-0.0070	0.0049	0.0359	0.0988	0.1878	0.2439	0.1873	0.0943
Nr 9	-0.0023	-0.0048	-0.0042	0.0162	0.0419	0.1133	0.2123	0.2858	0.3030
Nr 10	0.0066	-0.0012	-0.0090	-0.0074	-0.0070	0.0376	0.1533	0.3561	0.6109

Współczynniki rozdziału obciążenia rzeczywistego:

Obciążenie stałe g(1):

Dźwigar Nr 1 -	0.7363
Dźwigar Nr 2 -	0.4161
Dźwigar Nr 3 -	0.1754
Dźwigar Nr 4 -	0.0499
Dźwigar Nr 5 -	-0.0067
Dźwigar Nr 6 -	-0.0266
Dźwigar Nr 7 -	-0.0249
Dźwigar Nr 8 -	-0.0147
Dźwigar Nr 9 -	-0.0043
Dźwigar Nr 10 -	0.0056

Obciążenie stałe g(2):

Dźwigar Nr 1 -	0.9223
Dźwigar Nr 2 -	1.1966
Dźwigar Nr 3 -	1.3929
Dźwigar Nr 4 -	1.4882
Dźwigar Nr 5 -	1.4671
Dźwigar Nr 6 -	1.3401
Dźwigar Nr 7 -	1.1112
Dźwigar Nr 8 -	0.7810
Dźwigar Nr 9 -	0.4545
Dźwigar Nr 10 -	0.1258

Obciążenie stałe g(3):

Dźwigar Nr 1 -	-0.0082
Dźwigar Nr 2 -	-0.0163
Dźwigar Nr 3 -	-0.0175
Dźwigar Nr 4 -	0.0062
Dźwigar Nr 5 -	0.0828
Dźwigar Nr 6 -	0.2291
Dźwigar Nr 7 -	0.4552
Dźwigar Nr 8 -	0.7737
Dźwigar Nr 9 -	1.1157
Dźwigar Nr 10 -	1.4591

Obciążenie ruchome:

	Obc. tłumem (t)	Obc. ruch (q)	Obc. pojazdem (K)
Dźwigar Nr 1 -	0.0039	0.9508	0.4567
Dźwigar Nr 2 -	0.0000	1.1966	0.4556
Dźwigar Nr 3 -	0.0047	1.3928	0.4099
Dźwigar Nr 4 -	0.0337	1.4882	0.4022
Dźwigar Nr 5 -	0.1062	1.4670	0.3975
Dźwigar Nr 6 -	0.2390	1.3403	0.3975
Dźwigar Nr 7 -	0.4530	1.1162	0.3895
Dźwigar Nr 8 -	0.7534	0.7898	0.3230

Dźwigar Nr 9 -	1.0554	0.4668	0.2108
Dźwigar Nr 10 -	1.3409	0.1671	0.0915

Uwaga !!!:

W przypadku wykorzystywania linii wpływu rozdziału poprzecznego obciążen i współczynników rozkładu poprzecznego obciążenia do obliczania sił wewnętrznych innymi metodami i w innych schematach niż użyte w dalszej części programu, (np. w układach statycznie niewyznaczalnych), należy kierować się następującymi warunkami korzystania z obliczonych wielkości:

- w kierunku podłużnym do osi mostu obciążenie stałe (g), tłumem (t) i ruchome (q), wprowadzać w kN/m² lub w MN/m², bez mnożenia przez szerokość działania obciążenia (jezdni)
- obciążenie pojazdem (K) podawać odpowiednio w kN lub w MN jako zestaw czterech sił odpowiadających naciskowi jednego koła pojazdu K (S = K/8)
- do obciążen stosować obliczony dla danego dźwigara i rodzaju obciążenia wsp. rozkładu poprzecznego i wsp. dynamiczny (dla K)

Zestawienie sił wewnętrznych w dźwigarach w układzie swobodnie podparty

Przekrój Nr 0 - x = 0.000 m

Rodzaj obciążenia	Obc. charakterystyczne		Obc. obliczeniowe	
	M < kNm >	T < kN >	M < kNm >	T < kN >
Dźwigar Nr 1				
Obc. stałe g(1)	0.00	65.56	0.00	98.34
Obc. stałe g(2)	0.00	44.66	0.00	66.99
Obc. stałe g(3)	0.00	-0.62	0.00	-0.93
Razem obc. stałe	0.00	109.61	0.00	164.41
Obciążenie tłumem (t)	0.00	0.08	0.00	0.10
Obciążenie równom. (q)	0.00	15.21	0.00	22.82
Obc. ruch. pojazdem (K)	0.00	102.96	0.00	154.44
Razem obc. ruchome	0.00	118.25	0.00	177.36
Dźwigar Nr 2				
Obc. stałe g(1)	0.00	37.05	0.00	55.58
Obc. stałe g(2)	0.00	57.92	0.00	86.87
Obc. stałe g(3)	0.00	-1.23	0.00	-1.84
Razem obc. stałe	0.00	93.74	0.00	140.61
Obciążenie tłumem (t)	0.00	0.00	0.00	0.00
Obciążenie równom. (q)	0.00	19.15	0.00	28.72
Obc. ruch. pojazdem (K)	0.00	102.70	0.00	154.05
Razem obc. ruchome	0.00	121.84	0.00	182.77
Dźwigar Nr 3				
Obc. stałe g(1)	0.00	15.62	0.00	23.42
Obc. stałe g(2)	0.00	67.42	0.00	101.12
Obc. stałe g(3)	0.00	-1.32	0.00	-1.98
Razem obc. stałe	0.00	81.71	0.00	122.57
Obciążenie tłumem (t)	0.00	0.09	0.00	0.12
Obciążenie równom. (q)	0.00	22.29	0.00	33.43
Obc. ruch. pojazdem (K)	0.00	92.40	0.00	138.60
Razem obc. ruchome	0.00	114.78	0.00	172.15
Dźwigar Nr 4				
Obc. stałe g(1)	0.00	4.44	0.00	6.66
Obc. stałe g(2)	0.00	72.03	0.00	108.05
Obc. stałe g(3)	0.00	0.47	0.00	0.70
Razem obc. stałe	0.00	76.93	0.00	115.40

Obciążenie tłem (t)	0.00	0.67	0.00	0.88
Obciążenie równom. (q)	0.00	23.81	0.00	35.72
Obc. ruch. pojazdem (K)	0.00	90.67	0.00	136.00
Razem obc. ruchome	0.00	115.15	0.00	172.59

Dźwigar Nr 5

Obc. stałe g(1)	0.00	-0.60	0.00	-0.90
Obc. stałe g(2)	0.00	71.01	0.00	106.51
Obc. stałe g(3)	0.00	6.22	0.00	9.34
Razem obc. stałe	0.00	76.63	0.00	114.95

Obciążenie tłem (t)	0.00	2.12	0.00	2.76
Obciążenie równom. (q)	0.00	23.47	0.00	35.21
Obc. ruch. pojazdem (K)	0.00	89.61	0.00	134.41
Razem obc. ruchome	0.00	115.21	0.00	172.38

Dźwigar Nr 6

Obc. stałe g(1)	0.00	-2.37	0.00	-3.56
Obc. stałe g(2)	0.00	64.86	0.00	97.29
Obc. stałe g(3)	0.00	17.23	0.00	25.84
Razem obc. stałe	0.00	79.72	0.00	119.58

Obciążenie tłem (t)	0.00	4.78	0.00	6.22
Obciążenie równom. (q)	0.00	21.44	0.00	32.17
Obc. ruch. pojazdem (K)	0.00	89.61	0.00	134.41
Razem obc. ruchome	0.00	115.84	0.00	172.80

Dźwigar Nr 7

Obc. stałe g(1)	0.00	-2.22	0.00	-3.33
Obc. stałe g(2)	0.00	53.78	0.00	80.67
Obc. stałe g(3)	0.00	34.23	0.00	51.34
Razem obc. stałe	0.00	85.79	0.00	128.68

Obciążenie tłem (t)	0.00	9.06	0.00	11.78
Obciążenie równom. (q)	0.00	17.86	0.00	26.79
Obc. ruch. pojazdem (K)	0.00	87.80	0.00	131.69
Razem obc. ruchome	0.00	114.72	0.00	170.26

Dźwigar Nr 8

Obc. stałe g(1)	0.00	-1.31	0.00	-1.97
Obc. stałe g(2)	0.00	37.80	0.00	56.70
Obc. stałe g(3)	0.00	58.18	0.00	87.27
Razem obc. stałe	0.00	94.67	0.00	142.01

Obciążenie tłem (t)	0.00	15.07	0.00	19.59
Obciążenie równom. (q)	0.00	12.64	0.00	18.95
Obc. ruch. pojazdem (K)	0.00	72.82	0.00	109.22
Razem obc. ruchome	0.00	100.52	0.00	147.77

Dźwigar Nr 9

Obc. stałe g(1)	0.00	-0.39	0.00	-0.58
Obc. stałe g(2)	0.00	22.00	0.00	33.00
Obc. stałe g(3)	0.00	83.90	0.00	125.85
Razem obc. stałe	0.00	105.51	0.00	158.27

Obciążenie tłem (t)	0.00	21.11	0.00	27.44
Obciążenie równom. (q)	0.00	7.47	0.00	11.20
Obc. ruch. pojazdem (K)	0.00	47.52	0.00	71.27
Razem obc. ruchome	0.00	76.09	0.00	109.92

Dźwigar Nr 10

Obc. stałe g(1)	0.00	0.50	0.00	0.74
Obc. stałe g(2)	0.00	6.09	0.00	9.14

Obc. stałe g(3)	0.00	109.72	0.00	164.59
Razem obc. stałe	0.00	116.31	0.00	174.46

Obciażenie tłumem (t)	0.00	26.82	0.00	34.86
Obciażenie równom. (q)	0.00	2.67	0.00	4.01
Obc. ruch. pojazdem (K)	0.00	20.63	0.00	30.94
Razem obc. ruchome	0.00	50.12	0.00	69.82

Przekrój Nr 1 - x = 8.000 m

Rodzaj obciążenia	Obc. charakterystyczne		Obc. obliczeniowe	
	M < kNm >	T < kN >	M < kNm >	T < kN >
Dźwigar Nr 1				
Obc. stałe g(1)	262.25	0.00	393.38	0.00
Obc. stałe g(2)	178.65	0.00	267.97	0.00
Obc. stałe g(3)	-2.47	0.00	-3.70	0.00
Razem obc. stałe	438.43	0.00	657.64	0.00

Obciażenie tłumem (t)	0.31	0.00	0.40	0.00
Obciażenie równom. (q)	60.85	0.00	91.27	0.00
Obc. ruch. pojazdem (K)	394.43	-3.81	591.64	-5.71
Razem obc. ruchome	455.59	-3.81	683.32	-5.71

Dźwigar Nr 2				
Obc. stałe g(1)	148.22	0.00	222.32	0.00
Obc. stałe g(2)	231.66	0.00	347.50	0.00
Obc. stałe g(3)	-4.91	0.00	-7.37	0.00
Razem obc. stałe	374.97	0.00	562.45	0.00

Obciażenie tłumem (t)	0.00	0.00	0.00	0.00
Obciażenie równom. (q)	76.58	0.00	114.88	0.00
Obc. ruch. pojazdem (K)	393.44	-3.80	590.15	-5.70
Razem obc. ruchome	470.02	-3.80	705.03	-5.70

Dźwigar Nr 3				
Obc. stałe g(1)	62.47	0.00	93.70	0.00
Obc. stałe g(2)	269.66	0.00	404.49	0.00
Obc. stałe g(3)	-5.27	0.00	-7.91	0.00
Razem obc. stałe	326.85	0.00	490.28	0.00

Obciażenie tłumem (t)	0.37	0.00	0.49	0.00
Obciażenie równom. (q)	89.14	0.00	133.71	0.00
Obc. ruch. pojazdem (K)	353.99	-3.42	530.99	-5.12
Razem obc. ruchome	443.51	-3.42	665.19	-5.12

Dźwigar Nr 4				
Obc. stałe g(1)	17.75	0.00	26.63	0.00
Obc. stałe g(2)	288.12	0.00	432.18	0.00
Obc. stałe g(3)	1.86	0.00	2.79	0.00
Razem obc. stałe	307.74	0.00	461.61	0.00

Obciażenie tłumem (t)	2.69	0.00	3.50	0.00
Obciażenie równom. (q)	95.24	0.00	142.87	0.00
Obc. ruch. pojazdem (K)	347.34	-3.35	521.01	-5.03
Razem obc. ruchome	445.28	-3.35	667.37	-5.03

Dźwigar Nr 5				
Obc. stałe g(1)	-2.40	0.00	-3.59	0.00
Obc. stałe g(2)	284.03	0.00	426.04	0.00
Obc. stałe g(3)	24.90	0.00	37.35	0.00

Razem obc. stałe	306.53	0.00	459.80	0.00
Obciążenie tłumem (t)	8.50	0.00	11.04	0.00
Obciążenie równom. (q)	93.89	0.00	140.84	0.00
Obc. ruch. pojazdem (K)	343.29	-3.31	514.94	-4.97
Razem obc. ruchome	445.68	-3.31	666.82	-4.97
<hr/>				
Dźwigar Nr 6				
Obc. stałe g(1)	-9.48	0.00	-14.22	0.00
Obc. stałe g(2)	259.45	0.00	389.18	0.00
Obc. stałe g(3)	68.92	0.00	103.38	0.00
Razem obc. stałe	318.89	0.00	478.33	0.00
Obciążenie tłumem (t)	19.12	0.00	24.86	0.00
Obciążenie równom. (q)	85.78	0.00	128.67	0.00
Obc. ruch. pojazdem (K)	343.29	-3.31	514.94	-4.97
Razem obc. ruchome	448.20	-3.31	668.47	-4.97
<hr/>				
Dźwigar Nr 7				
Obc. stałe g(1)	-8.88	0.00	-13.33	0.00
Obc. stałe g(2)	215.13	0.00	322.69	0.00
Obc. stałe g(3)	136.91	0.00	205.37	0.00
Razem obc. stałe	343.15	0.00	514.73	0.00
Obciążenie tłumem (t)	36.24	0.00	47.11	0.00
Obciążenie równom. (q)	71.44	0.00	107.16	0.00
Obc. ruch. pojazdem (K)	336.35	-3.25	504.52	-4.87
Razem obc. ruchome	444.02	-3.25	658.78	-4.87
<hr/>				
Dźwigar Nr 8				
Obc. stałe g(1)	-5.25	0.00	-7.87	0.00
Obc. stałe g(2)	151.21	0.00	226.81	0.00
Obc. stałe g(3)	232.73	0.00	349.09	0.00
Razem obc. stałe	373.69	0.00	568.03	0.00
Obciążenie tłumem (t)	60.27	0.00	78.35	0.00
Obciążenie równom. (q)	50.55	0.00	75.82	0.00
Obc. ruch. pojazdem (K)	278.96	-2.69	418.44	-4.04
Razem obc. ruchome	389.77	-2.69	572.61	-4.04
<hr/>				
Dźwigar Nr 9				
Obc. stałe g(1)	-1.55	0.00	-2.32	0.00
Obc. stałe g(2)	87.99	0.00	131.99	0.00
Obc. stałe g(3)	335.61	0.00	503.41	0.00
Razem obc. stałe	422.05	0.00	633.08	0.00
Obciążenie tłumem (t)	84.43	0.00	109.76	0.00
Obciążenie równom. (q)	29.87	0.00	44.81	0.00
Obc. ruch. pojazdem (K)	182.04	-1.76	273.05	-2.64
Razem obc. ruchome	296.34	-1.76	427.62	-2.64
<hr/>				
Dźwigar Nr 10				
Obc. stałe g(1)	1.98	0.00	2.97	0.00
Obc. stałe g(2)	24.36	0.00	36.54	0.00
Obc. stałe g(3)	438.90	0.00	658.35	0.00
Razem obc. stałe	465.24	0.00	697.86	0.00
Obciążenie tłumem (t)	107.27	0.00	139.45	0.00
Obciążenie równom. (q)	10.69	0.00	16.04	0.00
Obc. ruch. pojazdem (K)	79.03	-0.76	118.55	-1.14
Razem obc. ruchome	196.99	-0.76	274.03	-1.14
<hr/>				

K O N I E C O B L I C Z E N

mgr inż. Andrzej Łukasiewicz
 ul. Kwiatów Polnych 7 m. 27 tel. 746-64-57
 20-843 Lublin
 Program < PRESTRESS > - wersja styczeń 1998r.

 * Wymiarowanie dźwigara sprężonego *
 * dwukrotnie zespolonego z płytą pomostru i nadbetonem *
 * metoda obliczeń wg. PN-91/S-10042 *

Nazwa obiektu: Most przez rz. Bystrzyce w Lublinie
 Nazwa elementu: belka L - 16.5 m - stan istniejący
 Dane przygotował: A. Łukasiewicz
 Data obliczeń: 07.2005

D A N E P O C Z A T K O W E - środek przesła

Charakterystyka przekroju podstawowego dźwigara głównego:

Nr poziomu	wys. położenia	szer. powyżej	szer. poniżej
	< m >	< m >	< m >
7	0.900	0.000	1.380
6	0.780	1.380	1.380
5	0.770	0.300	0.300
4	0.690	0.140	0.140
3	0.290	0.140	0.140
2	0.120	0.480	0.480
1	0.000	0.480	0.000

Moduł sprężystości dźwigara głównego $E_0 = 37800 \text{ MPa}$

Jedn. odkształcenie skurczowe w belce $\epsilon_s = 0.00032$

Wsp. pełzania w chwili sprężenia $f_p = 3.20$

Wsp. pełzania w chwili zabet. płyty $f_p = 2.10$

Wytrz. charakt. betonu na rozc. R(btk0.05) = 2.100 MPa

Położenie cięgien sprężających typu 1 :

Nr poziomu wys. położenia liczba cięgien

	< m >	< szt >
3	0.200	18
2	0.110	6
1	0.060	40

Przekrój pojed. cięgna sprężającego $a_v(1) = 0.356 \text{ cm}^2$

Moduł sprężystości stali sprężającej $E_s = 180000 \text{ MPa}$

Charakt. siła zrywająca 1 cięgno $N_v(1) = 0.0670 \text{ MN}$

Charakterystyka płyty zespolonej (1):

Nr poziomu	wys. położenia	szer. powyżej	szer. poniżej
	< m >	< m >	< m >
2	0.900	0.000	0.120
1	0.780	0.120	0.000

Moduł sprężystości płyty (1) $E_b = 30000 \text{ MPa}$

Wsp. pełzania betonu $f_p = 2.10$

Różnica wsp.skurczu między płytą a belką: $\Delta(s) = 0.000160$

O B C I A Ż E N I A

	Moment zginający	Sila poprzeczna	Wsp. obciążenia
	< MNm >	< MN >	
- c.własny belki	0.32480	0.00000	1.200
- c.stał przed zespoleniem	0.09980	0.00000	1.200
- c.stał po 1 zespoleniu	0.43840	0.00000	1.500
- obc. ruchome	0.45570	0.00000	1.500

W Y N I K I O B L I C Z E N

Obliczone charakterystyki przekroju sprężonego zespolonego z płytą:

Remont mostu przez rz. Bystrzyce (od strony górnej wody) w ciągu jezdni południowej ul. Krochmalnej w Lublinie

A. Dla obciążen krótkotrwałych:

	n = Es/Eb	Pole przekroju poprzeczn.	Położenie środka ciężkości	Moment bezwładn.
0 - belka + zbroj. zwykłe	7.000	0.357900	0.557	< m4 > 0.0369583
1 - belka osłabiona kanałami	1.000	0.357900	0.557	0.0369583
2 - belka z cięgnami spręż.	6.000	0.371574	0.541	0.0397153
3 - belka z płytą zesp.(1)	0.794	0.383003	0.549	0.0407231
Mimośród siły sprężającej	e = 0.4365 m			

B. Dla obciążen długotrwałych:

	n = Es/Eb	Pole przekroju poprzeczn.	Położenie środka ciężkości	Moment bezwładn.
0 - belka + zbroj. zwykłe	20.000	0.357900	0.557	< m4 > 0.0369583
1 - belka osłabiona kanałami	1.000	0.357900	0.557	0.0369583
2 - belka z cięgnami spręż.	18.000	0.398923	0.511	0.0446730
3 - belka z płytą zesp.(1)	0.794	0.410351	0.520	0.0458919
Mimośród siły sprężającej	e = 0.4066 m			

N A P R E Ź. C H A R A K T. W P R Z E K R O J U Z E S P O L O N Y M

< I > - Naprężenia w stanie początkowym

N A P R E Ź E N I A					
Nr poz.	Wysokość położenia	Normalne	Ścinające	Główne rozc!	Zastępcze
	< m >	< MPa >	< MPa >	< MPa >	< MPa >
Naprężenia od sprężania po stratach doraźnych - t = 0					
W dźwigarze głównym					
7 0.900	3.031	0.000	0.000		
6 0.780	-0.144	0.000	0.000		
5 0.770	-0.408	0.000	0.000		
4 0.690	-2.525	0.000	0.000		
3 0.290	-13.108	0.000	0.000		
2 0.120	-17.605	0.000	0.000		
1 0.000	-20.780	0.000	0.000		
Naprężenia od ciężaru własnego belki - t = tn					
W dźwigarze głównym					
7 0.900	-2.831	0.000	0.000		
6 0.780	-1.958	0.000	0.000		
5 0.770	-1.886	0.000	0.000		
4 0.690	-1.304	0.000	0.000		
3 0.290	1.604	0.000	0.000		
2 0.120	2.840	0.000	0.000		
1 0.000	3.713	0.000	0.000		
Razem - naprężenia w stanie początkowym					
W dźwigarze głównym					
7 0.900	0.200	0.000	0.200		
6 0.780	-2.102	0.000	0.000		
5 0.770	-2.294	0.000	0.000		
4 0.690	-3.829	0.000	0.000		
3 0.290	-11.503	0.000	0.000		
2 0.120	-14.765	0.000	0.000		
1 0.000	-17.067	0.000	0.000		

< II > - Naprężenia w stanie bezużytkowym

N A P R E Ź E N I A					
Nr poz.	Wysokość położenia	Normalne	Ścinające	Główne rozc!	Zastępcze

	$< m >$	$< MPa >$	$< MPa >$	$< MPa >$	$< MPa >$
Napreżenia od strat spowodowanych relaksacją stali - t = tn					
W dźwigarze głównym					
7 0.900		-0.100	0.000	0.000	
6 0.780		0.005	0.000	0.000	
5 0.770		0.014	0.000	0.000	
4 0.690		0.084	0.000	0.000	
3 0.290		0.434	0.000	0.000	
2 0.120		0.583	0.000	0.000	
1 0.000		0.688	0.000	0.000	
Napreżenia od ciężaru stałego przed (1) zespoleniem - t = tn					
W dźwigarze głównym					
7 0.900		-0.870	0.000	0.000	
6 0.780		-0.602	0.000	0.000	
5 0.770		-0.579	0.000	0.000	
4 0.690		-0.401	0.000	0.000	
3 0.290		0.493	0.000	0.000	
2 0.120		0.873	0.000	0.000	
1 0.000		1.141	0.000	0.000	
Napreżenia od skurczu i pełzania betonu w belce - t = tn					
W dźwigarze głównym					
7 0.900		-0.524	0.000	0.000	
6 0.780		0.028	0.000	0.000	
5 0.770		0.074	0.000	0.000	
4 0.690		0.442	0.000	0.000	
3 0.290		2.282	0.000	0.000	
2 0.120		3.064	0.000	0.000	
1 0.000		3.615	0.000	0.000	
Razem - napreżenia w stanie bezużytkowym					
W dźwigarze głównym					
7 0.900		-1.293	0.000	0.000	
6 0.780		-2.671	0.000	0.000	
5 0.770		-2.785	0.000	0.000	
4 0.690		-3.704	0.000	0.000	
3 0.290		-8.295	0.000	0.000	
2 0.120		-10.246	0.000	0.000	
1 0.000		-11.623	0.000	0.000	

< III > - Napreżenia w stanie bezużytkowym po (1) zespoleniu

Nr poz.	Wysokość położenia	N A P R E Ź E N I A				
		Normalne		Ścinające	Główne rozcięcia	
		$< m >$	$< MPa >$	$< MPa >$	$< MPa >$	
Napreżenia od skurczu i pełzania płyty zesp.(1) - t = tn						
W płycie zespalonej (1)						
2 0.900		1.587	0.000	0.000		
1 0.780		1.600	0.000	0.000		
W dźwigarze głównym						
7 0.900		-0.084	0.000	0.000		
6 0.780		-0.071	0.000	0.000		
5 0.770		-0.070	0.000	0.000		
4 0.690		-0.062	0.000	0.000		
3 0.290		-0.019	0.000	0.000		
2 0.120		-0.001	0.000	0.000		
1 0.000		0.012	0.000	0.000		
Napreżenia od obc. stałego po (1) zespoleniu - t = tn						
W płycie zespalonej (1)						
2 0.900		-2.882	0.000	0.000		
1 0.780		-1.973	0.000	0.000		

W dźwigarze głównym					
7	0.900	-3.632	0.000	0.000	
6	0.780	-2.486	0.000	0.000	
5	0.770	-2.390	0.000	0.000	
4	0.690	-1.626	0.000	0.000	
3	0.290	2.195	0.000	0.000	
2	0.120	3.819	0.000	0.000	
1	0.000	4.966	0.000	0.000	
Razem - naprężenia w stanie bezużytkowym po (1) zespoleniu					
W płycie zespolonej (1)					
2	0.900	-1.296	0.000	-0.000	
1	0.780	-0.373	0.000	0.000	
W dźwigarze głównym					
7	0.900	-5.009	0.000	-0.000	
6	0.780	-5.227	0.000	0.000	
5	0.770	-5.246	0.000	0.000	
4	0.690	-5.391	0.000	0.000	
3	0.290	-6.118	0.000	0.000	
2	0.120	-6.427	0.000	0.000	
1	0.000	-6.645	0.000	0.000	

< IV > - Naprężenia w stanie użytkowym

N A P R E Ź E N I A					
Nr poz.	Wysokość położenia	Normalne	Ścinające	Główne rozci	Zastępcze
	< m >	< MPa >	< MPa >	< MPa >	< MPa >
Naprężenia od obciążenia ruchomego - t = t0					
W płycie zespolonej (1)					
2	0.900	-3.113	0.000	0.000	
1	0.780	-2.047	0.000	0.000	
W dźwigarze głównym					
7	0.900	-3.922	0.000	0.000	
6	0.780	-2.579	0.000	0.000	
5	0.770	-2.467	0.000	0.000	
4	0.690	-1.572	0.000	0.000	
3	0.290	2.904	0.000	0.000	
2	0.120	4.806	0.000	0.000	
1	0.000	6.149	0.000	0.000	
Razem - naprężenia w stanie użytkowym					
W płycie zespolonej (1)					
2	0.900	-4.409	0.000	0.000	
1	0.780	-2.420	0.000	0.000	
W dźwigarze głównym					
7	0.900	-8.931	0.000	0.000	
6	0.780	-7.807	0.000	0.000	
5	0.770	-7.713	0.000	0.000	
4	0.690	-6.963	0.000	0.000	
3	0.290	-3.214	0.000	0.000	
2	0.120	-1.621	0.000	0.000	
1	0.000	-0.496	0.000	0.000	

Oznaczenia:

znak (-) - naprężenia normalne ścis kające
 znak (+) - naprężenia normalne rozciągające
 Naprężenia ścinające obliczone są dla rzeczywistej
 szerokości przekroju na danym poziomie obliczeniowym
 $t = t_0$ - odc. krótkotrwałe
 $t = t_n$ - odc. długotrwałe

S I Ł A S P R E Ź A J A C A I S T R A T Y

Początkową wartość siły sprężającej przed zakotwieniem

przyjęto jako 65.00% nośności charakterystycznej cięgien
 $P_{vk} = 4.2880 \text{ MN}$ - nośność charakterystyczna cięgien
 $P_0 = 2.7872 \text{ MN}$ - siła przed zakotwieniem
 $P_{01} = 2.4072 \text{ MN}$ - siła po zakotwieniu z uwzgl. strat doraźnych
 $P_{0dop} = 2.7872 \text{ MN}$ - dopuszczalna siła sprężająca w stadium początkowym

$nv(3) = 0.1231 \text{ MN}$ - straty od różn. temp. cięgien i urządzeń oporowych
 $nv(4) = 0.2569 \text{ MN}$ - straty od odkształcenia sprężystego belki
 $nv(5) = 0.0962 \text{ MN}$ - straty od relaksacji stali sprężającej ...
 $nv(6) = 0.5054 \text{ MN}$ - straty od skurcza i pełzania betonu w belce
 $nv(7) = 0.0049 \text{ MN}$ - straty od skurcza płyty zesp.(1)

$P_v = 1.8008 \text{ MN}$ - siła sprężająca z uwzgl. wszystkich strat
 $P_{vdop} = 2.3584 \text{ MN}$ - dopuszczalna siła sprężająca w stadium użytkowym
 Sumaryczne straty siły sprężającej - 35.39% siły początkowej
 Sumaryczny naciąg trwały splotów - 42.00% nośności charakterystycznej
 Dopuszczalny naciąg trwały splotów - 55.00% nośności charakterystycznej

Wsp. odporności belki na rysy $n = 1.34$ - obliczony został dla wytrzymałości betonu na rozc. $R(btk0.05) = 2.10 \text{ MPa}$

Straty siły sprężającej obliczono przy następujących założeniach:
 Straty $nv(3)$:

- różnica temp. cięgien i urządzeń oporowych $\Delta t = 60 \text{ stopni C}$

Straty $nv(4)$:

- wsp. sprężystości belki w chwili kotwienia $E_b = 34600 \text{ MPa}$

Straty $nv(5)$:

- w pełnej wysokości wg. 5.6.2 PN-91/S-10042

Straty $nv(6)$:

- jedn. odkształcenie skurczowe w belce $e_s = 0.00032$

- wsp. pełzania betonu w belce $f_p = 3.20$

N A P R E Ź . O B L I C Z . W P R Z E K R O J U Z E S P O L O N Y M

N A P R E Ź E N I A					
Nr poz.	Wysokość położenia	Normalne	Ścinające	Główne rozc.	Zastępcze
< m >	< MPa >	< MPa >	< MPa >	< MPa >	< MPa >
Razem - naprężenia w stanie początkowym					
W dźwigarze głównym					
7 0.900	-0.366	0.000	0.000		
6 0.780	-2.494	0.000	0.000		
5 0.770	-2.671	0.000	0.000		
4 0.690	-4.090	0.000	0.000		
3 0.290	-11.183	0.000	0.000		
2 0.120	-14.197	0.000	-0.000		
1 0.000	-16.325	0.000	0.000		
Razem - naprężenia w stanie bezużytkowym					
W dźwigarze głównym					
7 0.900	-2.033	0.000	0.000		
6 0.780	-3.183	0.000	0.000		
5 0.770	-3.278	0.000	0.000		
4 0.690	-4.045	0.000	0.000		
3 0.290	-7.875	0.000	-0.000		
2 0.120	-9.503	0.000	0.000		
1 0.000	-10.653	0.000	0.000		
Razem - naprężenia w stanie bezużytkowym po (1) zespoleniu					
W płycie zespolonej (1)					
2 0.900	-2.420	0.000	0.000		
1 0.780	-1.039	0.000	0.000		
W dźwigarze głównym					
7 0.900	-7.582	0.000	0.000		

6 0.780	-6.996	0.000	0.000	
5 0.770	-6.948	0.000	0.000	
4 0.690	-6.557	0.000	0.000	
3 0.290	-4.605	0.000	0.000	
2 0.120	-3.775	0.000	0.000	
1 0.000	-3.189	0.000	0.000	

Razem - naprężenia w stanie użytkowym

W płycie zespolonej (1)				
2 0.900	-7.089	0.000	0.000	
1 0.780	-4.110	0.000	0.000	
W dźwigarze głównym				
7 0.900	-13.465	0.000	0.000	
6 0.780	-10.866	0.000	0.000	
5 0.770	-10.649	0.000	0.000	
4 0.690	-8.916	0.000	0.000	
3 0.290	-0.249	0.000	-0.000	
2 0.120	3.434	0.000	3.434	
1 0.000	6.034	0.000	6.034	

Oznaczenia:

znak (-) - naprężenia normalne ściskające

znak (+) - naprężenia normalne rozciągające

Naprężenia ścinające obliczone są dla rzeczywistej

szerokości przekroju na danym poziomie obliczeniowym

t = t0 - obc. krótkotrwałe

t = tn - obc. długotrwałe

KONIEC OBLCZEN

mgr inż. Andrzej Łukasiewicz
 ul. Kwiatów Polnych 7 m. 27 tel. 746-64-57
 20-843 Lublin
 program <RUSZT> - wersja - styczeń 1998r.

 * OBliczenie Współczynników ROZDziału POPrzecznego *
 * OBCIAŻENIA I SIĘ POPrzecznYCH W RUSZCZIE MOSTU DROGOWEGO *
 * M E T O D A G U Y O N A & M A S S O N E T A *

Nazwa obiektu: Most przez rz. Bystrzyce w Lublinie
 Nazwa elementu: Ruszt zastępczy ustroju nośnego po modernizacji
 Dane przygotował: A. Łukasiewicz
 Data obliczeń: 07.2005

DANE POCZĄTKOWE

Charakterystyka geometryczna przęsła:

Całk. szerokość obliczeniowa przęsła $b_0 = 15.500 \text{ m}$
 Współczynnik sztywności ruszta na zginanie (η) = 1.250
 Współczynnik sztywności ruszta na skręcanie (α) = 0.239
 Ilość dźwigarów głównych w przekroju $n = 10$
 Współrzędne położenia dźwigarów w przekroju poprzecznym:

- Nr 1 - $x(1) = -6.750 \text{ m}$
- Nr 2 - $x(2) = -5.250 \text{ m}$
- Nr 3 - $x(3) = -3.750 \text{ m}$
- Nr 4 - $x(4) = -2.250 \text{ m}$
- Nr 5 - $x(5) = -0.750 \text{ m}$
- Nr 6 - $x(6) = 0.750 \text{ m}$
- Nr 7 - $x(7) = 2.250 \text{ m}$
- Nr 8 - $x(8) = 3.750 \text{ m}$
- Nr 9 - $x(9) = 5.250 \text{ m}$
- Nr 10 - $x(10) = 6.750 \text{ m}$

Obciążenie zewnętrzne przęsła:

Obciążenie stałe $g(1)$:

wartość charakteryst. obciążenia	$g(1) = 10.000 \text{ kN/m}^2$
współczynnik obciążenia	$wg(1) = 1.200$
odl. początku obciążenia od osi przęsła	$x_1 g(1) = -7.750 \text{ m}$
odl. końca obciążenia od osi przęsła	$x_2 g(1) = 7.750 \text{ m}$

Chodnik prawostronny:

odl. początku obciążenia od osi przęsła	$x_3 = 4.410 \text{ m}$
odl. końca obciążenia od osi przęsła	$x_4 = 7.550 \text{ m}$
Wartość charakteryst. obciążenia tłem	$t = 2.500 \text{ kN/m}^2$
współczynnik obciążenia	$wt = 1.300$

Jezdnia:

odl. lewej krawędzi jezdni od osi przęsła	$x_5 = -6.950 \text{ m}$
odl. prawej krawędzi jezdni od osi przęsła	$x_6 = 3.550 \text{ m}$

Obciążenie ruchome

współczynnik dynamiczny	klasy (B)
współczynnik obciążenia	$\bar{f}_i = 1.268$
	$wp = 1.500$

W Y N I K I O B L I C Z E N I

Linie wpływu rozkładu obciążenia dla poszczególnych dźwigarów:

X = -7.750 -5.813 -3.875 -1.938 0.000 1.938 3.875 5.813 7.750

Nr 1	0.5847	0.3398	0.1470	0.0419	0.0035	-0.0038	-0.0017	0.0016	0.0050
Nr 2	0.2840	0.2837	0.2117	0.1106	0.0416	0.0100	0.0003	-0.0003	0.0017
Nr 3	0.0906	0.1868	0.2500	0.1844	0.0910	0.0318	0.0063	-0.0012	-0.0025
Nr 4	0.0147	0.1002	0.1922	0.2354	0.1614	0.0751	0.0244	0.0019	-0.0091
Nr 5	-0.0115	0.0464	0.1219	0.2031	0.2170	0.1405	0.0631	0.0155	-0.0151

Remont mostu przez rz. Bystrzyce (od strony górnej wody) w ciągu jezdni południowej ul. Krochmalnej w Lublinie

Andrzej Łukasiewicz
 ul. Kwiatów Polnych 7 m. 27 tel. 746-64-57
 20-843 Lublin
 program <BELKA> - wersja marzec 1998r.

 * ANALIZA STATYCZNA BELKI NA SPREŻYSTYCH PODPORACH *
 * Z UWZGLĘDNIENIEM SIŁ POPRZECZNYCH *

Nazwa obiektu: Most przez rzekę Bystrzyce w Lublinie
 Nazwa elementu: Most od strony górnej wody - ustrój nośny
 Dane przygotował: A. Łukasiewicz
 Data obliczeń: 07.2005

Liczba węzłów w = 19 szt
 Moduł sprężystości belki E = 37800 MPa

Pręt	długość l (m)	moment bezw. J (m ⁴)	przekrój A (m ²)
1 - 2	2.715	0.06292000	
2 - 3	2.715	0.06292000	
3 - 4	2.715	0.06292000	
4 - 5	2.715	0.06292000	
5 - 6	2.715	0.06292000	
6 - 7	2.715	0.06292000	
7 - 8	2.763	0.06292000	
8 - 9	2.763	0.06292000	
9 - 10	2.763	0.06292000	
10 - 11	2.763	0.06292000	
11 - 12	2.763	0.06292000	
12 - 13	2.763	0.06292000	
13 - 14	2.715	0.06292000	
14 - 15	2.715	0.06292000	
15 - 16	2.715	0.06292000	
16 - 17	2.715	0.06292000	
17 - 18	2.715	0.06292000	
18 - 19	2.715	0.06292000	

Podpory stałe:

Opis kodów podpór stałych:
 kod 1 - brak obrotu
 kod 2 - brak przemieszczenia pionowego
 kod 3 - podpora utwierdzona całkowicie

Nr węzła	kod podpory
1	2
7	2
13	2
19	2

SCHEMAT OBCIĄŻENIA NR 3a

Obciążenie siłami skupionymi:

Nr pręta	siła (kN)	odległość (m)
1	127.950	1.250
6	127.950	1.180
7	127.950	1.540
12	127.950	1.220
13	127.950	1.540
18	127.950	1.465

WYNIKI OBLICZEŃ

Przesunięcia:

Remont mostu przez rz. Bystrzyce (od strony górnej wody) w ciągu jezdni południowej ul. Krochmalnej w Lublinie

Nr węzła	obrót (rad)	ugięcie (m)
1	0.000311	0.00000
2	0.000186	0.00071
3	0.000052	0.00102
4	-.000049	0.00102
5	-.000119	0.00078
6	-.000156	0.00040
7	-.000097	0.00000
8	-.000022	-.00011
9	-.000011	-.00015
10	-.000000	-.00017
11	0.000011	-.00015
12	0.000022	-.00011
13	0.000097	0.00000
14	0.000156	0.00040
15	0.000119	0.00079
16	0.000049	0.00102
17	-.000052	0.00102
18	-.000186	0.00071
19	-.000311	0.00000

Momenty węzłowe:

Nr węzła	moment (kNm) lewy	moment (kNm) prawy
1	0.000	
2	131.588	
3	103.239	103.239
4	74.890	74.890
5	46.542	
6	18.193	
7	-206.559	-206.559
8	-9.509	
9	-9.502	
10	-9.495	
11	-9.488	
12	-9.481	-9.481
13	-206.939	-206.939
14	18.409	18.410
15	46.715	46.715
16	75.021	75.021
17	103.326	
18	131.632	131.632
19	0.000	

Sily poprzeczne:

Nr pręta	T(l) (kN)	T(p) (kN)
1	117.508	10.442
2	-10.442	10.442
3	-10.441	10.441
4	-10.441	10.441
5	-10.441	10.441
6	-10.441	138.391
7	127.952	-0.002
8	0.002	-0.002
9	0.002	-0.002
10	0.002	-0.002
11	0.002	-0.002
12	0.002	127.948
13	138.376	-10.425
14	10.425	-10.425
15	10.426	-10.426
16	10.426	-10.426
17	10.426	-10.426
18	10.426	117.524

Pionowe reakcje podporowe:

Nr węzła	reakcja (kN)
1	117.508
7	266.344
13	266.323
19	117.524

Maksymalne momenty w prętach:

Nr pręta	x(l) (m)	max M (kNm)
1	1.290	146.472
2 - 11	nie ma extremum	
12	1.174	-9.478
13 - 17	nie ma extremum	
18	1.425	146.492

SCHEMAT OBCIĄŻENIA NR 3b

Obciążenie ciągłe:

Nr pręta	obc. ciągłe q (kN/m)
1	10.000
2	10.000
3	10.000
4	10.000
5	10.000
6	10.000
7	10.000
8	10.000
9	10.000
10	10.000
11	10.000
12	10.000
13	10.000
14	10.000
15	10.000
16	10.000
17	10.000
18	10.000

WYNIKI OBLCZEN

Przemieszczenia:

Nr węzła	obrót (rad)	ugięcie (m)
1	0.000449	0.00000
2	0.000363	0.00114
3	0.000159	0.00186
4	-.000077	0.00197
5	-.000262	0.00149
6	-.000312	0.00067
7	-.000142	0.00000
8	0.000053	-.00007
9	0.000071	0.00013
10	-.000000	0.00024
11	-.000071	0.00013
12	-.000053	-.00007
13	0.000142	0.00000
14	0.000312	0.00067
15	0.000262	0.00149
16	0.000077	0.00197
17	-.000159	0.00186
18	-.000363	0.00114
19	-.000449	0.00000

Momenty węzłowe:

Remont mostu przez rz. Bystrzyce (od strony górnej wody) w ciągu jezdni południowej ul. Krochmalnej w Lublinie

Nr pręta	obc. ciągłe
	q (kN/m)
1	10.000
2	10.000
3	10.000
4	10.000
5	10.000
6	10.000

WYNIKI OBLICZEŃ

Przesunięcia:

Nr węzła	obrót (rad)	ugięcie (m)
1	0.000557	0.00000
2	0.000461	0.00142
3	0.000231	0.00238
4	-0.000050	0.00263
5	-0.00298	0.00214
6	-0.000428	0.00112
7	-0.000356	0.00000
8	-0.000174	-0.00072
9	-0.000034	-0.00100
10	0.000064	-0.00095
11	0.000119	-0.00069
12	0.000131	-0.00033
13	0.000101	-0.00000
14	0.000055	0.00021
15	0.000017	0.00030
16	-0.000013	0.00031
17	-0.000034	0.00024
18	-0.000046	0.00013
19	-0.000051	0.00000

Momenty węzłowe:

Nr węzła	moment	moment
	(kNm)	(kNm)
	lewy	prawy
1	0.000	
2	155.020	155.021
3	236.329	236.329
4	243.926	243.925
5	177.811	177.810
6	37.984	37.984
7	-175.556	-175.556
8	-138.918	
9	-102.279	
10	-65.641	-65.640
11	-29.002	-29.002
12	7.637	
13	44.276	44.276
14	36.897	36.897
15	29.517	
16	22.138	
17	14.759	
18	7.379	7.379
19	0.000	

Siły poprzeczne:

Nr pręta	T(l) (kN)	T(p) (kN)
1	70.673	-43.523
2	43.523	-16.373
3	16.373	10.777
4	-10.777	37.927
5	-37.927	65.077

6	-65.077	92.227
7	13.259	-13.259
8	13.259	-13.259
9	13.259	-13.259
10	13.259	-13.259
11	13.259	-13.259
12	13.259	-13.259
13	-2.718	2.718
14	-2.718	2.718
15	-2.718	2.718
16	-2.718	2.718
17	-2.718	2.718
18	-2.718	2.718

Pionowe reakcje podporowe:

Nr węzła	reakcja (kN)
1	70.673
7	105.486
13	-15.977
19	2.718

Maksymalne momenty w przetach:

Nr przęta	x(l) (m)	max M (kNm)
1 - 2	nie ma extremum	
3	1.629	249.732
4 - 18	nie ma extremum	

SCHEMAT OBCIĄŻENIA NR 3d

Obciażenie ciągłe:

Nr przęta	obc. ciągłe q (kN/m)
7	10.000
8	10.000
9	10.000
10	10.000
11	10.000
12	10.000

WYNIKI OBliczeń

Przemieszczenia:

Nr węzła	obrót (rad)	ugięcie (m)
1	-.000158	-.000000
2	-.000145	-.00042
3	-.000105	-.00076
4	-.000040	-.00097
5	0.000053	-.00095
6	0.000171	-.00066
7	0.000316	0.00000
8	0.000359	0.00098
9	0.000224	0.00182
10	0.000000	0.00214
11	-.000224	0.00182
12	-.000359	0.00098
13	-.000316	0.00000
14	-.000171	-.00066
15	-.000053	-.00095
16	0.000040	-.00097
17	0.000105	-.00076
18	0.000145	-.00042

19	0.000158	- .00000
----	----------	----------

Momenty węzlowe:

Nr węzła	moment (kNm)	moment (kNm)
	lewy	prawy
1	0.000	
2	-23.069	
3	-46.137	-46.137
4	-69.206	-69.206
5	-92.275	-92.275
6	-115.344	-115.344
7	-138.413	-138.413
8	52.483	52.483
9	167.021	167.020
10	205.201	205.200
11	167.021	167.021
12	52.483	52.483
13	-138.413	-138.413
14	-115.344	-115.344
15	-92.275	-92.275
16	-69.206	-69.206
17	-46.138	
18	-23.069	-23.069
19	0.000	

Siły poprzeczne:

Nr pręta	T(l) (kN)	T(p) (kN)
1	-8.497	8.497
2	-8.497	8.497
3	-8.497	8.497
4	-8.497	8.497
5	-8.497	8.497
6	-8.497	8.497
7	82.899	-55.266
8	55.266	-27.633
9	27.633	-0.000
10	0.000	27.633
11	-27.633	55.266
12	-55.266	82.899
13	8.497	-8.497
14	8.497	-8.497
15	8.497	-8.497
16	8.497	-8.497
17	8.497	-8.497
18	8.497	-8.497

Pionowe reakcje podporowe:

Nr węzła	reakcja (kN)
1	-8.497
7	91.396
13	91.396
19	-8.497

Maksymalne momenty w prętach:

Nr pręta	x(l) (m)	max M (kNm)
1 - 18	nie ma extremum	

SCHEMAT OBCIĄŻENIA NR 3e**Obciążenie ciągłe:**

Remont mostu przez rz. Bystrzyce (od strony górnej wody) w ciągu jezdni południowej ul. Krochmalnej w Lublinie

Nr pręta	obc. ciągłe
	q (kN/m)
13	10.000
14	10.000
15	10.000
16	10.000
17	10.000
18	10.000

WYNIKI OBLICZEŃ**Przesunięcia:**

Nr węzła	obrót (rad)	ugiecie (m)
1	0.000051	0.00000
2	0.000046	0.00013
3	0.000034	0.00024
4	0.000013	0.00031
5	-0.000017	0.00030
6	-0.000055	0.00021
7	-0.000101	-0.00000
8	-0.000131	-0.00033
9	-0.000119	-0.00069
10	-0.000064	-0.00095
11	0.000034	-0.00100
12	0.000174	-0.00072
13	0.000356	0.00000
14	0.000428	0.00112
15	0.000298	0.00214
16	0.000050	0.00263
17	-0.000231	0.00238
18	-0.000461	0.00142
19	-0.000557	0.00000

Momenty węzłowe:

Nr węzła	moment	moment
	(kNm)	(kNm)
	lewy	prawy
1	0.000	
2	7.379	
3	14.759	
4	22.138	
5	29.517	
6	36.897	
7	44.276	
8	7.637	
9	-29.002	
10	-65.641	-65.640
11	-102.279	-102.279
12	-138.918	-138.918
13	-175.557	-175.556
14	37.983	37.983
15	177.810	177.810
16	243.926	
17	236.330	
18	155.021	
19	0.000	

Siły poprzeczne:

Nr pręta	T(1) (kN)	T(p) (kN)
1	2.718	-2.718
2	2.718	-2.718
3	2.718	-2.718
4	2.718	-2.718
5	2.718	-2.718

6	2.718	-2.718
7	-13.259	13.259
8	-13.259	13.259
9	-13.259	13.259
10	-13.259	13.259
11	-13.259	13.259
12	-13.259	13.259
13	92.227	-65.077
14	65.077	-37.927
15	37.927	-10.777
16	10.777	16.373
17	-16.373	43.523
18	-43.523	70.673

Pionowe reakcje podporowe:

Nr węzła	reakcja (kN)
1	2.718
7	-15.977
13	105.486
19	70.673

Maksymalne momenty w przętach:

Nr przęta	x(l) (m)	max M (kNm)
1 - 15	nie ma extremum	
16	1.086	249.733
17 - 18	nie ma extremum	

SCHEMAT OBCIAZENIA NR 3f

Obciażenia węzłowe:

Nr węzła	wielkość obciążenia
4	100.000 kN - siła

Obciażenie siłami skupionymi:

Nr przęta	siła (kN)	odległość (m)
3	100.000	1.510
4	100.000	1.200
4	100.000	2.400

WYNIKI OBLICZEŃ

Przemieszczenia:

Nr węzła	obrót (rad)	ugięcie (m)
1	0.001905	0.00000
2	0.001679	0.00497
3	0.001000	0.00871
4	-.000100	0.01000
5	-.001186	0.00817
6	-.001637	0.00416
7	-.001300	0.00000
8	-.000634	-.00264
9	-.000123	-.00364
10	0.000233	-.00346
11	0.000433	-.00250
12	0.000478	-.00121
13	0.000369	-.00000
14	0.000200	0.00076
15	0.000061	0.00111
16	-.000046	0.00113

17	- .000123	0.00089
18	- .000169	0.00049
19	- .000184	0.00000

Momenty węzłowe:

Nr węzła	moment (kNm)	moment (kNm)
	lewy	prawy
1	0.000	
2	396.414	396.412
3	792.827	792.827
4	1068.743	1068.742
5	739.163	739.161
6	49.581	49.581
7	-640.001	-640.001
8	-506.433	-506.433
9	-372.865	-372.864
10	-239.297	-239.296
11	-105.728	-105.727
12	27.842	27.842
13	161.412	161.412
14	134.510	
15	107.607	
16	80.705	80.705
17	53.804	53.804
18	26.902	26.902
19	0.000	

Siły poprzeczne:

Nr pręta	T(l) (kN)	T(p) (kN)
1	146.008	-146.008
2	146.009	-146.009
3	146.010	-46.010
4	-53.989	253.989
5	-253.989	253.989
6	-253.990	253.990
7	48.336	-48.336
8	48.337	-48.337
9	48.336	-48.336
10	48.336	-48.336
11	48.337	-48.337
12	48.337	-48.337
13	-9.909	9.909
14	-9.909	9.909
15	-9.909	9.909
16	-9.908	9.908
17	-9.908	9.908
18	-9.909	9.909

Pionowe reakcje podporowe:

Nr węzła	reakcja (kN)
1	146.008
7	302.326
13	-58.246
19	9.909

Maksymalne momenty w prętach:

Nr pręta	x(l) (m)	max M (kNm)
1 - 18	nie ma extremum	

SCHEMAT OBCIĄŻENIA NR 3g

Obciążenia węzlowe:

Nr węzła	wielkość obciążenia
10	100.000 kN - siła

Obciążenie siłami skupionymi:

Nr pręta	siła (kN)	odległość (m)
9	100.000	0.360
9	100.000	1.560
10	100.000	1.200

WYNIKI OBLICZEŃ**Przesunięcia:**

Nr węzła	obrót (rad)	ugięcie (m)
1	-.000575	-.00000
2	-.000527	-.00152
3	-.000383	-.00278
4	-.000144	-.00351
5	0.000192	-.00347
6	0.000623	-.00238
7	0.001150	0.00000
8	0.001387	0.00367
9	0.000929	0.00703
10	-.000074	0.00827
11	-.000973	0.00671
12	-.001313	0.00342
13	-.001065	0.00000
14	-.000577	-.00221
15	-.000178	-.00321
16	0.000133	-.00325
17	0.000355	-.00257
18	0.000488	-.00141
19	0.000533	-.00000

Momenty węzlowe:

Nr węzła	moment (kNm)	moment (kNm)
	lewy	prawy
1	0.000	
2	-83.949	-83.948
3	-167.897	-167.897
4	-251.847	-251.846
5	-335.797	-335.797
6	-419.748	-419.748
7	-503.698	-503.697
8	95.270	95.269
9	694.236	
10	932.544	932.543
11	546.189	546.187
12	39.833	39.831
13	-466.524	-466.524
14	-388.769	-388.770
15	-311.014	-311.014
16	-233.261	-233.260
17	-155.508	-155.508
18	-77.754	-77.754
19	-0.000	

Siły poprzeczne:

Nr pręta	T(l) (kN)	T(p) (kN)
1	-30.920	30.920

2	-30.920	30.920
3	-30.921	30.921
4	-30.921	30.921
5	-30.921	30.921
6	-30.921	30.921
7	216.758	-216.758
8	216.758	-216.758
9	216.758	-16.758
10	-83.242	183.242
11	-183.242	183.242
12	-183.243	183.243
13	28.639	-28.639
14	28.639	-28.639
15	28.639	-28.639
16	28.638	-28.638
17	28.639	-28.639
18	28.639	-28.639

Pionowe reakcje podporowe:

Nr węzła	reakcja (kN)
1	-30.920
7	247.678
13	211.882
19	-28.639

Maksymalne momenty w prętach:

Nr pręta	x(l) (m)	max M (kNm)
1 - 18	nie ma extreum	

SCHEMAT OBCIĄŻENIA NR 3h

Obciążenie siłami skupionymi:

Nr pręta	siła (kN)	odległość (m)
1	100.000	0.001
1	100.000	1.200
1	100.000	2.400
2	100.000	0.885

WYNIKI OBLICZEŃ

Przemieszczenia:

Nr węzła	obrót (rad)	ugięcie (m)
1	0.001036	0.00000
2	0.000708	0.00250
3	0.000160	0.00365
4	-.000231	0.00352
5	-.000451	0.00255
6	-.000499	0.00122
7	-.000374	0.00000
8	-.000183	-.00076
9	-.000035	-.00105
10	0.000067	-.00100
11	0.000125	-.00072
12	0.000138	-.00035
13	0.000106	-.00000
14	0.000057	0.00022
15	0.000018	0.00032
16	-.000013	0.00032
17	-.000035	0.00026

18	- .000049	0.00014
19	- .000053	0.00000

Momenty węzłowe:

Nr węzła	moment (kNm)	moment lewy prawy
1	0.000	
2	480.817	
3	418.584	418.584
4	267.853	267.852
5	117.121	117.121
6	-33.610	-33.609
7	-184.341	-184.341
8	-145.869	-145.869
9	-107.397	-107.397
10	-68.925	-68.925
11	-30.453	-30.453
12	8.019	8.020
13	46.492	
14	38.743	
15	30.994	
16	23.246	
17	15.497	15.497
18	7.749	
19	0.000	

Siły poprzeczne:

Nr pręta	T(l) (kN)	T(p) (kN)
1	344.481	-44.481
2	44.481	55.519
3	-55.518	55.518
4	-55.518	55.518
5	-55.518	55.518
6	-55.518	55.518
7	13.922	-13.922
8	13.922	-13.922
9	13.922	-13.922
10	13.922	-13.922
11	13.923	-13.923
12	13.922	-13.922
13	-2.854	2.854
14	-2.854	2.854
15	-2.854	2.854
16	-2.854	2.854
17	-2.854	2.854
18	-2.854	2.854

Pionowe reakcje podporowe:

Nr węzła	reakcja (kN)
1	344.481
7	69.440
13	-16.777
19	2.854

Maksymalne momenty w prętach:

Nr pręta	x(1) (m)	max M (kNm)
1	nie ma extremum	
2	0.882	520.066
3 - 18	nie ma extremum	

SCHEMAT OBCIĘŻENIA NR 3i

Remont mostu przez rz. Bystrzyce (od strony górnej wody) w ciągu jezdni południowej ul. Krochmalnej w Lublinie

Obciążenie siłami skupionymi:

Nr pręta	siła (kN)	odległość (m)
5	100.000	1.830
6	100.000	0.320
6	100.000	1.520
6	100.000	2.715

WYNIKI OBliczeń

Przemieszczenia:

Nr węzła	obrót (rad)	ugięcie (m)
1	0.000465	0.00000
2	0.000424	0.00122
3	0.000301	0.00223
4	0.000096	0.00278
5	-0.000190	0.00267
6	-0.000542	0.00168
7	-0.000586	0.00000
8	-0.000286	-0.00119
9	-0.000055	-0.00164
10	0.000105	-0.00156
11	0.000195	-0.00113
12	0.000216	-0.00054
13	0.000166	-0.00000
14	0.000090	0.00034
15	0.000028	0.00050
16	-0.000021	0.00051
17	-0.000055	0.00040
18	-0.000076	0.00022
19	-0.000083	0.00000

Momenty węzłowe:

Nr węzła	moment (kNm) lewy	moment (kNm) prawy
1	0.000	
2	71.725	71.724
3	143.449	
4	215.174	215.174
5	286.900	286.899
6	270.126	
7	-288.659	-288.659
8	-228.416	-228.416
9	-168.173	
10	-107.930	-107.929
11	-47.686	-47.686
12	12.558	12.558
13	72.801	
14	60.667	60.668
15	48.534	
16	36.401	36.400
17	24.267	24.267
18	12.134	12.134
19	0.000	

Siły poprzeczne:

Nr pręta	T(l) (kN)	T(p) (kN)
1	26.418	-26.418
2	26.418	-26.418
3	26.418	-26.418
4	26.418	-26.418
5	26.419	73.581

6	-73.582	373.582
7	21.801	-21.801
8	21.801	-21.801
9	21.801	-21.801
10	21.801	-21.801
11	21.801	-21.801
12	21.801	-21.801
13	-4.469	4.469
14	-4.469	4.469
15	-4.469	4.469
16	-4.469	4.469
17	-4.469	4.469
18	-4.469	4.469

Pionowe reakcje podporowe:

Nr węzła	reakcja (kN)
1	26.418
7	395.383
13	-26.271
19	4.469

Maksymalne momenty w prętach:

Nr pręta	x(1) (m)	max M (kNm)
1 - 4	nie ma extremum	
5	1.833	335.052
6 - 18	nie ma extremum	

SCHEMAT OBCIĄŻENIA NR 3j**Obciażenie siłami skupionymi:**

Nr pręta	siła (kN)	odległość (m)
7	100.000	0.001
7	100.000	1.200
7	100.000	2.400
8	100.000	0.837

WYNIKI OBLICZEŃ**Przesunięcia:**

Nr węzła	obrót (rad)	ugięcie (m)
1	-.000284	-.00000
2	-.000260	-.00075
3	-.000189	-.00137
4	-.000071	-.00173
5	0.000095	-.00171
6	0.000307	-.00118
7	0.000567	0.00000
8	0.000485	0.00160
9	0.000121	0.00243
10	-.000144	0.00237
11	-.000295	0.00174
12	-.000334	0.00084
13	-.000259	0.00000
14	-.000140	-.00054
15	-.000043	-.00078
16	0.000032	-.00079
17	0.000086	-.00062
18	0.000119	-.00034
19	0.000129	-.00000

Momenty węzlowe:

Nr węzła	moment (kNm)	moment (kNm)
	lewy	prawy
1	0.000	
2	-41.394	-41.394
3	-82.788	
4	-124.183	
5	-165.577	
6	-206.973	-206.972
7	-248.367	-248.367
8	290.564	290.563
9	276.734	276.734
10	179.235	179.234
11	81.735	81.734
12	-15.766	-15.766
13	-113.266	-113.266
14	-94.388	-94.388
15	-75.510	
16	-56.633	-56.633
17	-37.755	-37.755
18	-18.878	-18.878
19	0.000	

Sily poprzeczne:

Nr pręta	T(l) (kN)	T(p) (kN)
1	-15.246	15.246
2	-15.246	15.246
3	-15.247	15.247
4	-15.247	15.247
5	-15.247	15.247
6	-15.247	15.247
7	364.716	-64.716
8	64.716	35.284
9	-35.284	35.284
10	-35.284	35.284
11	-35.284	35.284
12	-35.284	35.284
13	6.953	-6.953
14	6.953	-6.953
15	6.953	-6.953
16	6.953	-6.953
17	6.953	-6.953
18	6.953	-6.953

Pionowe reakcje podporowe:

Nr węzła	reakcja (kN)
1	-15.246
7	379.963
13	42.237
19	-6.953

Maksymalne momenty w prętach:

Nr pręta	x(l) (m)	max M (kNm)
1 - 7	nie ma extremum	
8	0.829	344.213
9 - 18	nie ma extremum	

K O N I E C O B L I C Z E Ņ

mgr inż. Andrzej Łukasiewicz
 ul. Kwiatów Polnych 7 m. 27 tel. 746-64-57
 20-843 Lublin
 Program < PRESTRESS > - wersja styczeń 1998r.

 * Wymiarowanie dźwigara sprężonego *
 * dwukrotnie zespolonego z płytą pomostu i nadbetonem *
 * metoda obliczeń wg. PN-91/S-10042 *

Nazwa obiektu: Most przez rz. Bystrzyce w Lublinie
 Nazwa elementu: Belka strunobetonowa zespolona z nadbetonem
 Dane przygotował: A. Łukasiewicz
 Data obliczeń: 07.2005

D A N E P O C Z A T K O W E - węzeł nr 1

Charakterystyka przekroju podstawowego dźwigara głównego:

Nr poziomu	wys. położenia	szer. powyżej	szer. poniżej
	< m >	< m >	< m >
7	0.900	0.000	1.380
6	0.780	1.380	1.380
5	0.770	0.300	0.300
4	0.690	0.140	0.140
3	0.290	0.140	0.140
2	0.120	0.480	0.480
1	0.000	0.480	0.000

Moduł sprężystości dźwigara głównego $E_0 = 37800 \text{ MPa}$

Jedn. odkształcenie skurczowe w belce $\epsilon_s = 0.00032$

Wsp. pełzania w chwili sprężenia $f_p = 3.20$

Wsp. pełzania w chwili zabet. płyt $f_p = 2.10$

Wytrz. charakt. betonu na rozc. R(btk0.05) = 2.300 MPa

Położenie ciegiem sprężających typu 1 :

Nr poziomu	wys. położenia	liczba ciegiem
	< m >	< szt >
3	0.510	28
2	0.110	4
1	0.060	32

Przekrój pojed. ciegnia sprężającego $a_v(1) = 0.356 \text{ cm}^2$

Moduł sprężystości stali sprężającej $E_s = 180000 \text{ MPa}$

Charakt. siła zrywająca 1 cięgno $N_v(1) = 0.0670 \text{ MN}$

Charakterystyka płyty zespolonej (1):

Nr poziomu	wys. położenia	szer. powyżej	szer. poniżej
	< m >	< m >	< m >
2	0.900	0.000	0.120
1	0.780	0.120	0.000

Moduł sprężystości płyty (1) $E_b = 30000 \text{ MPa}$

Wsp. pełzania betonu $f_p = 2.10$

Różnica wsp.skurcza między płytą a belką: $\delta(s) = 0.000160$

Charakterystyka nadbetonu zespolonego (2):

Nr poziomu	wys. położenia	szer. powyżej	szer. poniżej
	< m >	< m >	< m >
2	1.050	0.000	1.500
1	0.900	1.500	0.000

Moduł sprężystości nadbetonu (2) $E_b = 34600 \text{ MPa}$

Wsp. pełzania betonu $f_p = 2.50$

Różnica wsp.skurcza między nadbetonem a belką: $\delta(s) = 0.000130$

O B C I A Ż E N I A

Moment zginający	Sila poprzeczna	Wsp. obciążenia
< MNm >	< MN >	
- c.własny belki	0.00000	0.08120 1.200

- c.stał przed zespoleniem	0.00000	0.00544	1.200
- c.stał po 1 zespoleniu	0.00000	-0.08664	1.200
- c.stał po 2 zespoleniu	0.00000	0.15153	1.200
- obc. ruchome	0.00000	0.10213	1.500

W Y N I K I O B L I C Z E N

Obliczone charakterystyki przekroju sprężonego zespalonego z płytą:

A. Dla obciążen krótkotrwałych:

	n =	Pole przekroju	Położenie środka ciężkości	Moment bezwładn.
	Es/Eb	poprzeczn.		
		< m2 >	< m >	< m4 >
0 - belka + zbroj. zwykłe	7.000	0.357900	0.557	0.0369583
1 - belka osłabiona kanałami	1.000	0.357900	0.557	0.0369583
2 - belka z cięgnami spręż.	6.000	0.371570	0.546	0.0387881
3 - belka z płytą zesp. (1)	0.794	0.382999	0.555	0.0397582
4 - belka z płytą zesp. (1) i (2)	0.915	0.588951	0.702	0.0637621
5 - belka+zbr.(1) - mom.ujemny	7.000	0.000000	0.000	0.0000000
6 - belka+zbr.(1+2) - mom.ujemny	7.000	0.000000	0.000	0.0000000
Mimośród siły sprężającej	e =	0.2863 m		

B. Dla obciążen długotrwałych:

	n =	Pole przekroju	Położenie środka ciężkości	Moment bezwładn.
	Es/Eb	poprzeczn.		
		< m2 >	< m >	< m4 >
0 - belka + zbroj. zwykłe	20.000	0.357900	0.557	0.0369583
1 - belka osłabiona kanałami	1.000	0.357900	0.557	0.0369583
2 - belka z cięgnami spręż.	18.000	0.398911	0.527	0.0422085
3 - belka z płytą zesp. (1)	0.794	0.410340	0.535	0.0433129
4 - belka z płytą zesp. (1) i (2)	0.811	0.592755	0.671	0.0680569
5 - belka+zbr.(1) - mom.ujemny	20.000	0.000000	0.000	0.0000000
6 - belka+zbr.(1+2) - mom.ujemny	20.000	0.000000	0.000	0.0000000
Mimośród siły sprężającej	e =	0.2667 m		

N A P R E Ź. C H A R A K T. W P R Z E K R O J U Z E S P O L O N Y M**< I > - Naprężenia w stanie początkowym**

N A P R E Ź E N I A					
Nr poz.	Wysokość położenia	Normalne	Ścinające	Główne rozci.	Zastępcze
	< m >	< MPa >	< MPa >	< MPa >	< MPa >
Naprężenia od sprężenia po stratach doraźnych - t = 0					
W dźwigarze głównym					
7 0.900	-0.184	0.000	0.000		
6 0.780	-2.210	0.000	0.000		
5 0.770	-2.379	0.000	0.000		
4 0.690	-3.730	0.000	0.000		
3 0.290	-10.483	0.000	0.000		
2 0.120	-13.353	0.000	0.000		
1 0.000	-15.379	0.000	0.000		
Naprężenia od ciężaru własnego belki - t = tn					
W dźwigarze głównym					
7 0.900	0.000	0.000	0.000		
6 0.780	0.000	0.072	0.000		
5 0.770	0.000	0.346	0.000		
4 0.690	0.000	0.792	0.000		
3 0.290	0.000	0.760	0.000		
2 0.120	0.000	0.150	0.000		

1 0.000	0.000	0.000	0.000	
Razem - naprężenia w stanie początkowym				
<hr/>				
W dźwigarze głównym				
7 0.900	-0.184	0.000	0.000	
6 0.780	-2.210	0.072	0.002	
5 0.770	-2.379	0.346	0.049	
4 0.690	-3.730	0.792	0.161	
3 0.290	-10.483	0.760	0.055	
2 0.120	-13.353	0.150	0.002	
1 0.000	-15.379	0.000	-0.000	
<hr/>				

< II > - Naprężenia w stanie bezużytkowym

		N A P R E Ź E N I A			
Nr	Wysokość	Normalne	Ścinające	Główne rozcięcia	Zastępcze
poz.	położenia	< m >	< MPa >	< MPa >	< MPa >
Naprężenia od strat spowodowanych relaksacją stali - t = tn					
<hr/>					
W dźwigarze głównym					
7 0.900	0.013	0.000	0.000		
6 0.780	0.080	0.000	0.000		
5 0.770	0.086	0.000	0.000		
4 0.690	0.130	0.000	0.000		
3 0.290	0.354	0.000	0.000		
2 0.120	0.449	0.000	0.000		
1 0.000	0.516	0.000	0.000		
Naprężenia od ciężaru stałego przed (1) zespoleniem - t = tn					
<hr/>					
W dźwigarze głównym					
7 0.900	0.000	0.000	0.000		
6 0.780	0.000	0.005	0.000		
5 0.770	0.000	0.023	0.000		
4 0.690	0.000	0.053	0.000		
3 0.290	0.000	0.051	0.000		
2 0.120	0.000	0.010	0.000		
1 0.000	0.000	0.000	0.000		
Naprężenia od skurczu i pełzania betonu w belce - t = tn					
<hr/>					
W dźwigarze głównym					
7 0.900	0.069	0.000	0.000		
6 0.780	0.419	0.000	0.000		
5 0.770	0.449	0.000	0.000		
4 0.690	0.682	0.000	0.000		
3 0.290	1.852	0.000	0.000		
2 0.120	2.349	0.000	0.000		
1 0.000	2.700	0.000	0.000		
Razem - naprężenia w stanie bezużytkowym					
<hr/>					
W dźwigarze głównym					
7 0.900	-0.103	0.000	0.000		
6 0.780	-1.711	0.077	0.003		
5 0.770	-1.845	0.369	0.071		
4 0.690	-2.917	0.845	0.227		
3 0.290	-8.277	0.811	0.079		
2 0.120	-10.556	0.160	0.002		
1 0.000	-12.164	0.000	0.000		
<hr/>					

< III > - Naprężenia w stanie bezużytkowym po (1) zespoleniu

		N A P R E Ź E N I A			
Nr	Wysokość	Normalne	Ścinające	Główne rozcięcia	Zastępcze
poz.	położenia	< m >	< MPa >	< MPa >	< MPa >
<hr/>					

Napreżenia od skurczu i pełzania płyty zesp. (1) - t = tn					
<hr/>					
W płytce zespalonej (1)					
2 0.900	1.587	0.000	0.000	0.000	
1 0.780	1.600	0.000	0.000	0.000	
W dźwigarze głównym					
7 0.900	-0.085	0.000	0.000	0.000	
6 0.780	-0.071	0.000	0.000	0.000	
5 0.770	-0.070	0.000	0.000	0.000	
4 0.690	-0.061	0.000	0.000	0.000	
3 0.290	-0.016	0.000	0.000	0.000	
2 0.120	0.004	0.000	0.000	0.000	
1 0.000	0.017	0.000	0.000	0.000	
Napreżenia od obc. stałego po (1) zespoleniu - t = tn					
<hr/>					
W płytce zespalonej (1)					
2 0.900	0.000	0.000	0.000	0.000	
1 0.780	0.000	0.000	0.000	0.000	
W dźwigarze głównym					
7 0.900	0.000	-0.000	0.000	0.000	
6 0.780	0.000	-0.078	0.000	0.000	
5 0.770	0.000	-0.373	0.000	0.000	
4 0.690	0.000	-0.849	0.000	0.000	
3 0.290	0.000	-0.807	0.000	0.000	
2 0.120	0.000	-0.159	0.000	0.000	
1 0.000	0.000	0.000	0.000	0.000	
Razem - napreżenia w stanie bezużytkowym po (1) zespoleniu					
<hr/>					
W płytce zespalonej (1)					
2 0.900	1.587	0.000	1.587	1.587	
1 0.780	1.600	0.000	1.600	1.600	
W dźwigarze głównym					
7 0.900	-0.187	0.000	0.000	0.000	
6 0.780	-1.782	-0.001	0.000	0.000	
5 0.770	-1.915	-0.004	0.000	0.000	
4 0.690	-2.978	-0.004	0.000	0.000	
3 0.290	-8.293	0.004	0.000	0.000	
2 0.120	-10.552	0.001	0.000	0.000	
1 0.000	-12.146	0.000	0.000	0.000	

< IV > - Napreżenia w stanie bezużytkowym po (2) zespoleniu

N A P R E Ź E N I A					
Nr poz.	Wysokość położenia	Normalne	Ścinające	Główne rozci	Zastępcze
< m >	< MPa >	< MPa >	< MPa >	< MPa >	< MPa >
Napreżenia od skurczu i pełzania nadbetonu (2) - t = tn					
<hr/>					
W nadbetonie zespolonym (2)					
2 1.050	0.622	0.000	0.000	0.000	
1 0.900	0.779	0.000	0.000	0.000	
W płytce zespalonej (1)					
2 0.900	-0.764	0.000	0.000	0.000	
1 0.780	-0.613	0.000	0.000	0.000	
W dźwigarze głównym					
7 0.900	-0.711	0.000	0.000	0.000	
6 0.780	-0.570	0.000	0.000	0.000	
5 0.770	-0.558	0.000	0.000	0.000	
4 0.690	-0.465	0.000	0.000	0.000	
3 0.290	0.004	0.000	0.000	0.000	
2 0.120	0.204	0.000	0.000	0.000	
1 0.000	0.344	0.000	0.000	0.000	
Napreżenia od obc. stałego po (2) zespoleniu - t = tn					
<hr/>					
W nadbetonie zespolonym (2)					
2 1.050	0.000	0.000	0.000	0.000	
1 0.900	0.000	0.082	0.000	0.000	
W płytce zespalonej (1)					

2 0.900	0.000	0.000	0.000	
1 0.780	0.000	0.000	0.000	
W dźwigarze głównym				
7 0.900	0.000	0.090	0.000	
6 0.780	0.000	0.138	0.000	
5 0.770	0.000	0.641	0.000	
4 0.690	0.000	1.392	0.000	
3 0.290	0.000	1.185	0.000	
2 0.120	0.000	0.228	0.000	
1 0.000	0.000	0.000	0.000	
Razem - naprężenia w stanie bezużytkowym po (2) zespoleniu				
<hr/>				
W nadbetonie zespolonym (2)				
2 1.050	0.622	0.000	0.622	
1 0.900	0.779	0.082	0.787	
W płycie zespolonej (1)				
2 0.900	0.822	0.000	0.822	
1 0.780	0.987	0.000	0.987	
W dźwigarze głównym				
7 0.900	-0.898	0.090	0.009	
6 0.780	-2.352	0.137	0.008	
5 0.770	-2.473	0.637	0.155	
4 0.690	-3.443	1.387	0.489	
3 0.290	-8.289	1.189	0.167	
2 0.120	-10.348	0.229	0.005	
1 0.000	-11.802	0.000	0.000	
<hr/>				

< V > - Naprężenia w stanie użytkowym

Nr poz.	Wysokość położenia	N A P R E Ź E N I A			
		Normalne	Ścinające	Główne rozcięcia	Zastępcze
< m >	< MPa >	< MPa >	< MPa >	< MPa >	< MPa >
Naprężenia od obciążenia ruchomego - t = t0					
<hr/>					
W nadbetonie zespolonym (2)					
2 1.050	0.000	-0.000	0.000		
1 0.900	0.000	0.060	0.000		
W płycie zespolonej (1)					
2 0.900	0.000	0.000	0.000		
1 0.780	0.000	0.000	0.000		
W dźwigarze głównym					
7 0.900	0.000	0.065	0.000		
6 0.780	0.000	0.094	0.000		
5 0.770	0.000	0.434	0.000		
4 0.690	0.000	0.937	0.000		
3 0.290	0.000	0.788	0.000		
2 0.120	0.000	0.140	0.000		
1 0.000	0.000	0.000	0.000		
Razem - naprężenia w stanie użytkowym					
<hr/>					
W nadbetonie zespolonym (2)					
2 1.050	0.622	-0.000	0.622		
1 0.900	0.779	0.142	0.804		
W płycie zespolonej (1)					
2 0.900	0.822	0.000	0.822		
1 0.780	0.987	0.000	0.987		
W dźwigarze głównym					
7 0.900	-0.898	0.155	0.026		
6 0.780	-2.352	0.231	0.022		
5 0.770	-2.473	1.071	0.400		
4 0.690	-3.443	2.324	1.171		
3 0.290	-8.289	1.977	0.447		
2 0.120	-10.348	0.369	0.013		
1 0.000	-11.802	0.000	0.000		
<hr/>					

Oznaczenia:

znak (-) - naprężenia normalne ściskające

znak (+) - naprężenia normalne rozciągające
 Naprężenia ścinające obliczone są dla rzeczywistej szerokości przekroju na danym poziomie obliczeniowym
 $t = t_0$ - obr. krótkotrwałe
 $t = t_n$ - obr. długotrwałe

S I Ł A S P R E Ż A J A C A I S T R A T Y

Początkową wartość siły sprężającej przed zakotwieniem przyjęto jako 65.00% nośności charakterystycznej cięgien
 $P_{vk} = 4.2880 \text{ MN}$ - nośność charakterystyczna cięgien
 $P_0 = 2.5618 \text{ MN}$ - siła przed zakotwieniem
 $P_{01} = 2.2873 \text{ MN}$ - siła po zakotwieniu z uwzgl. strat doraźnych
 $P_{0dop} = 2.7872 \text{ MN}$ - dopuszczalna siła sprężająca w stadium początkowym

$nv(3) = 0.1230 \text{ MN}$ - straty od różn. temp. cięgien i urządzeń oporowych
 $nv(4) = 0.1515 \text{ MN}$ - straty od odkształcenia sprężystego belki
 $nv(5) = 0.0884 \text{ MN}$ - straty od relaksacji stali sprężającej
 $nv(6) = 0.4627 \text{ MN}$ - straty od skurcza i pełzania betonu w belce
 $nv(7) = 0.0069 \text{ MN}$ - straty od skurcza płyty zesp.(1)
 $nv(8) = 0.1374 \text{ MN}$ - straty od skurcza nadbetonu (2)

$P_v = 1.5919 \text{ MN}$ - siła sprężająca z uwzgl. wszystkich strat
 $P_{vdop} = 2.3584 \text{ MN}$ - dopuszczalna siła sprężająca w stadium użytkowym
 Sumaryczne straty siły sprężającej - 37.86% siły początkowej
 Sumaryczny naciąg trwały splotów - 40.39% nośności charakterystycznej
 Dopuszczalny naciąg trwały splotów - 55.00% nośności charakterystycznej

Straty siły sprężającej obliczono przy następujących założeniach:

Uwzględniono zmniejszenie siły $nv(0)$ w strefie kotwienia obliczonej wg PN-84/B-03264 p.8.2.3, gdzie:
 - odległość przekroju oblicz. od czoła belki $lx = 0.250 \text{ m}$
 - oblicz. długość strefy kotwienia $lv = 0.440 \text{ m}$
 - wsp. delta(v) wg. p.8.2.3 PN-84/B-03264 $dv = 35.000$
 - średnicą cięgna sprężającego $d = 7.800 \text{ mm}$
 - wytrzymałość betonu w chwili kotwienia $Rs = 40.000 \text{ MPa}$

Straty $nv(3)$:

- różnica temp. cięgien i urządzeń oporowych $dt = 60 \text{ stopni C}$

Straty $nv(4)$:

- wsp. sprężystości belki w chwili kotwienia $E_b = 34600 \text{ MPa}$

Straty $nv(5)$:

- w pełnej wysokości wg. 5.6.2 PN-91/S-10042

Straty $nv(6)$:

- jedn. odkształcenie skurczowe w belce $es = 0.00032$

- wsp. pełzania betonu w belce $f_p = 3.20$

N A P R E Ź. O B L I C Z. W P R Z E K R O J U Z E S P O L O N Y M

N A P R E Ź E N I A					
Nr poz.	Wysokość położenia	Normalne	Ścinające	Główne rozcięcia	Zastępcze
< m >	< MPa >	< MPa >	< MPa >	< MPa >	< MPa >
Razem - naprężenia w stanie początkowym					
W dźwigarze głównym					
7	0.900	-0.184	0.000	0.000	
6	0.780	-2.210	0.087	0.003	
5	0.770	-2.379	0.415	0.070	
4	0.690	-3.730	0.951	0.228	
3	0.290	-10.483	0.912	0.079	
2	0.120	-13.353	0.180	0.002	
1	0.000	-15.379	0.000	-0.000	
Razem - naprężenia w stanie bezużytkowym					
W dźwigarze głównym					

7 0.900	-0.103	0.000	0.000	
6 0.780	-1.711	0.093	0.005	
5 0.770	-1.845	0.443	0.101	
4 0.690	-2.917	1.014	0.318	
3 0.290	-8.277	0.973	0.113	
2 0.120	-10.556	0.193	0.004	
1 0.000	-12.164	0.000	0.000	
<hr/>				
Razem - naprężenia w stanie bezużytkowym po (1) zespoleniu				
<hr/>				
W płycie zespolonej (1)				
2 0.900	1.904	0.000	1.904	
1 0.780	1.920	0.000	1.920	
W dźwigarze głównym				
7 0.900	-0.204	0.000	0.000	
6 0.780	-1.796	-0.001	0.000	
5 0.770	-1.929	-0.004	0.000	
4 0.690	-2.990	-0.005	0.000	
3 0.290	-8.296	0.005	0.000	
2 0.120	-10.551	0.001	0.000	
1 0.000	-12.143	0.000	-0.000	
<hr/>				
Razem - naprężenia w stanie bezużytkowym po (2) zespoleniu				
<hr/>				
W nadbetonie zespolonym (2)				
2 1.050	0.746	0.000	0.746	
1 0.900	0.934	0.099	0.945	
W płycie zespolonej (1)				
2 0.900	0.987	0.000	0.987	
1 0.780	1.184	0.000	1.184	
W dźwigarze głównym				
7 0.900	-1.058	0.107	0.011	
6 0.780	-2.480	0.164	0.011	
5 0.770	-2.599	0.765	0.208	
4 0.690	-3.548	1.665	0.659	
3 0.290	-8.291	1.427	0.239	
2 0.120	-10.307	0.275	0.007	
1 0.000	-11.730	0.000	0.000	
<hr/>				
Razem - naprężenia w stanie użytkowym				
<hr/>				
W nadbetonie zespolonym (2)				
2 1.050	0.746	-0.000	0.746	
1 0.900	0.934	0.189	0.971	
W płycie zespolonej (1)				
2 0.900	0.987	0.000	0.987	
1 0.780	1.184	0.000	1.184	
W dźwigarze głównym				
7 0.900	-1.058	0.205	0.038	
6 0.780	-2.480	0.305	0.037	
5 0.770	-2.599	1.416	0.622	
4 0.690	-3.548	3.070	1.772	
3 0.290	-8.291	2.609	0.752	
2 0.120	-10.307	0.484	0.023	
1 0.000	-11.730	0.000	0.000	
<hr/>				

Oznaczenia:

znak (-) - naprężenia normalne ściskające
 znak (+) - naprężenia normalne rozciągające
 Naprężenia ścinające obliczone są dla rzeczywistej
 szerokości przekroju na danym poziomie obliczeniowym
 $t = t_0$ - obc. krótkotrwałe
 $t = t_n$ - obc. długotrwałe

KONIEC OBLCZEN

* Wymiarowanie dźwigara sprężonego *
* dwukrotnie zespolonego z płytą pomostru i nadbetonem *
* metoda obliczeń wg. PN-91/S-10042 *

Nazwa obiektu: Most przez rz. Bystrzyce w Lublinie
Nazwa elementu: Belka strumobetonowa zespolona z nadbetonem
Dane przygotował: A. Łukasiewicz
Data obliczeń: 07.2005

DANE POCZĄTKOWE - SCHEMAT N R węzeł nr 1'

Charakterystyka przekroju podstawowego dźwigara głównego:

Nr poziomu	wys. położenia	szer. powyżej	szer. poniżej
	< m >	< m >	< m >
7	0.900	0.000	1.380
6	0.780	1.380	1.380
5	0.770	0.300	0.300
4	0.690	0.140	0.140
3	0.290	0.140	0.140
2	0.120	0.480	0.480
1	0.000	0.480	0.000

Moduł sprężystości dźwigara głównego E0 = 37800 MPa

Jedn. odkształcenie skurczowe w belce es = 0.00032

Wsp. pełzania w chwili sprężenia fp = 3.20

Wsp. pełzania w chwili zabet. płyty fp = 2.10

Wytrz. charakt. betonu na rozc. R(btk0.05) = 2.300 MPa

Położenie cięgów sprężających typu 1 :

Nr poziomu wys. położenia liczba cięgów

	< m >	< szt >
3	0.440	28
2	0.110	4
1	0.060	32

Przekrój pojed. cięgna sprężającego av(1) = 0.356 cm²

Moduł sprężystości stali sprężającej Es = 180000 MPa

Charakt. siła zrywająca 1 cięgno Nv(1) = 0.0670 MN

Charakterystyka płyty zespolonej (1):

Nr poziomu	wys. położenia	szer. powyżej	szer. poniżej
	< m >	< m >	< m >
2	0.900	0.000	0.120
1	0.780	0.120	0.000

Moduł sprężystości płyty (1) Eb = 30000 MPa

Wsp. pełzania betonu fp = 2.10

Różnica wsp.skurczu między płytą a belką: delta(s) = 0.000160

Charakterystyka nadbetonu zespolonego (2):

Nr poziomu	wys. położenia	szer. powyżej	szer. poniżej
	< m >	< m >	< m >
2	1.040	0.000	1.500
1	0.900	1.500	0.000

Moduł sprężystości nadbetonu (2) Eb = 34600 MPa

Wsp. pełzania betonu fp = 2.50

Różnica wsp.skurczu między nadbetonem a belką: delta(s) = 0.000130

O B C I A Ż E N I A

	Moment zginający	Siła poprzeczna	Wsp. obciążenia
	< MNm >	< MN >	
- c.własny belki	0.09400	0.06900	1.200
- c.stał przed zespoleniem	0.00650	0.00500	1.200
- c.stał po 1 zespoleniu	-0.11250	-0.09300	1.200
- c.stał po 2 zespoleniu	0.09250	0.14360	1.200
- obc. ruchome	0.11900	0.08860	1.500

W Y N I K I O B L I C Z E N

Obliczone charakterystyki przekroju sprężonego zespolonego z płytą:

A. Dla obciążen krótkotrwałych:

	n = Es/Eb	Pole przekroju poprzeczn.	Położenie środka ciężkości	Moment bezwładn.
		< m ² >	< m >	< m ⁴ >
0 - belka + zbroj. zwykłe	7.000	0.357900	0.557	0.0369583
1 - belka osłabiona kanałami	1.000	0.357900	0.557	0.0369583
2 - belka z cięgnami spręż.	6.000	0.371570	0.545	0.0388473
3 - belka z płytą zesp.(1)	0.794	0.382999	0.554	0.0398248
4 - belka z płytą zesp.(1) i (2)	0.915	0.575221	0.693	0.0622901
Mimośród siły sprężającej	e =	0.3158 m		

B. Dla obciążen długotrwałych:

	n = Es/Eb	Pole przekroju poprzeczn.	Położenie środka ciężkości	Moment bezwładn.
		< m ² >	< m >	< m ⁴ >
0 - belka + zbroj. zwykłe	20.000	0.357900	0.557	0.0369583
1 - belka osłabiona kanałami	1.000	0.357900	0.557	0.0369583
2 - belka z cięgnami spręż.	18.000	0.398911	0.524	0.0423344
3 - belka z płytą zesp.(1)	0.794	0.410340	0.532	0.0434608
4 - belka z płytą zesp.(1) i (2)	0.811	0.580594	0.661	0.0667864
Mimośród siły sprężającej	e =	0.2942 m		

N A P R E Ź. C H A R A K T. W P R Z E K R O J U Z E S P O L O N Y M

< I > - Naprężenia w stanie początkowym

N A P R E Ź E N I A					
Nr poz.	Wysokość położenia	Normalne	Ścinające	Główne rozcięcia	Zastępcze
	< m >	< MPa >	< MPa >	< MPa >	< MPa >
Naprężenia od sprężania po stratach doraźnych - t = 0					
W dźwigarze głównym					
7 0.900	0.480	0.000	0.000		
6 0.780	-1.943	0.000	0.000		
5 0.770	-2.145	0.000	0.000		
4 0.690	-3.760	0.000	0.000		
3 0.290	-11.837	0.000	0.000		
2 0.120	-15.270	0.000	0.000		
1 0.000	-17.693	0.000	0.000		
Naprężenia od ciężaru własnego belki - t = tn					
W dźwigarze głównym					
7 0.900	-0.836	-0.000	0.000		
6 0.780	-0.569	0.062	0.000		
5 0.770	-0.547	0.296	0.000		
4 0.690	-0.370	0.678	0.000		
3 0.290	0.519	0.639	0.000		
2 0.120	0.896	0.127	0.000		
1 0.000	1.162	0.000	0.000		
Razem - naprężenia w stanie początkowym					
W dźwigarze głównym					
7 0.900	-0.356	-0.000	0.000		
6 0.780	-2.513	0.062	0.002		
5 0.770	-2.692	0.296	0.032		
4 0.690	-4.130	0.678	0.108		
3 0.290	-11.319	0.639	0.036		

2 0.120	-14.374	0.127	0.001	
1 0.000	-16.530	0.000	-0.000	

< II > - Naprężenia w stanie bezużytkowym

N A P R E Ź E N I A					
Nr poz.	Wysokość położenia	Normalne	Ścinające	Główne rozci.	Zastępcze
	< m >	< MPa >	< MPa >	< MPa >	< MPa >
Naprężenia od strat spowodowanych relaksacją stali - t = tn					
W dźwigarze głównym					
7 0.900		-0.010	0.000	0.000	
6 0.780		0.070	0.000	0.000	
5 0.770		0.076	0.000	0.000	
4 0.690		0.130	0.000	0.000	
3 0.290		0.397	0.000	0.000	
2 0.120		0.511	0.000	0.000	
1 0.000		0.591	0.000	0.000	
Naprężenia od ciężaru stałego przed (1) zespoleniem - t = tn					
W dźwigarze głównym					
7 0.900		-0.058	-0.000	0.000	
6 0.780		-0.039	0.004	0.000	
5 0.770		-0.038	0.021	0.000	
4 0.690		-0.026	0.049	0.000	
3 0.290		0.036	0.046	0.000	
2 0.120		0.062	0.009	0.000	
1 0.000		0.080	0.000	0.000	
Naprężenia od skurczu i pełzania betonu w belce - t = tn					
W dźwigarze głównym					
7 0.900		-0.054	0.000	0.000	
6 0.780		0.360	0.000	0.000	
5 0.770		0.395	0.000	0.000	
4 0.690		0.671	0.000	0.000	
3 0.290		2.051	0.000	0.000	
2 0.120		2.638	0.000	0.000	
1 0.000		3.052	0.000	0.000	
Razem - naprężenia w stanie bezużytkowym					
W dźwigarze głównym					
7 0.900		-0.479	-0.000	0.000	
6 0.780		-2.122	0.066	0.002	
5 0.770		-2.259	0.318	0.044	
4 0.690		-3.355	0.727	0.151	
3 0.290		-8.835	0.685	0.053	
2 0.120		-11.163	0.136	0.002	
1 0.000		-12.807	0.000	0.000	

< III > - Naprężenia w stanie bezużytkowym po (1) zespoleniu

N A P R E Ź E N I A					
Nr poz.	Wysokość położenia	Normalne	Ścinające	Główne rozci.	Zastępcze
	< m >	< MPa >	< MPa >	< MPa >	< MPa >
Naprężenia od skurczu i pełzania płyty zesp. (1) - t = tn					
W płycie zespolonej (1)					
2 0.900		1.587	0.000	0.000	
1 0.780		1.600	0.000	0.000	
W dźwigarze głównym					
7 0.900		-0.085	0.000	0.000	
6 0.780		-0.071	0.000	0.000	
5 0.770		-0.070	0.000	0.000	

4 0.690	-0.061	0.000	0.000	
3 0.290	-0.016	0.000	0.000	
2 0.120	0.003	0.000	0.000	
1 0.000	0.017	0.000	0.000	
Naprężenia od obc. stałego po (1) zespoleniu - t = tn				
<hr/>				
W płycie zespolonej (1)				
2 0.900	0.755	0.000	0.000	
1 0.780	0.509	0.000	0.000	
W dźwigarze głównym				
7 0.900	0.952	-0.000	0.000	
6 0.780	0.641	-0.084	0.000	
5 0.770	0.615	-0.403	0.000	
4 0.690	0.408	-0.918	0.000	
3 0.290	-0.627	-0.857	0.000	
2 0.120	-1.067	-0.169	0.000	
1 0.000	-1.378	0.000	0.000	
Razem - naprężenia w stanie bezużytkowym po (1) zespoleniu				
<hr/>				
W płycie zespolonej (1)				
2 0.900	2.342	0.000	2.342	
1 0.780	2.109	0.000	2.109	
W dźwigarze głównym				
7 0.900	0.388	-0.000	0.388	
6 0.780	-1.553	-0.018	0.000	
5 0.770	-1.714	-0.085	0.004	
4 0.690	-3.008	-0.191	0.012	
3 0.290	-9.478	-0.172	0.003	
2 0.120	-12.227	-0.034	0.000	
1 0.000	-14.168	0.000	0.000	
<hr/>				

< IV > - Naprężenia w stanie bezużytkowym po (2) zespoleniu

		N A P R E Ź E N I A			
Nr poz.	Wysokość położenia	Normalne	Ścinające	Główne rozci	Zastępcze
	< m >	< MPa >	< MPa >	< MPa >	< MPa >
<hr/>					
Naprężenia od skurczu i pełzania nadbetonu (2) - t = tn					
<hr/>					
W nadbetonie zespolonym (2)					
2 1.040	0.657	0.000	0.000		
1 0.900	0.797	0.000	0.000		
W płycie zespolonej (1)					
2 0.900	-0.742	0.000	0.000		
1 0.780	-0.596	0.000	0.000		
W dźwigarze głównym					
7 0.900	-0.690	0.000	0.000		
6 0.780	-0.554	0.000	0.000		
5 0.770	-0.543	0.000	0.000		
4 0.690	-0.453	0.000	0.000		
3 0.290	-0.001	0.000	0.000		
2 0.120	0.191	0.000	0.000		
1 0.000	0.326	0.000	0.000		
Naprężenia od obc. stałego po (2) zespoleniu - t = tn					
<hr/>					
W nadbetonie zespolonym (2)					
2 1.040	-0.481	0.000	0.000		
1 0.900	-0.303	0.075	0.000		
W płycie zespolonej (1)					
2 0.900	-0.263	0.000	0.000		
1 0.780	-0.131	0.000	0.000		
W dźwigarze głównym					
7 0.900	-0.331	0.082	0.000		
6 0.780	-0.165	0.132	0.000		
5 0.770	-0.151	0.612	0.000		
4 0.690	-0.041	1.331	0.000		
3 0.290	0.513	1.124	0.000		
2 0.120	0.749	0.216	0.000		

1 0.000	0.915	0.000	0.000	
Razem - naprężenia w stanie bezużytkowym po (2) zespoleniu				
<hr/>				
W nadbetonie zespolonym (2)				
2 1.040	0.176	0.000	0.176	
1 0.900	0.494	0.075	0.505	
W płytce zespolonej (1)				
2 0.900	1.337	0.000	1.337	
1 0.780	1.382	0.000	1.382	
W dźwigarze głównym				
7 0.900	-0.633	0.082	0.010	
6 0.780	-2.272	0.113	0.006	
5 0.770	-2.409	0.527	0.110	
4 0.690	-3.502	1.140	0.339	
3 0.290	-8.966	0.952	0.100	
2 0.120	-11.288	0.183	0.003	
1 0.000	-12.927	0.000	0.000	

< V > - Naprężenia w stanie użytkowym

Nr poz.	Wysokość położenia	N A P R E Ź E N I A				
		Normalne	Ścinające	Główne rozci	Zastępcze	
		< m >	< MPa >	< MPa >	< MPa >	
<hr/>						
Naprężenia od obciążenia ruchomego - t = t0						
<hr/>						
W nadbetonie zespolonym (2)						
2 1.040	-0.607	0.000	0.000			
1 0.900	-0.362	0.050	0.000			
W płytce zespolonej (1)						
2 0.900	-0.314	0.000	0.000			
1 0.780	-0.132	0.000	0.000			
W dźwigarze głównym						
7 0.900	-0.395	0.055	0.000			
6 0.780	-0.166	0.082	0.000			
5 0.770	-0.147	0.379	0.000			
4 0.690	0.006	0.820	0.000			
3 0.290	0.770	0.689	0.000			
2 0.120	1.095	0.122	0.000			
1 0.000	1.324	0.000	0.000			
Razem - naprężenia w stanie użytkowym						
<hr/>						
W nadbetonie zespolonym (2)						
2 1.040	-0.431	0.000	0.000			
1 0.900	0.132	0.126	0.208			
W płytce zespolonej (1)						
2 0.900	1.023	0.000	1.023			
1 0.780	1.250	0.000	1.250			
W dźwigarze głównym						
7 0.900	-1.028	0.137	0.018			
6 0.780	-2.438	0.195	0.016			
5 0.770	-2.556	0.906	0.288			
4 0.690	-3.496	1.960	0.878			
3 0.290	-8.196	1.641	0.316			
2 0.120	-10.193	0.305	0.009			
1 0.000	-11.603	0.000	0.000			

Oznaczenia:

znak (-) - naprężenia normalne ściskające

znak (+) - naprężenia normalne rozciągające

Naprężenia ścinające obliczone są dla rzeczywistej

szerokości przekroju na danym poziomie obliczeniowym

t = t0 - obc. krótkotrwałe

t = tn - obc. długotrwałe

S I Ł A S P R E Ź A J A C A I S T R A T Y

Początkową wartość siły sprężającej przed zakotwieniem

przyjęto jako 65.00% nośności charakterystycznej cięgien
 $P_{vk} = 4.2880 \text{ MN}$ - nośność charakterystyczna cięgien
 $P_0 = 2.7872 \text{ MN}$ - siła przed zakotwieniem
 $P_{01} = 2.4838 \text{ MN}$ - siła po zakotwieniu z uwzgl. strat doraźnych
 $P_{0dop} = 2.7872 \text{ MN}$ - dopuszczalna siła sprężająca w stadium początkowym

$nv(3) = 0.1230 \text{ MN}$ - straty od różn. temp. cięgien i urządzeń oporowych
 $nv(4) = 0.1804 \text{ MN}$ - straty od odkształcenia sprężystego belki
 $nv(5) = 0.0962 \text{ MN}$ - straty od relaksacji stali sprężającej
 $nv(6) = 0.4967 \text{ MN}$ - straty od skurcza i pełzania betonu w belce
 $nv(7) = 0.0067 \text{ MN}$ - straty od skurcza płyty zesp.(1)
 $nv(8) = 0.1302 \text{ MN}$ - straty od skurcza nadbetonu (2)

$P_v = 1.7541 \text{ MN}$ - siła sprężająca z uwzgl. wszystkich strat
 $P_{vdop} = 2.3584 \text{ MN}$ - dopuszczalna siła sprężająca w stadium użytkowym
 Sumaryczne straty siły sprężającej - 37.07% siły początkowej
 Sumaryczny naciąg trwały splotów - 40.91% nośności charakterystycznej
 Dopuszczalny naciąg trwały splotów - 55.00% nośności charakterystycznej

Wsp. odporności belki na rysy $n = 8.98$ - obliczony został
 dla wytrzymałości betonu na rozc. $R(btk0.05) = 2.30 \text{ MPa}$

Straty siły sprężającej obliczono przy następujących założeniach:
 Straty $nv(3)$:

- różnica temp. cięgien i urządzeń oporowych $dt = 60$ stopni C

Straty $nv(4)$:

- wsp. sprężystości belki w chwili kotwienia $E_b = 34600 \text{ MPa}$

Straty $nv(5)$:

- w pełnej wysokości wg. 5.6.2 PN-91/S-10042

Straty $nv(6)$:

- jedn. odkształcenie skurczowe w belce $es = 0.00032$

- wsp. pełzania betonu w belce $f_p = 3.20$

N A P R E Ź D O B L I C Z E W P R Z E K R O J U Z E S P O L O N Y M

N A P R E Ź E N I A					
Nr poz.	Wysokość położenia	Normalne	Ścinające	Główne rozc.	Zastępcze
< m >	< MPa >	< MPa >	< MPa >	< MPa >	< MPa >
Razem - naprężenia w stanie początkowym					
W dźwigarze głównym					
7	0.900	-0.523	-0.000	0.000	
6	0.780	-2.627	0.074	0.002	
5	0.770	-2.802	0.355	0.044	
4	0.690	-4.204	0.814	0.152	
3	0.290	-11.215	0.767	0.052	
2	0.120	-14.195	0.152	0.002	
1	0.000	-16.298	0.000	-0.000	
Razem - naprężenia w stanie bezużytkowym					
W dźwigarze głównym					
7	0.900	-0.657	-0.000	0.000	
6	0.780	-2.244	0.080	0.003	
5	0.770	-2.376	0.381	0.060	
4	0.690	-3.434	0.873	0.209	
3	0.290	-8.724	0.822	0.077	
2	0.120	-10.972	0.163	0.002	
1	0.000	-12.559	0.000	0.000	
Razem - naprężenia w stanie bezużytkowym po (1) zespoleniu					
W płytcie zespolonej (1)					
2	0.900	2.810	0.000	2.810	
1	0.780	2.530	0.000	2.530	
W dźwigarze głównym					

7 0.900	0.383	-0.000	0.383	
6 0.780	-1.561	-0.022	0.000	
5 0.770	-1.723	-0.102	0.006	
4 0.690	-3.018	-0.229	0.017	
3 0.290	-9.496	-0.206	0.004	
2 0.120	-12.249	-0.040	0.000	
1 0.000	-14.192	0.000	0.000	
<hr/>				
Razem - naprężenia w stanie bezużytkowym po (2) zespoleniu				
<hr/>				
W nadbetonie zespolonym (2)				
2 1.040	0.211	0.000	0.211	
1 0.900	0.593	0.091	0.606	
W płytce zespolonej (1)				
2 0.900	1.605	0.000	1.605	
1 0.780	1.658	0.000	1.658	
W dźwigarze głównym				
7 0.900	-0.843	0.098	0.011	
6 0.780	-2.424	0.136	0.008	
5 0.770	-2.556	0.632	0.148	
4 0.690	-3.610	1.368	0.460	
3 0.290	-8.881	1.142	0.145	
2 0.120	-11.121	0.219	0.004	
1 0.000	-12.702	0.000	0.000	
<hr/>				
Razem - naprężenia w stanie użytkowym				
<hr/>				
W nadbetonie zespolonym (2)				
2 1.040	-0.699	0.000	0.000	
1 0.900	0.050	0.166	0.193	
W płytce zespolonej (1)				
2 0.900	1.134	0.000	1.134	
1 0.780	1.460	0.000	1.460	
W dźwigarze głównym				
7 0.900	-1.436	0.181	0.022	
6 0.780	-2.673	0.259	0.025	
5 0.770	-2.776	1.201	0.447	
4 0.690	-3.601	2.598	1.361	
3 0.290	-7.726	2.176	0.571	
2 0.120	-9.479	0.403	0.017	
1 0.000	-10.716	0.000	-0.000	

Oznaczenia:

- znak (-) - naprężenia normalne ściskające
- znak (+) - naprężenia normalne rozciągające
- Naprężenia ścinające obliczone są dla rzeczywistej szerokości przekroju na danym poziomie obliczeniowym
- t = t₀ - obc. krótkotrwałe
- t = t_n - obc. długotrwałe

KONIEC OBLICZEŃ

 * Wymiarowanie dźwigara sprężonego *
 * dwukrotnie zespółonego z płytą pomostu i nadbetonem *
 * metoda obliczeń wg. PN-91/S-10042 *

Nazwa obiektu: Most przez rz. Bystrzyce w Lublinie
 Nazwa elementu: Belka strunobetonowa zespółona z nadbetonem
 Dane przygotował: A. Łukasiewicz
 Data obliczeń: 07.2005

DANE POCZĄTKOWE - węzeł nr 4

Charakterystyka przekroju podstawowego dźwigara głównego:

Nr poziomu	wys. położenia	szer. powyżej	szer. poniżej
	< m >	< m >	< m >
7	0.900	0.000	1.380
6	0.780	1.380	0.000
5	0.770	0.300	0.300
4	0.690	0.140	0.140
3	0.290	0.140	0.140
2	0.120	0.480	0.480
1	0.000	0.480	0.000

Moduł sprężystości dźwigara głównego E0 = 37800 MPa

Jedn. odkształcenie skurczowe w belce es = 0.00032

Wsp. pełzania w chwili sprężenia fp = 3.20

Wsp. pełzania w chwili zabet. płyty fp = 2.10

Wytrz. charakt. betonu na rozc. R(btk0.05) = 2.300 MPa

Położenie cięgien sprężających typu 1 :

Nr poziomu wys. położenia liczba cięgien

	< m >	< szt >
3	0.160	28
2	0.110	4
1	0.060	32

Przekrój pojed. cięgna sprężającego av(1) = 0.356 cm²

Moduł sprężystości stali sprężającej Es = 180000 MPa

Charakt. siła zrywająca 1 cięgno Nv(1) = 0.0670 MN

Charakterystyka płyty zespółonej (1):

Nr poziomu	wys. położenia	szer. powyżej	szer. poniżej
	< m >	< m >	< m >
2	0.900	0.120	0.000
1	0.780	0.120	0.000

Moduł sprężystości płyty (1) Eb = 30000 MPa

Wsp. pełzania betonu fp = 2.10

Różnica wsp. skurcza między płytą a belką: delta(s) = 0.000130

Charakterystyka nadbetonu zespółonego (2):

Nr poziomu	wys. położenia	szer. powyżej	szer. poniżej
	< m >	< m >	< m >
2	1.020	0.000	1.500
1	0.900	1.500	0.000

Moduł sprężystości nadbetonu (2) Eb = 34600 MPa

Wsp. pełzania betonu fp = 2.50

Różnica wsp. skurcza między nadbetonem a belką: delta(s) = 0.000130

O B C I A Ż E N I A

	Moment zginający < MNm >	Siła poprzeczna < MN >	Wsp. obciążenia
- c.własny belki	0.32470	0.00000	1.200
- c.stał przed zespoleniem	0.02174	0.00000	1.200
- c.stał po 1 zespoleniu	0.00530	0.00000	1.200
- c.stał po 2 zespoleniu	0.14100	0.02900	1.200
- obc. ruchome	0.63580	0.03000	1.500

W Y N I K I O B L I C Z E N

Obliczone charakterystyki przekroju sprężonego zespółonego z płytą:

A. Dla obciążen krótkotrwałych:

	n = Es/Eb	Pole przekroju poprzeczn. < m ² >	Położenie środka ciężkości < m >	Moment bezwładn. < m ⁴ >
0 - belka + zbroj. zwykłe	7.000	0.351000	0.553	0.0366195
1 - belka osłabiona kanałami	1.000	0.351000	0.553	0.0366195
2 - belka z cięgnami spręż.	6.000	0.364670	0.536	0.0392694
3 - belka z płytą zesp.(1)	0.794	0.370385	0.541	0.0397271
4 - belka z płytą zesp.(1) i (2)	0.915	0.535147	0.670	0.0599844
Mimośród siły sprężającej	e = 0.4293 m			

B. Dla obciążen długotrwałych:

	n = Es/Eb	Pole przekroju poprzeczn. < m ² >	Położenie środka ciężkości < m >	Moment bezwładn. < m ⁴ >
0 - belka + zbroj. zwykłe	20.000	0.351000	0.553	0.0366195
1 - belka osłabiona kanałami	1.000	0.351000	0.553	0.0366195
2 - belka z cięgnami spręż.	18.000	0.392011	0.506	0.0440213
3 - belka z płytą zesp.(1)	0.794	0.397726	0.511	0.0445803
4 - belka z płytą zesp.(1) i (2)	0.811	0.543657	0.631	0.0663002
Mimośród siły sprężającej	e = 0.3994 m			

N A P R E Ź. C H A R A K T. W P R Z E K R O J U Z E S P O L O N Y M

< I > - Naprężenia w stanie początkowym

N A P R E Ź E N I A					
Nr poz.	Wysokość położenia	Normalne	Ścinające	Główne rozci	Zastępcze
	< m >	< MPa >	< MPa >	< MPa >	< MPa >
Naprężenia od sprężania po stratach doraźnych - t = 0					
W dźwigarze głównym					
7 0.900	2.975	0.000	0.000		
	powyżej		0.000	0.000	
6 0.780	-0.185				
	poniżej		0.000	0.000	
5 0.770	-0.448		0.000	0.000	
4 0.690	-2.555		0.000	0.000	
3 0.290	-13.090		0.000	0.000	
2 0.120	-17.567		0.000	0.000	
1 0.000	-20.728		0.000	0.000	
Naprężenia od ciężaru własnego belki - t = tn					
W dźwigarze głównym					
7 0.900	-2.904	0.000	0.000		
	powyżej		0.000	0.000	
6 0.780	-2.019				
	poniżej		0.000	0.000	
5 0.770	-1.945		0.000	0.000	
4 0.690	-1.355		0.000	0.000	
3 0.290	1.595		0.000	0.000	
2 0.120	2.849		0.000	0.000	
1 0.000	3.734		0.000	0.000	
Razem - naprężenia w stanie początkowym					
W dźwigarze głównym					
7 0.900	0.071	0.000	0.071		
	powyżej		0.000	0.000	

6	0.780	-----	-2.204	-----	-----	-----	-----
		poniżej		0.000	0.000	0.000	
5	0.770		-2.394	0.000	0.000	0.000	
4	0.690		-3.911	0.000	0.000	0.000	
3	0.290		-11.495	0.000	0.000	0.000	
2	0.120		-14.718	0.000	0.000	0.000	
1	0.000		-16.994	0.000	0.000	0.000	

< II > - Naprężenia w stanie bezużytkowym

N A P R E Ź E N I A							
Nr	Wysokość	położenia	Normalne	Ścinające	Główne rozc.	Zastępcze	
poz.			< m >	< MPa >	< MPa >	< MPa >	< MPa >

Naprężenia od strat spowodowanych relaksacją stali - t = tn

W dźwigarze głównym							
7	0.900	powyżej	-0.098	0.000	0.000	0.000	
6	0.780	-----	0.006	-----	-----	-----	
		poniżej		0.000	0.000	0.000	
5	0.770		0.015	0.000	0.000	0.000	
4	0.690		0.085	0.000	0.000	0.000	
3	0.290		0.434	0.000	0.000	0.000	
2	0.120		0.582	0.000	0.000	0.000	
1	0.000		0.687	0.000	0.000	0.000	

Naprężenia od ciężaru stałego przed (1) zespoleniem - t = tn

W dźwigarze głównym							
7	0.900	powyżej	-0.194	0.000	0.000	0.000	
6	0.780	-----	-0.135	-----	-----	-----	
		poniżej		0.000	0.000	0.000	
5	0.770		-0.130	0.000	0.000	0.000	
4	0.690		-0.091	0.000	0.000	0.000	
3	0.290		0.107	0.000	0.000	0.000	
2	0.120		0.191	0.000	0.000	0.000	
1	0.000		0.250	0.000	0.000	0.000	

Naprężenia od skurczu i pełzania betonu w belce - t = tn

W dźwigarze głównym							
7	0.900	powyżej	-0.540	0.000	0.000	0.000	
6	0.780	-----	0.036	-----	-----	-----	
		poniżej		0.000	0.000	0.000	
5	0.770		0.084	0.000	0.000	0.000	
4	0.690		0.467	0.000	0.000	0.000	
3	0.290		2.387	0.000	0.000	0.000	
2	0.120		3.202	0.000	0.000	0.000	
1	0.000		3.778	0.000	0.000	0.000	

Razem - naprężenia w stanie bezużytkowym

W dźwigarze głównym							
7	0.900	powyżej	-0.762	0.000	0.000	0.000	
6	0.780	-----	-2.297	-----	-----	-----	
		poniżej		0.000	0.000	0.000	
5	0.770		-2.425	0.000	-0.000	0.000	
4	0.690		-3.449	0.000	0.000	0.000	
3	0.290		-8.568	0.000	-0.000	0.000	
2	0.120		-10.743	0.000	0.000	0.000	
1	0.000		-12.279	0.000	0.000	0.000	

< III > - Naprężenia w stanie bezużytkowym po (1) zespoleniu

N A P R E Ź E N I A							
Nr	Wysokość	położenia	Normalne	Ścinające	Główne rozc.	Zastępcze	
poz.			< m >	< MPa >	< MPa >	< MPa >	< MPa >

	$< m >$	$< MPa >$	$< MPa >$	$< MPa >$	$< MPa >$
Napreżenia od skurczu i pełzania płyty zesp. (1) - $t = tn$					
W płycie zespolonej (1)					
2 0.900		1.320	0.000	0.000	
1 0.780		1.326	0.000	0.000	
W dźwigarze głównym					
7 0.900		-0.035	0.000	0.000	
powyżej			0.000	0.000	
6 0.780		-0.030			
poniżej			0.000	0.000	
5 0.770		-0.029	0.000	0.000	
4 0.690		-0.026	0.000	0.000	
3 0.290		-0.009	0.000	0.000	
2 0.120		-0.001	0.000	0.000	
1 0.000		0.004	0.000	0.000	
Napreżenia od obc. stałego po (1) zespoleniu - $t = tn$					
W płycie zespolonej (1)					
2 0.900		-0.037	0.000	0.000	
1 0.780		-0.025	0.000	0.000	
W dźwigarze głównym					
7 0.900		-0.046	0.000	0.000	
powyżej			0.000	0.000	
6 0.780		-0.032			
poniżej			0.000	0.000	
5 0.770		-0.031	0.000	0.000	
4 0.690		-0.021	0.000	0.000	
3 0.290		0.026	0.000	0.000	
2 0.120		0.046	0.000	0.000	
1 0.000		0.061	0.000	0.000	
Razem - napreżenia w stanie bezużytkowym po (1) zespoleniu					
W płycie zespolonej (1)					
2 0.900		1.284	0.000	1.284	
1 0.780		1.300	0.000	1.300	
W dźwigarze głównym					
7 0.900		-0.843	0.000	0.000	
powyżej			0.000	0.000	
6 0.780		-2.359			
poniżej			0.000	0.000	
5 0.770		-2.485	0.000	-0.000	
4 0.690		-3.496	0.000	0.000	
3 0.290		-8.550	0.000	0.000	
2 0.120		-10.698	0.000	0.000	
1 0.000		-12.214	0.000	-0.000	

< IV > - Napreżenia w stanie bezużytkowym po (2) zespoleniu

Nr poz.	Wysokość położenia	N A P R E Ź E N I A			
		Normalne		Ścinające	Główne rozci
		$< m >$	$< MPa >$	$< MPa >$	Zastępcze
		$< m >$	$< MPa >$	$< MPa >$	$< MPa >$
Napreżenia od skurczu i pełzania nadbetonu (2) - $t = tn$					
W nadbetonie zespolonym (2) ...					
2 1.020		0.716	0.000	0.000	
1 0.900		0.826	0.000	0.000	
W płycie zespolonej (1)					
2 0.900		-0.707	0.000	0.000	
1 0.780		-0.575	0.000	0.000	
W dźwigarze głównym					
7 0.900		-0.658	0.000	0.000	
powyżej			0.000	0.000	
6 0.780		-0.534			
poniżej			0.000	0.000	
5 0.770		-0.524	0.000	0.000	
4 0.690		-0.442	0.000	0.000	

3 0.290	-0.030	0.000	0.000	
2 0.120	0.144	0.000	0.000	
1 0.000	0.268	0.000	0.000	
Napreżenia od obc. stałego po (2) zespoleniu - t = tn				
<hr/>				
W nadbetonie zespolonym (2)				
2 1.020	-0.757	-0.000	0.000	
1 0.900	-0.523	0.014	0.000	
W płytce zespolonej (1)				
2 0.900	-0.453	0.000	0.000	
1 0.780	-0.251	0.000	0.000	
W dźwigarze głównym				
7 0.900	-0.571	0.015	0.000	
powyżej		0.026	0.000	
6 0.780	-0.316			
poniżej		0.000	0.000	
5 0.770	-0.295	0.122	0.000	
4 0.690	-0.125	0.268	0.000	
3 0.290	0.726	0.243	0.000	
2 0.120	1.087	0.042	0.000	
1 0.000	1.343	0.000	0.000	
Razem - napreżenia w stanie bezużytkowym po (2) zespoleniu				
<hr/>				
W nadbetonie zespolonym (2)				
2 1.020	-0.041	0.000	0.000	
1 0.900	0.303	0.014	0.303	
W płytce zespolonej (1)				
2 0.900	0.123	0.000	0.123	
1 0.780	0.475	0.000	0.475	
W dźwigarze głównym				
7 0.900	-2.072	0.015	0.000	
powyżej		0.026	0.000	
6 0.780	-3.209			
poniżej		0.000	0.000	
5 0.770	-3.304	0.122	0.005	
4 0.690	-4.063	0.268	0.018	
3 0.290	-7.854	0.243	0.007	
2 0.120	-9.466	0.042	0.000	
1 0.000	-10.604	0.000	0.000	

< V > - Napreżenia w stanie użytkowym

		N A P R E Ź E N I A			
Nr poz.	Wysokość położenia	Normalne	Ścinające	Główne rozcz	Zastępcze
< m >	< MPa >	< MPa >	< MPa >	< MPa >	< MPa >
<hr/>					
Napreżenia od obciążenia ruchomego - t = t0					
<hr/>					
W nadbetonie zespolonym (2)					
2 1.020	-3.398	0.000	0.000		
1 0.900	-2.234	0.016	0.000		
W płytce zespolonej (1)					
2 0.900	-1.937	0.000	0.000		
1 0.780	-0.928	0.000	0.000		
W dźwigarze głównym					
7 0.900	-2.441	0.017	0.000		
powyżej		0.028	0.000		
6 0.780	-1.169				
poniżej		0.000	0.000		
5 0.770	-1.063	0.128	0.000		
4 0.690	-0.215	0.279	0.000		
3 0.290	4.025	0.243	0.000		
2 0.120	5.827	0.041	0.000		
1 0.000	7.099	0.000	0.000		
Razem - napreżenia w stanie użytkowym					
<hr/>					
W nadbetonie zespolonym (2)					
2 1.020	-3.439	0.000	0.000		

1 0.900	-1.931	0.030	0.000	
W płytcie zespolonej (1)				
2 0.900	-1.814	0.000	0.000	
1 0.780	-0.453	0.000	0.000	
W dźwigarze głównym				
7 0.900	-4.513	0.033	0.000	
powyżej		0.054	0.001	
6 0.780	-4.378			
poniżej		0.000	-0.000	
5 0.770	-4.367	0.251	0.014	
4 0.690	-4.278	0.547	0.069	
3 0.290	-3.830	0.486	0.061	
2 0.120	-3.639	0.083	0.002	
1 0.000	-3.505	0.000	0.000	

Oznaczenia:

znak (-) - naprężenia normalne ściskające
 znak (+) - naprężenia normalne rozciągające
 Naprężenia ścinające obliczone są dla rzeczywistej szerokości przekroju na danym poziomie obliczeniowym
 $t = t_0$ - obc. krótkotrwałe
 $t = t_n$ - obc. długotrwałe

S I Ł A S P R E Ż A J A C A I S T R A T Y

Początkowa wartość siły sprężającej przed zakotwieniem przyjęto jako 65.00% nośności charakterystycznej cięgien
 $P_{vk} = 4.2880 \text{ MN}$ - nośność charakterystyczna cięgien
 $P_0 = 2.7872 \text{ MN}$ - siła przed zakotwieniem
 $P_{01} = 2.4089 \text{ MN}$ - siła po zakotwieniu z uwzgl. strat doraźnych
 $P_{0dop} = 2.7872 \text{ MN}$ - dopuszczalna siła sprężająca w stadium początkowym
 $nv(3) = 0.1230 \text{ MN}$ - straty od różn. temp. cięgien i urządzeń oporowych
 $nv(4) = 0.2552 \text{ MN}$ - straty od odkształcenia sprężystego belki
 $nv(5) = 0.0962 \text{ MN}$ - straty od relaksacji stali sprężającej
 $nv(6) = 0.5288 \text{ MN}$ - straty od skurczu i pełzania betonu w belce
 $nv(7) = 0.0014 \text{ MN}$ - straty od skurczu płyty zesp. (1)
 $nv(8) = 0.1050 \text{ MN}$ - straty od skurczu nadbetonu (2)
 $P_v = 1.6775 \text{ MN}$ - siła sprężająca z uwzgl. wszystkich strat
 $P_{vdop} = 2.3584 \text{ MN}$ - dopuszczalna siła sprężająca w stadium użytkowym
 Sumaryczne straty siły sprężającej - 39.82% siły początkowej
 Sumaryczny naciąg trwały splotów - 39.12% nośności charakterystycznej
 Dopuszczalny naciąg trwały splotów - 55.00% nośności charakterystycznej
 Wsp. odporności belki na rysy $n = 1.70$ - obliczony został dla wytrzymałości betonu na rozc. $R(btk.0.05) = 2.30 \text{ MPa}$

Straty siły sprężającej obliczono przy następujących założeniach:

Straty $nv(3)$:- różnica temp. cięgien i urządzeń oporowych $dt = 60$ stopni CStraty $nv(4)$:- wsp. sprężystości belki w chwili kotwienia $E_b = 34600 \text{ MPa}$ Straty $nv(5)$:

- w pełnej wysokości wg. 5.6.2 PN-91/S-10042

Straty $nv(6)$:- jedn. odkształcenie skurczowe w belce $\epsilon_s = 0.00032$ - wsp. pełzania betonu w belce $\xi_p = 3.20$

N A P R E Ź . O B L I C Z . W P R Z E K R O J U Z E S P O L O N Y M .

N A P R E Ź E N I A				
Nr poz.	Wysokość położenia	Normalne	Ścinające	Główne rozc! Zastępcze
		< m >	< MPa >	< MPa >
Razem - naprężenia w stanie początkowym				
W dźwigarze głównym				
7 0.900	-0.510	0.000	0.000	
powyżej		0.000	0.000	
6 0.780	-2.608			
poniżej		0.000	0.000	

5 0.770	-2.783	0.000	0.000	
4 0.690	-4.182	0.000	0.000	
3 0.290	-11.176	0.000	0.000	
2 0.120	-14.149	0.000	0.000	
1 0.000	-16.247	0.000	-0.000	
<hr/>				
Razem - naprężenia w stanie bezużytkowym				
<hr/>				
W dźwigarze głównym				
7 0.900	-1.381	0.000	-0.000	
powyżej		0.000	-0.000	
6 0.780	-2.728	-----	-----	
poniżej		0.000	-0.000	
5 0.770	-2.840	0.000	0.000	
4 0.690	-3.738	0.000	0.000	
3 0.290	-8.227	0.000	0.000	
2 0.120	-10.135	0.000	0.000	
1 0.000	-11.482	0.000	0.000	
<hr/>				
Razem - naprężenia w stanie bezużytkowym po (1) zespoleniu				
<hr/>				
W płycie zespolonej (1)				
2 0.900	1.540	0.000	1.540	
1 0.780	1.560	0.000	1.560	
W dźwigarze głównym				
7 0.900	-1.479	0.000	0.000	
powyżej		0.000	0.000	
6 0.780	-2.802	-----	-----	
poniżej		0.000	0.000	
5 0.770	-2.912	0.000	0.000	
4 0.690	-3.795	0.000	0.000	
3 0.290	-8.206	0.000	0.000	
2 0.120	-10.081	0.000	-0.000	
1 0.000	-11.404	0.000	0.000	
<hr/>				
Razem - naprężenia w stanie bezużytkowym po (2) zespoleniu				
<hr/>				
W nadbetonie zespolonym (2)				
2 1.020	-0.049	0.000	0.000	
1 0.900	0.363	0.017	0.364	
W płycie zespolonej (1)				
2 0.900	0.147	0.000	0.147	
1 0.780	0.570	0.000	0.570	
W dźwigarze głównym				
7 0.900	-2.954	0.018	0.000	
powyżej		0.032	0.000	
6 0.780	-3.823	-----	-----	
poniżej		0.000	-0.000	
5 0.770	-3.895	0.147	0.006	
4 0.690	-4.474	0.321	0.023	
3 0.290	-7.371	0.291	0.011	
2 0.120	-8.603	0.050	0.000	
1 0.000	-9.472	0.000	0.000	
<hr/>				
Razem - naprężenia w stanie użytkowym				
<hr/>				
W nadbetonie zespolonym (2)				
2 1.020	-5.147	0.000	0.000	
1 0.900	-2.988	0.041	0.001	
W płycie zespolonej (1)				
2 0.900	-2.758	0.000	-0.000	
1 0.780	-0.822	0.000	0.000	
W dźwigarze głównym				
7 0.900	-6.615	0.044	0.000	
powyżej		0.074	0.001	
6 0.780	-5.576	-----	-----	
poniżej		0.000	0.000	
5 0.770	-5.489	0.339	0.021	
4 0.690	-4.797	0.740	0.112	
3 0.290	-1.334	0.656	0.269	
2 0.120	0.137	0.112	0.200	

	1		0.000		1.176		0.000		1.176		
--	---	--	-------	--	-------	--	-------	--	-------	--	--

Oznaczenia:

znak (-) - naprężenia normalne ściskające
znak (+) - naprężenia normalne rozciągające
Naprężenia ścinające obliczone są dla rzeczywistej
szerokości przekroju na danym poziomie obliczeniowym
 $t = t_0$ - obc. krótkotrwałe
 $t = t_n$ - obc. długotrwałe
KONIEC OBLCZEN

 * Wymiarowanie dźwigara sprężonego *
 * dwukrotnie zespolonego z płytą pomostu i nadbetonem *
 * metoda obliczeń wg. PN-91/S-10042 *

Nazwa obiektu: Most przez rz. Bystrzyce w Lublinie
 Nazwa elementu: Belka strunobetonowa zespolona z nadbetonem
 Dane przygotował: A. Łukasiewicz
 Data obliczeń: 07.2005

D A N E P O C Z A T K O W E - węzeł nr 6' - moment ujemny

Charakterystyka przekroju podstawowego dźwigara głównego:

Nr poziomu	wys. położenia	szer. powyżej	szer. poniżej
	< m >	< m >	< m >
7	0.900	0.000	1.380
6	0.780	1.380	1.380
5	0.770	0.300	0.300
4	0.690	0.140	0.140
3	0.290	0.140	0.140
2	0.120	0.480	0.480
1	0.000	0.480	0.000

Moduł sprężystości dźwigara głównego $E_0 = 37800 \text{ MPa}$

Jedn. odkształcenie skurczowe w belce $\epsilon_s = 0.00032$

Wsp. pełzania w chwili sprężenia $f_p = 3.20$

Wsp. pełzania w chwili zabet. płyty $f_p = 2.10$

Wytrz. charakt. betonu na rozc. $R(btk0.05) = 2.300 \text{ MPa}$

Położenie cięgów sprężających typu 1 :

Nr poziomu wys. położenia liczba cięgów

	< m >	< szt >
3	0.440	28
2	0.110	4
1	0.060	32

Przekrój pojed. cięgna sprężającego $a_v(1) = 0.356 \text{ cm}^2$

Moduł sprężystości stali sprężającej $E_s = 180000 \text{ MPa}$

Charakt. siła zrywająca 1 cięgno $N_v(1) = 0.0670 \text{ MN}$

Charakterystyka płyty zespolonej (1):

Nr poziomu	wys. położenia	szer. powyżej	szer. poniżej
	< m >	< m >	< m >
2	0.900	0.000	0.120
1	0.780	0.120	0.000

Moduł sprężystości płyty (1) $E_b = 30000 \text{ MPa}$

Wsp. pełzania betonu $f_p = 2.10$

Różnica wsp.skurczu między płytą a belką: $\delta(s) = 0.000160$

Charakterystyka nadbetonu zespolonego (2):

Nr poziomu	wys. położenia	szer. powyżej	szer. poniżej
	< m >	< m >	< m >
2	1.040	0.000	1.500
1	0.900	1.500	0.000

Moduł sprężystości nadbetonu (2) $E_b = 34600 \text{ MPa}$

Wsp. pełzania betonu $f_p = 2.50$

Różnica wsp.skurczu między nadbetonem a belką: $\delta(s) = 0.000130$

Położenie stali zbrojeniowej w nadbetonie (2):

Nr poziomu wys. położenia przekrój stali

	< m >	< cm ² >
2	0.000	0.00
1	1.000	47.10

Moduł sprężystości stali zbrojeniowej $E_z = 210000 \text{ MPa}$

O B C I A Ż E N I A

	Moment zginający < MNm >	Siła poprzeczna < MN >	Wsp. obciążenia
- c.własny belki	0.09360	0.06850	1.200
- c.stał przed zespołem	0.00650	0.00460	1.200
- c.stał po 1 zespoleniu	-0.11240	0.09310	1.200
- c.stał po 2 zespoleniu	-0.31885	0.19850	1.200
- obc. ruchome	-0.24564	0.13880	1.500

W Y N I K I O B L I C Z E N

Obliczone charakterystyki przekroju sprężonego zespolonego z płytą:

A. Dla obciążień krótkotrwałych:

	n = Es/Eb	Pole przekroju < m ² >	Położenie środka ciężkości < m >	Moment bezwładn. < m ⁴ >
0 - belka + zbroj. zwykłe	7.000	0.357900	0.557	0.0369583
1 - belka osłabiona kanałami	1.000	0.357900	0.557	0.0369583
2 - belka z cięgnami spręż.	6.000	0.371570	0.545	0.0388473
3 - belka z płytą zesp.(1)	0.794	0.382999	0.554	0.0398248
4 - belka z płytą zesp.(1) i (2)	0.915	0.608191	0.710	0.0652291
5 - belka+zbr.(1) - mom.ujemny	7.000	0.371570	0.545	0.0388473
6 - belka+zbr.(1+2)- mom.ujemny	7.000	0.404540	0.582	0.0451333
Mimośród siły sprząjącej	e = 0.3158 m			

B. Dla obciążień długotrwałych:

	n = Es/Eb	Pole przekroju < m ² >	Położenie środka ciężkości < m >	Moment bezwładn. < m ⁴ >
0 - belka + zbroj. zwykłe	20.000	0.357900	0.557	0.0369583
1 - belka osłabiona kanałami	1.000	0.357900	0.557	0.0369583
2 - belka z cięgnami spręż.	18.000	0.398911	0.524	0.0423344
3 - belka z płytą zesp.(1)	0.794	0.410340	0.532	0.0434608
4 - belka z płytą zesp.(1) i (2)	0.811	0.674794	0.708	0.0761180
5 - belka+zbr.(1) - mom.ujemny	20.000	0.398911	0.524	0.0423344
6 - belka+zbr.(1+2)- mom.ujemny	20.000	0.493111	0.615	0.0596695
Mimośród siły sprząjącej	e = 0.2942 m			

N A P R E Ź. C H A R A K T. W P R Z E K R O J U Z E S P O L O N Y M

< I > - Naprężenia w stanie początkowym

N A P R E Ź E N I A					
Nr	Wysokość położenia	Normalne	Ścinające	Główne rozci	Zastępcze
poz.	< m >	< MPa >	< MPa >	< MPa >	< MPa >
Naprężenia od sprężania po stratach doraźnych - t = 0					
W dźwigarze głównym					
7	0.900	0.480	0.000	0.000	
6	0.780	-1.943	0.000	0.000	
5	0.770	-2.145	0.000	0.000	
4	0.690	-3.760	0.000	0.000	
3	0.290	-11.837	0.000	0.000	
2	0.120	-15.270	0.000	0.000	
1	0.000	-17.693	0.000	0.000	
Naprężenia od ciężaru własnego belki - t = tn					

W dźwigarze głównym					
7	0.900	-0.832	-0.000	0.000	
6	0.780	-0.567	0.061	0.000	
5	0.770	-0.545	0.294	0.000	
4	0.690	-0.368	0.673	0.000	
3	0.290	0.516	0.634	0.000	
2	0.120	0.892	0.126	0.000	
1	0.000	1.158	0.000	0.000	
Razem - naprężenia w stanie początkowym					
W dźwigarze głównym					
7	0.900	-0.353	-0.000	0.000	
6	0.780	-2.510	0.061	0.002	
5	0.770	-2.690	0.294	0.032	
4	0.690	-4.128	0.673	0.107	
3	0.290	-11.321	0.634	0.035	
2	0.120	-14.378	0.126	0.001	
1	0.000	-16.535	0.000	-0.000	

< II > - Naprężenia w stanie bezużytkowym

N A P R E Ź E N I A					
Nr poz.	Wysokość położenia	Normalne	Ścinające	Główne rozcięcia	Zastępcze
	< m >	< MPa >	< MPa >	< MPa >	< MPa >
Naprężenia od strat spowodowanych relaksacją stali - t = tn					
W dźwigarze głównym					
7	0.900	-0.010	0.000	0.000	
6	0.780	0.070	0.000	0.000	
5	0.770	0.076	0.000	0.000	
4	0.690	0.130	0.000	0.000	
3	0.290	0.397	0.000	0.000	
2	0.120	0.511	0.000	0.000	
1	0.000	0.591	0.000	0.000	
Naprężenia od ciężaru stałego przed (1) zespoleniem - t = tn					
W dźwigarze głównym					
7	0.900	-0.058	-0.000	0.000	
6	0.780	-0.039	0.004	0.000	
5	0.770	-0.038	0.020	0.000	
4	0.690	-0.026	0.045	0.000	
3	0.290	0.036	0.043	0.000	
2	0.120	0.062	0.008	0.000	
1	0.000	0.080	0.000	0.000	
Naprężenia od skurczu i pełzania betonu w belce - t = tn					
W dźwigarze głównym					
7	0.900	-0.054	0.000	0.000	
6	0.780	0.360	0.000	0.000	
5	0.770	0.395	0.000	0.000	
4	0.690	0.671	0.000	0.000	
3	0.290	2.052	0.000	0.000	
2	0.120	2.638	0.000	0.000	
1	0.000	3.053	0.000	0.000	
Razem - naprężenia w stanie bezużytkowym					
W dźwigarze głównym					
7	0.900	-0.475	-0.000	0.000	
6	0.780	-2.120	0.066	0.002	
5	0.770	-2.257	0.314	0.043	
4	0.690	-3.353	0.718	0.147	
3	0.290	-8.836	0.677	0.052	
2	0.120	-11.167	0.134	0.002	
1	0.000	-12.811	0.000	0.000	

< III > - Naprężenia w stanie bezużytkowym po (1) zespoleniu

N A P R E Ź E N I A					
Nr poz.	Wysokość położenia	Normalne	Ścinające	Główne rozcięcia	Zastępcze
	< m >	< MPa >	< MPa >	< MPa >	< MPa >
Naprężenia od obc. stałego po (1) zespoleniu - t = tn					
W stali zbrojeniowej w płycie (1)					
W płycie zespolonej (1)					
2	0.900		0.000		
1	0.780		0.000		
W dźwigarze głównym					
7	0.900	1.000	-0.000	0.000	
6	0.780	0.681	0.084	0.000	
5	0.770	0.654	0.400	0.000	
4	0.690	0.442	0.915	0.000	
3	0.290	-0.620	0.862	0.000	
2	0.120	-1.071	0.171	0.000	
1	0.000	-1.390	0.000	0.000	
Razem - naprężenia w stanie bezużytkowym po (1) zespoleniu					
W stali zbrojeniowej w płycie (1)					
W płycie zespolonej (1)					
2	0.900		0.000		
1	0.780		0.000		
W dźwigarze głównym					
7	0.900	0.525	-0.000	0.525	
6	0.780	-1.439	0.149	0.015	
5	0.770	-1.603	0.714	0.272	
4	0.690	-2.911	1.633	0.732	
3	0.290	-9.456	1.539	0.244	
2	0.120	-12.238	0.305	0.008	
1	0.000	-14.201	0.000	0.000	

< IV > - Naprężenia w stanie bezużytkowym po (2) zespoleniu

N A P R E Ź E N I A					
Nr poz.	Wysokość położenia	Normalne	Ścinające	Główne rozcięcia	Zastępcze
	< m >	< MPa >	< MPa >	< MPa >	< MPa >
Naprężenia od obc. stałego po (2) zespoleniu - t = tn					
W stali zbrojeniowej w nadbetonie (2)					
1	1.000	41.193			
W nadbetonie zespolonym (2)					
2	1.040		0.000		
1	0.900		0.081		
W stali zbrojeniowej w płycie (1)					
W płycie zespolonej (1)					
2	0.900		0.000		
1	0.780		0.000		
W dźwigarze głównym					
7	0.900	1.525	0.088	0.000	
6	0.780	0.884	0.178	0.000	
5	0.770	0.831	0.832	0.000	
4	0.690	0.403	1.832	0.000	
3	0.290	-1.734	1.592	0.000	
2	0.120	-2.643	0.309	0.000	
1	0.000	-3.284	0.000	0.000	
Razem - naprężenia w stanie bezużytkowym po (2) zespoleniu					
W stali zbrojeniowej w nadbetonie (2)					
1	1.000	41.193			
W nadbetonie zespolonym (2)					
2	1.040		0.000		

1	0.900		0.081		
W stali zbrojeniowej w płycie (1)					
W płycie zespolonej (1)					
2	0.900		0.000		
1	0.780		0.000		
W dźwigarze głównym					
7	0.900	2.050	0.088	2.054	
6	0.780	-0.555	0.327	0.151	
5	0.770	-0.772	1.545	1.207	
4	0.690	-2.508	3.466	2.432	
3	0.290	-11.191	3.131	0.816	
2	0.120	-14.881	0.614	0.025	
1	0.000	-17.485	0.000	-0.000	

< V > - Naprężenia w stanie użytkowym

N A P R E Ź E N I A					
Nr poz.	Wysokość położenia	Normalne	Ścinające	Główne rozcięcia	Zastępcze
	< m >	< MPa >	< MPa >	< MPa >	< MPa >
Naprężenia od obciążenia ruchomego - t = t0					
W stali zbrojeniowej w nadbetonie (2)					
1	1.000	45.473			
W nadbetonie zespolonym (2)					
2	1.040		-0.000		
1	0.900		0.028		
W stali zbrojeniowej w płycie (1)					
W płycie zespolonej (1)					
2	0.900		0.000		
1	0.780		0.000		
W dźwigarze głównym					
7	0.900	1.729	0.031	0.000	
6	0.780	1.076	0.126	0.000	
5	0.770	1.022	0.595	0.000	
4	0.690	0.586	1.335	0.000	
3	0.290	-1.591	1.203	0.000	
2	0.120	-2.516	0.218	0.000	
1	0.000	-3.169	0.000	0.000	
Razem - naprężenia w stanie użytkowym					
W stali zbrojeniowej w nadbetonie (2)					
1	1.000	86.666			
W nadbetonie zespolonym (2)					
2	1.040		0.000		
1	0.900		0.109		
W stali zbrojeniowej w płycie (1)					
W płycie zespolonej (1)					
2	0.900		0.000		
1	0.780		0.000		
W dźwigarze głównym					
7	0.900	3.779	0.118	3.783	
6	0.780	0.521	0.452	0.783	
5	0.770	0.250	2.141	2.269	
4	0.690	-1.922	4.801	3.935	
3	0.290	-12.781	4.334	1.331	
2	0.120	-17.396	0.832	0.040	
1	0.000	-20.654	0.000	0.000	

Oznaczenia:

znak (-) - naprężenia normalne ściskające
 znak (+) - naprężenia normalne rozciągające
 Naprężenia ścinające obliczone są dla rzeczywistej
 szerokości przekroju na danym poziomie obliczeniowym
 $t = t_0$ - obc. krótkotrwałe
 $t = t_n$ - obc. długotrwałe

S I Ł A S P R E Ż A J A C A I S T R A T Y

Początkowa wartość siły sprężającej przed zakotwieniem przyjęto jako 65.00% nośności charakterystycznej cięgien
 $P_{vk} = 4.2880 \text{ MN}$ - nośność charakterystyczna cięgien
 $P_0 = 2.7872 \text{ MN}$ - siła przed zakotwieniem
 $P_{01} = 2.4838 \text{ MN}$ - siła po zakotwieniu z uwzgl. strat doraźnych
 $P_{0dop} = 2.7872 \text{ MN}$ - dopuszczalna siła sprężająca w stadium początkowym

$nv(3) = 0.1230 \text{ MN}$ - straty od różn. temp. cięgien i urządzeń oporowych
 $nv(4) = 0.1804 \text{ MN}$ - straty od odkształcenia sprężystego belki
 $nv(5) = 0.0962 \text{ MN}$ - straty od relaksacji stali sprężającej
 $nv(6) = 0.4968 \text{ MN}$ - straty od skurcza i pełzania betonu w belce
 $nv(7) = 0.0067 \text{ MN}$ - straty od skurcza płyty zesp.(1)
 $nv(8) = 0.1302 \text{ MN}$ - straty od skurcza nadbetonu (2)

$P_v = 1.7540 \text{ MN}$ - siła sprężająca z uwzgl. wszystkich strat
 $P_{vdop} = 2.3584 \text{ MN}$ - dopuszczalna siła sprężająca w stadium użytkowym
 Sumaryczne straty siły sprężającej - 37.07% siły początkowej
 Sumaryczny naciąg trwały splotów - 40.90% nośności charakterystycznej
 Dopuszczalny naciąg trwały splotów - 55.00% nośności charakterystycznej

Wsp. odporności belki na rysy $n = 1.24$ - obliczony został dla wytrzymałości betonu na rozc. $R(btk0.05) = 2.30 \text{ MPa}$

Straty siły sprężającej obliczono przy następujących założeniach:

Straty $nv(3)$:

- różnica temp. cięgien i urządzeń oporowych $dt = 60 \text{ stopni C}$

Straty $nv(4)$:

- wsp. sprzyjności belki w chwili kotwienia $E_b = 34600 \text{ MPa}$

Straty $nv(5)$:

- w pełnej wysokości wg. 5.6.2 PN-91/S-10042

Straty $nv(6)$:

- jedno odkształcenie skurczowe w belce $\epsilon_s = 0.00032$
 - wsp. pełzania betonu w belce $f_p = 3.20$

N A P R E Ź . O B L I C Z . W P R Z E K R O J U Z E S P O L O N Y M

N A P R E Ź E N I A					
Nr poz.	Wysokość położenia	Normalne	Ścinające	Główne rozc.	Zastępcze
< m >	< MPa >	< MPa >	< MPa >	< MPa >	< MPa >
Razem - naprężenia w stanie początkowym					
W dźwigarze głównym					
7	0.900	-0.519	-0.000	0.000	
6	0.780	-2.624	0.074	0.002	
5	0.770	-2.799	0.353	0.044	
4	0.690	-4.202	0.808	0.150	
3	0.290	-11.218	0.761	0.051	
2	0.120	-14.199	0.151	0.002	
1	0.000	-16.304	0.000	0.000	
Razem - naprężenia w stanie bezużytkowym					
W dźwigarze głównym					
7	0.900	-0.653	-0.000	0.000	
6	0.780	-2.241	0.079	0.003	
5	0.770	-2.373	0.377	0.058	
4	0.690	-3.432	0.862	0.204	
3	0.290	-8.726	0.812	0.075	
2	0.120	-10.976	0.161	0.002	
1	0.000	-12.564	0.000	0.000	
Razem - naprężenia w stanie bezużytkowym po (1) zespoleniu					

W stali zbrojeniowej w płycie (1)					
W płycie zespolonej (1)					
2	0.900		0.000		
1	0.780		0.000		
W dźwigarze głównym					
7	0.900	0.546	-0.000	0.546	
6	0.780	-1.424	0.179	0.022	
5	0.770	-1.588	0.856	0.374	
4	0.690	-2.902	1.960	0.988	
3	0.290	-9.470	1.846	0.347	
2	0.120	-12.261	0.366	0.011	
1	0.000	-14.232	0.000	0.000	
Razem - naprężenia w stanie bezużytkowym po (2) zespoleniu					
W stali zbrojeniowej w nadbetonie (2)					
1	1.000	49.432			
W nadbetonie zespolonym (2)					
2	1.040		0.000		
1	0.900		0.097		
W stali zbrojeniowej w płycie (1)					
W płycie zespolonej (1)					
2	0.900		0.000		
1	0.780		0.000		
W dźwigarze głównym					
7	0.900	2.377	0.105	2.381	
6	0.780	-0.363	0.392	0.250	
5	0.770	-0.591	1.854	1.582	
4	0.690	-2.418	4.159	3.122	
3	0.290	-11.551	3.757	1.115	
2	0.120	-15.433	0.737	0.035	
1	0.000	-18.173	0.000	0.000	
Razem - naprężenia w stanie użytkowym					
W stali zbrojeniowej w nadbetonie (2)					
1	1.000	117.641			
W nadbetonie zespolonym (2)					
2	1.040		0.000		
1	0.900		0.139		
W stali zbrojeniowej w płycie (1)					
W płycie zespolonej (1)					
2	0.900		0.000		
1	0.780		0.000		
W dźwigarze głównym					
7	0.900	4.971	0.151	4.975	
6	0.780	1.251	0.581	1.479	
5	0.770	0.941	2.747	3.258	
4	0.690	-1.538	6.161	5.440	
3	0.290	-13.937	5.561	1.947	
2	0.120	-19.206	1.064	0.059	
1	0.000	-22.926	0.000	-0.000	

Oznaczenia:

znak (-) - naprężenia normalne ściskające

znak (+) - naprężenia normalne rozciągające

Naprężenia ścinające obliczone są dla rzeczywistej

szerokości przekroju na danym poziomie obliczeniowym

t = t₀ - obc. krótkotrwałet = t_n - obc. długotrwałe

KONIEC OBLCZENI

 * Wymiarowanie dźwignia sprężonego *
 * dwukrotnie zespółonego z płytą pomostu i nadbetonem *
 * metoda obliczeń wg. PN-91/S-10042 *

Nazwa obiektu: Most przez rz. Bystrzyce w Lublinie
 Nazwa elementu: Belka strunobetonowa zespółona z nadbetonem
 Dane przygotował: A. Łukasiewicz
 Data obliczeń: 07.2005

D A N E P O C Z A T K O W E - węzeł nr 7' - mom. ujemny

Charakterystyka przekroju podstawowego dźwignia głównego:

Nr poziomu	wys. położenia	szer. powyżej	szer. poniżej
	< m >	< m >	< m >
7	0.900	0.000	1.380
6	0.780	1.380	1.380
5	0.770	0.300	0.300
4	0.690	0.140	0.140
3	0.290	0.140	0.140
2	0.120	0.480	0.480
1	0.000	0.480	0.000

Moduł sprężystości dźwignia głównego $E_0 = 37800 \text{ MPa}$

Jedn. odkształcenie skurczowe w belce $\epsilon_s = 0.00032$

Wsp. pełzania w chwili sprężenia $f_p = 3.20$

Wsp. pełzania w chwili zabet. płyty $f_p = 2.10$

Wytrz. charakt. betonu na rozc. R(btk0.05) = 2.300 MPa

Położenie cięgów sprężających typu 1 :

Nr poziomu wys. położenia liczba cięgów

	< m >	< szt >
3	0.440	28
2	0.110	4
1	0.060	32

Przekrój pojed. cięgna sprężającego $a_v(1) = 0.356 \text{ cm}^2$

Moduł sprężystości stali sprężającej $E_s = 180000 \text{ MPa}$

Charakt. siła zrywająca 1 cięgno $N_v(1) = 0.0670 \text{ MN}$

Charakterystyka płyty zespołowej (1):

Nr poziomu	wys. położenia	szer. powyżej	szer. poniżej
	< m >	< m >	< m >
2	0.900	0.000	0.120
1	0.780	0.120	0.000

Moduł sprężystości płyty (1) $E_b = 30000 \text{ MPa}$

Wsp. pełzania betonu $f_p = 2.10$

Różnica wsp. skurczu między płytą a belką: $\delta(s) = 0.000160$

Charakterystyka nadbetonu zespołonego (2):

Nr poziomu	wys. położenia	szer. powyżej	szer. poniżej
	< m >	< m >	< m >
2	1.040	0.000	1.500
1	0.900	1.500	0.000

Moduł sprężystości nadbetonu (2) $E_b = 34600 \text{ MPa}$

Wsp. pełzania betonu $f_p = 2.50$

Różnica wsp. skurczu między nadbetonem a belką: $\delta(s) = 0.000130$

Położenie stali zbrojeniowej w nadbetonie (2):

Nr poziomu wys. położenia przekrój stali

	< m >	< cm ² >
2	0.000	0.00
1	1.000	47.10

Moduł sprężystości stali zbrojeniowej $E_z = 210000 \text{ MPa}$

O B C I A Ż E N I A

	Moment zginający < MNm >	Siła poprzeczna < MN >	Wsp. obciążenia
- c.własny belki	0.09360	0.06850	1.200
- c.stał przed zespoleniem	0.00630	0.00460	1.200
- c.stał po 1 zespoleniu	-0.11233	-0.09310	1.200
- c.stał po 2 zespoleniu	-0.32065	0.17255	1.200
- obc. ruchome	-0.27900	0.18910	1.500

W Y N I K I O B L I C Z E N

Obliczone charakterystyki przekroju sprężonego zespolonego z płytą:

A. Dla obciążzeń krótkotrwałych:

	n = Es/Eb	Pole przekroju < m ² >	Położenie środka ciężkości < m >	Moment bezwładn. < m ⁴ >
0 - belka + zbroj. zwykłe	7.000	0.357900	0.557	0.0369583
1 - belka osłabiona kanałami	1.000	0.357900	0.557	0.0369583
2 - belka z cięgnami spręż.	6.000	0.371570	0.545	0.0388473
3 - belka z płytą zesp.(1)	0.794	0.382999	0.554	0.0398248
4 - belka z płytą zesp.(1) i (2)	0.915	0.608191	0.710	0.0652291
5 - belka+zbr.(1) - mom.ujemny	7.000	0.371570	0.545	0.0388473
6 - belka+zbr.(1+2)- mom.ujemny	7.000	0.404540	0.582	0.0451333
Mimośród siły sprzązającej	e = 0.3158 m			

B. Dla obciążzeń długotrwałych:

	n = Es/Eb	Pole przekroju < m ² >	Położenie środka ciężkości < m >	Moment bezwładn. < m ⁴ >
0 - belka + zbroj. zwykłe	20.000	0.357900	0.557	0.0369583
1 - belka osłabiona kanałami	1.000	0.357900	0.557	0.0369583
2 - belka z cięgnami spręż.	18.000	0.398911	0.524	0.0423344
3 - belka z płytą zesp.(1)	0.794	0.410340	0.532	0.0434608
4 - belka z płytą zesp.(1) i (2)	0.811	0.674794	0.708	0.0761180
5 - belka+zbr.(1) - mom.ujemny	20.000	0.398911	0.524	0.0423344
6 - belka+zbr.(1+2)- mom.ujemny	20.000	0.493111	0.615	0.0596695
Mimośród siły sprzązającej	e = 0.2942 m			

N A P R E Ź. C H A R A K T. W P R Z E K R O J U Z E S P O L O N Y M

< I > - Naprężenia w stanie początkowym

N A P R E Ź E N I A					
Nr poz.	Wysokość położenia	Normalne	Ścinające	Główne rozci	Zastępcze
		< m >	< MPa >	< MPa >	< MPa >
Naprężenia od sprężania po stratach doraźnych - t = 0					
W dźwigarze głównym					
7	0.900	0.364	0.000	0.000	
6	0.780	-2.403	0.000	0.000	
5	0.770	-2.634	0.000	0.000	
4	0.690	-4.479	0.000	0.000	
3	0.290	-13.702	0.000	0.000	
2	0.120	-17.621	0.000	0.000	
1	0.000	-20.388	0.000	0.000	
Naprężenia od ciężaru własnego belki - t = tn					

W dźwigarze głównym					
7	0.900	-0.868	-0.000	0.000	
6	0.780	-0.564	0.061	0.000	
5	0.770	-0.539	0.294	0.000	
4	0.690	-0.336	0.673	0.000	
3	0.290	0.677	0.634	0.000	
2	0.120	1.107	0.126	0.000	
1	0.000	1.411	0.000	0.000	
Razem - naprężenia w stanie początkowym					
W dźwigarze głównym					
7	0.900	-0.504	-0.000	0.000	
6	0.780	-2.967	0.061	0.001	
5	0.770	-3.173	0.294	0.027	
4	0.690	-4.815	0.673	0.092	
3	0.290	-13.025	0.634	0.031	
2	0.120	-16.514	0.126	0.001	
1	0.000	-18.977	0.000	0.000	

< II > - Naprężenia w stanie bezużytkowym

N A P R E Ź E N I A					
Nr poz.	Wysokość położenia	Normalne	Ścinające	Główne rozc	Zastępcze
	< m >	< MPa >	< MPa >	< MPa >	< MPa >
Naprężenia od strat spowodowanych relaksacją stali - t = tn					
W dźwigarze głównym					
7	0.900	-0.010	0.000	0.000	
6	0.780	0.070	0.000	0.000	
5	0.770	0.076	0.000	0.000	
4	0.690	0.130	0.000	0.000	
3	0.290	0.397	0.000	0.000	
2	0.120	0.511	0.000	0.000	
1	0.000	0.591	0.000	0.000	
Naprężenia od ciężaru stałego przed (1) zespoleniem - t = tn					
W dźwigarze głównym					
7	0.900	-0.056	-0.000	0.000	
6	0.780	-0.038	0.004	0.000	
5	0.770	-0.037	0.020	0.000	
4	0.690	-0.025	0.045	0.000	
3	0.290	0.035	0.043	0.000	
2	0.120	0.060	0.008	0.000	
1	0.000	0.078	0.000	0.000	
Naprężenia od skurczu i pełzania betonu w belce - t = tn					
W dźwigarze głównym					
7	0.900	-0.058	0.000	0.000	
6	0.780	0.386	0.000	0.000	
5	0.770	0.423	0.000	0.000	
4	0.690	0.719	0.000	0.000	
3	0.290	2.198	0.000	0.000	
2	0.120	2.826	0.000	0.000	
1	0.000	3.270	0.000	0.000	
Razem - naprężenia w stanie bezużytkowym					
W dźwigarze głównym					
7	0.900	-0.629	-0.000	0.000	
6	0.780	-2.550	0.066	0.002	
5	0.770	-2.710	0.314	0.036	
4	0.690	-3.991	0.718	0.125	
3	0.290	-10.395	0.677	0.044	
2	0.120	-13.117	0.134	0.001	
1	0.000	-15.038	0.000	0.000	

< III > - Naprężenia w stanie bezużytkowym po (1) zespoleniu

		N A P R E Ź E N I A			
Nr	Wysokość	Normalne	Ścinające	Główne rozc.	Zastępcze
poz.	położenia	< m >	< MPa >	< MPa >	< MPa >
Naprężenia od obc. stałego po (1) zespoleniu - t = tn					
W stali zbrojeniowej w płycie (1)					
W płycie zespolonej (1)					
2	0.900		0.000		
1	0.780		0.000		
W dźwigarze głównym					
7	0.900	0.999	0.000	0.000	
6	0.780	0.681	-0.084	0.000	
5	0.770	0.654	-0.400	0.000	
4	0.690	0.442	-0.915	0.000	
3	0.290	-0.620	-0.862	0.000	
2	0.120	-1.071	-0.171	0.000	
1	0.000	-1.389	0.000	0.000	
Razem - naprężenia w stanie bezużytkowym po (1) zespoleniu					
W stali zbrojeniowej w płycie (1)					
W płycie zespolonej (1)					
2	0.900		0.000		
1	0.780		0.000		
W dźwigarze głównym					
7	0.900	0.370	0.000	0.370	
6	0.780	-1.870	-0.018	0.000	
5	0.770	-2.056	-0.086	0.004	
4	0.690	-3.549	-0.197	0.011	
3	0.290	-11.015	-0.185	0.003	
2	0.120	-14.188	-0.037	0.000	
1	0.000	-16.427	0.000	0.000	

< IV > - Naprężenia w stanie bezużytkowym po (2) zespoleniu

		N A P R E Ź E N I A			
Nr	Wysokość	Normalne	Ścinające	Główne rozc.	Zastępcze
poz.	położenia	< m >	< MPa >	< MPa >	< MPa >
Naprężenia od obc. stałego po (2) zespoleniu - t = tn					
W stali zbrojeniowej w nadbetonie (2)					
1	1.000	41.426			
W nadbetonie zespolonym (2)					
2	1.040		0.000		
1	0.900		0.070		
W stali zbrojeniowej w płycie (1)					
W płycie zespolonej (1)					
2	0.900		0.000		
1	0.780		0.000		
W dźwigarze głównym					
7	0.900	1.534	0.076	0.000	
6	0.780	0.889	0.154	0.000	
5	0.770	0.835	0.723	0.000	
4	0.690	0.405	1.593	0.000	
3	0.290	-1.744	1.384	0.000	
2	0.120	-2.658	0.269	0.000	
1	0.000	-3.302	0.000	0.000	
Razem - naprężenia w stanie bezużytkowym po (2) zespoleniu					
W stali zbrojeniowej w nadbetonie (2)					
1	1.000	41.426			
W nadbetonie zespolonym (2)					
2	1.040		0.000		
1	0.900		0.070		

W stali zbrojeniowej w płycie (1)					
W płycie zespolonej (1)					
2	0.900		0.000		
1	0.780		0.000		
W dźwigarze głównym					
7	0.900	1.904	0.076	1.907	
6	0.780	-0.981	0.136	0.019	
5	0.770	-1.221	0.637	0.272	
4	0.690	-3.144	1.396	0.531	
3	0.290	-12.759	1.199	0.112	
2	0.120	-16.845	0.232	0.003	
1	0.000	-19.730	0.000	0.000	

< V > - Naprężenia w stanie użytkowym

N A P R E Ź E N I A					
Nr poz.	Wysokość położenia	Normalne	Ścinające	Główne rozcięcia	Zastępcze
	< m >	< MPa >	< MPa >	< MPa >	< MPa >
Naprężenia od obciążenia ruchomego - t = t0					
W stali zbrojeniowej w nadbetonie (2)					
1	1.000	51.648			
W nadbetonie zespolonym (2)					
2	1.040		-0.000		
1	0.900		0.038		
W stali zbrojeniowej w płycie (1)					
W płycie zespolonej (1)					
2	0.900		0.000		
1	0.780		0.000		
W dźwigarze głównym					
7	0.900	1.964	0.042	0.000	
6	0.780	1.222	0.171	0.000	
5	0.770	1.161	0.811	0.000	
4	0.690	0.666	1.819	0.000	
3	0.290	-1.807	1.639	0.000	
2	0.120	-2.857	0.297	0.000	
1	0.000	-3.599	0.000	0.000	
Razem - naprężenia w stanie użytkowym					
W stali zbrojeniowej w nadbetonie (2)					
1	1.000	93.074			
W nadbetonie zespolonym (2)					
2	1.040		-0.000		
1	0.900		0.108		
W stali zbrojeniowej w płycie (1)					
W płycie zespolonej (1)					
2	0.900		0.000		
1	0.780		0.000		
W dźwigarze głównym					
7	0.900	3.868	0.118	3.872	
6	0.780	0.242	0.308	0.452	
5	0.770	-0.060	1.448	1.418	
4	0.690	-2.478	3.215	2.207	
3	0.290	-14.566	2.838	0.533	
2	0.120	-19.703	0.529	0.014	
1	0.000	-23.329	0.000	0.000	

Oznaczenia:

znak (-) - naprężenia normalne ściskające

znak (+) - naprężenia normalne rozciągające

Naprężenia ścinające obliczone są dla rzeczywistej szerokości przekroju na danym poziomie obliczeniowym

t = t0 - obc. krótkotrwałe

t = tn - obc. długotrwałe

S I Ł A S P R E Ź A J A C A I S T R A T Y

Początkowa wartość siły sprężającej przed zakotwieniem przyjęto jako 65.00% nośności charakterystycznej ciegiem
 $P_{vk} = 4.2880 \text{ MN}$ - nośność charakterystyczna ciegiem
 $P_0 = 2.7872 \text{ MN}$ - siła przed zakotwieniem
 $P_{01} = 2.6984 \text{ MN}$ - siła po zakotwieniu z uwzgl. strat doraźnych
 $P_{0dop} = 2.7872 \text{ MN}$ - dopuszczalna siła sprężająca w stadium początkowym

$nv(1) = 0.0000 \text{ MN}$ - straty od tarcia kabli
 $nv(2) = 0.0000 \text{ MN}$ - straty od poślizgu w zakotwieniach
 $nv(4) = 0.0888 \text{ MN}$ - straty od odkształcenia sprężystego belki
 $nv(5) = 0.0962 \text{ MN}$ - straty od relaksacji stali sprężającej
 $nv(6) = 0.5322 \text{ MN}$ - straty od skurcza i pełzania betonu w belce
 $nv(7) = 0.0067 \text{ MN}$ - straty od skurcza płyty zesp. (1)
 $nv(8) = 0.1302 \text{ MN}$ - straty od skurcza nadbetonu (2)

$P_v = 1.9332 \text{ MN}$ - siła sprężająca z uwzgl. wszystkich strat
 $P_{vdop} = 2.3584 \text{ MN}$ - dopuszczalna siła sprężająca w stadium użytkowym
 Sumaryczne straty siły sprężającej - 30.64% siły początkowej
 Sumaryczny naciąg trwały splotów - 45.08% nośności charakterystycznej
 Dopuszczalny naciąg trwały splotów - 55.00% nośności charakterystycznej

Wsp. odporności belki na rysy $n = 1.20$ - obliczony został dla wytrzymałości betonu na rozc. $R(btk0.05) = 2.30 \text{ MPa}$

Straty siły sprężającej obliczono przy następujących założeniach:

Straty $nv(1)$:

- wsp. oporu kabla $\lambda(v) = 0.000$
- wsp. tarcia kabla $(R_0 v) = 0.000$
- średni promień zakrzywienia kabla $kr = 0.000 \text{ rad}$

Straty $nv(2)$:

- poślizg ciegiem w zakotwieniu $av = 0.000 \text{ m}$
- odległość przekroju oblicz. od czoła belki $lx = 1.500 \text{ m}$

Straty $nv(4)$:

- wsp. sprężystości belki w chwili kotwienia $E_b = 34600 \text{ MPa}$

Straty $nv(5)$:

- w pełnej wysokości wg. 5.6.2 PN-91/S-10042

Straty $nv(6)$:

- jedn. odkształcenie skurczowe w belce $es = 0.00032$
- wsp. pełzania betonu w belce $fp = 3.20$

N A P R E Ź. O B L I C Z. W P R Z E K R O J U Z E S P O L O N Y M

N A P R E Ź E N I A					
Nr poz.	Wysokość położenia	Normalne	Ścinające	Główne rozc.	Zastępcze
< m >	< MPa >	< MPa >	< MPa >	< MPa >	< MPa >
Razem - naprężenia w stanie początkowym					
W dźwigarze głównym					
7 0.900	-0.678	-0.000	0.000		
6 0.780	-3.080	0.074	0.002		
5 0.770	-3.280	0.353	0.038		
4 0.690	-4.882	0.808	0.130		
3 0.290	-12.889	0.761	0.045		
2 0.120	-16.293	0.151	0.001		
1 0.000	-18.695	0.000	0.000		
Razem - naprężenia w stanie bezużytkowym					
W dźwigarze głównym					
7 0.900	-0.814	-0.000	0.000		
6 0.780	-2.671	0.079	0.002		
5 0.770	-2.825	0.377	0.049		
4 0.690	-4.063	0.862	0.175		

3 0.290	-10.253	0.812	0.064	
2 0.120	-12.884	0.161	0.002	
1 0.000	-14.740	0.000	0.000	
<hr/>				
Razem - naprężenia w stanie bezużytkowym po (1) zespoleniu				
<hr/>				
W stali zbrojeniowej w płycie (1)				
W płycie zespolonej (1)				
2 0.900		0.000		
1 0.780		0.000		
W dźwigarze głównym				
7 0.900	0.385	0.000	0.385	
6 0.780	-1.854	-0.022	0.000	
5 0.770	-2.041	-0.103	0.005	
4 0.690	-3.533	-0.236	0.016	
3 0.290	-10.997	-0.222	0.004	
2 0.120	-14.168	-0.044	0.000	
1 0.000	-16.407	0.000	-0.000	
<hr/>				
Razem - naprężenia w stanie bezużytkowym po (2) zespoleniu				
<hr/>				
W stali zbrojeniowej w nadbetonie (2)				
1 1.000	49.711			
W nadbetonie zespolonym (2)				
2 1.040		0.000		
1 0.900		0.084		
W stali zbrojeniowej w płycie (1)				
W płycie zespolonej (1)				
2 0.900		0.000		
1 0.780		0.000		
W dźwigarze głównym				
7 0.900	2.226	0.091	2.229	
6 0.780	-0.787	0.164	0.033	
5 0.770	-1.038	0.764	0.405	
4 0.690	-3.047	1.676	0.741	
3 0.290	-13.089	1.439	0.156	
2 0.120	-17.358	0.278	0.004	
1 0.000	-20.370	0.000	0.000	
<hr/>				
Razem - naprężenia w stanie użytkowym				
<hr/>				
W stali zbrojeniowej w nadbetonie (2)				
1 1.000	127.183			
W nadbetonie zespolonym (2)				
2 1.040		-0.000		
1 0.900		0.142		
W stali zbrojeniowej w płycie (1)				
W płycie zespolonej (1)				
2 0.900		0.000		
1 0.780		0.000		
W dźwigarze głównym				
7 0.900	5.172	0.154	5.177	
6 0.780	1.046	0.421	1.195	
5 0.770	0.703	1.981	2.364	
4 0.690	-2.048	4.404	3.497	
3 0.290	-15.799	3.897	0.909	
2 0.120	-21.644	0.724	0.024	
1 0.000	-25.769	0.000	0.000	

Oznaczenia:

- znak (-) - naprężenia normalne ściskające
- znak (+) - naprężenia normalne rozciągające
- Naprężenia ścinające obliczone są dla rzeczywistej szerokości przekroju na danym poziomie obliczeniowym
- $t = t_0$ - obc. krótkotrwałe
- $t = t_n$ - obc. długotrwałe

KONIEC OBLICZEŃ

 * Wymiarowanie dźwigara sprężonego *
 * dwukrotnie zespolonego z płytą pomostu i nadbetonem *
 * metoda obliczeń wg. PN-91/S-10042 *

Nazwa obiektu: Most przez rz. Bystrzyce w Lublinie
 Nazwa elementu: Belka strunobetonowa zespolona z nadbetonem
 Dane przygotował: A. Łukasiewicz
 Data obliczeń: 07.2005

D A N E P O C Z A T K O W E - węzeł nr 8 - mom. ujemny

Charakterystyka przekroju podstawowego dźwigara głównego:

Nr poziomu	wys. położenia	szer. powyżej	szer. poniżej
	< m >	< m >	< m >
7	0.900	0.000	1.380
6	0.780	1.380	1.380
5	0.770	0.300	0.300
4	0.690	0.140	0.140
3	0.290	0.140	0.140
2	0.120	0.480	0.480
1	0.000	0.480	0.000

Moduł sprężystości dźwigara głównego $E_0 = 37800 \text{ MPa}$

Jedn. odkształcenie skurczowe w belce $\epsilon_s = 0.00032$

Wsp. pełzania w chwili sprężenia $f_p = 3.20$

Wsp. pełzania w chwili zabet. płyty $f_p = 2.10$

Wytrz. charakt. betonu na rozc. R(btk0.05) = 2.300 MPa

Położenieciągów sprężających typu 1 :

Nr poziomu	wys. położenia	liczba ciągów
	< m >	< szt >
3	0.370	28
2	0.110	4
1	0.060	32

Przekrój pojed. ciągna sprężającego $a_v(1) = 0.356 \text{ cm}^2$

Moduł sprężystości stali sprężającej $E_s = 180000 \text{ MPa}$

Charakt. siła zrywająca 1 ciągno $N_v(1) = 0.0670 \text{ MN}$

Charakterystyka płyty zespolonej (1):

Nr poziomu	wys. położenia	szer. powyżej	szer. poniżej
	< m >	< m >	< m >
2	0.900	0.000	0.120
1	0.780	0.120	0.000

Moduł sprężystości płyty (1) $E_b = 30000 \text{ MPa}$

Wsp. pełzania betonu $f_p = 2.10$

Różnica wsp. skurczu między płytą a belką: $\delta(s) = 0.000160$

Charakterystyka nadbetonu zespolonego (2):

Nr poziomu	wys. położenia	szer. powyżej	szer. poniżej
	< m >	< m >	< m >
2	1.035	0.000	1.500
1	0.900	1.500	0.000

Moduł sprężystości nadbetonu (2) $E_b = 34600 \text{ MPa}$

Wsp. pełzania betonu $f_p = 2.50$

Różnica wsp. skurczu między nadbetonem a belką: $\delta(s) = 0.000130$

Położenie stali zbrojeniowej w nadbetonie (2):

Nr poziomu wys. położenia przekrój stali

	< m >	< cm ² >
2	0.000	0.00
1	0.995	31.41

Moduł sprężystości stali zbrojeniowej $E_z = 210000 \text{ MPa}$

O B C I A . Ź E N I A

	Moment zginający < MNm >	Sila poprzeczna < MN >	Wsp. obciążenia
- c.własny belki	0.17000	0.05600	1.200
- c.stał przed zespooleniem	0.01140	0.00400	1.200
- c.stał po 1 zespołaniu	-0.07500	0.02900	1.200
- c.stał po 2 zespołaniu	-0.10650	0.03650	1.200
- obs. ruchome	-0.30600	0.16020	1.500

W Y N I K I O B L I C Z E Ņ

Obliczone charakterystyki przekroju sprężonego zespołonego z płytą:

A. Dla obciążień krótkotrwałych:

	n = Es/Eb	Pole przekroju poprzeczn.	Położenie środka ciężkości	Moment bezwładn.
		< m ² >	< m >	< m ⁴ >
0 - belka + zbroj. zwykłe	7.000	0.357900	0.557	0.0369583
1 - belka osłabiona kanałami	1.000	0.357900	0.557	0.0369583
2 - belka z cięgnami spręż.	6.000	0.371570	0.544	0.0389643
3 - belka z płytą zesp. (1)	0.794	0.382999	0.553	0.0399491
4 - belka z płytą zesp. (1) i (2)	0.915	0.590343	0.700	0.0636966
5 - belka+zbr. (1) - mom.ujemny	7.000	0.371570	0.544	0.0389643
6 - belka+zbr. (1+2) - mom.ujemny	7.000	0.393557	0.569	0.0431989
Mimośród siły sprężającej	e = 0.3453 m			

B. Dla obciążień długotrwałych:

	n = Es/Eb	Pole przekroju poprzeczn.	Położenie środka ciężkości	Moment bezwładn.
		< m ² >	< m >	< m ⁴ >
0 - belka + zbroj. zwykłe	20.000	0.357900	0.557	0.0369583
1 - belka osłabiona kanałami	1.000	0.357900	0.557	0.0369583
2 - belka z cięgnami spręż.	18.000	0.398911	0.520	0.0426282
3 - belka z płytą zesp. (1)	0.794	0.410340	0.529	0.0437769
4 - belka z płytą zesp. (1) i (2)	0.811	0.637333	0.688	0.0731084
5 - belka+zbr. (1) - mom.ujemny	20.000	0.398911	0.520	0.0426282
6 - belka+zbr. (1+2) - mom.ujemny	20.000	0.461731	0.585	0.0548785
Mimośród siły sprężającej	e = 0.3216 m			

N A P R E Ź . C H A R A K T . W P R Z E K R O J U Z E S P O L O N Y M

< I > - Naprężenia w stanie początkowym

N A P R E Ź E N I A					
Nr [poz.]	Wysokość położenia	Normalne	Ścinające	Główne rozci	Zastępcze
		< m >	< MPa >	< MPa >	< MPa >
Naprężenia od sprężenia po stratach doraźnych - t = 0					
W dźwigarze głównym					
7 0.900		1.143	0.000	0.000	
6 0.780		-1.481	0.000	0.000	
5 0.770		-1.700	0.000	0.000	
4 0.690		-3.448	0.000	0.000	
3 0.290		-12.193	0.000	0.000	
2 0.120		-15.910	0.000	0.000	
1 0.000		-18.533	0.000	0.000	
Naprężenia od ciężaru własnego belki - t = tn					

W dźwigarze głównym					
7	0.900	-1.514	0.000	0.000	
6	0.780	-1.035	0.050	0.000	
5	0.770	-0.995	0.241	0.000	
4	0.690	-0.676	0.552	0.000	
3	0.290	0.919	0.511	0.000	
2	0.120	1.597	0.101	0.000	
1	0.000	2.075	0.000	0.000	
Razem - naprężenia w stanie początkowym					
W dźwigarze głównym					
7	0.900	-0.371	0.000	0.000	
6	0.780	-2.516	0.050	0.001	
5	0.770	-2.695	0.241	0.021	
4	0.690	-4.125	0.552	0.073	
3	0.290	-11.274	0.511	0.023	
2	0.120	-14.313	0.101	0.001	
1	0.000	-16.458	0.000	0.000	

< II > - Naprężenia w stanie bezużytkowym

N A P R E Ź E N I A					
Nr poz.	Wysokość położenia	Normalne	Ścinające	Główne rozcz	Zastępcze
	< m >	< MPa >	< MPa >	< MPa >	< MPa >
Naprężenia od strat spowodowanych relaksacją stali - t = tn					
W dźwigarze głównym					
7	0.900	-0.034	0.000	0.000	
6	0.780	0.053	0.000	0.000	
5	0.770	0.060	0.000	0.000	
4	0.690	0.118	0.000	0.000	
3	0.290	0.408	0.000	0.000	
2	0.120	0.532	0.000	0.000	
1	0.000	0.619	0.000	0.000	
Naprężenia od ciężaru stałego przed (1) zespoleniem - t = tn					
W dźwigarze głównym					
7	0.900	-0.102	0.000	0.000	
6	0.780	-0.069	0.004	0.000	
5	0.770	-0.067	0.017	0.000	
4	0.690	-0.045	0.039	0.000	
3	0.290	0.062	0.036	0.000	
2	0.120	0.107	0.007	0.000	
1	0.000	0.139	0.000	0.000	
Naprężenia od skurczu i pełzania betonu w belce - t = tn					
W dźwigarze głównym					
7	0.900	-0.179	0.000	0.000	
6	0.780	0.275	0.000	0.000	
5	0.770	0.312	0.000	0.000	
4	0.690	0.615	0.000	0.000	
3	0.290	2.128	0.000	0.000	
2	0.120	2.770	0.000	0.000	
1	0.000	3.224	0.000	0.000	
Razem - naprężenia w stanie bezużytkowym					
W dźwigarze głównym					
7	0.900	-0.686	0.000	0.000	
6	0.780	-2.258	0.054	0.001	
5	0.770	-2.389	0.258	0.028	
4	0.690	-3.437	0.592	0.099	
3	0.290	-8.677	0.547	0.034	
2	0.120	-10.904	0.109	0.001	
1	0.000	-12.476	0.000	0.000	

< III > - Naprężenia w stanie bezużytkowym po (1) zespoleniu

N A P R E Ź E N I A					
Nr poz.	Wysokość położenia	Normalne	Ścinające	Główne rozc.	Zastępcze
	< m >	< MPa >	< MPa >	< MPa >	< MPa >
Naprężenia od obc. stałego po (1) zespoleniu - t = tn					
W stali zbrojeniowej w płycie (1)					
W płycie zespalonej (1)					
2	0.900		0.000		
1	0.780		0.000		
W dźwigarze głównym					
7	0.900	0.668	0.000	0.000	
6	0.780	0.457	0.026	0.000	
5	0.770	0.439	0.125	0.000	
4	0.690	0.298	0.286	0.000	
3	0.290	-0.405	0.265	0.000	
2	0.120	-0.704	0.052	0.000	
1	0.000	-0.916	0.000	0.000	
Razem - naprężenia w stanie bezużytkowym po (1) zespoleniu					
W stali zbrojeniowej w płycie (1)					
W płycie zespalonej (1)					
2	0.900		0.000		
1	0.780		0.000		
W dźwigarze głównym					
7	0.900	-0.019	0.000	0.000	
6	0.780	-1.802	0.080	0.004	
5	0.770	-1.950	0.383	0.073	
4	0.690	-3.139	0.878	0.229	
3	0.290	-9.082	0.812	0.072	
2	0.120	-11.608	0.161	0.002	
1	0.000	-13.391	0.000	0.000	

< IV > - Naprężenia w stanie bezużytkowym po (2) zespoleniu

N A P R E Ź E N I A					
Nr poz.	Wysokość położenia	Normalne	Ścinające	Główne rozc.	Zastępcze
	< m >	< MPa >	< MPa >	< MPa >	< MPa >
Naprężenia od obc. stałego po (2) zespoleniu - t = tn					
W stali zbrojeniowej w nadbetonie (2)					
1	0.995	15.915			
W nadbetonie zespolonym (2)					
2	1.035		-0.000		
1	0.900		0.011		
W stali zbrojeniowej w płycie (1)					
W płycie zespalonej (1)					
2	0.900		0.000		
1	0.780		0.000		
W dźwigarze głównym					
7	0.900	0.611	0.012	0.000	
6	0.780	0.379	0.033	0.000	
5	0.770	0.359	0.154	0.000	
4	0.690	0.204	0.343	0.000	
3	0.290	-0.572	0.300	0.000	
2	0.120	-0.902	0.059	0.000	
1	0.000	-1.135	0.000	0.000	
Razem - naprężenia w stanie bezużytkowym po (2) zespoleniu					
W stali zbrojeniowej w nadbetonie (2)					
1	0.995	15.915			
W nadbetonie zespolonym (2)					
2	1.035		-0.000		

1	0.900		0.011			
W stali zbrojeniowej w płycie (1)						
W płycie zespolonej (1)						
2	0.900		0.000			
1	0.780		0.000			
W dźwigarze głównym						
7	0.900	0.593	0.012	0.593		
6	0.780	-1.423	0.113	0.009		
5	0.770	-1.591	0.538	0.165		
4	0.690	-2.935	1.221	0.441		
3	0.290	-9.655	1.112	0.126		
2	0.120	-12.511	0.219	0.004		
1	0.000	-14.527	0.000	0.000		

< V > - Naprężenia w stanie użytkowym

N A P R E Ź E N I A						
Nr poz.	Wysokość położenia	Normalne	Ścinające	Główne rozci	Zastępcze	
	< m >	< MPa >	< MPa >	< MPa >	< MPa >	
Naprężenia od obciążenia ruchomego - t = t0						
W stali zbrojeniowej w nadbetonie (2)						
1	0.995	60.317				
W nadbetonie zespolonym (2)						
2	1.035		-0.000			
1	0.900		0.023			
W stali zbrojeniowej w płycie (1)						
W płycie zespolonej (1)						
2	0.900		0.000			
1	0.780		0.000			
W dźwigarze głównym						
7	0.900	2.343	0.025	0.000		
6	0.780	1.493	0.146	0.000		
5	0.770	1.422	0.691	0.000		
4	0.690	0.855	1.559	0.000		
3	0.290	-1.978	1.410	0.000		
2	0.120	-3.182	0.257	0.000		
1	0.000	-4.032	0.000	0.000		
Razem - naprężenia w stanie użytkowym						
W stali zbrojeniowej w nadbetonie (2)						
1	0.995	76.232				
W nadbetonie zespolonym (2)						
2	1.035		-0.000			
1	0.900		0.035			
W stali zbrojeniowej w płycie (1)						
W płycie zespolonej (1)						
2	0.900		0.000			
1	0.780		0.000			
W dźwigarze głównym						
7	0.900	2.936	0.038	2.936		
6	0.780	0.070	0.258	0.296		
5	0.770	-0.169	1.229	1.147		
4	0.690	-2.080	2.780	1.928		
3	0.290	-11.633	2.521	0.523		
2	0.120	-15.693	0.476	0.014		
1	0.000	-18.559	0.000	0.000		

Oznaczenia:

- znak (-) - naprężenia normalne ściskające
- znak (+) - naprężenia normalne rozciągające
- Naprężenia ścinające obliczone są dla rzeczywistej szerokości przekroju na danym poziomie obliczeniowym
- t = t0 - obc. krótkotrwałe
- t = tn - obc. długotrwałe

S I Ł A S P R E Ź A J A C A I S T R A T Y

Początkową wartość siły sprężającej przed zakotwieniem przyjęto jako 65.00% nośności charakterystycznej ciegien
 $P_{vk} = 4.2880 \text{ MN}$ - nośność charakterystyczna ciegien
 $P_0 = 2.7872 \text{ MN}$ - siła przed zakotwieniem
 $P_{01} = 2.4669 \text{ MN}$ - siła po zakotwieniu z uwzgl. strat doraźnych
 $P_{0dop} = 2.7872 \text{ MN}$ - dopuszczalna siła sprężająca w stadium początkowym

$nV(3) = 0.1230 \text{ MN}$ - straty od różn. temp. ciegien i urządzeń oporowych
 $nV(4) = 0.1973 \text{ MN}$ - straty od odkształcenia spręzystego belki
 $nV(5) = 0.0962 \text{ MN}$ - straty od relaksacji stali sprężającej
 $nV(6) = 0.5012 \text{ MN}$ - straty od skurcza i pełzania betonu w belce
 $nV(7) = 0.0054 \text{ MN}$ - straty od skurcza płyty zesp.: (1)
 $nV(8) = 0.1261 \text{ MN}$ - straty od skurcza nadbetonu (2)

$P_v = 1.7381 \text{ MN}$ - siła sprężająca z uwzgl. wszystkich strat
 $P_{vdop} = 2.3584 \text{ MN}$ - dopuszczalna siła sprężająca w stadium użytkowym
 Sumaryczne straty siły sprężającej - 37.64% siły początkowej
 Sumaryczny naciąg trwały splotów - 40.53% nośności charakterystycznej
 Dopuszczalny naciąg trwały splotów - 55.00% nośności charakterystycznej

Wsp. odporności belki na rysy $n = 1.81$ - obliczony został dla wytrzymałości betonu na rozc. $R(btk0.05) = 2.30 \text{ MPa}$

Straty siły sprężającej obliczono przy następujących założeniach:

Straty $nV(3)$:

- różnica temp. ciegien i urządzeń oporowych $dt = 60$ stopni C

Straty $nV(4)$:

- wsp. spręzystości belki w chwili kotwienia $E_b = 34600 \text{ MPa}$

Straty $nV(5)$:

- w pełnej wysokości wg. 5.6.2 PN-91/S-10042

Straty $nV(6)$:

- jedn. odkształcenie skurczowe w belce $\epsilon_s = 0.00032$

- wsp. pełzania betonu w belce $f_p = 3.20$

N A P R E Ź . O B L I C Z . W P R Z E K R O J U Z E S P O L O N Y M

N A P R E Ź E N I A					
Nr poz.	Wysokość położenia	Normalne	Ścinające	Główne rozc.	Zastępcze
< m >	< MPa >	< MPa >	< MPa >	< MPa >	< MPa >
Razem - naprężenia w stanie początkowym					
W dźwigarze głównym					
7	0.900	-0.674	0.000	0.000	
6	0.780	-2.723	0.060	0.001	
5	0.770	-2.894	0.289	0.029	
4	0.690	-4.260	0.663	0.101	
3	0.290	-11.091	0.613	0.034	
2	0.120	-13.994	0.122	0.001	
1	0.000	-16.043	0.000	-0.000	
Razem - naprężenia w stanie bezużytkowym					
W dźwigarze głównym					
7	0.900	-1.009	0.000	0.000	
6	0.780	-2.479	0.065	0.002	
5	0.770	-2.602	0.310	0.036	
4	0.690	-3.582	0.710	0.136	
3	0.290	-8.481	0.657	0.051	
2	0.120	-10.563	0.130	0.002	
1	0.000	-12.033	0.000	0.000	
Razem - naprężenia w stanie bezużytkowym po (1) zespoleniu					

W stali zbrojeniowej w płycie (1)					
W płycie zespolonej (1)					
2 0.900		0.000			
1 0.780		0.000			
W dźwigarze głównym					
7 0.900	-0.208	0.000	0.000		
6 0.780	-1.931	0.096	0.005		
5 0.770	-2.075	0.460	0.097		
4 0.690	-3.224	1.053	0.314		
3 0.290	-8.967	0.974	0.105		
2 0.120	-11.408	0.193	0.003		
1 0.000	-13.132	0.000	0.000		
Razem - naprężenia w stanie bezużytkowym po (2) zespoleniu					
W stali zbrojeniowej w nadbetonie (2)					
1 0.995	19.098				
W nadbetonie zespolonym (2)					
2 1.035		-0.000			
1 0.900		0.014			
W stali zbrojeniowej w płycie (1)					
W płycie zespolonej (1)					
2 0.900		0.000			
1 0.780		0.000			
W dźwigarze głównym					
7 0.900	0.526	0.015	0.526		
6 0.780	-1.477	0.135	0.012		
5 0.770	-1.644	0.645	0.223		
4 0.690	-2.979	1.465	0.600		
3 0.290	-9.654	1.334	0.181		
2 0.120	-12.491	0.263	0.006		
1 0.000	-14.494	0.000	0.000		
Razem - naprężenia w stanie użytkowym					
W stali zbrojeniowej w nadbetonie (2)					
1 0.995	109.573				
W nadbetonie zespolonym (2)					
2 1.035		-0.000			
1 0.900		0.048			
W stali zbrojeniowej w płycie (1)					
W płycie zespolonej (1)					
2 0.900		0.000			
1 0.780		0.000			
W dźwigarze głównym					
7 0.900	4.040	0.053	4.041		
6 0.780	0.762	0.354	0.901		
5 0.770	0.489	1.682	1.945		
4 0.690	-1.696	3.803	3.049		
3 0.290	-12.621	3.449	0.881		
2 0.120	-17.265	0.648	0.024		
1 0.000	-20.542	0.000	-0.000		

Oznaczenia:

znak (-) - naprężenia normalne ściskające
 znak (+) - naprężenia normalne rozciągające
 Naprężenia ścinające obliczone są dla rzeczywistej
 szerokości przekroju na danym poziomie obliczeniowym
 $t = t_0$ - obc. krótkotrwałe
 $t = t_n$ - obc. długotrwałe

KONIEC OBLCZEN

 * Wymiarowanie dźwigara sprężonego *
 * dwukrotnie zespolonego z płytą pomostu i nadbetonem *
 * metoda obliczeń wg. PN-91/S-10042 *

Nazwa obiektu: Most przez rz. Bystrzyce w Lublinie
 Nazwa elementu: Belka strunobetonowa zespolona z nadbetonem
 Dane przygotował: A. Łukasiewicz
 Data obliczeń: 07.2005

DANE POCZĄTKOWE - węzeł nr 9 - moment ujemny

Charakterystyka przekroju podstawowego dźwigara głównego:

Nr poziomu	wys. położenia	szer. powyżej	szer. poniżej
	< m >	< m >	< m >
7	0.900	0.000	1.380
6	0.780	1.380	1.380
5	0.770	0.300	0.300
4	0.690	0.140	0.140
3	0.290	0.140	0.140
2	0.120	0.480	0.480
1	0.000	0.480	0.000

Moduł sprężystości dźwigara głównego $E_0 = 37800 \text{ MPa}$

Jedn. odkształcenie skurczowe w belce $\epsilon_s = 0.00032$

Wsp. pełzania w chwili sprężenia $f_p = 3.20$

Wsp. pełzania w chwili zabet. płyty $f_p = 2.10$

Wytrz. charakt. betonu na rozc. R(btk0.05) = 2.300 MPa

Położenie cięgien sprężających typu 1 :

Nr poziomu wys. położenia liczba cięgien

	< m >	< szt >
3	0.220	28
2	0.110	4
1	0.060	32

Przekrój pojed. cięgna sprężającego $a_v(1) = 0.356 \text{ cm}^2$

Moduł sprężystości stali sprężającej $E_s = 180000 \text{ MPa}$

Charakt. siła zrywająca 1 cięgno $N_v(1) = 0.0670 \text{ MN}$

Charakterystyka płyty zespolonej (1):

Nr poziomu	wys. położenia	szer. powyżej	szer. poniżej
	< m >	< m >	< m >
2	0.900	0.000	0.120
1	0.780	0.120	0.000

Moduł sprężystości płyty (1) $E_b = 30000 \text{ MPa}$

Wsp. pełzania betonu $f_p = 2.10$

Różnica wsp. skurczu między płytą a belką: $\delta(s) = 0.000160$

Charakterystyka nadbetonu zespolonego (2):

Nr poziomu	wys. położenia	szer. powyżej	szer. poniżej
	< m >	< m >	< m >
2	1.025	0.000	1.500
1	0.900	1.500	0.000

Moduł sprężystości nadbetonu (2) $E_b = 34600 \text{ MPa...}$

Wsp. pełzania betonu $f_p = 2.50$

Różnica wsp. skurczu między nadbetonem a belką: $\delta(s) = 0.000130$

Położenie stali zbrojeniowej w nadbetonie (2):

Nr poziomu wys. położenia przekrój stali

	< m >	< cm ² >
2	0.000	0.00
1	0.985	15.71

Moduł sprężystości stali zbrojeniowej $E_z = 210000 \text{ MPa}$

O B C I A Ż E N I A

	Moment zginający < MNm >	Siła poprzeczna < MN >	Wsp. obciążenia
- c.własny belki	0.28610	0.02810	1.200
- c.stał przed zespołem	0.02200	0.00200	1.200
- c.stał po 1 zespoleniu	-0.01440	0.01430	1.200
- c.stał po 2 zespoleniu	-0.10650	0.01900	1.200
- obc. ruchome	-0.23534	0.10200	1.500

W Y N I K I O B L I C Z E N

Obliczone charakterystyki przekroju sprężonego zespołowego z płytą:

A. Dla obciążen krótkotrwałych:

	n = Es/Eb	Pole przekroju < m ² >	Położenie środka ciężkości < m >	Moment bezwładn. < m ⁴ >
0 - belka + zbroj. zwykłe	7.000	0.357900	0.557	0.0369583
1 - belka osłabiona kanałami	1.000	0.357900	0.557	0.0369583
2 - belka z cięgnami spręż.	6.000	0.371570	0.542	0.0394089
3 - belka z płytą zesp.(1)	0.794	0.382999	0.551	0.0404097
4 - belka z płytą zesp.(1) i (2)	0.915	0.565623	0.684	0.0617629
5 - belka+zbr.(1) - mom.ujemny	7.000	0.371570	0.542	0.0394089
6 - belka+zbr.(1+2)- mom.ujemny	7.000	0.382567	0.554	0.0415134

Mimośród siły sprężającej e = 0.4085 m

B. Dla obciążen długotrwałych:

	n = Es/Eb	Pole przekroju < m ² >	Położenie środka ciężkości < m >	Moment bezwładn. < m ⁴ >
0 - belka + zbroj. zwykłe	20.000	0.357900	0.557	0.0369583
1 - belka osłabiona kanałami	1.000	0.357900	0.557	0.0369583
2 - belka z cięgnami spręż.	18.000	0.398911	0.514	0.0438232
3 - belka z płytą zesp.(1)	0.794	0.410340	0.523	0.0450203
4 - belka z płytą zesp.(1) i (2)	0.811	0.593772	0.660	0.0701792
5 - belka+zbr.(1) - mom.ujemny	20.000	0.398911	0.514	0.0438232
6 - belka+zbr.(1+2)- mom.ujemny	20.000	0.430331	0.549	0.0503054

Mimośród siły sprężającej e = 0.3805 m

N A P R E Ź. C H A R A K T. W P R Z E K R O J U Z E S P O L O N Y M

< I > - Naprężenia w stanie początkowym

N A P R E Ź E N I A					
Nr poz.	Wysokość położenia	Normalne	Ścinające	Główne rozci	Zastępcze
	< m >	< MPa >	< MPa >	< MPa >	< MPa >
Naprężenia od sprężania po stratach doraźnych - t = 0					
W dźwigarze głównym					
7 0.900	2.484	0.000	0.000	0.000	
6 0.780	-0.535	0.000	0.000	0.000	
5 0.770	-0.786	0.000	0.000	0.000	
4 0.690	-2.799	0.000	0.000	0.000	
3 0.290	-12.861	0.000	0.000	0.000	
2 0.120	-17.137	0.000	0.000	0.000	
1 0.000	-20.155	0.000	0.000	0.000	
Naprężenia od ciężaru własnego belki - t = tn					

W dźwigarze głównym					
7	0.900	-2.522	0.000	0.000	
6	0.780	-1.739	0.025	0.000	
5	0.770	-1.674	0.120	0.000	
4	0.690	-1.151	0.275	0.000	
3	0.290	1.460	0.269	0.000	
2	0.120	2.570	0.049	0.000	
1	0.000	3.353	0.000	0.000	

Razem - naprężenia w stanie początkowym

W dźwigarze głównym					
7	0.900	-0.039	0.000	0.000	
6	0.780	-2.274	0.025	0.000	
5	0.770	-2.460	0.120	0.006	
4	0.690	-3.950	0.275	0.019	
3	0.290	-11.400	0.269	0.006	
2	0.120	-14.567	0.049	0.000	
1	0.000	-16.802	0.000	0.000	

< II > - Naprężenia w stanie bezużytkowym

N A P R E Ź E N I A					
Nr poz.	Wysokość położenia	Normalne	Ścinające	Główne rozcięcia	Zastępcze
	< m >	< MPa >	< MPa >	< MPa >	< MPa >

Naprężenia od strat spowodowanych relaksacją stali - t = tn

W dźwigarze głównym					
7	0.900	-0.082	0.000	0.000	
6	0.780	0.019	0.000	0.000	
5	0.770	0.027	0.000	0.000	
4	0.690	0.094	0.000	0.000	
3	0.290	0.428	0.000	0.000	
2	0.120	0.570	0.000	0.000	
1	0.000	0.670	0.000	0.000	

Naprężenia od ciężaru stałego przed (1) zespoleniem - t = tn

W dźwigarze głównym					
7	0.900	-0.194	0.000	0.000	
6	0.780	-0.134	0.002	0.000	
5	0.770	-0.129	0.009	0.000	
4	0.690	-0.089	0.020	0.000	
3	0.290	0.112	0.019	0.000	
2	0.120	0.198	0.003	0.000	
1	0.000	0.258	0.000	0.000	

Naprężenia od skurczu i pełzania betonu w belce - t = tn

W dźwigarze głównym					
7	0.900	-0.440	0.000	0.000	
6	0.780	0.101	0.000	0.000	
5	0.770	0.146	0.000	0.000	
4	0.690	0.506	0.000	0.000	
3	0.290	2.310	0.000	0.000	
2	0.120	3.076	0.000	0.000	
1	0.000	3.617	0.000	0.000	

Razem - naprężenia w stanie bezużytkowym

W dźwigarze głównym					
7	0.900	-0.754	0.000	0.000	
6	0.780	-2.288	0.027	0.000	
5	0.770	-2.416	0.129	0.007	
4	0.690	-3.438	0.295	0.025	
3	0.290	-8.551	0.289	0.010	
2	0.120	-10.723	0.052	0.000	
1	0.000	-12.257	0.000	-0.000	

< III > - Naprężenia w stanie bezużytkowym po (1) zespoleniu

N A P R E Ź E N I A					
Nr poz.	Wysokość położenia	Normalne	Ścinające	Główne rozc.	Zastępcze
	< m >	< MPa >	< MPa >	< MPa >	< MPa >
Naprężenia od obc. stałego po (1) zespoleniu - t = tn					
W stali zbrojeniowej w płycie (1)					
W płycie zespolonej (1)					
2	0.900		0.000		
1	0.780		0.000		
W dźwigarze głównym					
7	0.900	0.127	0.000	0.000	
6	0.780	0.088	0.013	0.000	
5	0.770	0.084	0.061	0.000	
4	0.690	0.058	0.140	0.000	
3	0.290	-0.073	0.137	0.000	
2	0.120	-0.129	0.025	0.000	
1	0.000	-0.169	0.000	0.000	
Razem - naprężenia w stanie bezużytkowym po (1) zespoleniu					
W stali zbrojeniowej w płycie (1)					
W płycie zespolonej (1)					
2	0.900		0.000		
1	0.780		0.000		
W dźwigarze głównym					
7	0.900	-0.627	0.000	0.000	
6	0.780	-2.201	0.040	0.001	
5	0.770	-2.332	0.190	0.015	
4	0.690	-3.380	0.435	0.055	
3	0.290	-8.624	0.426	0.021	
2	0.120	-10.853	0.077	0.001	
1	0.000	-12.426	0.000	0.000	

< IV > - Naprężenia w stanie bezużytkowym po (2) zespoleniu

N A P R E Ź E N I A					
Nr poz.	Wysokość położenia	Normalne	Ścinające	Główne rozc.	Zastępcze
	< m >	< MPa >	< MPa >	< MPa >	< MPa >
Naprężenia od obc. stałego po (2) zespoleniu - t = tn					
W stali zbrojeniowej w nadbetonie (2)					
1	0.985	18.501			
W nadbetonie zespolonym (2)					
2	1.025		0.000		
1	0.900		0.003		
W stali zbrojeniowej w płycie (1)					
W płycie zespolonej (1)					
2	0.900		0.000		
1	0.780		0.000		
W dźwigarze głównym					
7	0.900	0.745	0.004	0.000	
6	0.780	0.491	0.017	0.000	
5	0.770	0.470	0.081	0.000	
4	0.690	0.301	0.182	0.000	
3	0.290	-0.546	0.173	0.000	
2	0.120	-0.906	0.031	0.000	
1	0.000	-1.160	0.000	0.000	
Razem - naprężenia w stanie bezużytkowym po (2) zespoleniu					
W stali zbrojeniowej w nadbetonie (2)					
1	0.985	18.501			
W nadbetonie zespolonym (2)					
2	1.025		0.000		

1 0.900		0.003			
W stali zbrojeniowej w płycie (1)					
W płycie zespolonej (1)					
2 0.900		0.000			
1 0.780		0.000			
W dźwigarze głównym					
7 0.900	0.118	0.004	0.118		
6 0.780	-1.710	0.057	0.002		
5 0.770	-1.862	0.271	0.039		
4 0.690	-3.080	0.617	0.119		
3 0.290	-9.171	0.598	0.039		
2 0.120	-11.759	0.108	0.001		
1 0.000	-13.586	0.000	0.000		

< V > - Naprężenia w stanie użytkowym

N A P R E Ź E N I A					
Nr poz.	Wysokość położenia	Normalne	Ścinające	Główne rozcięcia	Zastępcze
	< m >	< MPa >	< MPa >	< MPa >	< MPa >
Naprężenia od obciążenia ruchomego - t = t0					
W stali zbrojeniowej w nadbetonie (2)					
1 0.985	48.823				
W nadbetonie zespolonym (2)					
2 1.025		-0.000			
1 0.900		0.008			
W stali zbrojeniowej w płycie (1)					
W płycie zespolonej (1)					
2 0.900		0.000			
1 0.780		0.000			
W dźwigarze głównym					
7 0.900	1.959	0.008	0.000		
6 0.780	1.279	0.093	0.000		
5 0.770	1.222	0.441	0.000		
4 0.690	0.769	1.002	0.000		
3 0.290	-1.499	0.938	0.000		
2 0.120	-2.463	0.165	0.000		
1 0.000	-3.143	0.000	0.000		
Razem - naprężenia w stanie użytkowym					
W stali zbrojeniowej w nadbetonie (2)					
1 0.985	67.324				
W nadbetonie zespolonym (2)					
2 1.025		-0.000			
1 0.900		0.011			
W stali zbrojeniowej w płycie (1)					
W płycie zespolonej (1)					
2 0.900		0.000			
1 0.780		0.000			
W dźwigarze głównym					
7 0.900	2.077	0.012	2.077		
6 0.780	-0.431	0.149	0.047		
5 0.770	-0.639	0.712	0.461		
4 0.690	-2.311	1.618	0.833		
3 0.290	-10.669	1.537	0.217		
2 0.120	-14.222	0.273	0.005		
1 0.000	-16.729	0.000	0.000		

Oznaczenia:

- znak (-) - naprężenia normalne ściskające
- znak (+) - naprężenia normalne rozciągające
- Naprężenia ścinające obliczone są dla rzeczywistej szerokości przekroju na danym poziomie obliczeniowym
- t = t0 - obr. krótkotrwale
- t = tn - obr. długotrwałe

S I Ł A S P R E Ź A J A C A I S T R A T Y

Początkowa wartość siły sprężającej przed zakotwieniem przyjęto jako 65.00% nośności charakterystycznej cięgien
 $P_{vk} = 4.2880 \text{ MN}$ - nośność charakterystyczna cięgien
 $P_0 = 2.7872 \text{ MN}$ - siła przed zakotwieniem
 $P_{01} = 2.4266 \text{ MN}$ - siła po zakotwieniu z uwzgl. strat doraźnych
 $P_{0dop} = 2.7872 \text{ MN}$ - dopuszczalna siła sprężająca w stadium początkowym

$nv(3) = 0.1230 \text{ MN}$ - straty od różn. temp. cięgien i urządzeń oporowych
 $nv(4) = 0.2375 \text{ MN}$ - straty od odkształcenia sprężystego belki
 $nv(5) = 0.0962 \text{ MN}$ - straty od relaksacji stali sprężającej
 $nv(6) = 0.5192 \text{ MN}$ - straty od skurcza i pełzania betonu w belce
 $nv(7) = 0.0054 \text{ MN}$ - straty od skurcza płyty zesp.(1)
 $nv(8) = 0.1261 \text{ MN}$ - straty od skurcza nadbetonu (2)

$P_v = 1.6798 \text{ MN}$ - siła sprężająca z uwzgl. wszystkich strat
 $P_{vdop} = 2.3584 \text{ MN}$ - dopuszczalna siła sprężająca w stadium użytkowym
 Sumaryczne straty siły sprężającej - 39.73% siły początkowej
 Sumaryczny naciąg trwały splotów - 39.17% nośności charakterystycznej
 Dopuszczalny naciąg trwały splotów - 55.00% nośności charakterystycznej

Wsp. odporności belki na rysy $n = 22.22$ - obliczony został dla wytrzymałości betonu na rozc. $R(btk0.05) = 2.30 \text{ MPa}$

Straty siły sprężającej obliczono przy następujących założeniach:

Straty $nv(3)$:

- różnica temp. cięgien i urządzeń oporowych $dt = 60$ stopni C

Straty $nv(4)$:

- wsp. sprężystości belki w chwili kotwienia $E_b = 34600 \text{ MPa}$

Straty $nv(5)$:

- w pełnej wysokości wg. 5.6.2 PN-91/S-10042

Straty $nv(6)$:

- jedn. odkształcenie skurczowe w belce $es = 0.00032$

- wsp. pełzania betonu w belce $fp = 3.20$

N A P R E Ź . O B L I C Z . W P R Z E K R O J U Z E S P O L O N Y M

N A P R E Ź E N I A					
Nr poz.	Wysokość położenia	Normalne	Ścinające	Główne rozc.	Zastępcze
< m >	< MPa >	< MPa >	< MPa >	< MPa >	< MPa >
Razem - naprężenia w stanie początkowym					
W dźwigarze głównym					
7	0.900	-0.543	0.000	0.000	
6	0.780	-2.622	0.030	0.000	
5	0.770	-2.795	0.144	0.007	
4	0.690	-4.180	0.331	0.026	
3	0.290	-11.108	0.323	0.009	
2	0.120	-14.053	0.058	0.000	
1	0.000	-16.131	0.000	0.000	
Razem - naprężenia w stanie bezużytkowym					
W dźwigarze głównym					
7	0.900	-1.298	0.000	0.000	
6	0.780	-2.663	0.032	0.000	
5	0.770	-2.776	0.155	0.009	
4	0.690	-3.686	0.354	0.034	
3	0.290	-8.236	0.346	0.015	
2	0.120	-10.170	0.063	0.000	
1	0.000	-11.535	0.000	0.000	
Razem - naprężenia w stanie bezużytkowym po (1) zespoleniu					

W stali zbrojeniowej w płycie (1)					
W płycie zespolonej (1)					
2	0.900		0.000		
1	0.780		0.000		
W dźwigarze głównym					
7	0.900	-1.145	0.000	0.000	
6	0.780	-2.558	0.048	0.001	
5	0.770	-2.675	0.228	0.019	
4	0.690	-3.617	0.522	0.074	
3	0.290	-8.324	0.511	0.031	
2	0.120	-10.325	0.092	0.001	
1	0.000	-11.737	0.000	0.000	
Razem - naprężenia w stanie bezużytkowym po (2) zespoleniu					
W stali zbrojeniowej w nadbetonie (2)					
1	0.985	22.201			
W nadbetonie zespolonym (2)					
2	1.025		0.000		
1	0.900		0.004		
W stali zbrojeniowej w płycie (1)					
W płycie zespolonej (1)					
2	0.900		0.000		
1	0.780		0.000		
W dźwigarze głównym					
7	0.900	-0.251	0.005	0.000	
6	0.780	-1.968	0.068	0.002	
5	0.770	-2.111	0.325	0.049	
4	0.690	-3.256	0.740	0.160	
3	0.290	-8.980	0.718	0.057	
2	0.120	-11.413	0.129	0.001	
1	0.000	-13.130	0.000	0.000	
Razem - naprężenia w stanie użytkowym					
W stali zbrojeniowej w nadbetonie (2)					
1	0.985	95.436			
W nadbetonie zespolonym (2)					
2	1.025		-0.000		
1	0.900		0.016		
W stali zbrojeniowej w płycie (1)					
W płycie zespolonej (1)					
2	0.900		0.000		
1	0.780		0.000		
W dźwigarze głównym					
7	0.900	2.688	0.017	2.688	
6	0.780	-0.050	0.207	0.184	
5	0.770	-0.278	0.987	0.858	
4	0.690	-2.103	2.243	1.425	
3	0.290	-11.228	2.126	0.389	
2	0.120	-15.106	0.377	0.009	
1	0.000	-17.844	0.000	0.000	

Oznaczenia:

- znak (-) - naprężenia normalne ściskające
- znak (+) - naprężenia normalne rozciągające
- Naprężenia ścinające obliczone są dla rzeczywistej szerokości przekroju na danym poziomie obliczeniowym
- $t = t_0$ - odc. krótkotrwałe
- $t = t_n$ - odc. długotrwałe

KONIEC OBLICZEŃ

* Wymiarowanie dźwigara sprężonego *
* dwukrotnie zespolonego z płytą pomostu i nadbetonem *
* metoda obliczeń wg. PN-91/S-10042 *

Nazwa obiektu: Most przez rz. Bystrzyce w Lublinie
 Nazwa elementu: Belka strunobetonowa zespolona z nadbetonem
 Dane przygotował: A. Łukasiewicz
 Data obliczeń: 07.2005

DANE POCZĄTKOWE - węzeł nr 10 - mom. dodatni

Charakterystyka przekroju podstawowego dźwigara głównego:

Nr poziomu	wys. położenia	szer. powyżej	szer. poniżej
	< m >	< m >	< m >
7	0.900	0.000	1.380
6	0.780	1.380	1.380
5	0.770	0.300	0.300
4	0.690	0.140	0.140
3	0.290	0.140	0.140
2	0.120	0.480	0.480
1	0.000	0.480	0.000

Moduł sprężystości dźwigara głównego $E_0 = 37800 \text{ MPa}$ Jedn. odkształcenie skurczowe w belce $\epsilon_s = 0.00032$ Wsp. pełzania w chwili sprężenia $f_p = 3.20$ Wsp. pełzania w chwili zabet. płyty $f_p = 2.10$ Wytrz. charakt. betonu na rozc. $R(btk0.05) = 2.300 \text{ MPa}$

Położenie cięgien sprężających typu 1 :

Nr poziomu	wys. położenia	liczba cięgien
	< m >	< szt >
3	0.160	28
2	0.110	4
1	0.060	32

Przekrój pojed. cięgna sprężającego $a_v(1) = 0.356 \text{ cm}^2$ Moduł sprężystości stali sprężającej $E_s = 180000 \text{ MPa}$ Charakt. siła zrywająca 1 cięgno $N_v(1) = 0.0670 \text{ MN}$

Charakterystyka płyty zespolonej (1):

Nr poziomu	wys. położenia	szer. powyżej	szer. poniżej
	< m >	< m >	< m >
2	0.900	0.000	0.120
1	0.780	0.120	0.000

Moduł sprężystości płyty (1) $E_b = 30000 \text{ MPa}$ Wsp. pełzania betonu $f_p = 2.10$ Różnica wsp.skurczu między płytą a belką: $\delta(s) = 0.000160$

Charakterystyka nadbetonu zespolonego (2):

Nr poziomu	wys. położenia	szer. powyżej	szer. poniżej
	< m >	< m >	< m >
2	1.020	0.000	1.500
1	0.900	1.500	0.000

Moduł sprężystości nadbetonu (2) $E_b = 34600 \text{ MPa}$ Wsp. pełzania betonu $f_p = 2.50$ Różnica wsp.skurczu między nadbetonem a belką: $\delta(s) = 0.000130$

Położenie stali zbrojeniowej w nadbetonie (2):

Nr poziomu wys. położenia przekrój stali

	< m >	< cm ² >
2	0.000	0.00
1	0.980	15.71

Moduł sprężystości stali zbrojeniowej $E_z = 210000 \text{ MPa}$

O B C I A Z E N I A

	Moment zginający < MNm >	Siła poprzeczna < MN >	Wsp. obciążenia
- c.własny belki	0.32480	0.00000	1.200
- c.stał przed zespołem	0.02180	0.00000	1.200
- c.stał po 1 zespoleniu	0.00550	0.00000	1.200
- c.stał po 2 zespoleniu	-0.08200	0.00000	1.200
- obc. ruchome	0.54530	0.03150	1.500

W Y N I K I O B L I C Z E N

Obliczone charakterystyki przekroju sprężonego zespołowego z płytą:

A. Dla obciążen krótkotrwałych:

	n = Es/Eb	Pole przekroju < m ² >	Położenie środka ciężkości < m >	Moment bezwładn. < m ⁴ >
0 - belka + zbroj. zwykłe	7.000	0.357900	0.557	0.0369583
1 - belka osiąbiona kanałami	1.000	0.357900	0.557	0.0369583
2 - belka z cięgnami spręż.	6.000	0.371570	0.541	0.0396610
3 - belka z płytą zesp.(1)	0.794	0.382999	0.550	0.0406681
4 - belka z płytą zesp.(1) i (2)	0.915	0.558758	0.679	0.0612845
Mimośród siły sprężającej	e = 0.4338 m			

B. Dla obciążen długotrwałych:

	n = Es/Eb	Pole przekroju < m ² >	Położenie środka ciężkości < m >	Moment bezwładn. < m ⁴ >
0 - belka + zbroj. zwykłe	20.000	0.357900	0.557	0.0369583
1 - belka osiąbiona kanałami	1.000	0.357900	0.557	0.0369583
2 - belka z cięgnami spręż.	18.000	0.398911	0.511	0.0445172
3 - belka z płytą zesp.(1)	0.794	0.410340	0.520	0.0457339
4 - belka z płytą zesp.(1) i (2)	0.811	0.587692	0.654	0.0702691
Mimośród siły sprężającej	e = 0.4041 m			

N A P R E Ź . C H A R A K T . W P R Z E K R O J U Z E S P O L O N Y M

< I > - Naprężenia w stanie początkowym

N A P R E Ź E N I A					
Nr	Wysokość położenia	Normalne	Ścinające	Główne rozci	Zastępcze
poz.	< m >	< MPa >	< MPa >	< MPa >	< MPa >
Naprężenia od sprężania po stratach doraźnych - t = 0					
W dźwigarze głównym					
7 0.900	2.985	0.000	0.000		
6 0.780	-0.177	0.000	0.000		
5 0.770	-0.441	0.000	0.000		
4 0.690	-2.549	0.000	0.000		
3 0.290	-13.089	0.000	0.000		
2 0.120	-17.568	0.000	0.000		
1 0.000	-20.730	0.000	0.000		
Naprężenia od ciężaru własnego belki - t = tn					

W dźwigarze głównym					
7	0.900	-2.839	0.000	0.000	
6	0.780	-1.963	0.000	0.000	
5	0.770	-1.890	0.000	0.000	
4	0.690	-1.306	0.000	0.000	
3	0.290	1.612	0.000	0.000	
2	0.120	2.852	0.000	0.000	
1	0.000	3.728	0.000	0.000	
Razem - naprężenia w stanie początkowym					
<hr/>					
W dźwigarze głównym					
7	0.900	0.146	0.000	0.146	
6	0.780	-2.140	0.000	0.000	
5	0.770	-2.331	0.000	0.000	
4	0.690	-3.855	0.000	0.000	
3	0.290	-11.477	0.000	0.000	
2	0.120	-14.716	0.000	0.000	
1	0.000	-17.003	0.000	-0.000	

< II > - Naprężenia w stanie bezużytkowym

		N A P R E Ź E N T A			
Nr poz.	Wysokość położenia	Normalne	Ścinające	Główne rozcięcia	Zastępcze
	< m >	< MPa >	< MPa >	< MPa >	< MPa >
<hr/>					
Naprężenia od strat spowodowanych relaksacją stali - t = tn					
<hr/>					
W dźwigarze głównym					
7	0.900	-0.099	0.000	0.000	
6	0.780	0.006	0.000	0.000	
5	0.770	0.015	0.000	0.000	
4	0.690	0.085	0.000	0.000	
3	0.290	0.434	0.000	0.000	
2	0.120	0.582	0.000	0.000	
1	0.000	0.687	0.000	0.000	
Naprężenia od ciężaru stałego przed (1) zespoleniem - t = tn					
<hr/>					
W dźwigarze głównym					
7	0.900	-0.191	0.000	0.000	
6	0.780	-0.132	0.000	0.000	
5	0.770	-0.127	0.000	0.000	
4	0.690	-0.086	0.000	0.000	
3	0.290	0.108	0.000	0.000	
2	0.120	0.191	0.000	0.000	
1	0.000	0.250	0.000	0.000	
Naprężenia od skurczu i pełzania betonu w belce - t = tn					
<hr/>					
W dźwigarze głównym					
7	0.900	-0.542	0.000	0.000	
6	0.780	0.034	0.000	0.000	
5	0.770	0.082	0.000	0.000	
4	0.690	0.466	0.000	0.000	
3	0.290	2.386	0.000	0.000	
2	0.120	3.203	0.000	0.000	
1	0.000	3.779	0.000	0.000	
Razem - naprężenia w stanie bezużytkowym					
<hr/>					
W dźwigarze głównym					
7	0.900	-0.685	0.000	-0.000	
6	0.780	-2.232	0.000	0.000	
5	0.770	-2.361	0.000	0.000	
4	0.690	-3.392	0.000	0.000	
3	0.290	-8.548	0.000	0.000	
2	0.120	-10.740	0.000	0.000	
1	0.000	-12.287	0.000	-0.000	

< III > - Naprężenia w stanie bezużytkowym po (1) zespoleniu

Remont mostu przez rz. Bystrzyce (od strony górnej wody) w ciągu jezdni południowej ul. Krochmalnej w Lublinie

		N A P R E Ź E N I A			
Nr poz.	Wysokość położenia	Normalne	Ścinające	Główne rozc	Zastępcze
	< m >	< MPa >	< MPa >	< MPa >	< MPa >
Naprężenia od skurczu i pełzania płyty zesp.(1) - t = tn					
W płycie zespolonej (1)					
2 0.900		1.587	0.000	0.000	
1 0.780		1.600	0.000	0.000	
W dźwigarze głównym					
7 0.900		-0.084	0.000	0.000	
6 0.780		-0.071	0.000	0.000	
5 0.770		-0.070	0.000	0.000	
4 0.690		-0.062	0.000	0.000	
3 0.290		-0.019	0.000	0.000	
2 0.120		-0.000	0.000	0.000	
1 0.000		0.012	0.000	0.000	
Naprężenia od obc. stałego po (1) zespoleniu - t = tn					
W płycie zespolonej (1)					
2 0.900		-0.036	0.000	0.000	
1 0.780		-0.025	0.000	0.000	
W dźwigarze głównym					
7 0.900		-0.046	0.000	0.000	
6 0.780		-0.031	0.000	0.000	
5 0.770		-0.030	0.000	0.000	
4 0.690		-0.020	0.000	0.000	
3 0.290		0.028	0.000	0.000	
2 0.120		0.048	0.000	0.000	
1 0.000		0.063	0.000	0.000	
Razem - naprężenia w stanie bezużytkowym po (1) zespoleniu					
W płycie zespolonej (1)					
2 0.900		1.550	0.000	1.550	
1 0.780		1.575	0.000	1.575	
W dźwigarze głównym					
7 0.900		-0.815	0.000	0.000	
6 0.780		-2.334	0.000	0.000	
5 0.770		-2.461	0.000	-0.000	
4 0.690		-3.474	0.000	0.000	
3 0.290		-8.539	0.000	-0.000	
2 0.120		-10.692	0.000	0.000	
1 0.000		-12.212	0.000	0.000	

< IV > - Naprężenia w stanie bezużytkowym po (2) zespoleniu

		N A P R E Ź E N I A			
Nr poz.	Wysokość położenia	Normalne	Ścinające	Główne rozc	Zastępcze
	< m >	< MPa >	< MPa >	< MPa >	< MPa >
Naprężenia od skurczu i pełzania nadbetonu (2) - t = tn					
W nadbetonie zespolonym (2)					
2 1.020		0.661	0.000	0.000	
1 0.900		0.781	0.000	0.000	
W płycie zespolonej (1)					
2 0.900		-0.761	0.000	0.000	
1 0.780		-0.617	0.000	0.000	
W dźwigarze głównym					
7 0.900		-0.708	0.000	0.000	
6 0.780		-0.574	0.000	0.000	
5 0.770		-0.562	0.000	0.000	
4 0.690		-0.473	0.000	0.000	
3 0.290		-0.025	0.000	0.000	
2 0.120		0.166	0.000	0.000	

1	0.000	0.300	0.000	0.000	
Napreżenia od obc. stałego po (2) zespoleniu - t = tn					
<hr/>					
W nadbetonie zespolonym (2)					
2	1.020	0.391	0.000	0.000	
1	0.900	0.263	0.000	0.000	
W płycie zespalonej (1)					
2	0.900	0.228	0.000	0.000	
1	0.780	0.117	0.000	0.000	
W dźwigarze głównym					
7	0.900	0.287	0.000	0.000	
6	0.780	0.147	0.000	0.000	
5	0.770	0.135	0.000	0.000	
4	0.690	0.042	0.000	0.000	
3	0.290	-0.425	0.000	0.000	
2	0.120	-0.623	0.000	0.000	
1	0.000	-0.763	0.000	0.000	
Razem - napreżenia w stanie bezużytkowym po (2) zespoleniu					
<hr/>					
W nadbetonie zespolonym (2)					
2	1.020	1.053	0.000	1.053	
1	0.900	1.044	0.000	1.044	
W płycie zespalonej (1)					
2	0.900	1.017	0.000	1.017	
1	0.780	1.075	0.000	1.075	
W dźwigarze głównym					
7	0.900	-1.236	0.000	-0.000	
6	0.780	-2.761	0.000	-0.000	
5	0.770	-2.888	0.000	0.000	
4	0.690	-3.905	0.000	-0.000	
3	0.290	-8.989	0.000	0.000	
2	0.120	-11.150	0.000	0.000	
1	0.000	-12.675	0.000	0.000	

< V > - Napreżenia w stanie użytkowym

N A P R E Ź E N I A					
Nr poz.	Wysokość położenia	Normalne	Ścinające	Główne rozci	Zastępcze
< m >		< MPa >	< MPa >	< MPa >	< MPa >
Napreżenia od obciążenia ruchomego - t = t0					
<hr/>					
W nadbetonie zespolonym (2)					
2	1.020	-2.777	-0.000	0.000	
1	0.900	-1.799	0.017	0.000	
W płycie zespalonej (1)					
2	0.900	-1.560	0.000	0.000	
1	0.780	-0.713	0.000	0.000	
W dźwigarze głównym					
7	0.900	-1.966	0.018	0.000	
6	0.780	-0.898	0.029	0.000	
5	0.770	-0.809	0.135	0.000	
4	0.690	-0.097	0.293	0.000	
3	0.290	3.462	0.254	0.000	
2	0.120	4.975	0.043	0.000	
1	0.000	6.042	0.000	0.000	
Razem - napreżenia w stanie użytkowym					
<hr/>					
W nadbetonie zespolonym (2)					
2	1.020	-1.724	-0.000	0.000	
1	0.900	-0.755	0.017	0.000	
W płycie zespalonej (1)					
2	0.900	-0.543	0.000	0.000	
1	0.780	0.363	0.000	0.363	
W dźwigarze głównym					
7	0.900	-3.201	0.018	0.000	
6	0.780	-3.659	0.029	0.000	
5	0.770	-3.697	0.135	0.005	

1 0.000	-16.257	0.000	0.000	
<hr/>				
Razem - naprężenia w stanie bezużytkowym				
<hr/>				
W dźwigarze głównym				
7 0.900	-1.291	0.000	0.000	
6 0.780	-2.651	0.000	0.000	
5 0.770	-2.764	0.000	-0.000	
4 0.690	-3.671	0.000	0.000	
3 0.290	-8.204	0.000	0.000	
2 0.120	-10.131	0.000	-0.000	
1 0.000	-11.491	0.000	0.000	
<hr/>				
Razem - naprężenia w stanie bezużytkowym po (1) zespoleniu				
<hr/>				
W płycie zespolonej (1)				
2 0.900	1.860	0.000	1.860	
1 0.780	1.890	0.000	1.890	
W dźwigarze głównym				
7 0.900	-1.447	0.000	0.000	
6 0.780	-2.774	0.000	-0.000	
5 0.770	-2.884	0.000	0.000	
4 0.690	-3.769	0.000	0.000	
3 0.290	-8.194	0.000	0.000	
2 0.120	-10.074	0.000	-0.000	
1 0.000	-11.401	0.000	0.000	
<hr/>				
Razem - naprężenia w stanie bezużytkowym po (2) zespoleniu				
<hr/>				
W nadbetonie zespolonym (2)				
2 1.020	1.263	0.000	1.263	
1 0.900	1.253	0.000	1.253	
W płycie zespolonej (1)				
2 0.900	1.220	0.000	1.220	
1 0.780	1.290	0.000	1.290	
W dźwigarze głównym				
7 0.900	-1.952	0.000	0.000	
6 0.780	-3.286	0.000	0.000	
5 0.770	-3.397	0.000	0.000	
4 0.690	-4.286	0.000	0.000	
3 0.290	-8.733	0.000	0.000	
2 0.120	-10.623	0.000	-0.000	
1 0.000	-11.957	0.000	0.000	
<hr/>				
Razem - naprężenia w stanie użytkowym				
<hr/>				
W nadbetonie zespolonym (2)				
2 1.020	-2.902	-0.000	0.000	
1 0.900	-1.446	0.025	0.000	
W płycie zespolonej (1)				
2 0.900	-1.120	0.000	0.000	
1 0.780	0.221	0.000	0.221	
W dźwigarze głównym				
7 0.900	-4.900	0.028	0.000	
6 0.780	-4.632	0.044	0.000	
5 0.770	-4.610	0.203	0.009	
4 0.690	-4.432	0.440	0.043	
3 0.290	-3.540	0.382	0.041	
2 0.120	-3.161	0.065	0.001	
1 0.000	-2.893	0.000	0.000	
<hr/>				

Oznaczenia:

znak (-) - naprężenia normalne ściskające
 znak (+) - naprężenia normalne rozciągające
 Naprężenia ścinające obliczone są dla rzeczywistej
 szerokości przekroju na danym poziomie obliczeniowym
 $t = t_0$ - odc. krótkotrwałe
 $t = t_n$ - odc. długotrwałe

KONIEC OBLICZEŃ

mgr inż. Andrzej Łukasiewicz
 ul. Kwiatów Polnych 7 m. 27 tel. 746-64-57
 20-843 Lublin
 program <MIMOS-P> - wersja marzec 1998r.

 * Wymiarowanie mimośrodowo ściskanego lub zginanego *
 * przekroju prostokątnego lub teowego *
 * metoda NL *

Nazwa obiektu: Most przez rzekę Bystrzyce w Lublinie
Nazwa elementu: Uciążlenie przesła nad podporą
Dane przygotował: A. Łukasiewicz
Data obliczeń: 07.2005

DANE POCZĄTKOWE

Moment zginający M = 1303.00 kNm
 Siła podłużna P = 0.00 kN
 Przekrój prostokątny:
 - szerokość przekroju b = 1.50 m
 - całkowita wysokość przekroju h = 1.05 m
 - otulina zbrojenia rozc. ar = 0.05 m
 - otulina zbrojenia ścisk. as = 0.05 m
 - przyjęty współczynnik n = Es/Eb n = 10.00
 Wytrzymałość obl.stali zbrojeniowej Ra = 295.00 MPa
 Wytrzymałość obl.betonu na ściskanie Rbb = 14.00 MPa
 Wytrzymałość obl.żelbetu na ściskanie Rbl = 17.30 MPa
 Wytrzymałość obl.betonu na rozciąganie Rbt = 0.00 MPa

DOBIERANIE ZBROJENIA (w zakresie 0.20% do 4.0% Fb)

Wysokość strefy ściskanej x = 0.21 m
 Obliczony przekrój zbrojenia w strefie rozciąganej Fr = 47.32 cm²
 Obliczony przekrój zbrojenia w strefie ściskanej Fs = 31.50 cm²
 Oblicz. naprężenia ściskające w betonie Sb = 7.76 MPa
 Oblicz. naprężenia rozciągające w stali zbr. Sr = 295.10 MPa

DANE POCZĄTKOWE - SPRAWDZENIE NAPRĘŻEŃ

Moment zginający M = 1303.00 kNm
 Siła podłużna P = 0.00 kN
 Przekrój prostokątny:
 - szerokość przekroju b = 1.50 m
 - całkowita wysokość przekroju h = 1.05 m
 - przekrój stali w strefie rozciąganej Fr = 47.10 cm²
 - przekrój stali w strefie ściskanej Fs = 0.00 cm²
 - otulina zbrojenia rozc. ar = 0.05 m
 - otulina zbrojenia ścisk. as = 0.05 m
 - przyjęty współczynnik n = Es/Eb n = 10.00
 Wytrzymałość obl.stali zbrojeniowej Ra = 295.00 MPa
 Wytrzymałość obl.betonu na ściskanie Rbb = 14.00 MPa
 Wytrzymałość obl.żelbetu na ściskanie Rbl = 17.30 MPa
 Wytrzymałość obl.betonu na rozciąganie Rbt = 0.00 MPa

SPRAWDZENIE NAPRĘŻEŃ W II FAZIE

Wysokość strefy ściskanej x = 0.22 m
 Oblicz. naprężenia ściskające w betonie Sb = 8.48 MPa
 Oblicz. naprężenia rozciągające w stali zbr. Sr = 298.66 MPa

KONIEC OBLICZEŃ

Andrzej Łukasiewicz
 ul. Kwiatów Polnych 7 m. 27 tel. 746-64-57
 20-843 Lublin
 program <BELKA> - wersja marzec 1998r.

 * ANALIZA STATYCZNA BELKI NA SPREŻYSTYCH PODPORACH *
 * Z UWZGLĘDNIENIEM SIŁ POPRZECZNYCH *

Nazwa obiektu: Most przez rzekę Bystrzyce w Lublinie
 Nazwa elementu: poprzecznice podporowe - schematy obliczeniowe
 Dane przygotował: A. Łukasiewicz
 Data obliczeń: 07.2005

Liczba węzłów w = 13 szt
 Moduł sprężystości belki E = 34600 MPa

Pręt	długość l (m)	moment bezw. J (m ⁴)	przekrój A (m ²)
1 - 2	1.655	0.19499999	
2 - 3	0.827	0.19499999	
3 - 4	0.827	0.19499999	
4 - 5	1.655	0.19499999	
5 - 6	1.655	0.19499999	
6 - 7	0.827	0.19499999	
7 - 8	0.827	0.19499999	
8 - 9	1.655	0.19499999	
9 - 10	1.655	0.19499999	
10 - 11	0.827	0.19499999	
11 - 12	0.827	0.19499999	
12 - 13	1.655	0.19499999	

Podpory stałe:

Opis kodów podpór stałych:
 kod 1 - brak obrotu
 kod 2 - brak przemieszczenia pionowego
 kod 3 - podpora utwierdzona całkowicie

Nr węzła	kod podpory
1	2
3	2
5	2
7	2
9	2
11	2
13	2

SCHEMAT OBCIĄŻENIA NR 1

Obciążenia węzlowe:

Nr węzła	wielkość obciążenia
1	100.000 kN - siła
2	100.000 kN - siła
4	100.000 kN - siła
5	100.000 kN - siła
6	100.000 kN - siła
8	100.000 kN - siła
9	100.000 kN - siła
10	100.000 kN - siła
12	100.000 kN - siła
13	100.000 kN - siła

Remont mostu przez rz. Bystrzyce (od strony górnej wody) w ciągu jezdni południowej ul. Krochmalnej w Lublinie

WYNIKI OBLICZEŃ**Przesunięcia:**

Nr węzła	obrót (rad)	ugięcie (m)
1	0.000004	0.00000
2	-0.00000	0.00001
3	-0.00000	0.00000
4	0.000000	0.00001
5	0.000000	0.00000
6	-0.00000	0.00001
7	0.000000	0.00000
8	0.000000	0.00001
9	-0.00000	0.00000
10	-0.00000	0.00001
11	0.000000	0.00000
12	0.000000	0.00001
13	-0.000004	0.00000

Momenty węzłowe:

Nr węzła	moment (kNm)	moment lewy	moment prawy
1	0.000		
2	32.368		
3	-34.199		
4	24.726		
5	-22.924		
6	26.140		
7	-32.1078		
8	26.140		
9	-22.924		
10	24.726		
11	-34.199		
12	32.368		
13	0.000		

Sily poprzeczne:

Nr pręta	T(l) (kN)	T(p) (kN)
1	19.558	-19.558
2	-80.442	80.442
3	71.209	-71.209
4	-28.792	28.792
5	29.646	-29.646
6	-70.354	70.354
7	70.354	-70.354
8	-29.646	29.646
9	28.792	-28.792
10	-71.209	71.209
11	80.442	-80.442
12	-19.558	19.558

Pionowe reakcje podporowe:

Nr węzła	reakcja (kN)
1	119.558
3	151.651
5	158.437
7	140.708
9	158.437
11	151.651

 13 119.558

Maksymalne momenty w prętach:

Nr pręta	x(1)	max M
	(m)	(kNm)
1 -12	nie ma extreum	

SCHEMAT OBCIĄŻENIA NR 2

Obciążenie ciągłe:

Nr pręta	obc. ciągłe
	q (kN/m)
1	10.000
2	10.000
3	10.000
4	10.000
5	10.000
6	10.000
7	10.000
8	10.000
9	10.000
10	10.000
11	10.000
12	10.000

WYNIKI OBLCZEN

Przesunięcia:

Nr węzła	obrót (rad)	ugięcie (m)
1	0.000001	0.00000
2	-0.000000	0.00000
3	-0.000000	0.00000
4	0.000000	0.00000
5	0.000000	0.00000
6	-0.000000	0.00000
7	0.000000	0.00000
8	0.000000	0.00000
9	-0.000000	0.00000
10	-0.000000	0.00000
11	0.000000	0.00000
12	0.000000	0.00000
13	-0.000001	0.00000

Momenty węzłowe:

Nr węzła	moment (kNm)	moment (kNm)
	lewy	prawy
1	0.000	
2	2.502	
3	-6.518	
4	0.922	
5	-4.741	
6	1.712	
7	-5.333	
8	1.712	
9	-4.741	
10	0.922	
11	-6.518	

12	2.502
13	0.000

Siły poprzeczne:

Nr pręta	T(1) (kN)	T(p) (kN)
1	9.787	6.763
2	-6.763	15.038
3	13.129	-4.854
4	4.854	11.696
5	12.174	4.376
6	-4.376	12.651
7	12.651	-4.376
8	4.376	12.174
9	11.696	4.854
10	-4.854	13.129
11	15.038	-6.763
12	6.763	9.787

Pionowe reakcje podporowe:

Nr węzła	reakcja (kN)
1	9.787
3	28.167
5	23.870
7	25.302
9	23.870
11	28.167
13	9.787

Maksymalne momenty w prętach:

Nr pręta	x(1) (m)	max M (kNm)
1	0.993	4.788
2	nie ma extreum	
3	nie ma extreum	
4	0.496	2.099
5	1.200	2.668
6	nie ma extreum	
7	nie ma extreum	
8	0.455	2.668
9	1.158	2.099
10	nie ma extreum	
11	nie ma extreum	
12	0.662	4.788

SCHEMAT OBCIĄŻENIA NR 3**Obciażenia węzlowe:**

Nr węzła	wielkość obciążenia
1	100.000 kN - siła
2	100.000 kN - siła
4	100.000 kN - siła
5	100.000 kN - siła
6	100.000 kN - siła
8	100.000 kN - siła
9	100.000 kN - siła
10	100.000 kN - siła

WYNIKI OBLICZEŃ

Przesunięcia:

Nr węzła	obrót (rad)	ugięcie (m)
1	0.000002	0.00000
2	-0.000001	0.00000
3	-0.000001	0.00000
4	0.000001	0.00000
5	0.000000	0.00000
6	-0.000001	0.00000
7	-0.000000	0.00000
8	0.000001	0.00000
9	0.000001	0.00000
10	-0.000001	0.00000
11	-0.000002	0.00000
12	-0.000000	-0.00000
13	0.000001	-0.00000

Momenty węzłowe:

Nr węzła	moment (kNm)	moment (kNm)
	lewy	prawy
1	0.000	
2	27.426	
3	-41.611	
4	21.611	
5	-17.446	
6	25.540	
7	-35.717	
8	23.497	
9	-23.576	
10	35.913	
11	-17.092	
12	-11.395	
13	0.000	

Siły poprzeczne:

Nr pręta	T(l) (kN)	T(p) (kN)
1	16.572	-16.572
2	-83.428	83.428
3	76.401	-76.401
4	-23.599	23.599
5	25.973	-25.973
6	-74.027	74.027
7	71.558	-71.558
8	-28.442	28.442
9	35.945	-35.945
10	-64.055	64.055
11	6.885	-6.885
12	6.885	-6.885

Pionowe reakcje podporowe:

Nr węzła	reakcja (kN)
1	116.572
3	159.829
5	149.573
7	145.584
9	164.387
11	70.940
13	-6.885

Maksymalne momenty w prętach:

Nr pręta	x(1) (m)	max M (kNm)
1 -12	nie ma extreum	

SCHEMAT OBCIĄŻENIA NR 4

Obciążenia węzłowe:

Nr węzła	wielkość obciążenia
2	380.400 kN - siła
3	76.100 kN - siła
4	304.300 kN - siła

WYNIKI OBLICZEŃ

Przesunięcia:

Nr węzła	obrót (rad)	ugięcie (m)
1	0.000008	0.00000
2	-.000005	0.00001
3	-.000003	0.00000
4	0.000003	0.00000
5	-.000002	0.00000
6	0.000001	-.00000
7	0.000001	-.00000
8	0.000000	0.00000
9	-.000000	0.00000
10	0.000000	-.00000
11	0.000000	-.00000
12	0.000000	0.00000
13	-.000000	0.00000

Momenty węzłowe:

Nr węzła	moment (kNm)	moment (kNm)
	lewy	prawy
1	0.000	
2	108.110	
3	-152.616	
4	59.768	
5	-19.081	
6	-2.953	
7	5.111	
8	2.953	
9	-1.363	
10	-0.227	
11	0.341	
12	0.227	
13	0.000	

Siły poprzeczne:

Nr pręta	T(1) (kN)	T(p) (kN)
1	65.323	-65.323
2	-315.077	315.077
3	256.657	-256.657
4	-47.643	47.643

5	9.745	-9.745
6	9.745	-9.745
7	-2.608	2.608
8	-2.608	2.608
9	0.686	-0.686
10	0.686	-0.686
11	-0.137	0.137
12	-0.137	0.137

Pionowe reakcje podporowe:

Nr węzła	reakcja (kN)
1	65.323
3	647.833
5	57.388
7	-12.353
9	3.294
11	-0.824
13	0.137

Maksymalne momenty w przętach:

Nr przęta	x(1) (m)	max M (kNm)
1 -12	nie ma extreum	

SCHEMAT OBCIĄŻENIA NR 5

Obciążenia węzłowe:

Nr węzła	wielkość obciążenia
6	139.500 kN - siła
8	240.900 kN - siła
9	215.500 kN - siła
10	164.900 kN - siła

WYNIKI OBLCZEN

Przemieszczenia:

Nr węzła	obrót (rad)	ugięcie (m)
1	0.000000	0.000000
2	-.000000	0.000000
3	-.000000	-.000000
4	-.000000	-.000000
5	0.000001	0.000000
6	-.000001	0.000000
7	0.000002	0.000000
8	0.000002	0.000000
9	-.000000	0.000000
10	-.000001	0.000000
11	-.000003	0.000000
12	-.000001	-.000000
13	0.000002	-.000000

Momenty węzłowe:

Nr węzła	moment (kNm)	moment lewy	moment prawy
1	0.000		
2	1.318		

3	1.977	
4	-1.318	
5	-7.908	
6	25.686	
7	-72.953	
8	67.583	67.583
9	-50.035	
10	57.361	
11	-25.395	
12	-16.930	
13	0.000	

Sily poprzeczne:

Nr pręta	T(1) (kN)	T(p) (kN)
1	0.796	-0.796
2	0.796	-0.796
3	-3.982	3.982
4	-3.982	3.982
5	20.299	-20.299
6	-119.201	119.201
7	169.832	-169.832
8	-71.068	71.068
9	64.892	-64.892
10	-100.008	100.008
11	10.230	-10.230
12	10.230	-10.230

Pionowe reakcje podporowe:

Nr węzła	reakcja (kN)
1	0.796
3	-4.779
5	24.281
7	289.033
9	351.460
11	110.238
13	-10.230

Maksymalne momenty w prętach:

Nr pręta	x(1) (m)	max M (kNm)
1 - 12	nie ma extreum	

SCHEMAT OBCIĄŻENIA NR 6

Obciążenia węzlowe:

Nr węzła	wielkość obciążenia
10	100.000 kN - siła
12	100.000 kN - siła
13	100.000 kN - siła

WYNIKI OBLICZEŃ

Przesunięcia:

Nr węzła	obrót (rad)	ugięcie (m)
1	0.000000	0.000000
2	-0.000000	0.000000
3	-0.000000	-0.000000

4	- .000000	- .00000
5	0.000000	0.00000
6	- .000000	0.00000
7	- .000000	- .00000
8	- .000000	- .00000
9	0.000001	0.00000
10	- .000001	0.00000
11	0.000000	0.00000
12	0.000001	0.00000
13	- .000002	0.00000

Momenty węzlowe:

Nr węzła	moment (kNm)	moment (kNm)
	lewy	prawy
1	0.000	
2	0.094	
3	0.141	
4	-0.094	
5	-0.566	
6	1.226	
7	2.122	
8	-1.226	
9	-7.921	
10	23.198	
11	-43.992	
12	25.839	25.839
13	0.000	

Siły poprzeczne:

Nr pręta	T(l) (kN)	T(p) (kN)
1	0.057	-0.057
2	0.057	-0.057
3	-0.285	0.285
4	-0.285	0.285
5	1.083	-1.083
6	1.083	-1.083
7	-4.046	4.046
8	-4.046	4.046
9	18.803	-18.803
10	-81.197	81.197
11	84.387	-84.387
12	-15.613	15.613

Pionowe reakcje podporowe:

Nr węzła	reakcja (kN)
1	0.057
3	-0.342
5	1.368
7	-5.128
9	22.849
11	165.584
13	115.613

Maksymalne momenty w prętach:

Nr pręta	x(l) (m)	max M (kNm)
1 - 12	nie ma extremum	

K O N I E C O B L I C Z E N I

mgr inż. Andrzej Łukasiewicz
 ul. Kwiatów Polnych 7 m. 27 tel. 746-64-57
 20-843 Lublin
 program <MIMOS-P> - wersja marzec 1998r.

 * Wymiarowanie mimośrodowo ściskanego lub zginanego *
 * przekroju prostokątnego lub teowego *
 * metoda NL *

Nazwa obiektu: Most przez rzekę Bystrzyce w Lublinie
 Nazwa elementu: poprzecznice podporowe - wymiarowanie
 Dane przygotował: A. Łukasiewicz
 Data obliczeń: 07.2005

DANE POCZĄTKOWE - poprzecznica nad filarem - M min

Moment zginający	M =	487.00 kNm
Siła podłużna	P =	0.00 kN
Przekrój prostokątny:		
- szerokość przekroju	b =	1.20 m
- całkowita wysokość przekroju	h =	1.25 m
- przekrój stali w strefie rozciąganej	Fr =	31.42 cm ²
- przekrój stali w strefie ściskanej	Fs =	31.42 cm ²
- otulina zbrojenia rozc.	ar =	0.09 m
- otulina zbrojenia ścisk.	as =	0.05 m
- przyjęty współczynnik n = Es/Eb	n =	10.00
Wytrzymałość obl.stali zbrojeniowej	Ra =	200.00 MPa
Wytrzymałość obl.betonu na ściskanie	Rbb =	15.00 MPa
Wytrzymałość obl.żelbetu na ściskanie	Rbl =	20.20 MPa
Wytrzymałość obl.betonu na rozciąganie	Rbt =	0.00 MPa

SPRAWDZENIE NAPRĘŻEŃ W II FAZIE

Wysokość strefy ściskanej	x =	0.20 m
Oblicz. naprężenia ściskające w betonie	Sb =	3.03 MPa
Oblicz. naprężenia rozciągające w stali zbr.	Sr =	141.59 MPa

DANE POCZĄTKOWE - poprzecznica nad przyczółkiem - M min

Moment zginający	M =	313.00 kNm
Siła podłużna	P =	0.00 kN
Przekrój prostokątny:		
- szerokość przekroju	b =	0.75 m
- całkowita wysokość przekroju	h =	1.25 m
- przekrój stali w strefie rozciąganej	Fr =	25.10 cm ²
- przekrój stali w strefie ściskanej	Fs =	25.10 cm ²
- otulina zbrojenia rozc.	ar =	0.09 m
- otulina zbrojenia ścisk.	as =	0.05 m
- przyjęty współczynnik n = Es/Eb	n =	10.00
Wytrzymałość obl.stali zbrojeniowej	Ra =	200.00 MPa
Wytrzymałość obl.betonu na ściskanie	Rbb =	15.00 MPa
Wytrzymałość obl.żelbetu na ściskanie	Rbl =	20.20 MPa
Wytrzymałość obl.betonu na rozciąganie	Rbt =	0.00 MPa

SPRAWDZENIE NAPRĘŻEŃ W II FAZIE

Wysokość strefy ściskanej	x =	0.23 m
Oblicz. naprężenia ściskające w betonie	Sb =	2.76 MPa
Oblicz. naprężenia rozciągające w stali zbr.	Sr =	114.45 MPa

KONIEC OBLICZEŃ

Andrzej Łukasiewicz
 ul. Kwiatów Polnych 7 m. 27 tel. 746-64-57
 20-843 Lublin
 program <RAMA> - wersja marzec 1998r.

 * ANALIZA STATYCZNA RAMY *

Nazwa obiektu: Most przez rz. Bystrzyce w c. ul. Krochmalnej
 Nazwa elementu: Filar
 Dane przygotował: A. Łukasiewicz
 Data obliczeń: 07.2005

CHARAKTERYSTYKA UKŁADU RAMY

Liczba węzłów w = 12 szt
 Liczba prętów p = 11 szt
 Moduł sprężystości E = 34600 MPa

Charakterystyka prętów

Nr	węzły	moment bezwł.	przekrój	długość	sin	cos	kod podp.
pręta	L - P	J (cm ⁴)	F (cm ²)	L (m)			
1	1 - 2	8649000	11000.0	1.655	0.00000	1.00000	0
2	2 - 4	8649000	11000.0	0.827	0.00000	1.00000	0
3	4 - 5	8649000	11000.0	2.483	0.00000	1.00000	0
4	5 - 6	8649000	11000.0	2.482	0.00000	1.00000	0
5	6 - 8	8649000	11000.0	2.483	0.00000	1.00000	0
6	8 - 9	8649000	11000.0	2.482	0.00000	1.00000	0
7	9 - 10	8649000	11000.0	0.827	0.00000	1.00000	0
8	10 - 12	8649000	11000.0	1.655	0.00000	1.00000	0
9	2 - 3	13730000	9750.0	3.350	1.00000	0.00000	0
10	6 - 7	13730000	9750.0	3.350	1.00000	0.00000	0
11	10 - 11	13730000	9750.0	3.350	1.00000	0.00000	0

Kod podparcia prętów:

- 0 - zamocowanie
- 1 - przegub z lewej strony
- 2 - przegub z prawej strony
- 3 - przegub z obu stron

Opis podpór:

Nr węzła	kod
podp.	podpory
3	7
7	7
11	7

Oznaczenia kodów podpory:

- 1 - brak przesuwu w kierunku X
- 2 - brak przesuwu w kierunku Y
- 4 - brak możliwości obrotu

Kod podpory = suma wprowadz. ograniczeń

SCHEMAT OBCIĄŻENIA NR 1

Obciążenia węzlowe:

Nr węzła	kier. obc.	Wielkość i rodzaj obciążenia
1	2	900.000 kN - siła
4	2	2078.000 kN - siła
5	2	1194.000 kN - siła

6	2	1453.000 kN	- siła
8	2	1676.000 kN	- siła
9	2	1313.000 kN	- siła
12	2	758.000 kN	- siła

Obciążenie przesłowe równomierne:

Nr pręta	kier. obciąż.	obc. ciągłe q (kN/m)
1	2	34.500
2	2	34.500
3	2	34.500
4	2	34.500
5	2	5.000
6	2	34.500
7	2	34.500
8	2	34.500

WYNIKI OBLICZEŃ DLA SCHEMATU NR 1

Przemieszczenia węzłów:

Nr węzła	przemieszczenia (cm)		obrót węzła (rad*100)
	osi X	osi Y	
1	0.00336	0.06753	-0.034135
2	0.00336	0.03412	0.007923
3	-0.00000	0.00000	-0.000000
4	0.00303	0.05461	0.032242
5	0.00205	0.09068	-0.014484
6	0.00107	0.03567	0.002777
7	-0.00000	0.00000	-0.000000
8	-0.00026	0.10334	0.012595
9	-0.00160	0.04943	-0.035952
10	-0.00204	0.02765	-0.009273
11	0.00000	0.00000	0.000000
12	-0.00204	0.05166	0.026287

Siły i momenty przywieszowe w prętach:

Nr pręta	Nr-y węzłów	siły normalne (kN)		siły poprzeczne (kN)		momenty zgin. (kNm)		
		lewa	prawa	lewa	prawa	lewy	prawy	
1	1 - 2	0.00	0.00	-900.00	-957.10	0.00	-1536.75	
2	2 - 4	-150.31	-150.31	2478.38	2449.85	-1900.87	136.95	
3	4 - 5	-150.31	-150.31	371.85	286.19	136.95	953.91	
4	5 - 6	-150.31	-150.31	-907.81	-993.44	953.91	-1405.55	
5	6 - 8	-204.57	-204.57	1145.90	1133.48	-1535.83	1294.02	
6	8 - 9	-204.57	-204.57	-542.52	-628.15	1294.02	-158.78	
7	9 - 10	-204.57	-204.57	-1941.15	-1969.68	-158.77	-1775.90	
8	10 - 12	0.00	0.00	815.10	758.00	-1301.74	-0.00	
9	2 - 3	-3435.48	-3435.48	-150.31	-150.31	364.12	-139.40	
10	6 - 7	-3592.34	-3592.34	-54.27	-54.27	130.28	-51.53	
11	10 - 11	-2784.78	-2784.78	204.57	204.57	-474.17	211.16	

Reakcje podporowe:

Nr węzła	kierunek działania	reakcja podporowa
3	1	150.305 kN - siła
3	2	-3435.476 kN - siła
3	3	139.401 kNm - moment
7	1	54.269 kN - siła
7	2	-3592.340 kN - siła
7	3	51.525 kNm - moment
11	1	-204.575 kN - siła

11	2	-2784.776 kN - siła
11	3	-211.160 kNm - moment

SCHEMAT OBCIĄŻENIA NR 2**Obciażenia węzłowe:**

Nr węzła	kier. odc.	Wielkość i rodzaj obciążenia
6	1	142.900 kN - siła

WINIKI OBliczeń dla schematu nr 2**Przesunięcia węzłów:**

Nr węzła	przesunięcia (cm)	obrót węzła	
	oś X	oś Y	(rad*100)
1	0.00545	-0.00285	0.001633
2	0.00545	-0.00015	0.001633
3	0.00000	-0.00000	0.000000
4	0.00554	0.00072	0.000540
5	0.00581	-0.00008	-0.000665
6	0.00608	0.00000	0.001247
7	0.00000	0.00000	0.000000
8	0.00581	0.00008	-0.000666
9	0.00554	-0.00072	0.000540
10	0.00545	0.00015	0.001633
11	0.00000	0.00000	0.000000
12	0.00545	0.00285	0.001633

Siły i momenty przywieszowe w przętach:

Nr przęta węzłów	Nr-y	siły normalne (kN)	siły poprzeczne (kN)	momenty zgin. (kNm)
węzłów	lewa ---- prawa	lewa ---- prawa	lewy ---- prawy	
1 1 - 2		0.00	0.00	-0.00 0.00
2 2 - 4		41.19	41.19	-15.14 -15.14 45.84 33.32
3 4 - 5		41.19	41.19	-15.14 -15.14 33.32 -4.27
4 5 - 6		41.19	41.19	-15.14 -15.14 -4.27 -41.84
5 6 - 8		-41.19	-41.19	-15.14 -15.14 41.84 4.25
6 8 - 9		-41.19	-41.19	-15.14 -15.14 4.25 -33.32
7 9 - 10		-41.19	-41.19	-15.14 -15.14 -33.32 -45.84
8 10 - 12		0.00	0.00	-0.00 -0.00 0.00 -0.00
9 2 - 3		15.14	15.14	41.19 41.19 -45.84 92.16
10 6 - 7		-0.00	-0.00	60.52 60.52 -83.68 119.04
11 10 - 11		-15.14	-15.14	41.19 41.19 -45.84 92.16

Reakcje podporowe:

Nr węzła	kierunek działania	reakcja podporowa
3	1	-41.193 kN - siła
3	2	15.138 kN - siła
3	3	-92.160 kNm - moment
7	1	-60.515 kN - siła
7	2	-0.000 kN - siła
7	3	-119.044 kNm - moment
11	1	-41.192 kN - siła
11	2	-15.137 kN - siła
11	3	-92.160 kNm - moment

SCHEMAT OBCIĄŻENIA NR 3

Obciążenia węzłowe:

Nr węzła	kier. oś	Wielkość i rodzaj obciążenia
6	1	72.300 kN - siła

WYNIKI OBLICZEŃ DLA SCHEMATU NR 3

Przemieszczenia węzłów:

Nr węzła	przemieszczenia (cm)		obrót węzła (rad*100)
	oś X	oś Y	
1	0.00276	-0.00144	0.000826
2	0.00276	-0.00008	0.000826
3	0.00000	-0.00000	0.000000
4	0.00280	0.00037	0.000273
5	0.00294	-0.00004	-0.000337
6	0.00308	0.00000	0.000631
7	0.00000	0.00000	0.000000
8	0.00294	0.00004	-0.000337
9	0.00280	-0.00037	0.000273
10	0.00276	0.00008	0.000826
11	0.00000	0.00000	0.000000
12	0.00276	0.00144	0.000826

Siły i momenty przywężłowe w prętach:

Nr pręta	Nr-y węzłów	siły normalne (kN)		siły poprzeczne (kN)		momenty zgin. (kNm)	
		lewa	prawa	lewa	prawa	lewy	prawy
1	1 - 2	0.00	0.00	0.00	0.00	0.00	0.00
2	2 - 4	20.84	20.84	-7.66	-7.66	23.19	16.86
3	4 - 5	20.84	20.84	-7.66	-7.66	16.86	-2.16
4	5 - 6	20.84	20.84	-7.66	-7.66	-2.16	-21.17
5	6 - 8	-20.84	-20.84	-7.66	-7.66	21.17	2.15
6	8 - 9	-20.84	-20.84	-7.66	-7.66	2.15	-16.86
7	9 - 10	-20.84	-20.84	-7.66	-7.66	-16.86	-23.19
8	10 - 12	0.00	0.00	0.00	0.00	-0.00	-0.00
9	2 - 3	7.66	7.66	20.84	20.84	-23.19	46.63
10	6 - 7	-0.00	-0.00	30.62	30.62	-42.34	60.23
11	10 - 11	-7.66	-7.66	20.84	20.84	-23.19	46.63

Reakcje podporowe:

Nr węzła	kierunek działania	reakcja podporowa
3	1	-20.841 kN - siła
3	2	7.659 kN - siła
3	3	-46.628 kNm - moment
7	1	-30.618 kN - siła
7	2	-0.000 kN - siła
7	3	-60.230 kNm - moment
11	1	-20.841 kN - siła
11	2	-7.659 kN - siła
11	3	-46.628 kNm - moment

K O N I E C O B L I C Z E Ñ

mgr inż. Andrzej Łukasiewicz
 ul. Kwiatów Polnych 7 m. 27 tel. 746-64-57
 20-843 Lublin
 program <MIMOS-P> - wersja marzec 1998r.

 * Wymiarowanie mimośrodowo ściskanego lub zginanego *
 * przekroju prostokątnego lub teowego *
 * metoda NL *

Nazwa obiektu: Most przez rz. Bystrzyce w c. ul. Krochmalnej
 Nazwa elementu: Rygiel górny filara
 Dane przygotował: A. Łukasiewicz
 Data obliczeń: 07.2005

DANE POCZĄTKOWE - SCHEMAT NR 1 - M min

Moment zginający	M = 1947.00 kNm
Siła podłużna	P = 0.00 kN
Przekrój prostokątny:	
- szerokość przekroju	b = 0.75 m
- całkowita wysokość przekroju	h = 1.00 m
- otulina zbrojenia rozc.	ar = 0.06 m
- otulina zbrojenia ścisk.	as = 0.06 m
- przyjęty współczynnik n = Es/Eb	n = 10.00
Wytrzymałość obl.stali zbrojeniowej	Ra = 295.00 MPa
Wytrzymałość obl.żelbetu na ściskanie	Rbl = 17.30 MPa
Wytrzymałość obl.betonu na rozciąganie	Rbt = 0.00 MPa

DOBIERANIE ZBROJENIA (w zakresie 0.20% do 4.0% Fb)

Wysokość strefy ściskanej	x = 0.34 m
Obliczony przekrój zbrojenia w strefie rozciąganej	Fr = 79.38 cm ²
Obliczony przekrój zbrojenia w strefie ściskanej	Fs = 15.00 cm ²
Oblicz. naprężenia ściskające w betonie	Sb = 16.74 MPa
Oblicz. naprężenia rozciągające w stali zbr.	Sr = 295.05 MPa

DANE POCZĄTKOWE - SCHEMAT NR 2 - M max

Moment zginający	M = 1298.00 kNm
Siła podłużna	P = 0.00 kN
Przekrój prostokątny:	
- szerokość przekroju	b = 1.20 m
- całkowita wysokość przekroju	h = 1.00 m
- otulina zbrojenia rozc.	ar = 0.06 m
- otulina zbrojenia ścisk.	as = 0.06 m
- przyjęty współczynnik n = Es/Eb	n = 10.00
Wytrzymałość obl.stali zbrojeniowej	Ra = 295.00 MPa
Wytrzymałość obl.żelbetu na ściskanie	Rbl = 17.30 MPa
Wytrzymałość obl.betonu na rozciąganie	Rbt = 0.00 MPa

DOBIERANIE ZBROJENIA (w zakresie 0.20% do 4.0% Fb)

Wysokość strefy ściskanej	x = 0.23 m
Obliczony przekrój zbrojenia w strefie rozciąganej	Fr = 50.83 cm ²
Obliczony przekrój zbrojenia w strefie ściskanej	Fs = 24.00 cm ²
Oblicz. naprężenia ściskające w betonie	Sb = 9.61 MPa
Oblicz. naprężenia rozciągające w stali zbr.	Sr = 295.23 MPa

KONIEC OBLCIĘŃ

mgr inż. Andrzej Łukasiewicz
 ul. Kwiatów Polnych 7 m. 27 tel. 746-64-57
 20-843 Lublin
 program <MIMOS-P> - wersja marzec 1998r.

 * Wymiarowanie mimośrodowo ściskanego lub zginanego *
 * przekroju prostokątnego lub teowego *
 * metoda NL *

Nazwa obiektu: Most przez rz. Bystrzyce w c. ul. Krochmalnej
 Nazwa elementu: słupy filara
 Dane przygotował: A. Łukasiewicz
 Data obliczeń: 07.2005

DANE POCZĄTKOWE - węzeł nr 2- przyp. 1

Siła podłużna	P = 3451.00 kN
Długość wyboczeniowa	lw = 2.80 m
Moment zginający w kierunku X	Mx = 410.00 kNm
Moment zginający w kierunku Y	My = 71.40 knm
Przekrój prostokątny:	
- szerokość słupa w kierunku X	bx = 1.300 m
- szerokość słupa w kierunku Y	by = 0.750 m
- przekrój stali wzduż jednego boku w kierunku X	Fx = 77.00 cm ²
- przekrój stali wzduż jednego boku w kierunku Y	Fy = 48.10 cm ²
- otulina stali	a = 0.150 cm
Przyjęty współczynnik n = Es/Eb	n = 10.00
Wytrzymałość obl. stali zbrojeniowej	Ra = 200.00 MPa
Wytrzymałość obl. betonu na ściskanie	Rbb = 11.50 MPa
Wytrzymałość obl. żelbetu na ściskanie	Rbl = 17.30 MPa
Wytrzymałość obl. betonu na rozciąganie	Rbt = 0.00 MPa

SPRAWDZENIE NAPRĘŻEN W I FAZIE

Max. naprężenia oblicz. w betonie	max b = 5.10 MPa
Max. naprężenia oblicz. w stali zbr.	max Z = 44.83 MPa
Min. naprężenia oblicz. w betonie	min b = 0.54 MPa
Min. naprężenia oblicz. w stali zbr.	min Z = 11.50 MPa
Wsp. zwiększający przy wyboczeniu - kier. X	fx = 1.012
Wsp. zwiększający przy wyboczeniu - kier. Y	

DANE POCZĄTKOWE - węzeł nr 2 - przyp. 2

Siła podłużna	P = 3443.00 kN
Długość wyboczeniowa	lw = 2.80 m
Moment zginający w kierunku X	Mx = 387.30 kNm
Moment zginający w kierunku Y	My = 82.40 knm
Przekrój prostokątny:	
- szerokość słupa w kierunku X	bx = 1.300 m
- szerokość słupa w kierunku Y	by = 0.750 m
- przekrój stali wzduż jednego boku w kierunku X	Fx = 77.00 cm ²
- przekrój stali wzduż jednego boku w kierunku Y	Fy = 48.10 cm ²
- otulina stali	a = 0.150 cm
Przyjęty współczynnik n = Es/Eb	n = 10.00
Wytrzymałość obl. stali zbrojeniowej	Ra = 200.00 MPa
Wytrzymałość obl. betonu na ściskanie	Rbb = 11.50 MPa
Wytrzymałość obl. żelbetu na ściskanie	Rbl = 17.30 MPa
Wytrzymałość obl. betonu na rozciąganie	Rbt = 0.00 MPa

SPRAWDZENIE NAPRĘŻEN W I FAZIE

Max. naprężenia oblicz. w betonie max b = 5.07 MPa
 Max. naprężenia oblicz. w stali zbr. max Z = 44.49 MPa
 Min. naprężenia oblicz. w betonie min b = 0.55 MPa
 Min. naprężenia oblicz. w stali zbr. min Z = 11.71 MPa
 Wsp. zwiększający przy wyboczeniu - kier. X fx = 1.012
 Wsp. zwiększający przy wyboczeniu - kier. Y fy = 1.004

DANE POCZĄTKOWE - węzeł nr 3 - przyp. 1

Siła podłużna P = 3536.40 kN
 Długość wyboczeniowa lw = 2.80 m
 Moment zginający w kierunku X Mx = 231.60 kNm
 Moment zginający w kierunku Y My = 278.90 knm
 Przekrój prostokątny:
 - szerokość słupa w kierunku X bx = 1.300 m
 - szerokość słupa w kierunku Y by = 0.750 m
 - przekrój stali wzdłuż jednego boku w kierunku X Fx = 77.00 cm²
 - przekrój stali wzdłuż jednego boku w kierunku Y Fy = 48.10 cm²
 - otulina stali a = 0.150 cm
 Przyjęty współczynnik n = Es/Eb n = 10.00
 Wytrzymałość obl. stali zbrojeniowej Ra = 200.00 MPa
 Wytrzymałość obl. betonu na ściskanie Rbb = 11.50 MPa
 Wytrzymałość obl. żelbetu na ściskanie Rbl = 17.30 MPa
 Wytrzymałość obl. betonu na rozciąganie Rbt = 0.00 MPa

SPRAWDZENIE NAPRĘŻENЬ W II FAZIE

Max. naprężenia ścisk. w betonie Sb = 7.99 MPa
 Max. naprężenia rozc. w stali zbr. Sr = 4.85 MPa
 Wsp. zwiększający przy wyboczeniu - kier. X fx = 1.003
 Wsp. zwiększający przy wyboczeniu - kier. Y fy = 1.008
 Szerokość oblicz. strefy ścisk. b = 0.638
 Wysokość oblicz. strefy ścisk. x = 0.638

DANE POCZĄTKOWE - węzeł nr 3 - przyp. 2

Siła podłużna P = 3529.00 kN
 Długość wyboczeniowa lw = 2.80 m
 Moment zginający w kierunku X Mx = 186.00 kNm
 Moment zginający w kierunku Y My = 315.00 knm
 Przekrój prostokątny:
 - szerokość słupa w kierunku X bx = 1.300 m
 - szerokość słupa w kierunku Y by = 0.750 m
 - przekrój stali wzdłuż jednego boku w kierunku X Fx = 77.00 cm²
 - przekrój stali wzdłuż jednego boku w kierunku Y Fy = 48.10 cm²
 - otulina stali a = 0.150 cm
 Przyjęty współczynnik n = Es/Eb n = 10.00
 Wytrzymałość obl. stali zbrojeniowej Ra = 200.00 MPa
 Wytrzymałość obl. betonu na ściskanie Rbb = 11.50 MPa
 Wytrzymałość obl. żelbetu na ściskanie Rbl = 17.30 MPa
 Wytrzymałość obl. betonu na rozciąganie Rbt = 0.00 MPa

SPRAWDZENIE NAPRĘŻENЬ W II FAZIE

Max. naprężenia ścisk. w betonie Sb = 7.75 MPa
 Max. naprężenia rozc. w stali zbr. Sr = 3.11 MPa
 Wsp. zwiększający przy wyboczeniu - kier. X fx = 1.003
 Wsp. zwiększający przy wyboczeniu - kier. Y fy = 1.008
 Szerokość oblicz. strefy ścisk. b = 0.638
 Wysokość oblicz. strefy ścisk. x = 0.638

DANE POCZĄTKOWE - węzeł nr 10 - przyp. 1

Siła podłużna	P = 2800.00 kN
Długość wyboczeniowa	lw = 2.80 m
Moment zginający w kierunku X	Mx = 520.00 kNm
Moment zginający w kierunku Y	My = 71.40 knm
Przekrój prostokątny:	
- szerokość słupa w kierunku X	bx = 1.300 m
- szerokość słupa w kierunku Y	by = 0.750 m
- przekrój stali wzdłuż jednego boku w kierunku X	Fx = 77.00 cm ²
- przekrój stali wzdłuż jednego boku w kierunku Y	Fy = 48.10 cm ²
- otulina stali	a = 0.150 cm
Przyjęty współczynnik n = Es/Eb	n = 10.00
Wytrzymałość obl. stali zbrojeniowej	Ra = 200.00 MPa
Wytrzymałość obl. betonu na ściskanie	Rbb = 11.50 MPa
Wytrzymałość obl. żelbetu na ściskanie	Rbl = 17.30 MPa
Wytrzymałość obl. betonu na rozciąganie	Rbt = 0.00 MPa

SPRAWDZENIE NAPRĘZEŃ W II FAZIE

Max. naprężenia ścisk. w betonie	Sb = 6.00 MPa
Max. naprężenia rozc. w stali zbr.	Sr = 5.73 MPa
Wsp. zwiększający przy wyboczeniu - kier. X	fx = 1.006
Wsp. zwiększający przy wyboczeniu - kier. Y	
Szerokość oblicz. strefy ścisk.	b = 1.105
Wysokość oblicz. strefy ścisk.	x = 1.105

DANE POCZĄTKOWE - węzeł nr 10 - przyp. 2

Siła podłużna	P = 2792.50 kN
Długość wyboczeniowa	lw = 2.80 m
Moment zginający w kierunku X	Mx = 497.40 kNm
Moment zginający w kierunku Y	My = 82.40 knm
Przekrój prostokątny:	
- szerokość słupa w kierunku X	bx = 1.300 m
- szerokość słupa w kierunku Y	by = 0.750 m
- przekrój stali wzdłuż jednego boku w kierunku X	Fx = 77.00 cm ²
- przekrój stali wzdłuż jednego boku w kierunku Y	Fy = 48.10 cm ²
- otulina stali	a = 0.150 cm
Przyjęty współczynnik n = Es/Eb	n = 10.00
Wytrzymałość obl. stali zbrojeniowej	Ra = 200.00 MPa
Wytrzymałość obl. betonu na ściskanie	Rbb = 11.50 MPa
Wytrzymałość obl. żelbetu na ściskanie	Rbl = 17.30 MPa
Wytrzymałość obl. betonu na rozciąganie	Rbt = 0.00 MPa

SPRAWDZENIE NAPRĘZEŃ W II FAZIE

Max. naprężenia ścisk. w betonie	Sb = 6.08 MPa
Max. naprężenia rozc. w stali zbr.	Sr = 6.27 MPa
Wsp. zwiększający przy wyboczeniu - kier. X	fx = 1.006
Wsp. zwiększający przy wyboczeniu - kier. Y	fy = 1.002
Szerokość oblicz. strefy ścisk.	b = 1.105
Wysokość oblicz. strefy ścisk.	x = 1.105

DANE POCZĄTKOWE - węzeł nr 11 - przyp. 1

Siła podłużna	P = 2885.70 kN
Długość wyboczeniowa	lw = 2.80 m
Moment zginający w kierunku X	Mx = 303.30 kNm
Moment zginający w kierunku Y	My = 278.90 knm
Przekrój prostokątny:	
- szerokość słupa w kierunku X	bx = 1.300 m

- szerokość słupa w kierunku Y	by = 0.750 m
- przekrój stali wzdłuż jednego boku w kierunku X	Fx = 77.00 cm ²
- przekrój stali wzdłuż jednego boku w kierunku Y	Fy = 48.10 cm ²
- otulina stali	a = 0.150 cm
Przyjęty współczynnik n = Es/Eb	n = 10.00
Wytrzymałość obl. stali zbrojeniowej	Ra = 200.00 MPa
Wytrzymałość obl. betonu na ściskanie	Rbb = 11.50 MPa
Wytrzymałość obl. żelbetu na ściskanie	Rbl = 17.30 MPa
Wytrzymałość obl. betonu na rozciąganie	Rbt = 0.00 MPa

SPRAWDZENIE NAPREŽEN W II FAZIE

Max. naprężenia ścisk. w betonie	S _b = 7.09 MPa
Max. naprężenia rozc. w stali zbr.	S _r = 8.33 MPa
Wsp. zwiększający przy wyboczeniu - kier. X	f _x = 1.002
Wsp. zwiększający przy wyboczeniu - kier. Y	f _y = 1.007
Szerokość oblicz. strefy ścisk.	b = 0.638
Wysokość oblicz. strefy ścisk.	x = 0.638

DANE POCZĄTKOWE - węzeł nr 11 - przyp. 2

Siła podłużna	P = 2878.30 kN
Długość wyboczeniowa	l _w = 2.80 m
Moment zginający w kierunku X	M _x = 257.80 kNm
Moment zginający w kierunku Y	M _y = 314.90 kNm
Przekrój prostokątny:	
- szerokość słupa w kierunku X	b _x = 1.300 m
- szerokość słupa w kierunku Y	b _y = 0.750 m
- przekrój stali wzdłuż jednego boku w kierunku X	F _x = 77.00 cm ²
- przekrój stali wzdłuż jednego boku w kierunku Y	F _y = 48.10 cm ²
- otulina stali	a = 0.150 cm
Przyjęty współczynnik n = Es/Eb	n = 10.00
Wytrzymałość obl. stali zbrojeniowej	Ra = 200.00 MPa
Wytrzymałość obl. betonu na ściskanie	Rbb = 11.50 MPa
Wytrzymałość obl. żelbetu na ściskanie	Rbl = 17.30 MPa
Wytrzymałość obl. betonu na rozciąganie	Rbt = 0.00 MPa

SPRAWDZENIE NAPREŽEN W II FAZIE

Max. naprężenia ścisk. w betonie	S _b = 6.85 MPa
Max. naprężenia rozc. w stali zbr.	S _r = 6.59 MPa
Wsp. zwiększający przy wyboczeniu - kier. X	f _x = 1.002
Wsp. zwiększający przy wyboczeniu - kier. Y	f _y = 1.007
Szerokość oblicz. strefy ścisk.	b = 0.638
Wysokość oblicz. strefy ścisk.	x = 0.638

DANE POCZĄTKOWE - węzeł nr 6 - przyp. 1

Siła podłużna	P = 3592.30 kN
Długość wyboczeniowa	l _w = 2.80 m
Moment zginający w kierunku X	M _x = 214.00 kNm
Moment zginający w kierunku Y	M _y = 71.40 kNm
Przekrój prostokątny:	
- szerokość słupa w kierunku X	b _x = 1.300 m
- szerokość słupa w kierunku Y	b _y = 0.750 m
- przekrój stali wzdłuż jednego boku w kierunku X	F _x = 48.10 cm ²
- przekrój stali wzdłuż jednego boku w kierunku Y	F _y = 28.90 cm ²
- otulina stali	a = 0.150 cm
Przyjęty współczynnik n = Es/Eb	n = 10.00
Wytrzymałość obl. stali zbrojeniowej	Ra = 200.00 MPa
Wytrzymałość obl. betonu na ściskanie	Rbb = 11.50 MPa
Wytrzymałość obl. żelbetu na ściskanie	Rbl = 17.30 MPa
Wytrzymałość obl. betonu na rozciąganie	Rbt = 0.00 MPa

SPRAWDZENIE NAPRĘŻEŃ W I FAZIE

Max. naprężenia oblicz. w betonie	max b =	4.68 MPa
Max. naprężenia oblicz. w stali zbr.	max Z =	42.43 MPa
Min. naprężenia oblicz. w betonie	min b =	1.68 MPa
Min. naprężenia oblicz. w stali zbr.	min Z =	21.20 MPa
Wsp. zwiększający przy wyboczeniu - kier. X	fx =	1.012
Wsp. zwiększający przy wyboczeniu - kier. Y	1.004	

DANE POCZĄTKOWE - węzeł nr 6 - przyp. 2

Siła podłużna	P =	3592.30 kN
Długość wyboczeniowa	lw =	2.80 m
Moment zginający w kierunku X	Mx =	172.60 kNm
Moment zginający w kierunku Y	My =	82.40 knm
Przekrój prostokątny:		
- szerokość słupa w kierunku X	bx =	1.300 m
- szerokość słupa w kierunku Y	by =	0.750 m
- przekrój stali wzdłuż jednego boku w kierunku X	Fx =	48.10 cm ²
- przekrój stali wzdłuż jednego boku w kierunku Y	Fy =	28.90 cm ²
- otulina stali	a =	0.150 cm
Przyjęty współczynnik n = Es/Eb	n =	10.00
Wytrzymałość obl. stali zbrojeniowej	Ra =	200.00 MPa
Wytrzymałość obl. betonu na ściskanie	Rbb =	11.50 MPa
Wytrzymałość obl. żelbetu na ściskanie	Rbl =	17.30 MPa
Wytrzymałość obl. betonu na rozciąganie	Rbt =	0.00 MPa

SPRAWDZENIE NAPRĘŻEŃ W I FAZIE

Max. naprężenia oblicz. w betonie	max b =	4.58 MPa
Max. naprężenia oblicz. w stali zbr.	max Z =	41.51 MPa
Min. naprężenia oblicz. w betonie	min b =	1.78 MPa
Min. naprężenia oblicz. w stali zbr.	min Z =	22.13 MPa
Wsp. zwiększający przy wyboczeniu - kier. X	fx =	1.012
Wsp. zwiększający przy wyboczeniu - kier. Y	fy =	1.004

DANE POCZĄTKOWE - węzeł nr 7 - przyp. 1

Siła podłużna	P =	3678.10 kN
Długość wyboczeniowa	lw =	2.80 m
Moment zginający w kierunku X	Mx =	170.60 kNm
Moment zginający w kierunku Y	My =	278.90 knm
Przekrój prostokątny:		
- szerokość słupa w kierunku X	bx =	1.300 m
- szerokość słupa w kierunku Y	by =	0.750 m
- przekrój stali wzdłuż jednego boku w kierunku X	Fx =	48.10 cm ²
- przekrój stali wzdłuż jednego boku w kierunku Y	Fy =	28.90 cm ²
- otulina stali	a =	0.150 cm
Przyjęty współczynnik n = Es/Eb	n =	10.00
Wytrzymałość obl. stali zbrojeniowej	Ra =	200.00 MPa
Wytrzymałość obl. betonu na ściskanie	Rbb =	11.50 MPa
Wytrzymałość obl. żelbetu na ściskanie	Rbl =	17.30 MPa
Wytrzymałość obl. betonu na rozciąganie	Rbt =	0.00 MPa

SPRAWDZENIE NAPRĘŻEŃ W I FAZIE

Max. naprężenia oblicz. w betonie	max b =	6.14 MPa
Max. naprężenia oblicz. w stali zbr.	max Z =	51.14 MPa
Min. naprężenia oblicz. w betonie	min b =	0.38 MPa
Min. naprężenia oblicz. w stali zbr.	min Z =	14.02 MPa
Wsp. zwiększający przy wyboczeniu - kier. X	fx =	1.004

Wsp. zwiększający przy wyboczeniu - kier. Y fy = 1.012

DANE POCZĄTKOWE - węzeł nr 7 - przyp. 2

Sила подłużна	P = 3678.10 kN
Długość wyboczeniowa	lw = 2.80 m
Moment zginający w kierunku X	Mx = 111.80 kNm
Moment zginający w kierunku Y	My = 315.00 knm
Przekrój prostokątny:	
- szerokość słupa w kierunku X	bx = 1.300 m
- szerokość słupa w kierunku Y	by = 0.750 m
- przekrój stali wzduż jednego boku w kierunku X	Fx = 48.10 cm ²
- przekrój stali wzduż jednego boku w kierunku Y	Fy = 28.90 cm ²
- otulina stali	a = 0.150 cm
Przyjęty współczynnik n = Es/Eb	n = 10.00
Wytrzymałość obl. stali zbrojeniowej	Ra = 200.00 MPa
Wytrzymałość obl. betonu na ściskanie	Rbb = 11.50 MPa
Wytrzymałość obl. żelbetu na ściskanie	Rbl = 17.30 MPa
Wytrzymałość obl. betonu na rozciąganie	Rbt = 0.00 MPa

SPRAWDZENIE NAPRĘŻEŃ W I FAZIE

Max. naprężenia oblicz. w betonie	max b = 6.15 MPa
Max. naprężenia oblicz. w stali zbr.	max Z = 50.75 MPa
Min. naprężenia oblicz. w betonie	min b = 0.37 MPa
Min. naprężenia oblicz. w stali zbr.	min Z = 14.40 MPa
Wsp. zwiększający przy wyboczeniu - kier. X fx =	1.004
Wsp. zwiększający przy wyboczeniu - kier. Y fy =	1.012

K O N I E C O B L I C Z E N

Andrzej Łukasiewicz
 ul. Kwiatów Polnych 7 m. 27 tel. 746 64 57
 20-843 Lublin
 program <PAL> wersja - styczeń 1998r.

 * Analiza statyczna rusztu palowego *
 * z nieskończonym sztywną płytą zwieńczającą *

Nazwa obiektu: Most przez rz. Bystrzyce w c. ul. Krochmalnej
 Nazwa elementu: pale fundamentowe filara
 Dane przygotował: A. Łukasiewicz
 Data obliczeń: 07.2005

DANE GEOMETRYCZNE PODPORY

wysokość podpory od spodu fundamentu	h0 = 0.00 m
wysokość pala powyżej terenu	l0 = 0.00 m
szerokość pala powyżej terenu	d0 = 0.35 m
moduł sprężystości pala powyżej terenu	e0 = 32600 MPa
długość pala poniżej terenu	hp = 6.50 m
szerokość pala poniżej terenu	dp = 0.35 m
moduł sprężystości pala poniżej terenu	ep = 32600 MPa
dolny koniec pala jest sprężyście zamocowany w gruncie	

Charakterystyka gruntu do głębokości hm = 2.70 m
 warstwa grubość wsp. proporcjonalności
 1 2.70 m 1.000 MN/m⁴

Geometria podpory w kierunku X

rzad	liczba pali	współrzędna X	pochylenie pali
1	11	-0.625 m	0.0000
2	11	0.625 m	0.0000

liczba pali w miarodajnej grupie w kierunku X nl = 2
 min. rozstaw pali w tej grupie w kier. X lp = 1.25 m
 min. rozstaw pali w kier. prostopadłym ly = 1.45 m
 do płaszczyzny obciążen

Geometria podpory w kierunku Y

rzad	liczba pali	współrzędna Y	pochylenie pali
1	2	-7.250 m	0.0000
2	2	-5.800 m	0.0000
3	2	-4.350 m	0.0000
4	2	-2.900 m	0.0000
5	2	-1.450 m	0.0000
6	2	0.000 m	0.0000
7	2	1.450 m	0.0000
8	2	2.900 m	0.0000
9	2	4.350 m	0.0000
10	2	5.800 m	0.0000
11	2	7.250 m	0.0000

SCHEMAT OBCIĄŻENIA NR 1

Obciążenie podpory w poziomie spodu głowicy w kierunku X

Sila pionowa Vx = 12.150 MN
 Sila pozioma Hx = 0.214 MN
 Moment zginający Mx = 1.033 MN

Obciążenie podpory w poziomie spodu głowicy w kierunku Y

Siła pozioma $H_y = 0.143 \text{ MN}$
 Moment zginający $M_y = 4.348 \text{ MN}$

WYNIKI OBLICZEŃ

szerokość obliczeniowa pala $b_0 = 0.7669 \text{ m}$
 wsp. odkształcalności pala $\alpha = 0.4517 \text{ m}^{-1}$

KIERUNEK - X

Przesunięcia głowicy pala w kier. X

przesunięcie poziome $a_x = 0.00913 \text{ m}$
 przesunięcie pionowe $c_x = 0.01708 \text{ m}$
 kąt obrotu głowicy $b_x = 0.00300 \text{ rad}$

przesunięcie poziome wierzchu podpory w kier. X
 $a_{ax} = 0.00913 \text{ m}$

Siły w głowicy pojedynczego pala w kier. X

	Pal 1 rzędu	Pal 2 rzędu
Siła pionowa	$V_x = 0.49171$	0.61284 MN
Siła pozioma	$H_x = 0.00974$	0.00974 MN
Moment zginający	$M_x = 0.00910$	0.00910 MNm

Siły i przemieszczenia pala poniżej terenu w kier. X

głębokość głębokość sprzedzia rzeczywista	przem. poziome	obrót przekroju	nacisk boczny	moment zginający	siła poprzeczna
< >	< m >	< m >	< rad >	< MPa >	< MNm >
0.000	0.000	0.00913	0.00300	0.0000	0.00910
0.294	0.650	0.00724	0.00280	0.0047	0.01515
0.587	1.300	0.00551	0.00252	0.0072	0.01973
0.881	1.950	0.00397	0.00219	0.0077	0.02204
1.175	2.600	0.00267	0.00183	0.0069	0.02188
1.468	3.250	0.00159	0.00150	0.0052	0.01950
1.762	3.900	0.00071	0.00122	0.0028	0.01546
2.055	4.550	-0.00002	0.00101	-0.0001	0.01055
2.349	5.200	-0.00063	0.00088	-0.0033	0.00566
2.643	5.850	-0.00118	0.00083	-0.0069	0.00185
2.936	6.500	-0.00171	0.00081	-0.0111	0.00028
					-0.00000

KIERUNEK Y

Przesunięcia głowicy pala w kier. Y

przesunięcie poziome $a_y = 0.00245 \text{ m}$
 przesunięcie pionowe $c_y = -0.00000 \text{ m}$
 kąt obrotu głowicy $b_y = 0.00031 \text{ rad}$
 przesunięcie poziome wierzchu podpory w kier. Y
 $a_{ay} = 0.00245 \text{ m}$

Siły w głowicy pojedynczego pala w kier. Y

	Pal 1 rzędu	Pal 11 rzędu
Siła pionowa	-0.07191	0.07191 MN
Siła pozioma	0.00650	0.00650 MN
Moment zginający	-0.01090	-0.01090 MNm

Siły i przemieszczenia pala poniżej terenu w kier. Y

głębokość głębokość sprzedzia rzeczywista	przem. poziome	obrót przekroju	nacisk boczny	moment zginający	siła poprzeczna
< >	< m >	< m >	< rad >	< MPa >	< MNm >
0.000	0.000	0.00245	0.00031	0.0000	-0.01090
0.294	0.650	0.00220	0.00045	0.0014	-0.00676
0.587	1.300	0.00188	0.00052	0.0024	-0.00308
0.881	1.950	0.00153	0.00055	0.0030	-0.00017
					0.00377

1.175	2.600	0.00117	0.00054	0.0030	0.00179	0.00225
1.468	3.250	0.00084	0.00050	0.0027	0.00277	0.00080
1.762	3.900	0.00053	0.00045	0.0021	0.00289	-0.00040
2.055	4.550	0.00025	0.00041	0.0011	0.00234	-0.00121
2.349	5.200	-0.00001	0.00038	-0.0000	0.00143	-0.00149
2.643	5.850	-0.00025	0.00036	-0.0014	0.00054	-0.00113
2.936	6.500	-0.00048	0.00036	-0.0031	0.00013	0.00000

SIŁY I PRZEMIESZCZENIA W KIER. WYPADKOWYM

Przemieszczenia wypadkowe w głowicy pala

Przemieszczenie poziome aw = 0.00945 m
 Przemieszczenie pionowe cw = 0.01708 m
 Przemieszczenie katowe głowicy bw = 0.00301 rad
 przemieszczenie poziome wierzchu podpory w kier. W
 aaw = 0.00945 m

Siły wypadkowe w głowicy pojedynczego pala

	Pal 1 rzędu	Pal ostatn. rzędu
Siła pionowa	0.4198	0.6847 MN
Siła pozioma	0.0117	0.0117 MN
Moment zginający	0.0142	0.0142 MNm

Siły i przemieszcz. pala poniżej terenu - w kier. wypadk.

Pal 1 rzędu

głębokość sprowadz. rzeczywista	głębokość przem.	obrót poziome	nacisk przekroju	moment boczny	zginający	siła poprzeczna
< >	< m >	< m >	< rad >	< MPa >	< MNm >	< MN >
0.000	0.000	0.00945	0.00301	0.0000	0.01420	0.01171
0.294	0.650	0.00757	0.00284	0.0049	0.01659	0.01045
0.587	1.300	0.00582	0.00258	0.0076	0.01997	0.00747
0.881	1.950	0.00426	0.00225	0.0083	0.02204	0.00411
1.175	2.600	0.00291	0.00191	0.0076	0.02195	0.00306
1.468	3.250	0.00179	0.00158	0.0058	0.01969	0.00517
1.762	3.900	0.00088	0.00130	0.0034	0.01573	0.00712
2.055	4.550	0.00025	0.00109	0.0011	0.01080	0.00788
2.349	5.200	0.00063	0.00096	0.0033	0.00584	0.00713
2.643	5.850	0.00120	0.00090	0.0070	0.00192	0.00460
2.936	6.500	0.00178	0.00089	0.0115	0.00031	0.00000

Pal ostatniego rzędu

głębokość sprowadz. rzeczywista	głębokość przem.	obrót poziome	nacisk przekroju	moment boczny	zginający	siła poprzeczna
< >	< m >	< m >	< rad >	< MPa >	< MNm >	< MN >
0.000	0.000	0.00945	0.00301	0.0000	0.01420	0.01171
0.294	0.650	0.00757	0.00284	0.0049	0.01659	0.01045
0.587	1.300	0.00582	0.00258	0.0076	0.01997	0.00747
0.881	1.950	0.00426	0.00225	0.0083	0.02204	0.00411
1.175	2.600	0.00291	0.00191	0.0076	0.02195	0.00306
1.468	3.250	0.00179	0.00158	0.0058	0.01969	0.00517
1.762	3.900	0.00088	0.00130	0.0034	0.01573	0.00712
2.055	4.550	0.00025	0.00109	0.0011	0.01080	0.00788
2.349	5.200	0.00063	0.00096	0.0033	0.00584	0.00713
2.643	5.850	0.00120	0.00090	0.0070	0.00192	0.00460
2.936	6.500	0.00178	0.00089	0.0115	0.00031	0.00000

SCHEMAT OBCIĄŻENIA NR 2

Obciążenie podpory w poziomie spodu głowicy w kierunku X

Siła pionowa Vx = 12.150 MN
 Siła pozioma Hx = 0.247 MN

Moment zginający $M_x = 1.192 \text{ MN}$

Obciążenie podpory w poziomie spodu głowicy w kierunku Y

Siła pozioma $H_y = 0.072 \text{ MN}$
 Moment zginający $M_y = 4.008 \text{ MN}$

WYNIKI OBliczeń

szerokość obliczeniowa pala $b_0 = 0.7669 \text{ m}$
 wsp. odkształcalności pala $\alpha = 0.4517 \text{ m}^{-1}$

KIERUNEK - X

Przesunięcia głowicy pala w kier. X

przesunięcie poziome $a_x = 0.01054 \text{ m}$
 przesunięcie pionowe $c_x = 0.01708 \text{ m}$
 kąt obrotu głowicy $b_x = 0.00346 \text{ rad}$
 przemieszczenie poziome wierzchu podpory w kier. X
 $a_{ax} = 0.01054 \text{ m}$

Siły w głowicy pojedynczego pala w kier. X

	Pal 1 rzędu	Pal 2 rzędu
Siła pionowa	$V_x = 0.48238$	0.62216 MN
Siła pozioma	$H_x = 0.01124$	0.01124 MN
Moment zginający	$M_x = 0.01050$	0.01050 MNm

Siły i przemieszczenia pala poniżej terenu w kier. X

głębokość	głębokość	przem.	obrót	nacisk	moment	siła
< >	< m >	< m >	< rad >	< MPa >	< MNm >	poprzeczna
0.200	0.000	0.01054	0.00346	0.0000	0.01050	0.01124
0.294	0.650	0.00836	0.00323	0.0054	0.01748	0.00977
0.587	1.300	0.00635	0.00291	0.0083	0.02276	0.00626
0.881	1.950	0.00459	0.00252	0.0089	0.02543	0.00189
1.175	2.600	0.00308	0.00211	0.0080	0.02525	-0.00238
1.468	3.250	0.00183	0.00173	0.0059	0.02250	-0.00590
1.762	3.900	0.00081	0.00141	0.0032	0.01784	-0.00820
2.055	4.550	-0.00002	0.00117	-0.0001	0.01217	-0.00899
2.349	5.200	-0.00072	0.00102	-0.0038	0.00653	-0.00805
2.643	5.850	-0.00136	0.00095	-0.0080	0.00213	-0.00515
2.936	6.500	-0.00197	0.00094	-0.0128	0.00033	-0.00000

K I E R U N E K Y

Przesunięcia głowicy pala w kier. Y

przesunięcie poziome $a_y = 0.00149 \text{ m}$
 przesunięcie pionowe $c_y = -0.00000 \text{ m}$
 kąt obrotu głowicy $b_y = 0.00027 \text{ rad}$
 przemieszczenie poziome wierzchu podpory w kier. Y
 $a_{ay} = 0.00149 \text{ m}$

Siły w głowicy pojedynczego pala w kier. Y

	Pal 1 rzędu	Pal 11 rzędu
Siła pionowa	-0.06431	0.06431 MN
Siła pozioma	0.00329	0.00329 MN
Moment zginający	-0.00432	-0.00432 MNm

Siły i przemieszczenia pala poniżej terenu w kier. Y

głębokość	głębokość	przem.	obrót	nacisk	moment	siła
< >	< m >	< m >	< rad >	< MPa >	< MNm >	poprzeczna

0.000	0.000	0.00149	0.00027	0.0000	-0.00432	0.00329
0.294	0.650	0.00130	0.00033	0.0008	-0.00224	0.00307
0.587	1.300	0.00108	0.00035	0.0014	-0.00041	0.00249
0.881	1.950	0.00085	0.00034	0.0017	0.00096	0.00172
1.175	2.600	0.00064	0.00032	0.0017	0.00181	0.00088
1.468	3.250	0.00044	0.00029	0.0014	0.00212	0.00011
1.762	3.900	0.00026	0.00025	0.0010	0.00198	-0.00051
2.055	4.550	0.00011	0.00023	0.0005	0.00151	-0.00089
2.349	5.200	-0.00003	0.00021	-0.0002	0.00089	-0.00098
2.643	5.850	-0.00016	0.00020	-0.0010	0.00032	-0.00070
2.936	6.500	-0.00029	0.00019	-0.0019	0.00007	0.00000

SIŁY I PRZEMIESZCZENIA W KIER. WYPADKOWYM

Przemieszczenia wypadkowe w głowicy pala

Przemieszczenie poziome aw = 0.01064 m
 Przemieszczenie pionowe cw = 0.01708 m
 Przemieszczenie katowe głowicy bw = 0.00347 rad
 przemieszczenie poziome wierzchu podpory w kier. W
 aaw = 0.01064 m

Siły wypadkowe w głowicy pojedynczego pala

	Pal 1 rzędu	Pal ostatn. rzędu
Siła pionowa	0.4181	0.6865 MN
Siła pozioma	0.0117	0.0117 MN
Moment zginający	0.0114	0.0114 MNm

Siły i przemieszcz. pala poniżej terenu - w kier. wypadk.

Pal 1 rzędu

głębokość sprawdz. rzeczywista	głębokość rzeczywista	przem. poziome	obrót przekroju	nacisk boczny	moment zginający	siła poprzeczna
< >	< m >	< m >	< rad >	< MPa >	< MNm >	< MN >
0.000	0.000	0.01064	0.00347	0.0000	0.01136	0.01171
0.294	0.650	0.00846	0.00325	0.0055	0.01762	0.01024
0.587	1.300	0.00644	0.00293	0.0084	0.02277	0.00674
0.881	1.950	0.00466	0.00255	0.0091	0.02545	0.00256
1.175	2.600	0.00314	0.00214	0.0082	0.02531	0.00254
1.468	3.250	0.00188	0.00175	0.0061	0.02260	0.00590
1.762	3.900	0.00086	0.00143	0.0033	0.01795	0.00821
2.055	4.550	0.00011	0.00119	0.0005	0.01226	0.00903
2.349	5.200	0.00072	0.00104	0.0038	0.00659	0.00811
2.643	5.850	0.00137	0.00097	0.0080	0.00216	0.00520
2.936	6.500	0.00199	0.00096	0.0130	0.00033	0.00000

Pal ostatniego rzędu

głębokość sprawdz. rzeczywista	głębokość rzeczywista	przem. poziome	obrót przekroju	nacisk boczny	moment zginający	siła poprzeczna
< >	< m >	< m >	< rad >	< MPa >	< MNm >	< MN >
0.000	0.000	0.01064	0.00347	0.0000	0.01136	0.01171
0.294	0.650	0.00846	0.00325	0.0055	0.01762	0.01024
0.587	1.300	0.00644	0.00293	0.0084	0.02277	0.00674
0.881	1.950	0.00466	0.00255	0.0091	0.02545	0.00256
1.175	2.600	0.00314	0.00214	0.0082	0.02531	0.00254
1.468	3.250	0.00188	0.00175	0.0061	0.02260	0.00590
1.762	3.900	0.00086	0.00143	0.0033	0.01795	0.00821
2.055	4.550	0.00011	0.00119	0.0005	0.01226	0.00903
2.349	5.200	0.00072	0.00104	0.0038	0.00659	0.00811
2.643	5.850	0.00137	0.00097	0.0080	0.00216	0.00520
2.936	6.500	0.00199	0.00096	0.0130	0.00033	0.00000

K O N I E C O B L I C Z E Ñ

mgr inż. Andrzej Łukasiewicz
 ul. Kwiatów Polnych 7 m. 27 tel. 746-64-57
 20-843 Lublin
 program <MIMOS-P> - wersja marzec 1998r.

 * Wymiarowanie mimośrodowo ściskanego lub zginanego *
 * przekroju prostokątnego lub teowego *
 * metoda NL *

Nazwa obiektu: Most przez rz. Bystrzyce w c. ul. Krochmalnej
 Nazwa elementu: pale fundamentowe filara - sprawdzenie naprężeń
 Dane przygotował: A. Łukasiewicz
 Data obliczeń: 07.2005

DANE POCZĄTKOWE - V min - przyp. 1

Siła podłużna	P = 419.80 kN
Długość wyboczeniowa	lw = 1.00 m
Moment zginający w kierunku X	Mx = 22.04 kNm
Moment zginający w kierunku Y	My = 10.90 knm
Przekrój prostokątny:	
- szerokość słupa w kierunku X	bx = 0.350 m
- szerokość słupa w kierunku Y	by = 0.350 m
- przekrój stali wzdłuż jednego boku w kierunku X	Fx = 6.28 cm ²
- przekrój stali wzdłuż jednego boku w kierunku Y	Fy = 6.28 cm ²
- otulina stali	a = 0.050 cm
Przyjęty współczynnik n = Es/Eb	n = 10.00
Wytrzymałość obl. stali zbrojeniowej	Ra = 200.00 MPa
Wytrzymałość obl. betonu na ściskanie	Rbb = 11.50 MPa
Wytrzymałość obl. żelbetu na ściskanie	Rbl = 11.50 MPa
Wytrzymałość obl. betonu na rozciąganie	Rbt = 0.00 MPa

SPRAWDZENIE NAPRĘŻEN W III FAZIE

Max. naprężenia ścisk. w betonie	Sb = 8.32 MPa
Max. naprężenia rozc. w stali zbr.	Sr = 11.95 MPa
Wsp. zwiększający przy wyboczeniu - kier. X	fx = 1.007
Wsp. zwiększający przy wyboczeniu - kier. Y	
Szerokość oblicz. strefy ścisk.	b = 0.350
Wysokość oblicz. strefy ścisk.	x = 0.298

DANE POCZĄTKOWE - V max - przyp. 1

Siła podłużna	P = 684.70 kN
Długość wyboczeniowa	lw = 1.00 m
Moment zginający w kierunku X	Mx = 22.04 kNm
Moment zginający w kierunku Y	My = 10.90 knm
Przekrój prostokątny:	
- szerokość słupa w kierunku X	bx = 0.350 m
- szerokość słupa w kierunku Y	by = 0.350 m
- przekrój stali wzdłuż jednego boku w kierunku X	Fx = 6.28 cm ²
- przekrój stali wzdłuż jednego boku w kierunku Y	Fy = 6.28 cm ²
- otulina stali	a = 0.050 cm
Przyjęty współczynnik n = Es/Eb	n = 10.00
Wytrzymałość obl. stali zbrojeniowej	Ra = 200.00 MPa
Wytrzymałość obl. betonu na ściskanie	Rbb = 11.50 MPa
Wytrzymałość obl. żelbetu na ściskanie	Rbl = 11.50 MPa
Wytrzymałość obl. betonu na rozciąganie	Rbt = 0.00 MPa

SPRAWDZENIE NAPRĘŻEN W I FAZIE

Max. naprężenia oblicz. w betonie max b = 8.82 MPa
 Max. naprężenia oblicz. w stali zbr. max Z = 76.29 MPa
 Min. naprężenia oblicz. w betonie min b = 0.45 MPa
 Min. naprężenia oblicz. w stali zbr. min Z = 16.48 MPa
 Wsp. zwiększający przy wyboczeniu - kier. X fx = 1.011
 Wsp. zwiększający przy wyboczeniu - kier. Y fy = 1.011

DANE POCZĄTKOWE - V min - przyp. 2

Sила podłużna P = 418.10 kN
 Długość wyboczeniowa lw = 1.00 m
 Moment zginający w kierunku X Mx = 25.43 kNm
 Moment zginający w kierunku Y My = 4.30 kNm
 Przekrój prostokątny:
 - szerokość słupa w kierunku X bx = 0.350 m
 - szerokość słupa w kierunku Y by = 0.350 m
 - przekrój stali wzduż jednego boku w kierunku X Fx = 6.28 cm²
 - przekrój stali wzduż jednego boku w kierunku Y Fy = 6.28 cm²
 - otulina stali a = 0.050 cm
 Przyjęty współczynnik n = Es/Eb n = 10.00
 Wytrzymałość obl. stali zbrojeniowej Ra = 200.00 MPa
 Wytrzymałość obl. betonu na ściskanie Rbb = 11.50 MPa
 Wytrzymałość obl. żelbetu na ściskanie Rbl = 11.50 MPa
 Wytrzymałość obl. betonu na rozciąganie Rbt = 0.00 MPa

SPRAWDZENIE NAPRĘZEŃ W II FAZIE

Max. naprężenia ścisk. w betonie Sb = 7.33 MPa
 Max. naprężenia rozc. w stali zbr. Sr = 5.06 MPa
 Wsp. zwiększający przy wyboczeniu - kier. X fx = 1.007
 Wsp. zwiększający przy wyboczeniu - kier. Y fy = 1.007
 Szerokość oblicz. strefy ścisk. b = 0.350
 Wysokość oblicz. strefy ścisk. x = 0.298

DANE POCZĄTKOWE - V max - przyp. 2

Sila podłużna P = 686.50 kN
 Długość wyboczeniowa lw = 1.00 m
 Moment zginający w kierunku X Mx = 25.43 kNm
 Moment zginający w kierunku Y My = 4.30 kNm
 Przekrój prostokątny:
 - szerokość słupa w kierunku X bx = 0.350 m
 - szerokość słupa w kierunku Y by = 0.350 m
 - przekrój stali wzduż jednego boku w kierunku X Fx = 6.28 cm²
 - przekrój stali wzduż jednego boku w kierunku Y Fy = 6.28 cm²
 - otulina stali a = 0.050 cm
 Przyjęty współczynnik n = Es/Eb n = 10.00
 Wytrzymałość obl. stali zbrojeniowej Ra = 200.00 MPa
 Wytrzymałość obl. betonu na ściskanie Rbb = 11.50 MPa
 Wytrzymałość obl. żelbetu na ściskanie Rbl = 11.50 MPa
 Wytrzymałość obl. betonu na rozciąganie Rbt = 0.00 MPa

SPRAWDZENIE NAPRĘZEŃ W I FAZIE

Max. naprężenia oblicz. w betonie max b = 8.43 MPa
 Max. naprężenia oblicz. w stali zbr. max Z = 73.50 MPa
 Min. naprężenia oblicz. w betonie min b = 0.87 MPa
 Min. naprężenia oblicz. w stali zbr. min Z = 19.51 MPa
 Wsp. zwiększający przy wyboczeniu - kier. X fx = 1.011
 Wsp. zwiększający przy wyboczeniu - kier. Y fy = 1.011

KONIEC OBLCZENI

Andrzej Łukasiewicz
 ul. Kwiatów Polnych 7 m. 27 tel. 746 64 57
 20-843 Lublin
 program <PAL> wersja - styczeń 1998r.

 * Analiza statyczna rusztu palowego *
 * z nieskończonym sztywną płytą zwierzącą *

Nazwa obiektu: Most przez rz. Bystrzyce w c. ul. Krochmalnej
 Nazwa elementu: pale fundamentowe przyczółka - analiza statyczna
 Dane przygotował: A. Łukasiewicz
 Data obliczeń: 07.2005

DANE GEOMETRYCZNE PODPORY

wysokość podpory od spodu fundamentu	$h_0 = 1.30 \text{ m}$
wysokość pala powyżej terenu	$l_0 = 0.00 \text{ m}$
szerokość pala powyżej terenu	$d_0 = 0.35 \text{ m}$
moduł sprężystości pala powyżej terenu	$e_0 = 27000 \text{ MPa}$
długość pala poniżej terenu	$h_p = 11.50 \text{ m}$
szerokość pala poniżej terenu	$d_p = 0.35 \text{ m}$
moduł sprężystości pala poniżej terenu	$e_p = 27000 \text{ MPa}$
dolny koniec pala jest sprężyście zamocowany w gruncie	

Charakterystyka gruntu do głębokości $h_m = 2.70 \text{ m}$
 warstwa grubość wsp. proporcjonalności
 1 2.70 m 2.000 MN/m⁴

Geometria podpory w kierunku X

rzad	liczba pali	współrzędna X	pochylenie pali
1	12	0.000 m	0.0000

liczba pali w miarodajnej grupie w kierunku X $n_l = 1$

Geometria podpory w kierunku Y

rzad	liczba pali	współrzędna Y	pochylenie pali
1	1	-8.210 m	0.0000
2	1	-7.010 m	0.0000
3	1	-5.810 m	0.0000
4	1	-4.150 m	0.0000
5	1	-2.490 m	0.0000
6	1	-0.830 m	0.0000
7	1	0.830 m	0.0000
8	1	2.490 m	0.0000
9	1	4.150 m	0.0000
10	1	5.810 m	0.0000
11	1	6.860 m	0.0000
12	1	7.910 m	0.0000

SCHEMAT OBCIĄŻENIA - przyp. 1

Obciążenie podpory w poziomie spodu głowicy w kierunku X

Siła pionowa	$V_x = 8.230 \text{ MN}$
Siła pozioma	$H_x = 0.016 \text{ MN}$
Moment zginający	$M_x = -0.787 \text{ MN}$

Obciążenie podpory w poziomie spodu głowicy w kierunku Y

Remont mostu przez rz. Bystrzyce (od strony górnej wody) w ciągu jezdni południowej ul. Krochmalnej w Lublinie

Siła pozioma Hy = 0.051 MN
 Moment zginajacy My = 3.201 MN

WYNIKI OBLICZEŃ

szerokość obliczeniowa pala b0 = 1.0250 m
 wsp. odkształcalności pala alfa = 0.5710 m^-1

KIERUNEK - X

Przesunięcia głowicy pala w kier. X

przesunięcie poziome ax = -0.00912 m
 przesunięcie pionowe cx = 0.01090 m
 kat obrotu głowicy bx = -0.00575 rad

przesunięcie poziome wierzchu podpory w kier. X
 aax = -0.01659 m

Siły w głowicy pojedynczego pala w kier. X

Siła pionowa 0.68583 MN
 Siła pozioma 0.00138 MN
 Moment zginajacy -0.06558 MNm

Siły i przemieszczenia pala poniżej terenu w kier. X

głębokość	głębokość sprzedaw. rzeczywista	przem.	obrót	nacisk	moment	siła poprzeczna
< >	< m >	< m >	< rad >	< MPa >	< MNm >	< MN >
0.000	0.000	-0.00912	-0.00575	0.0000	-0.06558	0.00138
0.400	0.700	-0.00556	-0.00440	-0.0078	-0.06377	0.00473
0.600	1.401	-0.00293	-0.00313	-0.0082	-0.05834	0.01080
1.200	2.101	-0.00114	-0.00201	-0.0048	-0.04895	0.01561
1.600	2.802	-0.00006	-0.00111	-0.0004	-0.03718	0.01746
2.000	3.502	0.00048	-0.00047	0.0033	-0.02519	0.01631
2.400	4.203	0.00065	-0.00006	0.0055	-0.01483	0.01305
2.800	4.903	0.00060	0.00017	0.0059	-0.00713	0.00888
3.200	5.604	0.00045	0.00026	0.0050	-0.00235	0.00488
3.600	6.304	0.00026	0.00028	0.0032	-0.00008	0.00178
4.000	7.005	0.00006	0.00027	0.0009	0.00037	-0.00041

K I E R U N E K Y

Przesunięcia głowicy pala w kier. Y

przesunięcie poziome ay = 0.00088 m
 przesunięcie pionowe cy = 0.00001 m
 kat obrotu głowicy by = 0.00015 rad

przesunięcie poziome wierzchu podpory w kier. Y
 aay = 0.00107 m

Siły w głowicy pojedynczego pala w kier. Y

	Pal 1 rzędu	Pal 12 rzędu
Siła pionowa	-0.07800	0.07585 MN
Siła pozioma	0.00422	0.00422 MN
Moment zginajacy	-0.00518	-0.00518 MNm

Siły i przemieszczenia pala poniżej terenu w kier. Y

głębokość sprawdz.	głębokość rzeczywista	przem. poziome	obrót przekroju	nacisk boczny	moment zginający	siła poprzeczna
< >	< m >	< m >	< rad >	< MPa >	< MNm >	< MN >
0.000	0.000	0.00088	0.00015	0.0000	-0.00518	0.00422
0.400	0.700	0.00074	0.00023	0.0010	-0.00231	0.00383
0.800	1.401	0.00057	0.00025	0.0016	0.00005	0.00285
1.200	2.101	0.00040	0.00023	0.0017	0.00163	0.00166
1.600	2.802	0.00025	0.00019	0.0014	0.00240	0.00055
2.000	3.502	0.00013	0.00014	0.0009	0.00247	-0.00029
2.400	4.203	0.00005	0.00009	0.0005	0.00207	-0.00079
2.800	4.903	0.00000	0.00005	0.0000	0.00144	-0.00096
3.200	5.604	-0.00002	0.00003	-0.0003	0.00078	-0.00087
3.600	6.304	-0.00004	0.00002	-0.0005	0.00026	-0.00058
4.000	7.005	-0.00005	0.00002	-0.0008	0.00003	-0.00003

SIŁY I PRZEMIESZCZENIA W KIER. WYPADKOWYM

Przemieszczenia wypadkowe w głowicy pala

Przemieszczenie poziome aw = 0.00916 m
 Przemieszczenie pionowe cw = 0.01091 m
 Przemieszczenie kątowe głowicy bw = 0.00575 rad
 przemieszczenie poziome wierzchu podpory w kier. W
 aaw = 0.01662 m

Siły wypadkowe w głowicy pojedynczego pala

	Pal 1 rzędu	Pal ostatn. rzędu
Sila pionowa	0.6078	0.7617 MN
Sila pozioma	0.0044	0.0044 MN
moment zginający	0.0658	0.0658 MNm

Siły i przemieszczenia pala poniżej terenu - w kier. wypadk.

Pal 1 rzędu

głębokość sprawdz.	głębokość rzeczywista	przem. poziome	obrót przekroju	nacisk boczny	moment zginający	siła poprzeczna
< >	< m >	< m >	< rad >	< MPa >	< MNm >	< MN >
0.000	0.000	0.00916	0.00575	0.0000	0.06579	0.00444
0.400	0.700	0.00561	0.00441	0.0079	0.06381	0.00608
0.800	1.401	0.00299	0.00314	0.0084	0.05834	0.01117
1.200	2.101	0.00121	0.00202	0.0051	0.04897	0.01570
1.600	2.802	0.00026	0.00113	0.0014	0.03725	0.01747
2.000	3.502	0.00050	0.00049	0.0035	0.02531	0.01631
2.400	4.203	0.00065	0.00011	0.0055	0.01497	0.01307
2.800	4.903	0.00060	0.00017	0.0059	0.00727	0.00893
3.200	5.604	0.00045	0.00026	0.0050	0.00247	0.00496
3.600	6.304	0.00026	0.00028	0.0033	0.00027	0.00187
4.000	7.005	0.00008	0.00027	0.0012	0.00037	0.00041

Pal ostatniego rzędu

głębokość sprawdz.	głębokość rzeczywista	przem. poziome	obrót przekroju	nacisk boczny	moment zginający	siła poprzeczna
< >	< m >	< m >	< rad >	< MPa >	< MNm >	< MN >
0.000	0.000	0.00916	0.00575	0.0000	0.06579	0.00444
0.400	0.700	0.00561	0.00441	0.0079	0.06381	0.00608
0.800	1.401	0.00299	0.00314	0.0084	0.05834	0.01117
1.200	2.101	0.00121	0.00202	0.0051	0.04897	0.01570
1.600	2.802	0.00026	0.00113	0.0014	0.03725	0.01747
2.000	3.502	0.00050	0.00049	0.0035	0.02531	0.01631
2.400	4.203	0.00065	0.00011	0.0055	0.01497	0.01307
2.800	4.903	0.00060	0.00017	0.0059	0.00727	0.00893

Remont mostu przez rz. Bystrzyce (od strony górnej wody) w ciągu jezdni południowej ul. Krochmalnej w Lublinie

3.200	5.604	0.00045	0.00026	0.0050	0.00247	0.00496
3.600	6.304	0.00026	0.00028	0.0033	0.00027	0.00187
4.000	7.005	0.00008	0.00027	0.0012	0.00037	0.00041

SCHEMAT OBCIĄŻENIA - przyp. 2

Obciążenie podpory w poziomie spodu głowicy w kierunku X

Siła pionowa $V_x = 8.230 \text{ MN}$
 Siła pozioma $H_x = 0.049 \text{ MN}$
 Moment zginający $M_x = -0.746 \text{ MN}$

Obciążenie podpory w poziomie spodu głowicy w kierunku Y

Siła pozioma $H_y = -0.020 \text{ MN}$
 Moment zginający $M_y = 3.109 \text{ MN}$

WYNIKI OBLICZEŃ

szerokość obliczeniowa pala $b_0 = 1.0250 \text{ m}$
 wsp. odkształcalności pala $\alpha = 0.5710 \text{ m}^{-1}$

KIERUNEK - X

Przesunięcia głowicy pala w kier. X

przesunięcie poziome $a_x = -0.00755 \text{ m}$
 przesunięcie pionowe $c_x = 0.01090 \text{ m}$
 kat obrotu głowicy $\rho_x = -0.00503 \text{ rad}$

przesunięcie położone wierzchu podpory w kier. X
 $a_{ax} = -0.01409 \text{ m}$

Sily w głowicy pojedynczego pala w kier. X

Siła pionowa 0.68583 MN
 Siła pozioma 0.00412 MN
 Moment zginający -0.06217 MNm

Sily i przemieszczenia pala poniżej terenu w kier. X

głębokość głębokość	przem.	obrót	nacisk	moment	siła
sprawodz. rzeczywista	poziome	przekroju	boczny	zginający	poprzeczna
< >	< m >	< m >	< rad >	< MPa >	< MN >
0.000	0.000	-0.00755	-0.00503	0.0000	-0.06217
0.400	0.700	-0.00447	-0.00378	-0.0063	-0.05858
0.800	1.401	-0.00223	-0.00262	-0.0063	-0.05211
1.200	2.101	-0.00075	-0.00164	-0.0032	-0.04263
1.600	2.802	0.00011	-0.00087	0.0006	-0.03159
2.000	3.502	0.00052	-0.00032	0.0036	-0.02083
2.400	4.203	0.00062	0.00001	0.0052	-0.01183
2.800	4.903	0.00054	0.00018	0.0053	-0.00539
3.200	5.604	0.00038	0.00025	0.0043	-0.00156
3.600	6.304	0.00020	0.00026	0.0025	0.00011
4.000	7.005	0.00002	0.00026	0.0002	-0.00039

KIERUNEK Y

Przesunięcia głowicy pala w kier. Y

przesunięcie poziome $a_y = -0.00002 \text{ m}$

przesunięcie pionowe cy = 0.00001 m
 kąt obrotu głowicy by = 0.00014 rad
 przemieszczenie poziome wierzchu podpory w kier. Y
 aay = 0.00017 m

Siły w głowicy pojedynczego pala w kier. Y

	Pal 1 rzędu	Pal 12 rzędu
Siła pionowa	-0.07310	0.07108 MN
Siła pozioma	-0.00166	-0.00166 MN
Moment zginający	0.00426	0.00426 MNm

Siły i przemieszczenia pala poniżej terenu w kier. Y

głębokość	głębokość	przem.	obrót	nacisk	moment	siła
sprawodz.	rzeczywista	poziome	przekroju	boczny	zginający	poprzeczna
< >	< m >	< m >	< rad >	< MPa >	< MNm >	< MN >
0.000	0.000	-0.00002	0.00014	0.0000	0.00426	-0.00166
0.400	0.700	-0.00009	0.00007	-0.0001	0.00310	-0.00162
0.800	1.401	-0.00011	0.00001	-0.0003	0.00201	-0.00146
1.200	2.101	-0.00011	-0.00002	-0.0005	0.00108	-0.00118
1.600	2.802	-0.00009	-0.00003	-0.0005	0.00038	-0.00082
2.000	3.502	-0.00007	-0.00004	-0.0005	-0.00006	-0.00046
2.400	4.203	-0.00004	-0.00003	-0.0004	-0.00027	-0.00015
2.800	4.903	-0.00002	-0.00003	-0.0002	-0.00030	0.00006
3.200	5.604	-0.00001	-0.00002	-0.0001	-0.00022	0.00016
3.600	6.304	0.00001	-0.00002	0.0001	-0.00010	0.00016
4.000	7.005	0.00002	-0.00002	0.0003	-0.00002	0.00003

SIŁY I PRZEMIESZCZENIA W KIER. WYPADKOWYM

Przemieszczenia wypadkowe w głowicy pala

Przemieszczenie poziome aw = 0.00755 m
 Przemieszczenie pionowe cw = 0.01091 m
 Przemieszczenie kątowe głowicy bw = 0.00504 rad
 przemieszczenie poziome wierzchu podpory w kier. W
 aaw = 0.01409 m

Siły wypadkowe w głowicy pojedynczego pala

	Pal 1 rzędu	Pal ostatn. rzędu
Siła pionowa	0.6127	0.7569 MN
Siła pozioma	0.0044	0.0044 MN
Moment zginający	0.0623	0.0623 MNm

Siły i przemieszcz. pala poniżej terenu - w kier. wypadk.

Pal 1 rzędu

głębokość	głębokość	przem.	obrót	nacisk	moment	siła
sprawodz.	rzeczywista	poziome	przekroju	boczny	zginający	poprzeczna
< >	< m >	< m >	< rad >	< MPa >	< MNm >	< MN >
0.000	0.000	0.00755	0.00504	0.0000	0.06231	0.00445
0.400	0.700	0.00447	0.00378	0.0063	0.05866	0.00704
0.800	1.401	0.00223	0.00262	0.0063	0.05215	0.01171
1.200	2.101	0.00076	0.00164	0.0032	0.04264	0.01514
1.600	2.802	0.00015	0.00087	0.0008	0.03159	0.01600
2.000	3.502	0.00052	0.00033	0.0037	0.02083	0.01438
2.400	4.203	0.00062	0.00003	0.0052	0.01184	0.01112
2.800	4.903	0.00054	0.00019	0.0053	0.00540	0.00727

3.200	5.604	0.00038	0.00025	0.0043	0.00158	0.00376
3.600	6.304	0.00020	0.00026	0.0025	0.00014	0.00120
4.000	7.005	0.00003	0.00026	0.0004	0.00035	0.00039

Pał ostatniego rzędu

głębokość sprawdz. rzeczywista	głębokość rzeczywista	przem. poziome	obrót przekroju	nacisk boczny	moment zginający	siła poprzeczna
< >	< m >	< m >	< rad >	< MPa >	< MNm >	< MN >
0.000	0.000	0.00755	0.00504	0.0000	0.06231	0.00445
0.400	0.700	0.00447	0.00378	0.0063	0.05866	0.00704
0.800	1.401	0.00223	0.00262	0.0063	0.05215	0.01171
1.200	2.101	0.00076	0.00164	0.0032	0.04264	0.01514
1.600	2.802	0.00015	0.00087	0.0008	0.03159	0.01600
2.000	3.502	0.00052	0.00033	0.0037	0.02083	0.01438
2.400	4.203	0.00062	0.00003	0.0052	0.01184	0.01112
2.800	4.903	0.00054	0.00019	0.0053	0.00540	0.00727
3.200	5.604	0.00038	0.00025	0.0043	0.00158	0.00376
3.600	6.304	0.00020	0.00026	0.0025	0.00014	0.00120
4.000	7.005	0.00003	0.00026	0.0004	0.00035	0.00039

SCHEMAT OBCIĄŻENIA - przyp. 3

Obciążenie podpory w poziomie spodu głowicy w kierunku X

Siła pionowa	Vx = 0.000 MN
Siła pozioma	Hx = 0.154 MN
Moment zginający	Mx = 0.000 MN

Obciążenie podpory w poziomie spodu głowicy w kierunku Y

Siła pozioma	Hy = 0.072 MN
Moment zginający	My = 0.000 MN

WYNIKI OBLICZEŃ

szerokość obliczeniowa pala	b0 = 1.0250 m
wsp. odkształcalności pala	alfa = 0.5710 m ⁻¹

KIERUNEK - X

Przesunięcia głowicy pala w kier. X

przesunięcie poziome	ax = 0.00499 m
przesunięcie pionowe	cx = 0.00000 m
kąt obrotu głowicy	bx = 0.00189 rad

przesunięcie poziome wierzchu podpory w kier. X
aax = 0.00745 m

Siły w głowicy pojedynczego pala w kier. X

Siła pionowa	0.00000 MN
Siła pozioma	0.01288 MN
Moment zginający	-0.00000 MNm

Siły i przemieszczenia pala poniżej terenu w kier. X

głębokość sprawdz. rzeczywista	głębokość rzeczywista	przem. poziome	obrót przekroju	nacisk boczny	moment zginający	siła poprzeczna
< >	< m >	< m >	< rad >	< MPa >	< MNm >	< MN >
0.000	0.000	0.00755	0.00504	0.0000	0.06231	0.00445
0.400	0.700	0.00447	0.00378	0.0063	0.05866	0.00704
0.800	1.401	0.00223	0.00262	0.0063	0.05215	0.01171
1.200	2.101	0.00076	0.00164	0.0032	0.04264	0.01514
1.600	2.802	0.00015	0.00087	0.0008	0.03159	0.01600
2.000	3.502	0.00052	0.00033	0.0037	0.02083	0.01438
2.400	4.203	0.00062	0.00003	0.0052	0.01184	0.01112
2.800	4.903	0.00054	0.00019	0.0053	0.00540	0.00727
3.200	5.604	0.00038	0.00025	0.0043	0.00158	0.00376
3.600	6.304	0.00020	0.00026	0.0025	0.00014	0.00120
4.000	7.005	0.00003	0.00026	0.0004	0.00035	0.00039

0.000	0.000	0.00499	0.00189	0.0000	-0.00000	0.01288
0.400	0.700	0.00368	0.00180	0.0052	0.00851	0.01081
0.800	1.401	0.00250	0.00156	0.0070	0.01456	0.00626
1.200	2.101	0.00152	0.00122	0.0064	0.01720	0.00134
1.600	2.802	0.00079	0.00087	0.0044	0.01667	-0.00260
2.000	3.502	0.00030	0.00055	0.0021	0.01393	-0.00494
2.400	4.203	0.00001	0.00030	0.0001	0.01012	-0.00569
2.800	4.903	-0.00013	0.00013	-0.0013	0.00625	-0.00520
3.200	5.604	-0.00019	0.00003	-0.0021	0.00301	-0.00394
3.600	6.304	-0.00019	-0.00001	-0.0024	0.00083	-0.00224
4.000	7.005	-0.00019	-0.00001	-0.0026	-0.00001	-0.00000

K I E R U N E K Y

Przemieszczenia głowicy pala w kier. Y

przesunięcie poziome ay = 0.00090 m
 przesunięcie pionowe cy = 0.00000 m
 kąt obrotu głowicy by = 0.00001 rad
 przemieszczenie poziome wierzchu podpory w kier. Y
 aay = 0.00091 m

Siły w głowicy pojedynczego pala w kier. Y

	Pal 1 rzędu	Pal 12 rzędu
Sila pionowa	-0.00277	0.00270 MN
Sila pozioma	0.00600	0.00600 MN
Moment zginający	-0.00967	-0.00967 MNm

Siły i przemieszczenia pala poniżej terenu w kier. Y

głębokość	głębokość sprowadz. rzeczywista	przem. poziome	osrot przekroju	nacisk boczny	moment zginający	siła poprzeczna
< >	< m >	< m >	< rad >	< MPa >	< MNm >	< MN >
0.000	0.000	0.00090	0.00001	0.0000	-0.00967	0.00600
0.400	0.700	0.00084	0.00016	0.0012	-0.00557	0.00556
0.800	1.401	0.00069	0.00024	0.0019	-0.00204	0.00441
1.200	2.101	0.00052	0.00025	0.0022	0.00053	0.00290
1.600	2.802	0.00035	0.00023	0.0019	0.00203	0.00140
2.000	3.502	0.00021	0.00018	0.0014	0.00256	0.00018
2.400	4.203	0.00010	0.00012	0.0008	0.00237	-0.00064
2.800	4.903	0.00003	0.00008	0.0003	0.00176	-0.00103
3.200	5.604	-0.00002	0.00005	-0.0002	0.00101	-0.00105
3.600	6.304	-0.00005	0.00004	-0.0006	0.00036	-0.00075
4.000	7.005	-0.00007	0.00004	-0.0010	0.00005	-0.00006

SILY I PRZEMIESZCZENIA W KIER. WYPADKOWYM

Przemieszczenia wypadkowe w głowicy pala

Przesunięcie poziome aw = 0.00507 m
 Przesunięcie pionowe cw = 0.00000 m
 Przesunięcie kątowe głowicy bw = 0.00189 rad
 przemieszczenie poziome wierzchu podpory w kier. W
 aaw = 0.00751 m

Siły wypadkowe w głowicy pojedynczego pala

	Pal 1 rzędu	Pal ostatn. rzędu
Sila pionowa	-0.0028	0.0027 MN
Sila pozioma	0.0142	0.0142 MN

Moment zginający 0.0097 0.0097 MNm

Siły i przemieszcz. pala poniżej terenu - w kier. wypadk.

Pal 1 rzędu

głębokość sprowadz.	głębokość rzeczywista	przem. poziome	obrót przekroju	nacisk boczny	moment zginający	siła poprzeczna
< >	< m >	< m >	< rad >	< MPa >	< MNm >	< MN >
0.000	0.000	0.00507	0.00189	0.0000	0.00967	0.01420
0.400	0.700	0.00378	0.00181	0.0053	0.01017	0.01215
0.800	1.401	0.00259	0.00158	0.0073	0.01471	0.00766
1.200	2.101	0.00161	0.00125	0.0068	0.01721	0.00320
1.600	2.802	0.00086	0.00090	0.0048	0.01680	0.00296
2.000	3.502	0.00036	0.00057	0.0025	0.01417	0.00495
2.400	4.203	0.00010	0.00032	0.0008	0.01040	0.00573
2.800	4.903	0.00014	0.00015	0.0013	0.00649	0.00530
3.200	5.604	0.00019	0.00006	0.0021	0.00318	0.00408
3.600	6.304	0.00020	0.00004	0.0025	0.00090	0.00237
4.000	7.005	0.00020	0.00004	0.0028	0.00005	0.00006

Pal ostatniego rzędu

głębokość sprowadz.	głębokość rzeczywista	przem. poziome	obrót przekroju	nacisk boczny	moment zginający	siła poprzeczna
< >	< m >	< m >	< rad >	< MPa >	< MNm >	< MN >
0.000	0.000	0.00507	0.00189	0.0000	0.00967	0.01420
0.400	0.700	0.00378	0.00181	0.0053	0.01017	0.01215
0.800	1.401	0.00259	0.00158	0.0073	0.01471	0.00766
1.200	2.101	0.00161	0.00125	0.0068	0.01721	0.00320
1.600	2.802	0.00086	0.00090	0.0048	0.01680	0.00296
2.000	3.502	0.00036	0.00057	0.0025	0.01417	0.00495
2.400	4.203	0.00010	0.00032	0.0008	0.01040	0.00573
2.800	4.903	0.00014	0.00015	0.0013	0.00649	0.00530
3.200	5.604	0.00019	0.00006	0.0021	0.00318	0.00408
3.600	6.304	0.00020	0.00004	0.0025	0.00090	0.00237
4.000	7.005	0.00020	0.00004	0.0028	0.00005	0.00006

K O N I E C O B L I C Z E N

mgr inż. Andrzej Łukasiewicz
 ul. Kwiatów Polnych 7 m. 27 tel. 746-64-57.
 20-843 Lublin
 program <MIMOS-P> - wersja marzec 1998r.

 * Wymiarowanie mimośrodowo ściskanego lub zginanego *
 * przekroju prostokątnego lub tewego *
 * metoda NL *

Nazwa obiektu: Most przez rz. Bystrzyce w c. ul. Krochmalnej
Nazwa elementu: pale fundamentowe przyczółka - sprawdzenie naprężeń
Dane przygotował: A. Łukasiewicz
Data obliczeń: 07.2005

DANE POCZĄTKOWE - Vmin - przyp. 1

Siła podłużna	P =	607.80 kN
Długość wyboczeniowa	lw =	1.00 m
Moment zginający w kierunku X	Mx =	65.58 kNm
Moment zginający w kierunku Y	My =	5.18 kNm
Przekrój prostokątny:		
- szerokość słupa w kierunku X	bx =	0.350 m
- szerokość słupa w kierunku Y	by =	0.350 m
- przekrój stali wzdłuż jednego boku w kierunku X	Fx =	6.28 cm ²
- przekrój stali wzdłuż jednego boku w kierunku Y	Fy =	6.28 cm ²
- otulina stali	a =	0.050 cm
Przyjęty współczynnik n = Es/Eb	n =	10.00
Wytrzymałość obl. stali zbrojeniowej	Ra =	200.00 MPa
Wytrzymałość obl. betonu na ściskanie	Rbb =	11.50 MPa
Wytrzymałość obl. żelbetu na ściskanie	Rbl =	11.50 MPa
Wytrzymałość obl. betonu na rozciąganie	Rbt =	0.00 MPa

SPRAWDZENIE NAPRĘZEŃ W II FAZIE

Max. naprężenia ścisk. w betonie	Sb =	11.75 MPa
Max. naprężenia rozc. w stali zbr.	Sr =	18.92 MPa
Wsp. zwiększały przy wyboczeniu - kier. X	fx =	1.010
Wsp. zwiększały przy wyboczeniu - kier. Y	1.010	
Szerokość oblicz. strefy ścisk.	b =	0.350
Wysokość oblicz. strefy ścisk.	x =	0.268

DANE POCZĄTKOWE - V max - przyp. 2

Siła podłużna	P =	761.70 kN
Długość wyboczeniowa	lw =	1.00 m
Moment zginający w kierunku X	Mx =	65.58 kNm
Moment zginający w kierunku Y	My =	5.18 kNm
Przekrój prostokątny:		
- szerokość słupa w kierunku X	bx =	0.350 m
- szerokość słupa w kierunku Y	by =	0.350 m
- przekrój stali wzdłuż jednego boku w kierunku X	Fx =	6.28 cm ²
- przekrój stali wzdłuż jednego boku w kierunku Y	Fy =	6.28 cm ²
- otulina stali	a =	0.050 cm
Przyjęty współczynnik n = Es/Eb	n =	10.00
Wytrzymałość obl. stali zbrojeniowej	Ra =	200.00 MPa
Wytrzymałość obl. betonu na ściskanie	Rbb =	11.50 MPa
Wytrzymałość obl. żelbetu na ściskanie	Rbl =	11.50 MPa
Wytrzymałość obl. betonu na rozciąganie	Rbt =	0.00 MPa

SPRAWDZENIE NAPRĘZEŃ W II FAZIE

Max. naprężenia ścisk. w betonie	S _b = 12.44 MPa
Max. naprężenia rozc. w stali zbr.	S _r = 1.66 MPa
Wsp. zwiększający przy wyboczeniu - kier. X	f _x = 1.012
Wsp. zwiększający przy wyboczeniu - kier. Y	f _y = 1.012
Szerokość oblicz. strefy ścisk.	b = 0.350
Wysokość oblicz. strefy ścisk.	x = 0.309

DANE POCZĄTKOWE - V min - przyp. 2

Siła podłużna	P = 612.70 kN
Długość wyboczeniowa	l _w = 1.00 m
Moment zginający w kierunku X	M _x = 62.20 kNm
Moment zginający w kierunku Y	M _y = 4.26 knm
Przekrój prostokątny:	
- szerokość słupa w kierunku X	b _x = 0.350 m
- szerokość słupa w kierunku Y	b _y = 0.350 m
- przekrój stali wzdłuż jednego boku w kierunku X	F _x = 6.28 cm ²
- przekrój stali wzdłuż jednego boku w kierunku Y	F _y = 6.28 cm ²
- otulina stali	a = 0.050 cm
Przyjęty współczynnik n = E _s /E _b	n = 10.00
Wytrzymałość obl. stali zbrojeniowej	R _a = 200.00 MPa
Wytrzymałość obl. betonu na ściskanie	R _{bb} = 11.50 MPa
Wytrzymałość obl. żelbetu na ściskanie	R _{bi} = 11.50 MPa
Wytrzymałość obl. betonu na rozciąganie	R _{bt} = 0.00 MPa

SPRAWDZENIE NAPREŻEŃ W II FAZIE

Max. naprężenia ścisk. w betonie	S _b = 11.17 MPa
Max. naprężenia rozc. w stali zbr.	S _r = 12.46 MPa
Wsp. zwiększający przy wyboczeniu - kier. X	f _x = 1.010
Wsp. zwiększający przy wyboczeniu - kier. Y	f _y = 1.010
Szerokość oblicz. strefy ścisk.	b = 0.350
Wysokość oblicz. strefy ścisk.	x = 0.279

DANE POCZĄTKOWE - V max - przyp. 2

Siła podłużna	P = 756.90 kN
Długość wyboczeniowa	l _w = 1.00 m
Moment zginający w kierunku X	M _x = 62.20 kNm
Moment zginający w kierunku Y	M _y = 4.26 knm
Przekrój prostokątny:	
- szerokość słupa w kierunku X	b _x = 0.350 m
- szerokość słupa w kierunku Y	b _y = 0.350 m
- przekrój stali wzdłuż jednego boku w kierunku X	F _x = 6.28 cm ²
- przekrój stali wzdłuż jednego boku w kierunku Y	F _y = 6.28 cm ²
- otulina stali	a = 0.050 cm
Przyjęty współczynnik n = E _s /E _b	n = 10.00
Wytrzymałość obl. stali zbrojeniowej	R _a = 200.00 MPa
Wytrzymałość obl. betonu na ściskanie	R _{bb} = 11.50 MPa
Wytrzymałość obl. żelbetu na ściskanie	R _{bi} = 11.50 MPa
Wytrzymałość obl. betonu na rozciąganie	R _{bt} = 0.00 MPa

SPRAWDZENIE NAPREŻEŃ W II FAZIE

Max. naprężenia ścisk. w betonie	S _b = 11.90 MPa
Max. naprężenia rozc. w stali zbr.	S _r = -2.19 MPa
Wsp. zwiększający przy wyboczeniu - kier. Y	f _x = 1.012
Wsp. zwiększający przy wyboczeniu - kier. Y	f _y = 1.012
Szerokość oblicz. strefy ścisk.	b = 0.350
Wysokość oblicz. strefy ścisk.	x = 0.318

KONIEC OBLICZEŃ